

Курулуштагы ченемдик документтер тутуму  
**КЫРГЫЗ РЕСПУБЛИКАСЫНЫН КУРУЛУШ ЭРЕЖЕЛЕРИ**

Система нормативных документов в строительстве  
**СТРОИТЕЛЬНЫЕ ПРАВИЛА КЫРГЫЗСКОЙ РЕСПУБЛИКИ**

**АЛЮМИНИЙ КОНСТРУКЦИЯЛАРЫ**  
**КР КЭ 53-102:2023**

**АЛЮМИНИЕВЫЕ КОНСТРУКЦИИ**  
**СП КР 53-102:2023**

Актуализированная редакция СНиП 2.03.06-85  
КЧжЭ 2.03.06-85тин жаңыртылган редакциясы

Расмий басылма  
Издание официальное

КЫРГЫЗ РЕСПУБЛИКАСЫНЫН МИНИСТРЛЕР КАБИНЕТИНЕ КАРАШТУУ  
АРХИТЕКТУРА, КУРУЛУШ ЖАНА ТУРАК ЖАЙ-КОММУНАЛДЫК ЧАРБА БОЮНЧА  
МАМЛЕКЕТТИК АГЕНТТИГИ  
ГОСУДАРСТВЕННОЕ АГЕНТСТВО АРХИТЕКТУРЫ, СТРОИТЕЛЬСТВА  
И ЖИЛИЩНО-КОММУНАЛЬНОГО ХОЗЯЙСТВА  
ПРИ КАБИНЕТЕ МИНИСТРОВ КЫРГЫЗСКОЙ РЕСПУБЛИКИ

БИШКЕК 2023

## Сөз башы

1 Кыргыз Республикасынын Министрлер Кабинетине караштуу архитектура, курулуш жана турак жай-коммуналдык чарба мамлекеттик агенттигинин алдындагы (Мамкурулуш) Жер титирөөгө туруктуу курулуш жана инженердик долбоорлоо мамлекеттик институту (ЖТТКИДМИ) тарабынан **ЖАҢЫРТЫЛДЫ**

2 Мамкурулуштун архитектура жана техникалык ченемдөө башкармалыгы тарабынан **КИРГИЗИЛДИ**

3 Кыргыз Республикасынын Министрлер Кабинетинин 2021-жылдын 25-июнундагы №44 токтому менен бекитилген Мамкурулуш жөнүндө жобонун негизинде Мамкурулуштун 2023-жылдын 16-октябрьндагы № 177-буйругу менен **БЕКИТИЛИП**, 2024-жылдын 10-январынан тартып **ИШКЕ КИРГИЗИЛДИ**

4 КЧжЭ 2.03.06-85 «Алюминий конструкциялары»нын ОРДУНА

*Мамкурулуштун уруксатысыз ушул курулуди эрежелеринин расмий басылма катары толугу менен же жарым-жартылай көчүрмөсүн жасоого, аларды тираждоого жана таратууга болбойт.*

© Мамкурулуш, 2023

Ушул курулуди эрежелеринин жоболору кайра караптады (алмаштырылган) же жокко чыгарылган учурда, тиешелүү билдирилген белгиленген тартипте жарыяланат. Тийиштүү маалымат, билдиримелер жана тексттер жалпы колдонгон маалыматтык тутумдарда – иштеп чыгуучунун расмий сайтында жайгаштырылат.

## Мазмуну

1	Колдонуу чөйрөсү .....	1
2	Ченемдик шилтемелер.....	1
3	Жалпы жоболор.....	3
4	Конструкциялар жана бириктируулар үчүн материалдар .....	5
5	Материалдардын жана бириктируулөрдүн эсептик мүнөздөмөлөрү .....	8
6	Алюминий конструкцияларынын элементтерин оқтук күчтөргө жана ийилүүгө эсептөө .....	22
7	Алюминий конструкцияларынын эсептик узундугу жана чектүү ийилчээстиги.....	37
8	Ийилүүчү жана кысылган элементтердин капиталдарынын жана курчоочу такталарынын туруктуулугун текшерүү .....	46
9	Жука такталуу алюминийди колдонуу менен конструкциялардын элементтерин эсептөө .....	57
10	Алюминий эритмелеринен конструкцияларды бириктируулөрдү эсептөө .....	64
11	Алюминий конструкцияларын долбоорлоо .....	70
12	Конструктивдик талаптар .....	75
A	тиrkемеси Алюминий конструкциялары үчүн материалдар жана алардын физикалык мүнөздөмөлөрү .....	81
B	тиrkемеси Борбордук-кысылган элементтердин узата ийилүүсүнүн φ коэффициенти .....	85
C	тиrkемеси Устундардын жалпы туруктуулугун текшерүү үчүн φ <sub>b</sub> коэффициентин аныктоо .....	87
D	тиrkемеси Борбордон тышкary кысылган жана кысылып-ийилүүчү элементтерди эсептөө .....	93
E	тиrkемеси Жогорку курчоодогу жергиликтүү жүктөмдө устундардын капталдарынын туруктуулукка эсептөө .....	100
F	тиrkемеси Трапеция түрүндөгү гофрлуу такталардын жантык грандарынын туруктуулугун эсептөө .....	103
G	тиrkемеси Ширетүү чекиттеринин кесилишине эсептик көтөрүүчү жөндөмдүүлүк .....	104
H	тиrkемеси Чоңдуктардын негизги тамгалык белгилөөлөрү .....	105

## Киришүү

КР КЭ «Алюминий конструкциялары» Кыргыз Республикасынын ушул курулуш эрежелери Кыргыз Республикасынын аймагындагы имараттардын жана курулмалардын алюминий конструкцияларын долбоорлоо боюнча негизги жоболорду камтыйт. Эрежелер жүктөмдөрдүн эселеңген таасирине (чарчоо бекемдигине), ошондой эле кыймылдуу же динамикалуу жүктөмдөрдүн түздөнтүз таасирине же 100°Сдан ашык температуранын таасирине дуушар болгон көпүрөлөрдүн алюминий конструкцияларын жана имараттардын жана курулмалардын конструкцияларын долбоорлоого жайылтылбайт.

КЧжЭ 2.03.06-85 «Алюминий конструкциялары» актуалдаштыруу ишенимдүүлүктүн, бышыктыктын жана үнөмдүүлүктүн зарыл талаптарына жооп берген жалпы критерийлерди жана долбоорлоо ыкмаларын камсыз кылуу, ошондой эле мүнөздөмөлөрү алюминий конструкцияларынын эсептөөлөрүндө ишке ашырылуучу материалдарды жана коштоочу өндүрүмдөрдү пайдалануу максатында аткарыйган.

Ушул курулуш эрежелери Кыргыз Республикасынын Министрлер Кабинетине караштуу Архитектура, курулуш жана турак жай-коммуналдык чарба мамлекеттик агенттигинин Жер титирөөгө туруктуу курулуш жана инженердик долбоорлоо мамлекеттик институту (ЖТКИДМИ) тарабынан даярдалды.

КР КЭ 53-102:2023 «Алюминий конструкциялары» курулуш эрежелерин актуалдаштырууга төмөндөгүлөр катышты: Кенжетаев К.И. – т.и.к., Шаимбетов Дж.А. – т.и.к., Мудунова К. К. – инж., Жолбулакова А.Т. – инж.

Мамлекеттик тилге которууну «РК Глобал Групп» ЖЧКсы жүргүзгөн.

КЫРГЫЗ РЕСПУБЛИКАСЫНЫН КУРУЛУШ ЭРЕЖЕЛЕРИ

---

Курулуштагы ченемдик документтердин системасы

**АЛЮМИНИЙ КОНСТРУКЦИЯЛАРЫ**

**Алюминиевые конструкции**

Aluminum structures

КЧжЭ 2.03.06-85тин  
жаңыртылған редакциясы

---

**Киргизилген күнү – 2024.01.10**

**1 Колдонуу чөйрөсү**

1.1 Бул курулуш эрежелери имараттардын жана курулмалардын курулуш алюминий конструкцияларын долбоорлоонун эрежелерин аныктайт (мындан ары – алюминий жана алюминий кошулмаларынын конструкциялары).

Бул эрежелердин көпүрөлөрдүн алюминий конструкцияларын жана жүктөмдөрдүн көп жолку таасирине дуушар болуучу (чарchoонун бекемдиги) жана ошондой эле кыймылдуу же динамикалык жүктөмдөрдүн же 100°C жогорку температуранын түздөн-түз таасирине дуушар болуучу имараттардын жана курулмалардын конструкцияларындолбоорлоого тиешеси жок.

1.2 Эксплуатациялоонун өзгөчө шарттарында турган конструкцияларды, уникалдуу имараттардын жана курулмалардын конструкцияларын, ошондой эле конструкциялардын атайын түрлөрүн долбоорлоодо ушул конструкциялардын иштөөсүнүн өзгөчөлүктөрү чагылдырылган тиешелүү ченемдик документтерде каралган талаптарды сактоо зарыл.

**2 Ченемдик шилтемелер**

Ушул курулуш эрежелеринде төмөнкү документтерге ченемдик шилтемелер пайдаланылды:

КЧ 53-01:2022 Болот конструкциялар. Долбоорлоонун ченемдери;

КР КЧжЭ 23-02-00 Курулуш климатологиясы;

КР КЧжЭ 2.01.07-85 Жуктөмдөр жана таасирлер;

КР КЧжЭ 2.03.11-85 Курулуш конструкцияларын коррозиядан коргоо;

МАСТ 1759-87 Буроолор, буралмалар, жупбуруоложана бурамалар;

МАСТ 2685-75 Куйма алюминий эритмелери. Маркалары, техникалык талаптар жана сыноолордун ықмалары;

МАСТ 4784-2019 Алюминий жана деформациялануучу алюминий эритмелери. Маркалар;

МАСТ 7796-70 Тактыктын В классындагы кичирейтилген алты кырбет бөркүү буроолор. Конструкциясы жана өлчөмдөрү;

МАСТ 7798-70\* Тактыктын В классындагы кичирейтилген алты кырбет бөркүү буроолор. Конструкциясы жана өлчөмдөрү;

МАСТ 7871-2019 Алюминийден жана алюминий эритмелеринен ширетүүчү зым. Техникалык шарттары;

МАСТ 8617-2018 Алюминийден жана алюминий эритмелеринен пресстелген профилдер (капталбеттер). Техникалык шарттары;

МАСТ 10157 -2016 Газ сымал жана суюк аргон. Техникалык шарттары;

МАСТ 10299-80 Тактыгы В жана С класстарындагы жарым жумуру бөркүү кадоолор. Техникалык шарттары;

МАСТ 10300-80 Тактыгы В жана С класстарындагы жылма бөркүү кадоолор. Техникалык шарттары;

МАСТ 10301-80 Тактыгы В жана С класстарындагы жарым жылма бөркүү кадоолор. Техникалык шарттары;

МАСТ 10619-80 Металл жана пластмасса үчүн жылма бөркүү өзү кесүүчү буроолор. Конструкциясы жана өлчөмдөрү;

МАСТ 10621-80 Металл жана пластмасса үчүн жарым жумуру бөркүү өзү кесүүчү буроолор. Конструкциясы жана өлчөмдөрү;

МАСТ 13726-97 Алюминий жана алюминий эритмелеринен тасмалар. Техникалык шарттары;

МАСТ 14776-79 Жаа ширетүү. Чекиттик ширетүүбириктируулөрү. Негизги түрлөрү, конструктивдик элементтер жана өлчөмдөрү;

МАСТ 14806-80 Алюминийди жана алюминий эритмелерин инерттик газдарда жаа ширетүү. Ширетип бириктируулөр. Негизги түрлөрү, конструктивдик элементтер жана өлчөмдөрү;

МАСТ 14838-78\* Муздак кысып чыгаруу үчүн алюминийден жана алюминий эритмелеринен зым. Техникалык шарттары;

МАСТ 15589-70\* Тактыктын С классындагы алты кырбетбөрктүү буроолор. Конструкциясы жана өлчөмдөрү;

МАСТ 15591-70 Тактыктын С классындагы кичирейтилген алты кырбет бөрктүү буроолор. Конструкциясы жана өлчөмдөрү;

МАСТ 17473-80\* Тактыктын А жана В класстарындагы жарым жумуру бөрктүү буралмалар. Конструкциясы жана өлчөмдөрү;

МАСТ 17475-80\* Тактыктын А жана В класстарындагы жылма бөрктүү буралмалар. Конструкциясы жана өлчөмдөрү;

МАСТ 18475-82\* Алюминийден жана алюминий эритмелеринен муздак деформацияланган түтүктөр. Техникалык шарттары;

МАСТ 18482-2018 Алюминийден жана алюминий эритмелеринен пресстелген түтүктөр. Техникалык шарттары;

МАСТ 21488-97 Алюминийден жана алюминий эритмелеринен пресстелген таякчалар. Техникалык шарттары;

МАСТ 21631-76 Алюминийден жана алюминий эритмелеринен такталар. Техникалык шарттары;

МАСТ 22233-1018 Алюминийден жана алюминий эритмелеринен тосмолочу курулуш конструкциялары үчүн пресстелген профилдер. Жалпы техникалык шарттары.

**Э с к е р т үү –** Бул КЭни колдонууда шилтеме алынчу документтердин иш-аракеттерин текшерүү максатка ылайыктуу:

- жалпы колдонуудагы маалыматтык системада – Кыргызстандарттын официалдуу сайтында, тийиштүү жылга стандартташтыруу боюнча документтердин кварталдык, жылдык Каталогунда;

- курулуш боюнча «Курулуш каталогунун (КК)» Кыргыз Республикасынын территориясында тийиштүү жылга колдонуудагы ченемдик документтеринде.

Эгер шилтемелик документ алмаштырылган (өзгөртүлгөн) болсо, анда бул КЧны колдонгон учурда алмаштырылган (өзгөртүлгөн) документ жетекчиликке алынганы ылайык. Эгер шилтемелик документ алмаштыруусуз жокко чыгарылган болсо, анда ага шилтеме берилгендеги жобо бул шилтеме тийиштүү болбогон бөлүгүндө пайдаланылат.

### **3 Жалпы жоболор**

3.1 Алюминий конструкцияларын тосмолоочу жана көтөрүүчү конструкциялар үчүн имараттарды жана курулмаларды курууда жана реконструкциялоодо талаптагыдай техникалык-экономикалык негиздемелөө менен төмөнкү учурларда колдонууга сунуш кылышат:

- имараттардын же курулмалардын тосмолоочу жана көтөрүүчү конструкцияларынын массасын олуттуу төмөндөтүүнүн зарылдыгында;

- имараттардын же курулмалардын конструкцияларына жогорулатылган архитектуралык талаптарды камсыз кылуу максатында;

- жогорулатылган коррозиялык түрүктуулукту, төмөнкү температураларда бекемдиктин мүнөздөмөлөрүн сактап калуу, учкундун пайда болуусунун жана магниттик касиеттеринин жоктугун камсыз кылуунун зарылдыгында.

### 3.2 Алюминий конструкцияларын долбоорлоодо сунуш кылынат:

- конструкциялардын техникалык-экономикалык жагынан оптималдуу схемаларын, элементтердин жана деформациялануучу аллюминий эритмелерин маркаларынын, техникалык аллюминийдин жана куйма эритмелердин кесилиштерин тандап алуу<sup>1</sup>;

- үнөмдүү профилдерди тандап алуу;

- прогрессивдүү конструкцияларды (типтүү же стандарттуу) конструкцияларды колдонуу; тосмолоочу жана көтөрүүчү функцияларды биргелештирген, жука такталуу жана комбинирленген конструкцияларды, стандарттуу элементтерден ж.б. мейкиндиктүү системаларды колдонуу;

- жасап чыгаруунун жана монтаждоонун жогорку технологиялугун алдын ала караштыруу;

- аларды жасап чыгаруунун, ташуунун жана монтаждоонун эң аз эмгек сыйымдуулугун камсыз кылуучу конструкцияларды колдонуу;

- эреже катары алардын тынымсыз жасап чыгаруусун колдонуу;

- прогрессивдүү түрлөрдөгү (автоматтык жана жарым автоматтык ширетүүнүн, фланецтик, буроолору менен, анын ичинде жогорку бекемдиктеги, ичмектери бар) заводдук жана монтаждык бириктируулөрдү колдонууну алдын ала караштыруу.

3.3 Имараттарды жана курулмаларды долбоорлоодо бүтүндөй имараттардын жана курулмалардын жана ошондой эле алардын айрым элементтеринин ташуу, монтаждоо жана эксплуатациялоо учурунда бекемдигин, түрүктуулугун жана мейкиндиктик өзгөрүлбөстүгүн камсыз кылуучу конструктивдик схемаларды кабыл алуу зарыл.

3.4 Алюминий конструкцияларынын элементтерин минималдуу кесилиште жана аларды ушул эрежелердин, мамлекеттик стандарттардын жана пресстелген профилдерге жана түтүктөргө коюлган талаптарды канаттандыруучу пресстелген профилдерден жасап чыгаруу мүмкүндүгүн эске алуу менен долбоорлоо сунуш кылынат.

---

<sup>1</sup> деформациялануучу аллюминий эритмелери жана техникалык аллюминий шарттуу түрдө “алюминий”, куйма эритмелер – “куйма аллюминий” деп аталган.

## 4 Конструкциялар жана бириктируулөр үчүн материалдар

4.1 Конструкциялар үчүн алюминийдин маркасын жана абалын (иштетилишинин түрүн) төмөнкүлөргө жараша жүргүзүү сунуш кылынат:

- жүктөмдүн мүнөзүнө жана интенсивдүүлүгүнө, конструкциянын элементтеринин чыңалган абалына, эсептик температураларына жана алюминийдин талап кылышкан механикалық касиеттерине;
- алюминийдин химиялык курамына жана анын коррозияга каршы туруктуулугуна;
- жарымфабрикаттардын жасап чыгарылышынын технологиялуулугуна;
- конструкцияларды жасап чыгаруу жана монтаждоо технологиясына;
- архитектуралык талаптарга.

4.2 Алюминий конструкциялары үчүн тиешелүү түрдө 1- жана 2- таблицада көрсөтүлгөн маркадагы жана абалдагы алюминийди колдонуу сунушталат

1 –та б л и ц а

Терминалык бекемделбей турган алюминий	
Алюминийдин маркасы жана абалы	МАСТ, ТШ
АД1М	МАСТ 21631; МАСТ 13726
АМцМ	МАСТ 21631; МАСТ 13726
АМг2М	МАСТ 21631; МАСТ 13726;
АМг2М	МАСТ 18475
АМг2Н2	МАСТ 21631; МАСТ 13726
АД31Т	МАСТ 8617; МАСТ 18482; МАСТ 22233
АД31Т1	МАСТ 8617; МАСТ 22233
АД31Т4	МАСТ 8617; МАСТ 22233
АД31Т5	МАСТ 8617; МАСТ 22233

*1 – таблицанын аягы*

Терминалык бекемделбей турган алюминий	
Алюминийдин маркасы жана абалы	МАСТ, ТШ
1915	МАСТ 8617; МАСТ 18482; МАСТ 22233
1915T	МАСТ 8617; МАСТ 18482; МАСТ 22233
1925	МАСТ 8617; МАСТ 18482;
1925	МАСТ 22233 МАСТ 8617; МАСТ 18482; МАСТ 22233
Э ск е р т үү – Техникалык-экономикалык негиздемелөө болгондо жана аны сыноочу конструкцияларда текшергенден кийин башка маркалардагы жана абалдагы алюминийди колдонууга жол берилет (1-табл. көрсөтүлбөгөн). Эсептик каршылыктарды бул учурда 4-табл. боюнча аныктоо сунушталат.	

4.3 Арналышына жараша имараттардын жана куруулмалардын конструкциялары төрт топко бөлүнүшөт. Топтор, ага кирген конструкциялардын тизмеси, колдонулуучу маркалар жана алюминийдин абалдары А тиркемесинде келтирилген.

4.4 Курулуш конструкциялары үчүн алюминий жарым фабрикаттарынын түрлөрүн, эреже катары, А тиркемесиндеги 4-таблица боюнча кабыл алуу керек. Алюминий жарым фабрикаттарынын башка түрлөрүн колдонууга аларды жөнөтүүчү заводдор менен макулдашуу шартында жол берилет.

## 2 –таблица

Абалынын белгилениши	Алюминийдин абалы
M	Күйгүзүлгөн (жумшак)
H2	Жарымнагартталган
H	Нагартталган
T	Чыңалтылган жана табигый эскиртилген
T1	Чыңалтылган жана жасалма эскиртилген
T4	Толук эмес чыңалтылган жана табигый эскиртилген
T5	Толук эмес чыңалтылган жана жасалма эскиртилген
<b>Э ск е р т үү лөр</b>	
1 Жарымнагартовкалоо жана нагартовкалоо көбүнчө терминалык бекемделбей турган алюминий үчүн колдонулат.	
2 Чыңалтуу жана эскиртүү терминалык бекемделүүчү алюминий үчүн колдонулат.	

4.5 Алюминий куйма эритмелеринен куюп алууларды МАСТ 2685 боюнча АЛ8 маркасындагы куйма алюминийден долбоорлоо сунуш кылышат. Алюминий конструкцияларында КР КЭ 53-01 көрсөтүлгөн материалдардан куюп алууларды колдонууга жол берилет.

4.6 Алюминий конструкцияларын ширетүүнүн жаа ыкмаларында электроддук жана присадкалык металлдар катары МАСТ 7871 боюнча СвА1, СвАМг3 жана 1557 маркаларындагы, жана ошондой эле техникалык шарттар боюнча алюминий ширетүү зымдарын колдонуу сунушталат. Электроддук же присадкалык зымды колдонуунун шарттары 8-10 таблицаларда келтирилген.

Коргоочу инерттүү газ катары МАСТ 10157 боюнча А маркасындагы аргонду колдонуу сунушталат.

Тиешелүү техникалык-экономикалык негиздемелөөдө конструкцияларды ширетүү үчүн прогрессивдүү ширеткич материалдарды (zymdar, коргоочу газдар) колдонууга жол берилет. Бул учурда ширетилген бирикмелердеги металлдын эсептик каршылыктары 9 -жана 10- таблицаларда келтирилгендерден төмөн болбошу керек.

4.7 Муздак абалында орнотулуучу кадоолор жана буроолор үчүн алюминийдин маркаларын 3-таблица боюнча кабыл алуу керек.

Болот буроолорду КР КЧ 53-01 талаптарына ылайык колдонуу сунуш кылышат.

## 3 – т а б л и ц а

Алюминийдин маркасы жана абалы	МАСТ
Кадоолор үчүн: АД1Н; АМг2Н; АМг5пМ; АВТ	МАСТ 10299
Буроолор үчүн: АМг5п АВТ1	МАСТ 14838 МАСТ 21488

4.8 Алюминий конструкцияларында төмөнкүлөрдү колдонуу сунуш кылынат:

- алюминийден жана болот буроолор (техникалык талаптар МАСТ 1759 боюнча) МАСТ 7796, МАСТ 7798, МАСТ 15589 жана МАСТ 15591 боюнча жогорулатылган, нормалдуу жана одоно тактыктагы;
- МАСТ 17473, МАСТ 17475, МАСТ 15589 жана МАСТ 15591 боюнча нормалдуу тактыктагы буралмалар;
- МАСТ 10299, МАСТ 10300, МАСТ 10301 жана МАСТ 10304 боюнча алюминий кадоолор.

4.9 Курулуш конструкциялары үчүн алюминийдин физикалык мүнөздөмөлөрү А тиркемесинин 2- жана 3 – таблицалары боюнча кабыл алуу сунуш кылынат.

## 5 Материалдардын жана бириктируулөрдүн эсептик мүнөздөмөлөрү

5.1 Плюс 50 дөн минус 65°C чейинки тышкы абанын эсептик температуралары үчүн алюминийдин жана қўйма алюминийдин каршылыктарынын эсептик маанилери (эсептик каршылыктар) 5-жана 6-таблицаларда келтирилген, ошол эле учурда жылышшууга жана майтарылууга эсептик каршылыктар эсептик каршылыктардын маанисин 5 МПа ( $50 \text{ кгс}/\text{см}^2$ ) чейин кыскартуу менен 4-таблицага ылайык белгиленген.

Конструкцияларды эсептөөдө тиешелүү түрдө 15жана 16 таблицаларда келтирилген температуранын өзгөрүүлөрүнүн таасириinin  $\gamma_t$ , коэффициенттерин жана алюминий конструкцияларынын элементтеринин иштөө шарттарынын  $\gamma_c$  коэффициенттерин, ошондой эле конструкцияларды долбоорлоо учурунда имараттардын жана курулмалардын жоопкерчилик даражасын эсепке алуу

эрежелерине ылайык кабыл алынуучу багытталышы боюнча ишенимдүүлүктүн  $\gamma_n$  коэффициенттерин эске алуу сунушталат.

#### 4— таблица

Чыңалган абалы	Белгилениши	Эсептик каршылык
Чоюлуу, кысылуу жана ийилүү	$R$	$R$
Жылышуу Маңдай беттин майтарылуусу (эп келишириүүдөн кийин)	$R_s$ $R_p$	$R_s = 0,6R$ $R_p = 1,6R$

#### 4— таблицанын аяғы

Чыңалган абалы	Белгилениши	Эсептик каршылык
Толук тишишүүдөгү жергиликтүү майтарылуу	$R_{lp}$	$R_{lp} = 0,75R$

\* Алюминийдин эсептик каршылыгынын  $R$  маанисин агымдуулуктун шарттуу чеги  $R_y$  боюнча чоюлууга, кысылууга, ийилүүгө  $R$  алюминийдин эсептик каршылыгынын маанилеринин кичинесине жана убактылуу каршылык  $R_u$  боюнча  $R$  алюминийдин чоюлууга, кысылууга жана ийилүүгө барабар катары кабыл алуу сунуш кылышат. Бул учурда

$$R_y = R_{yn} / \gamma_m$$

$$R_u = R_{un} / \gamma_m \gamma_u,$$

$R_{yn}$ — алюминийге болгон мамлекеттик стандарттар жана техникалык шарттар боюнча  $\sigma_{0,2}$  агымдуулуктун шарттуу чегинин мааниси менен бирдей катары кабыл алынуучу алюминийдин ченемдик каршылыгы;

$R_{un}$ —алюминийге болгон мамлекеттик стандарттар жана техникалык шарттар боюнча  $\sigma_{0,2}$  алюминийдин айрылууга болгонминималдуу мааниси менен бирдей катары кабыл алынуучу убактылуу каршылыгынын мааниси;

$$\gamma_m = 1,1$$

$$\gamma_u = 1,45$$

## 5 – т а б л и ц а

Чыналган абал	Белгиле-ниши	Төмөнкү маркалардагы терминалык бекемделбей турган алюминийдин эсептик каршылыгы $R$ , МПа ( $\text{кгс}/\text{см}^2$ )					
		АД1М	АМцМ	АМг2М	АМг2Н2		АЛ8 марка-сындагы куйма
					такта-лар	тасма-лар	
Чоюлуу, кысылуу жана ийилүү	$R$	25 (250)	40 (400)	70 (700)	125 (1250)	145 (1500)	135 (1400)
Жылышшуу	$R_s$	15 (150)	25 (250)	40 (400)	75 (750)	90 (900)	80 (800)
Мандай беттин майтарылуусу (эп келиштируүдөн кийинки)	$R_p$	40 (400)	65 (650)	110 (1100)	200 (2000)	230 (2400)	215 (2250)
Тыгыз тийишүүдөгү жергиликтүү майтарылуу	$R_{lp}$	20 (200)	30 (300)	50 (500)	90 (900)	110 (1100)	105 (1050)
Пресстелген жарым-фабрикаттардын жоон тарабына карата чоюлуусу	$R_{th}$	25 (250)	40 (400)	70 (700)	125 (1250)	-	-

## 6 – т а б л и ц а

Чыналган абал	Белгилениши	Төмөнкү маркалардагы терминалык бекемделе турган алюминийдин эсептик каршылыгы $R$ , МПа ( $\text{кгс}/\text{см}^2$ )					
		АД31Т; АД31Т4	АД31Т5	АД31Т1	1935Т	1925; 1915	1915Т
Чоюлуу, кысылуу жана ийилүү	$R$	55 (550)	100 (1000)	120 (1250)	140 (1450)	175 (1800)	195 (2000)
Жылышшуу	$R_s$	35 (350)	60 (600)	75 (750)	85 (850)	105 (1050)	120 (1200)

## 6 – таблиçанын аягы

Чыңалган абал	Белгиле-ниши	Төмөнкү маркалардагы терминалык бекемделе турган алюминийдин эсептик каршылыгы $R$ , МПа ( $\text{кгс}/\text{см}^2$ )					
		АД31Т; АД31Т 4	АД31Т 5	АД31Т1	1935Т	1925; 1915	1915Т
Мандай беттин майтарылуусу (эп келиштируүдөн кийинки)	$R_p$	90 (900)	160 (1600)	190 (2000)	225 (2300)	280 (2900)	310 (3200)
Тыгыз тийишүүдөгү жергиликтүү майтарылуу	$R_{lp}$	40 (400)	75 (750)	90 (900)	105 (1050)	130 (1350)	145 (1500)
Пресстелген жарым-фабрикаттардын жоон тарабына карата чоюлуусу	$R_{th}$	55 (550)	100 (1000)	120 (1200)	50 (500)	50 (500)	50 (500)

КР КЧжЭ 23-02 талаптарына ылайык, тышкы абанын эсептик температурасына эң суук беш күндүктүн орточо температурасы кабыл алынат.

5.2 Алюминий агымдуулуктун чегине жеткендөн кийин дагы пайдаланууга мүмкүн болгон конструкциялардын элементтери үчүн такталардын  $R_{pl}$  алюминийинин чоюлууга болгон эсептик каршылыгын 7-таблица боюнча кабыл алуу сунуш кылышат.

## 7 – т а б л и ц а

Алюминийдин маркасы жана абалы	АД1М	АМцМ	AMr2М
Эсептик каршылык $R_{pl}$ , МПа ( $\text{кгс}/\text{см}^2$ )	35 (350)	55 (550)	85 (850)

5.3 Ширетилген, кадоолонгон жана буроолуу бирикмелердин эсептик каршылыктары тышкы абанын плюс 50 дөн минус  $65^0$  С га чейинки эсептик температуралары үчүн 9-14 таблицада келтирилген.

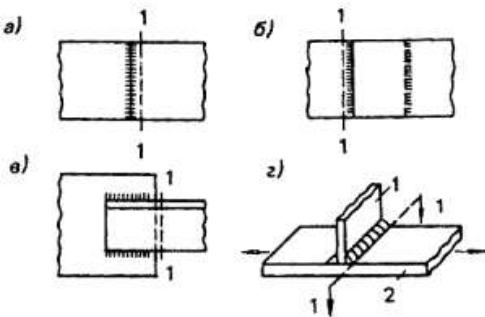
Кадоолор жана буроолор менен бекитилген бириктируулөр үчүн (12-14-таблицаларды кара) чоюлууга жана кесилүгө эсептик каршылыктарды кадоолордун же буроолордун материалы боюнча, ал эми майтарылыши боюнча конструкциялардын бириктирилүүчүү элементтеринин алюминийинин маркасы боюнча кабыл алуу сунушталат.

5.4 Аргондук жаа ширетүүдө тигиштерге жакын зоналардагы  $R_{wz}$  алюминийдин эсептик каршылыгын (1-сүр., 1-1 кесилиш) 8-таблица боюнча алууга сунуш кылышат.

5.5 Тигиштердин сапатын физикалык контролдоо (рентгендик же гамма-графирлөө, ультра үн дефектоскопиялоо ж.б) менен аргондук жаа ширетүү аркылуу аткарылган ширетилген бирикмелердин  $R_w$  эсептик каршылыгын 9-жана 10- таблица боюнча кабыл алуу сунушталат.

Сапаты физикалык ықмалар менен контролдонбой турган беттештирилген (стык) узун тигиштүү ширетүүлөр үчүн эсептик каршылыктардын маанилери 9-жана 10- таблицалар боюнча 0,8 коэффициентине көбөйтүү сунушталат.

5.6. Ширетүү менен туурасынан элементтер бекитилген ширетилген конструкциялардын (1-сүр. кара) беттештирилбеген элементтерин (1-г сүр.) бекемдигин эсептөөдө 9-жана 10- таблица боюнча кабыл алынуучу  $R_w$ , маанисine чейин  $R$  алюминийдин эсептик каршылыгынын маанисин төмөндөтүү жолу менен ушул элементтердин жергиликтүү начарлоосун (терминалык таасир берүү чөлкөмүндө) эске алуу сунушталат.



1-сүр. Конструкцияларды ширетип бириктируулөрдүн схемалары  
а – беттештирип; б – четтерин үстүнө келтирип мандайлашкан тигиштер  
менен; в – четтерин үстүнө келтирип, флангалык тигиштер менен; г – туурасынан  
элементтин беттешүүсү жок элементке бекитүүнүн схемасы: 1 – туурасынан  
элемент; 2 – беттешүүсү жок элемент; 1-1 – эсептик кесилиш

5.7 Жука такталуу алюминий конструкцияларында эрип кетүүчү электрод менен контакттуу жана аргондук жаа ширетүүнү колдонууга жол берилет. МАСТ 14776 боюнча эрип кетүүчү электрод менен контакттуу жана аргондук жаа чекиттик ширетүү менен аткарылган ширетүү чекиттеринин кесилишинин алыш жүрүүчү эсептик жөндөмдүүлүгү Ж тиркемесинде көрсөтүлгөн.

5.8 АД1М, АМцМ, АМг2М маркаларындагы алюминий үчүн контакттуу роликтүү ширетүү менен аткарылган четтерин үстүнө келтирилген ширетүү бирикмелеринин  $R_{wsm}$ , кесилишке эсептик каршылыктарын  $R$  эсептик каршылыктарга барабар катары кабыл алуу сунушталат (5-жана 7- табл. кара).

AMr2H2 маркасындагы алюминий үчүн  $R_{wsm} = (0,9-0,1t) R$  (бул жерде  $t$  – ширетилүүчү элементтердин ичинен эң жукасынын калыңдыгы, мм).

5.9 Муздак абалында көзөлгөн жана кеңейтил көзөлгөн тешиктерге коюлган кадоолордогу бирикмелердин  $R_{rs}$  кесилишине эсептик каршылыктары 11-таблицада келтирилген.

5.10 Көзөлгөн же кеңейтилип көзөлгөн тешиктерге буроолордогу бирикмелердин  $R_{bt}$  чоюлууга жана  $R_{bs}$  кесилишке эсептик каршылыктары 12-таблицада келтирилген.

## 8 – та б ли ц а

Ширетип бириктируүнүн түрү	Чыңалган абал	Белгиле ниши	Алюминийдин тигишке жакын зонадагы эсептик каршылыгы МПа (кгс/см <sup>2</sup> )									
			Терминалык бекемделбей турган маркалардын			Терминалык бекемделүүчү маркалардын						
			АД1М	АМцМ	АМг2М; АМг2Н2	АД31Т; АД31Т4	АД31Т5	АД31Т1	1935Т	1915	1915Т	
			Төмөнкү маркалардагы электроддук же присадкалык зымдарды колдонуу менен ширетүүдө									
			CвА1	СвАМг3		СвАМг3; 1557			1557			
Беттеширип жана чёттерин үстүнө келти- рип жана ман- дайлашкан тигиштер менен (1,а,б, сүр. кесилиш 1-1)	Чоюлуу, кысылуу жана иийлүү Жылышуу	$R_{wz}$	25 (250)	40 (400)	65 (650)	55 (550)	65 (650)	80 (800)	115 (1150) 120(1250)	140 (1450)	511 (1600)	
Флангдык тигиштер менен чётте- рин үстүнө келтирип	Чоюлуу, кысылуу жана иийлүү	$R_{wzs}$	15 (150)	25 (250)	40 (400)	35 (350)	40 (400)	50 (500)	80 (800)	90 (900)	105 (1050)	
		$R_z$	25 (250)	40 (400)	65 (650)	50 (500)	60 (600)* 75(750)*	80 (800)* 105(1050)*	100 (1000)* 105(1050)*	130 (1300)* 140 (1450)* (1450)*	140 (1450)* 155 (1600)*	

## 8 – табицанын аягы

Ширетип бириктируү- нүн түрү	Чыңалган абал	Белгиле- ниши	Алюминийдин тигишке жакын зонадагы эсептик каршылыгы МПа ( $\text{kgs}/\text{cm}^2$ )																	
			Терминалык бекемделбей турган маркалардын			Терминалык бекемделүүчү маркалардын														
			АД1М	АМцМ	АМг2М; АМг2Н2	АД31Т; АД31Т4	АД31Т5	АД31Т1	1935Т	1915	1915Т									
			Төмөнкү маркалардагы электроддук же присадкалык зымдарды колдонуу менен ширетүүдө																	
			СвА1	СвАМг3	СвАМг3; 1557			1557												
* Профилдик элементтерден четтерин үстүнө келтирүү менен бириктируү үчүн.																				
Э с к е р т үүлөр																				
1 1915Т маркасындагы алюминий үчүн $R_w$ эсептик каршылык калындыгы 5-12 мм. профилдер үчүн көрсөтүлгөн. Калындыгы 4 мм профилдер үчүн вольфрам электроду менен ширетүүдө $R_{wz}= 165 \text{ МПа} (1700 \text{ кгс}/\text{см}^2)$ .																				
2 Конструкциялардын элементтеринин узата ширетүү тигиштеринин ( каптоолордо, чатырды жабууларда ж.б.) алюминийдин тигишке жакын чөлкөмдөрүндөгү бошондошуна таасири эске алынбайт.																				
3 1915Т маркасындагы алюминий үчүн $R_w$ эсептик каршылык калындыгы 5-12 мм. профилдер үчүн көрсөтүлгөн. Калындыгы 4 мм профилдер үчүн вольфрам электроду менен ширетүүдө $R_{wz}=165 \text{ МПа} (1700 \text{ кгс}/\text{см}^2)$ .																				

## 9 – таблица

Ширетилген бириктириүүлөр жана тигиштер	Чыналган абалы	Белгилениши	Төмөнкү маркалардагы алюминийдин ширетүү тигиштеринин эсептик каршылыгы МПа (кгс/см <sup>2</sup> )		
			АД1М	АМцМ	АМг2М; АМг2Н2
			төмөнкү маркалардагы электроддук же присадкалык zymдарды колдонуу менен ширетүүде		
			СвА1	СвАМг3	СвАМг3
Беттеширип	Кысуу, чоюлуу, иийилүү	$R_w$	25 (250); 30 (300) *	40 (400); 45 (450) *	65 (650)
	Жылышуу	$R_{ws}$	15(150)	25 (250)	40 (400)
Бурчук тигиштер	Кесилиш	$R_{wf}$	20 (200)	30 (300)	45 (450)

\* Алюминий агымдуулуктун чегине жеткендөн кийин пайдалануу мүмкүн болгон конструкциялар үчүн.

## 10–таблица

Ширетилген бириктируү- лөр жана тигиштер	Чыналган абалы	Белгиле- ниши	Төмөнкү маркалардагы алюминийдин ширетүү тигиштеринин эсептик каршылыгы МПа (кгс/см <sup>2</sup> )								
			АД31Т; АД31Т4	АД31Т5	АД31Т1	1935Т	1915	1915Т металдын калыңдыгы, мм			
								4			
			Төмөнкү маркалардагы электроддук же присадкалык зымдарды колдонуу менен ширетүүдө								
			СвАМг3; 1557			1557					
Беттешти- рилген	Электрод менен ширетүүдөгүкүсуу, чоюлуу, ийилүү:  а) эрип кетүүчү (автоматтык жана жарым автоматтык ширетүү)  б) вольфрамдык (кол менен жана механизациялаштыр ылган ширетүү)	$R_w$	55 (550)	65 (650)	80 (800)	120 (1250)	140 (1450)	— 155 (1600)			
			55 (550)	65 (650)	80 (800)	115 (1150)	140 (1450)	155 (1600) 155 (1600)			

## 10 – таблицанын аяғы

Ширетилген бириктируулор жана тигиштер	Чыңалган абалы	Белгиле- ниши	Төмөнкү маркалардагы алюминийдин ширетүү тигиштеринин эсептик каршылыгы МПа (кгс/см <sup>2</sup> )						1915T металдын калындыгы, мм	
			АД31Т; АД31Т4	АД31Т5	АД31Т1	1935Т	1915			
			Төмөнкү маркалардагы электроддук же присадкалык зымдарды колдонуу менен ширетүүдө						4	5-12
СвАМг3; 1557						1557				
Беттештирип	Жылышуу	$R_{ws}$	35 (350)	40 (400)	50 (500)	80 (800)	90 (900)	110 (1100)	105 (1050)	
Бурчук (флангдык жана мандайлаш тигиштер)	Кесим	$R_{wf}$	45 (450)	45 (450)	45 (450)	80 (800)	110 (1100)	110 (1100)	110 (1100)	

**Э с к е р т үү лөр**

1 1915T маркасындагы алюминийдин ширетүү бирикмелеринин эсептик каршылыктары пресстелген профилдер үчүн көрсөтүлгөн.

2 Терминалык бекемделүүчү алюминийдин ширетүү бирикмелеринин эсептик каршылыктары кайталануучу терминалык иштетүү менен жогорулатышы мүмкүн (бирикмени ширетүүдөн кийин), бул учурда  $Al-Zn-MgR_w=R$  системасындагы алюминий үчүн ( $R$ -6-табл. боюнча аныктала турган эсептик каршылык).

АД31Т, АД31Т1, АД31Т4 и АД31Т5 маркаларындагы алюминийден четтерин үстүнө келтирип ширетилген бирикмелерде мандайлаш тигиштерди колдонууга жол берилбейт.

## 11- т а б л и ц а

Кадоолор үчүн алюминийдин маркасы	АД1Н	АМг2Н	АМг5пМ	АВТ1
$R_{rs}$ кадоолорунда бирикмелердин кесилишине эсептик каршылык МПа ( $\text{кгс}/\text{см}^2$ )	35 (350)	70 (700)	100 (1000)	100 (1000)
<p>Э с к е р т үүлөр</p> <p>1 Чункурайтылган тешиктерге кадоолорду коюуга жол берилбейт.</p> <p>2 Жылма же жарымжылма бөрктүү кадоо менен бирикмелерде эсептик каршылыктарды 20% га төмөндөтүү сунушталат. Көрсөтүлгөн кадоолор чоюлтуучу күчтөрдү сезбейт.</p>				

## 12- т а б л и ц а

Буроолор менен бириктируү	Чыңалуудагы абал	Белгиле- ниши	Төмөнкү маркалардагы алюминийден $R_b$ буроолору менен бириктируүлөрдүн эсептик каршылығы МПа ( $\text{кгс}/\text{см}^2$ )	
			АМг5п	АВТ1
Жогорулатылган тактыктагы	Чоюлушу	$R_{bt}$	125 (1250)	155 (1600)
Нормалдуу жана одонотактыктагы	Кесилиши	$R_{bs}$	90 (900)	95 (950)
	Чоюлушу	$R_{bt}$	125 (1250)	155 (1600)
	Кесилиши	$R_{bs}$	80 (800)	85 (850)

5.11 Көзөлгөн жана кеңейтилип көзөлгөн тешиктерге коюлган  $R_{rp}$  кадоолорундагы жана  $R_{bp}$  буроолорундагы бирикмелер үчүн конструкциянын элементтеринин майтарылышынын эсептик каршылыктарын 13-таблица боюнча кабыл алуу сунушталат.

## 13– т а б л и ц а

Алюминийдин маркасы элементтердин	Бирикмелер үчүн конструкциялардын элементтеринин майтарылышынына эсептик каршылык МПа ( $\text{кг}/\text{см}^2$ )	
	кадоолордо, $R_{rp}$	буроолордо, $R_{bp}$
АД1М	40 (400)	35 (350)
АМцМ	65 (650)	60 (600)

## 13 – таблицанын аяғы

Алюминийдин маркасы элементтердин	Бирикмелер үчүн конструкциялардын элементтеринин майтарлыбынына эсептик каршылық МПа (кг/см <sup>2</sup> )	
	кадоолордо, $R_{rp}$	буроолордо, $R_{bp}$
АМг2М	110 (1100)	100 (1000)
АМг2Н2	195 (2000)	175 (1800)
АД31Т	90 (900)	80 (800)
АД31Т4	90 (900)	80 (800)
АД31Т5	155 (1600)	140 (1450)
АД31Т1	195 (2000)	175 (1800)
1925	275 (2800)	245 (2500)
1915	275 (2800)	245 (2500)
1915Т	315 (3200)	285 (2900)

Э ск е р т үү – эсептик каршылыктаралардын огуналыктарын четине чейин  $2d$  аралыкта коюлган буроолор менен бекитилген бирикмелер үчүн келтирилген. Бул аралыкты  $1,5d$  кыскартууда келтирилген эсептик каршылыктарды 40% га төмөндөтүү сунуш кылышат.

5.12 Алюминийдин жана куйма алюминийдин эсептик каршылыктары,  $50^{\circ}\text{C}$  жогорку эсептик температураларда эксплуатациялануучу ширетилген, кадоолор менен буроолор конструкциялары үчүн 14-таблицада көрсөтүлгөн  $\gamma_t$  коэффициентине көбөйтүү зарыл.

5.13 Алюминий конструкцияларын элементтерин жана бирикмелерин эсептөөдө 15-таблица боюнча кабыл алынуучу жумуш шарттарынын  $\gamma_t$  коэффициентин эске алуу сунуш кылышат.

## 14 – т а б ли ц а

Конструкциялардын алюминийинин маркасы	АД1, АМц	АМг2, АД31, 1915, 1925, 1935, АЛ8
Коэффициент $\gamma_t$ (51 дән $100^{\circ}\text{C}$ чейинки температурада)	0,85	0,90

Э ск е р т үү л е р

1  $\gamma_t$  коэффициенттеринин келтирилген маанилери алюминийдин абалына көз каранды болот (2-таблицаны кара).

2  $50^{\circ}\text{C}$  дан жогорку эсептик температураларда эксплуатациялануучу конструкциялар үчүн,  $\gamma_t$  коэффициенттерин нормативдик жүктөмдүнбир жылдан ашык үзгүлтүксүз аракетинде жана ошондой эле эсептегиден 0,9 дан жогоркунан түзүүчү эки жылдан ашык нормативдик жүктөмдүн эки жылдан ашык үзгүлтүксүз аракетинде 10% га азайтуу сунуш кылышат.

## 15-таблица

Конструкциялардын элементтери	Коэффициент $\gamma_c$
1 Резервуарлардын корпустары жана түптөрү	0,8
2 Турак жай жана коомдук имараттардын колонналары жана суу бергич мунаралардын таянычтары	0,9
3 Төмөнкү ийилчээктеги жалпак фермалардын торчосунун кысылган элементтери: $\lambda \leq 50$ $\lambda > 50$	0,9 0,75
4 Мейкиндиктик торчолуу конструкциялардын бир тактача менен бекитилүүчү бириндеген тик бурчтуктардан турган кысылган жантык тирөөчтөрү: а) ширетүү тигиштери же тик бурчтукту бойлото коюлган эки же андан көп кадоосу (буроосу) менен б) бир буроо менен	0,75 0,6
5 Ушул таблицанын 4 поз. көрсөтүлгөн конструкциялардын элементтеринен жана бириндеген тик бурчтуктардан турган жалпак фермалардан башка, бир тактача менен бекитилүүчү бириндеген тик бурчтуктардан турган кысылган элементтер (бирдей эмес такталуу тик бурчтуктар үчүн – бир гана кууш тактасы бар).	0,6
<b>Эскертуулөр</b>	
1 3 жана 5 поз. иштөөсүнүн шарттарынын коэффициенттери бир эле убакытта эске алынбайт.	
2 3 жана 4 поз. иштөөсүнүн шарттарынын коэффициенттери түйүндөрдөгү тиешелүү элементтердин бекитүүлөрүнө тиешелүү болбайт.	
3 Кергичтүү үч бурчтуу торчодогу бириндеген тик бурчтуктардан турган мейкиндиктүү торчолуу конструкциялардын кысылган жантык тирөөчтөрү үчүн 4-поз иштин коэффициенти эске алынбайт (8- а сүр. кара).	
4 Ушул таблицада каралбаган учурлар үчүн формулаларда $\gamma_c = 1,0$ кабыл алуу сунушталат.	

## 6 Алюминий конструкцияларынын элементтерин октук күчтөргө жана ийилүүгө эсептөө

### Борбордук чоюлган жана борбордук кысылган элементтер

6.1 Борбордук чоюлууга же кысылууга  $N$  күчү менен дуушар болгон элементтердин бекемдигин эсептөө төмөнкү формула менен жүргүзүү сунушталат

$$\frac{N}{A_n} \leq R\gamma_c \quad (1)$$

6.2 Борбордук кысылууга дуушар болуучу бүтүндөй капиталдуу элементтердин туруктуулугун эсептөө төмөнкү формула менен жүргүзүү сунушталат

$$\frac{N}{\varphi A} \leq R\gamma_c \quad (2)$$

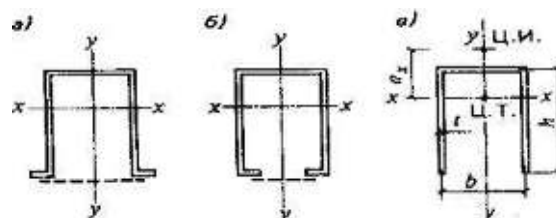
Коэффициенттин сандык маанилери Б тиркемесинин 2-жана 3- таблицаларда келтирилген.

6.3 Бириндеген тик бурчуктарданөзөктөрдүн борбордук кысылууга эсептөөдө  $i$  кесилишинин инерциясынын радиусун төмөнкүдөй кабыл алуу сунушталат:

а) минималдуу, эгерде өзөктөрдөн учтарынан гана бекитилген болсо;

б) экинчи текчеге параллелдүү тегиздикте тик бурчуктун чыгып калуусунун багытын алдын ала аныктоочу орто аралык бекемдөө (кергичтер, шпренгелдер, байланыштар ж.б.) болгон учурда тик бурчуктун текчелеринин бирине параллелдүү болгон окко карата.

6.4 Ачык П сымал кесилиштеги бүтүндөй капиталдары менен кысылган отбортовкалар же жоонаюулар (бульбалар) менен күчтөндүрүлгөн же күчтөндүрүлбөгөн элементтерди (2-сүр.)  $\lambda_x < 3\lambda_y$  болгондо (бул жерде  $\lambda_x$  жана  $\lambda_y$   $x$ - $x$  жана  $y$ - $y$  окторуна перпендикулярдуу тегиздиктердеги элементтин эсептик ийилчээктеги), планкалар же торчолор менен күчтөндүрүү сунуш кылынат, бул учурда 6.5 жана 6.7 п. п. талаптары аткарылышы керек.



2-сүр. Элементтердин П – сымал кесилиштери  
а, б – планкалар же торчо менен бекемделген; в – ачык

Планкалар же торчолор болбогон учурда мындай элементтерди (2) формула боюнча эсептөөдөн башка

$$\frac{N}{c\varphi_y A} \leq R\gamma_c \quad (3)$$

формуласы боюнча ийилүү-толгонуу формасында түрүктуулукту жоготуусун текшерүү сунушталат, бул жерде

$$c = \frac{2}{1 + \delta + \sqrt{(1 - \delta)^2 + \frac{16\alpha^2}{\mu}}}, \quad (4)$$

формуласы менен аныктала турган  $c$ - коэффициент,

$$\text{ал жерде } \delta = \frac{4\rho}{\mu};$$

$$\rho = \frac{L_x + L_y}{Ah^2} + \alpha^2;$$

$\alpha = \frac{a_x}{h}$  - оордуктун борборунун жана ийилүүнүн борборунун ортосундагы салыштырмалуу аралык;

$$\mu = \frac{8I_\omega}{I_y h^2} + 0,156 \frac{I_t}{Ah^2} \lambda^2 y;$$

$I_\omega$  – кесилиштин инерциясынын секториалдык моменти;

$$I_t = \frac{1}{3} \sum b_i t_i^3$$

$b_i, t_i$  – тиешелүү түрдө кесилишти түзүүчү тик бурчтуу элементтердин жазылышы жана калыңдыгы.

2-в сүр. келтирилген кесилиш үчүн маанилер  $\frac{I_\omega}{I_y h^2}, \frac{I_t}{Ah^2}$  жана  $\alpha$  маанисин төмөнкү формулалар менен аныктоо сунуш кылышат:

$$\left. \begin{aligned} \frac{I_\omega}{I_y h^2} &= \frac{39 + 2\beta}{(6 + \beta)^2}; \\ \frac{I_t}{Ah^2} &= \frac{1}{3} \left( \frac{t}{h} \right)^2; \\ \alpha &= \frac{4(3 + \beta)}{(2 + \beta)(6 + \beta)}, \end{aligned} \right\} \quad (5)$$

$$\text{бул жерде } \beta = \frac{b}{h}.$$

$I_t$  толгонууда инерция моментинде төгерек кесилиште жооноюулар (бульбалар) болгон учурда  $\frac{n\pi D^4}{32}$ , га көбөйтүү сунуш кылынат, бул жерде  $n$  – кесилиштеги бульбалардын саны;

$D$  – бульбалардын диаметри.

6.5 Бутактары планкалар же торчолор менен бириктирилген курамдуу кысылган өзөктөр үчүн эркин окко карата ф коэффициентин (планкалардын же торчолордун тегиздигине перпендикуляруу болгон) по Б тиркемесинин 2-табл. Буюнча  $\lambda$  ны  $\lambda_{ef}$  га алмаштыруу менен аныктоо сунушталат.  $\lambda_{ef}$  маанилерин 16-табл. формулалары менен аныктагыла. Торчолуу курамдык өзөктөрдөбүтүндөй өзөктүн туруктуулугун эсептөөдөн тышкары түйүндөрдүн ортосундагы участкалардагы айрым бутактардын туруктуулугуна эсептөө жүргүзүү сунуш кылынат.

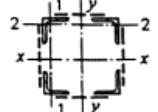
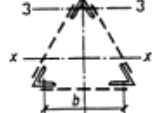
Айрым  $\lambda_1$  жана  $\lambda_1$  бутактардын планкалар ортосундагы участкадагы ийилчээктиги 30 дан ашпоосу керек.

Торчолуу курамдык өзөктөрдөгү айрым бутактардын түйүндөр ортосундагы ийилчээктиги бүтүндөй өзөктүн келтирилген  $\lambda_{ef}$  ашпоосу керек.

6.6 Тыгыз же прокладкалар аркылуу бириктирилген тик бурчтуктардан жана швейлерлерден ж.б. турган курамдык элементтердин эсебин эгерде алардын бириктируулөрүнүн (прокладкалар, шайбалар ж.б.) ортосундагы эн чоң аралыктар: кысылган элементтерүчүн –  $30i$ ; чоюлган элементтер үчүн –  $80i$  ашпасабүтүндөй капиталдуу катары аткаруу сунуш кылынат.

Бул жерде тик бурчтуктун же швейлердин  $i$  инерциясынын радиусун прокладкалардын жайгашуусунун тегиздигине параллелдүү огуна карата таврдуу же экитаврдуу кесилиштер үчүн, ал эми кресттүү кесилиштер үчүн минималдуу кабыл алуу сунушталат. Бул учурда кысылган элементтин узундугунун чектеринде экиден кем эмес прокладка коюу сунушталат.

## 16-таблица

Кесилиштин түрү	Кесилиштин схемасы	Өтмө кесилиштеги курамдык өзөктөрдүн келтирилген ийилчээктитери $\lambda_{ef}$		
		Планкалары менен		Торчолору менен
		$I_s l / (I_b b) < 5$	$I_s l / (I_b b) > 5$	
1		$\lambda_{ef} = \sqrt{\lambda_s^2 + 0,82\lambda_1^2(1+n)} \quad (6)$	$\lambda_{ef} = \sqrt{\lambda_1^2 + \lambda_2^2} \quad (9)$	$\lambda_{ef} = \sqrt{\lambda_s^2} + \sqrt{\alpha_1 \frac{A}{A_{ef}}} \quad (12)$
2		$\lambda_{ef} = \sqrt{\lambda_s^2 + 0,82[\lambda_1^2(1+n_1) + \lambda_2^2(1+n_2)]} \quad (7)$	$\lambda_{ef} = \sqrt{\lambda_s^2 + \lambda_1^2 + \lambda_2^2} \quad (10)$	$\lambda_{ef} = \sqrt{\lambda_s^2} + \sqrt{A \left( \frac{\alpha_1}{A_{ef}} + \frac{\alpha_2}{A_{ef}} \right)} \quad (13)$
3		$\lambda_{ef} = \sqrt{\lambda_s^2 + 0,82\lambda_3^2(1+3n_3)} \quad (8)$	$\lambda_{ef} = \sqrt{\lambda_s^2 + 1,3\lambda_3^2} \quad (11)$	$\lambda_{ef} = \sqrt{\lambda_s^2} + \sqrt{\alpha_3 \frac{2A}{3A_{ef}}} \quad (14)$

16-таблицада кабыл алынган белгилөөлөр:

$\lambda$  – бүткүл өзөктүн эң чоң ийилчээктиги;

1–1, 2–2 жана 3–3 тиешелүү окторго перпендикулярдуу тегиздиктердеги, ширетилген планкалардын ортосундагы же четки буроолор же кадоолордун ортосундагы участоктордо ийүүдөгү  $\lambda_1, \lambda_2, \lambda_3$  – айрым бутактардын ийилчээктиги;

$A$  – өзөктүнкесилишинин аяны;

$A_{d1}, A_{d2}$  – тиешелүү түрдө 1–1 жана 2–2 окторуна перпендикулярдуу тегиздиктерде жаткан торчолордун жантык тирөөчтөрүнүн кесилиш аянтары (кресттүү торчодо -эки жантык тирөөчтүү);

$A_d$  – бир капиталдын тегиздигинде жаткан (уч кырдуу бирдей капиталдуу өзөк үчүн) торчонун жантык тирөөчүнүн кесилишинин аяны кресттүү торчодо – эки жантык тирөөчтө);

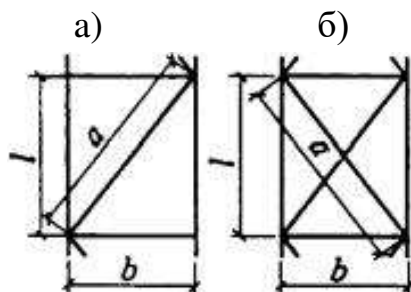
$a_1, a_2$  – формуласы менен аныктала турганкоэффициенттер

$$\alpha = 10 \frac{a^3}{b^2 l};$$

$a, b, l$  – 3 а жана 4 -сүр. боюнча кабыл алынуучу өлчөмдөр;

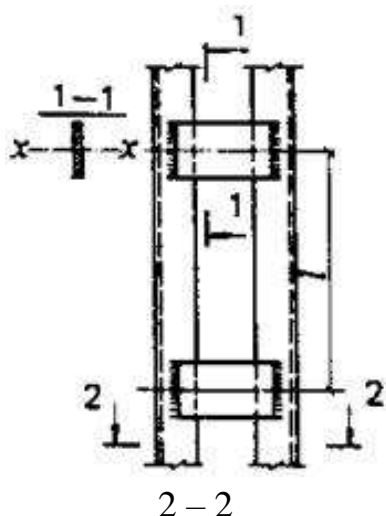
## 16 – таблицанын аягы

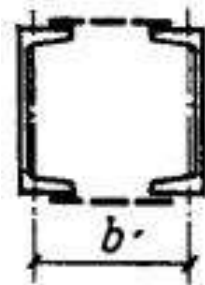
Кесилиштин түрү	Кесилиштин схемасы	Өтмө кесилиштеги курамдык өзөктөрдүн келтирилген ийилчээтиктери $\lambda_{ef}$				
		Планкалары менен				
		$I_s l / (I_b b) < 5$	$I_s l / (I_b b) > 5$			
<i>n, n<sub>1</sub></i> – тиешелүү түрдө формуулалар боюнча аныктала турган коэффициенттер:						
$n = \frac{I_{b1}b}{I_s l}; \quad n_1 = \frac{I_{b1}b}{I_{s1}l};$						
$n_2 = \frac{I_{b2}b}{I_{s2}l}; \quad n_3 = \frac{I_{b3}b}{I_s l};$						
бул жерде $I_{b1}, I_{b3}$ – тиешелүү түрдө 1–1 жана 3–3(1 жана 3 түрлөрдүн кесилиштери үчүн) бутактардын кесилиштеринин инерциясынын моменттери;						
$I_{b1}, I_{b2}$ – тиешелүү түрдө окторуна карата 1–1 жана 2–2 (2-түрдөгү кесилиш үчүн) эки тик бурчтуктун кесилишинин инерциясынын моменттери;						
$I_s$ – өз огуна карата бир планканын кесилишинин инерциясынын моменти $x$ – $x$ (4-сүр);						
$I_{s1}, I_{s2}$ – 1–1 жана 2–2 тиешелүү окторго перпендикулярдуу тегиздиктерде жаткан планкалардын биригинин кесилишинин инерциясынын моменттери.						



3-сүр. Торчонун схемасы

а – жантык тирөөчтүү; б – кергичтери менен кресттүү





4-сүр. Планкалардагы курамдык өзөк

6.7 Өтмө кесилиштеги кысылган курамдык өзөктөрдүн бириктируүчүү элементтерин (планкаларды, торчолорду) эсептөөнүөзөктүн бардык узундугунда туруктуу кабыл алышуучу  $Q_{fic}$ , шарттуу каптал күчкө жана формуласы боюнча аныкта аткаруу сунуш кылышат

$$Q_{fic} = 4,2 \cdot 10^{-6} \left( 4000 - \frac{E}{R} \right) \varphi N \quad (15)$$

бул жерде  $N$ —курамдык өзөктөгүү каптал күчү;

$\varphi$ —бириктируүчүү элементтердин тегиздигиндеги курамдык өтмө өзөк үчүн кабыл алыша турган узата ийилүүнүн коэффициенти.

Шарттуу каптал күч  $Q_{fic}$  төмөнкүлөр болсо бөлүштүрүү сунуш кылышат:

Бириктируүчү планкаларды (торчолорду) гана –ошого карата туруктуулук текшерилип жаткан окко перпендикулярдуу тегиздиктерде жаткан планкалардын (торчолордун) ортосунда теңме-тең;

Туташ тактаны жана бириктируүчү планкаларды (торчолорду) – тактага параллелдүү жаткан тегиздиктеги такта жана планкалар ортосунда теңме-тең.

Бирдей капталдуу үч кырдуу курамдык өзөктөрдү эсептөөдө бир тегиздикте жайгашкан бириктируүчү элементтердин системасына келип жаткан  $Q_{fic}$  шарттуу каптал күчүн  $0,8Q_{fic}$  барабар катары кабыл алуу сунушталат.

6.8 Бириктируүчү планкаларды жана алардын бекитүүлөрүн (4-сүр. кара) төмөнкү формулалар боюнча жантык тирөөчсүз фермалардын элементтерин эсептөө сыйктуу аткаруу сунуш кылышат:

планканы кесүүчү  $F$  күчүнө:

$$F = \frac{Q_s l}{b}; \quad (16)$$

планканы өзүнүн тегиздигинде ийилтүүчү  $M_1$ , моментине:

$$M_1 = \frac{Q_s l}{2} \quad (17)$$

бул жерде  $Q_s$ —бир кырдын планкасына туура келүүчү шарттуу каптал күч;  $l$ —планкалардын борборлорунун ортосундагы аралык;

*b*—бутактардын окторунун ортосундагы аралык.

6.9 Бириктируүчүү торчолорду эсептөө фермалардын торчолорун эсептөө катары жүргүзүү сунушталат. Кергичтери бар кресттик торчонун кайчылаш жантык тирөөчтөрүн (3-б сүр. кара) эсептөөдөар бир тирөөчтө курчоолорду кысууда пайда боло турган жана

$$N_{ad} = \alpha N \frac{A_d}{A_1} \quad (18)$$

формуласы менен аныкталуучу кошумча  $N_{ad}$ , күчүн эске алуу зарыл.

бул жерде  $N$ —өзөктүн бир бутагынын күчү;

$A_d$ —бир жантык тирөөчтүн кесилишинин аяны;

$A_1$ —бир бутактын кесилишинин аяны

$$\alpha = \frac{al^2}{a^3 + 2b^3} \quad (19)$$

формуласы боюнча аныкталуучу коэффициент

$a, l, b$ —3,6 сүр. келтирилген өлчөмдөр.

6.10 Кысылган элементтердин эсептик узундугун азайтуу үчүн арналган өзөктөрдү эсептөөнү (15) формула менен аныкталуучу негизги кысылган элементтеги шарттуу каптал күчтөргө барабар күчтөргө аткаруу сунуш кылышат.

## Ийилүүчүү элементтер

6.11 Башкы тегиздиктердин биринде ийилүүчүү элементтердин бекемдигине эсептөө жүргүзүү төмөнкү формулалар менен аткаруу сунушталат:

$$\frac{M}{W_{n,min}} \leq R_s \gamma_c \quad (20)$$

$$\tau = \frac{QS}{L_t} \leq R_s \gamma_c \quad (21)$$

Кадоолор же буроолор үчүн көзөнөктөр менен начарлатуу болгон учурда  $\tau$  кыйыр чыңалуулардын (21) формуласында

$$\frac{a}{a-d}, \quad (22)$$

мамилесинин чондугуна көбөйтүү сунушталат,

бул жерде

$a$ —көзөнөктөрдүн аралыгы;

$d$ —көзөнөктүн диаметри.

6.12 (2) формуласы боюнча эсептелүүчү устундардын капиталдары үчүн төмөнкү шарттар аткарылыши керек:

$$\sqrt{\sigma_x^2 - \sigma_x \sigma_y + \sigma_y^2 + 3\tau_{xy}} \leq R\gamma_c;$$

бул жерде  $\sigma_x = \frac{M_x}{I_n}$  –устундун огуна параллелдүү капиталдык ортолук тегиздигиндеги нормалдуу чыналуулар;

$\sigma_y$  –устундун огуна перпендикулярдуу капиталдын ортолук тегиздигиндеги нормалдуу чыналуулар, анын ичинде Д тиркемесинин (1) формуласы боюнча аныкталуучу  $\sigma_{loc}$ ,

$\tau_{xy} = \frac{Q}{th}$  – (22) формуланы эске алуу менен эсептелип чыгуучу орточо кыйыр чыналуу;

$t, h$  –тиешелүү түрдө капиталдын калыңдыгы жана бийиктиги.

$\sigma_x$  жана  $\sigma_y$  чыналууларын устундун бетинин бир эле чекитинде аныктоо сунушталат жана ар бирин өз белгиси менен (23) формулада кабыл алуу сунушталат.

6.13 Капиталдын тегиздигинде ийилүүчү экитаврдуу кесилиштеги устундардын туруктуулугун эсептөөнү формуласы менен аткаруу сунуш кылышат

$$\frac{M}{\Phi_b W_c} \leq R\gamma_c \quad (24)$$

бул жерде  $W_c$  – кысылган курчоо үчүн

$\Phi_b$  – милдеттүү В тиркемеси боюнча аныкталуучу коэффициент.

Устундун  $l_{ef}$  эсептик узундугуна  $\Phi_b$  маанисина ныктоодо кысылган курчоонун туурасынан жылып кетүүлөрүнүн бекитүүчү чекиттеринин аралыктарын алуу сунушталат; байланыштар жок болгондо  $l_{ef} = l$  (мында  $l$  – устундун аралыгы). Консолдун эсептик узундугуна горизонталдык тегиздикте консолдун аягындагы кысылган курчоону бекитүүсү болбогондо (бул жерде  $-l$  – консолдун узундугу; курчоону консолдун аягында жана консолдун узундугу боюнча бекитүүдөгү горизонталдык тегиздиктеги кысылган курчоонун бекитилишинин чекиттеринин арасындагы аралык).

Устундардын туруктуулугун текшерүү талап кылышынбайт:

а) устундун кысылган курчоосуна үзгүлтүксүз таянуучу жана аны менен ишенимдүү байланышкан, туташ бекем төшөө аркылуу жүктөмдү берүүдө (жалпак жана профилденген металл төшөөсү, толкундуу болот ж.б.);

б)  $l_{ef}$  устунунун эсептик узундугунун  $b$ , кысылган курчоосунун жазылыгына карата катышында, симметриялуу экитаврдуу кесилиштеги жана көбүрөөк өнүккөн кысуучу курчоосу бар, алар үчүн чоюлган курчоонун жазылыгы кысылган курчоонун 0,75 кем эмесин түзгөн устундар үчүн 17-таблицанын формалалары менен аныктала турган маанилерден ашпаганда.

## 17–таблица

Жүктөмдү коюунун орду	<p>Прокаттык жана ширетилген устундардын туруктуулугуна эсептөө жүргүзүү талап кылынбаган <math>\frac{l_{ef}}{b}</math>, энд чоң маанилери</p> $(1 \leq \frac{h}{b} < 6 \text{ жана } 15 \leq \frac{b}{t} \leq 35 \text{ болгондо})$
Жогорку курчоого	$0,45 \left[ 0,35 + 0,0032 \frac{b}{t} + (0,76 - 0,02 \frac{b}{t}) \frac{b}{h} \right] \sqrt{\frac{E}{R}} \quad (25)$
Төмөнкү курчоого	$0,45 \left[ 0,57 + 0,0032 \frac{b}{t} + (0,92 - 0,02 \frac{b}{t}) \frac{b}{h} \right] \sqrt{\frac{E}{R}} \quad (26)$
Устундун байланыштарынын ортосундагы участоктогу жүктөмдү эсептөөдө же таза ийилүүдөгү жүктөмдү коюунун деңгээлине көз каранды эмес	$0,45 \left[ 0,41 + 0,0032 \frac{b}{t} + (0,73 - 0,016 \frac{b}{t}) \frac{b}{h} \right] \sqrt{\frac{E}{R}} \quad (27)$
<p><i>17-табл. кабыл алынган белгилөөлөр</i>  <math>b, t</math>—тиешелүү түрдө кысылган курчоонун жазылыгы жана калыңдыгы;  <math>h</math>—курчоочу такталардын окторунун ортосундагы аралык (бийиктиги).      Э с к е р т үү 17-таблицанын формуулалары боюнча эсептөөдө алына турган кадоолору жана жогорку бекемдиктеги буроолору бар курчалган бириктируулөрү менен устундар үчүн <math>\frac{l_{ef}}{b}</math>, маанилерин 1,2 коэффициентине көбөйтүү сунушталат.</p>	

6.14 Эки башкы тегиздикте ийиле турган элементтердин бекемдигин эсептөөнү төмөнкү формулада аткаруу сунуш кылынат

$$\frac{M_x}{L_{xn}} y \pm \frac{M_y}{L_{yn}} x \leq R\gamma_c \quad (28)$$

бул жерде  $x, y$  – каралып жаткан кесилиштин чекитинин анын башкы оқторуна карата координаттары. (28) формула боюнча эсептелип жаткан устундардагы устундун капиталындагы чыңалуулардын маанилерин ийилүүнүн эки башкы тегиздигинде (21) жана (23) формулалары боюнча текшерүү сунушталат.

6.13а п. талаптарын аткарған учурда эки тегиздикте ийилүүчү устундар туруктуулукка текшерилбейт.

### **Ийилүү менен октук күчтүн аракетине дуушар болуучу элементтер**

6.15 Туташ капиталдуу борбордон тышкaryы кысылган, кысылып ийилүүчү, борбордон тышкaryы чоюлган жана чоюлуп-ийилүүчү элементтердин бекемдигин эсептөөнү

$$\frac{N}{A_n} \pm \frac{M_x}{L_{xn}} y \pm \frac{M_y}{L_{yn}} x \leq R\gamma_c \quad (29)$$

формуласы менен аткаруу сунуш кылышат,

бул жерде  $x, y$  – каралып жаткан кесилиштин чекитинин анын башка огұна карата координаттары.

Курамдық өтмө өзөктөрдө ар бир бутакты ушул бутак үчүн эсептелип чыгарылган  $N, M_x, M_y$  тиешелүү маанилеринде (29) формуласы боюнча текшерүү зарыл.

6.16 Борбордон тышкaryы кысылган жана кысылган- ийилүүчү элементтердин туруктуулугуна эсептөөнү моменттин аракетинин тегиздигинде кандай болсо (туруктуулукту жоготуунун жалпак формасы), ошондой эле моменттин аракетинин тегиздигинен (туруктуулукту жоготуунун ийилүүчү - толгоочу формасы) аткаруу сунуш кылышат.

Борбордон тышкaryы кысылган жана кысылган-ийилүүчү туруктуу кесилиштеги элементтерди симметриянын тегиздигине дал келүүчү моменттин аракетинин тегиздигинде туруктуулукту эсептөөнү ушул формула менен аткаруу сунушталат

$$\frac{N}{\varphi_e A} \leq R\gamma_c \quad (30)$$

(30) формуласында коэффициент  $\varphi_e$  аныктоо сунушталат:

а) туташ капиталдуу өзөктөр үчүн Г тиркемесинин 1-таблицасы боюнча  
 $\bar{\lambda} = \lambda \sqrt{\frac{R}{E}}$  шарттуу ийилчээктигинен жанаформуласы менен аныкташуучу келтирилген  $m_{ef}$  салыштырмалуу эксцентриситине;

$$m_{ef} = \eta m, \quad (31)$$

анда  $\eta$  – тиркемесинин 3-табл. аныкташуучу кесилиштин формасынын таасиригин коэффициенти;

$m = \frac{eA}{W_c}$  –салыштырмалуу эксцентриситет (бул жерде  $e$  –эксцентриситет;

$W_c$ –абдан кысылган була үчүн кесилиштин каршылыгынын моменти).

$m_{ef} > 10$  де туташ капиталдуу өзөктөр үчүн туруктуулукка эсептөө жүргүзүү талап кылышынбайт;

б) ийилүүнүн тегиздигине параллелүү тегиздиктерде жайгашкан торчолору же планкалары бар өтмө өзөктөр үчүн Г тиркемесинин 2-таблицасы боюнча

$$\bar{\lambda}_{ef} = \lambda_{ef} \sqrt{\frac{r}{e}} \quad (32)$$

аныкташуучу келтирилген шарттуу ийилчээктигинен жана

$$\left. \begin{array}{l} m_x = e_x \frac{Ay_1}{L_x} \\ m_y = e_y \frac{Ax_y}{L_y} \end{array} \right\} \quad (33)$$

формулалары менен аныктала турган салыштырмалуу  $m$ , эксцентриситетинен, бул жерде  $x_1$ ,  $y_1$  –  $y$ - $y$  же  $x$ - $x$  огунаң тиешелүү түрдө эң кысылган бутактын огуна чейинки, бирок бутактын дубалынын огуна чейинки аралыктан кем эмес аралык.

6.17  $e = \frac{M}{N}$  эксцентриситетин эсептеп чыгуу үчүн зарыл болгон ийилтүүчү

М моменттеринин эсептик маанилерин төмөнкүлөргө барабар катары кабыл алуу сунушталат:

а) рамалык системалардын туруктуу кесилиштеги өзөктөрү үчүн – өзөктөрдүнузундугунун чектериндеги эң чоң моментине;

б) тепкичтүү өзөктөр үчүн – туруктуу кесилиштин участогунун узундугундагы эң чоң моментке;

в) консолдор үчүн – кыпчытуудагы моментке, бирок кыпчытуудан өзөктүнузундугунан үчтөн бириндей алыс турган кесилиштеги моменттен аз эмес;

г) ийилүүнүн тегиздиги менен дал келүүчү симметриянын бир огуна ээ болгон шарнирдуу – таянычтагы учтары жана кесилиштери менен кысылган өзөктөр үчүн 18-табл. формулалары менен аныктала турган;

симметриянын эки огуна ээ болгон шарнирдуу -таянган учтары жана кесилиштери бар кысылган өзөктөр үчүн келтирилген салыштырмалуу  $m_{ef}$  эксцентриситеттерин Г тиркемесинин 4-таблицасы боюнча аныктоо сунушталат.

### 18 – т а б л и ц а

$M_{max}$ барабар болгон салыштырмалуу эксцентриситет	Өзөктүн шарттуу ийилчээктигинде $M$ эсептик маанилери	
	$\bar{\lambda} < 4$	$\bar{\lambda} > 4$
$m \leq 3$	$M = M_2 = M_{max} - \frac{\bar{\lambda}}{4}(M_{max} - M_1)$	$M = M_1$
$3 < m \leq 10$	$M = M_2 + \frac{m-3}{7}(M_{max} - M_2)$	$M = M_1 + \frac{m-3}{7}(M_{max} - M_1)$

18 таблицада кабыл алынган белгилөөлөр:

$M_{max}$  – өзөктүн узундугунун чектериндеги эң чоң ийилтүүчү момент;

$M_1$  – өзөктүнүндеги орточо үчтөн биринин чектериндеги эң чоң ийилтүүчү момент, бирок  $0,5M_{max}$  аз эмес;

$m = \frac{M_{max}A}{NW_c}$  формуласы менен аныктала турган салыштырмалуу эксцентриситет

Э с к е р т үү – Баардык учурларда  $M > 0,5M_{max}$  кабыл алуу сунушталат

6.18 Симметриянын тегиздиги менен дал келүүчү эң чоң ( $I_x > I_y$ ) катуулуктагы тегиздикте алардын ийилүүсүндө моменттин аракетинин тегиздигинен туруктуу кесилиштеги борбордон тышкary кысылган элементтердин туруктуулугун эсептөөнү

$$\frac{N}{c\varphi_y A} \leq R\gamma_c \quad (34)$$

формуласы менен жүргүзүү сунушталат, бул жерде  $c$  – (35) формула боюнча эсептөп чыга турган коэффициент.

6.19  $c$  коэффициентин

$$c = \frac{\beta}{1 + \alpha m_x}, \quad (35)$$

формуласы боюнча аныктоо сунушталат. Бул жерде  $\alpha, \beta$  – 19-таблица боюнча кабыл алына турган коэффициенттер.

$m_x$ , аныктоодо  $M_x$  эсептик моменти үчүн төмөнкүлөрдү кабыл алуу сунушталат:

а) моменттин аракетинин тегиздигине перпендикулярдуу жылышуусунан бекитилген шарнирдүү-таяныч учтары бар өзөктөр үчүн максималдуу момент узундуктун орточо үчтөн биринин чектеринде (бирок өзөктүн узундугундагы эң чоң моменттин жарымынан аз эмес);

б) консолдор үчүн момент кыпчытууда (бирок кыпчытуудан өзөктүн узундугунун үчтөн биринен алыс турган кесилиштин моментинен аз эмес).

### 19 – т а б л и ц а

Кесилиштин тиби	Коэффициенттердин маанилери		
	$\alpha$ болгондо $1 \leq m_x \leq 5$	$\beta$ болгондо	
		$\lambda_y \leq \lambda_c$	$\lambda_y > \lambda_c$
Ачык	$0,75 + 0,05m_x$	1	$\sqrt{\frac{\varphi_c}{\varphi_y}}$
	$1 - (0,25 - 0,05m_x) \frac{I_2}{I_1}$	1	$1 - (1 - \sqrt{\frac{\varphi_c}{\varphi_y}})(2 \frac{I_2}{I_1} - 1)$
Туюк же торчолуу өтмө (же планкалар үчүн)	$0,55 + 0,05m_x$	1	$\sqrt{\frac{\varphi_c}{\varphi_y}}$

19-таблицада кабыл алынган белгилөөлөр:

$I_1, I_2$ -үү кесилишинин симметриясынын огуна карата чоң же кичине текчелерге ылайык инерциянын моменти;

$\varphi_c$  – мааниси  $\varphi_y$  болгондо  $\lambda_y = \lambda_c = 3,8 \sqrt{\frac{E}{R}}$

Э ск е р т ү ү л ө р

1 Торчолуу (же планкалуу) өтмө өзөктөр үчүн  $a$  жана  $b$  коэффициенттеринин маанилерин өзөктүн узундугу боюнча экиден кем эмес орто аралык диафрагмалардын болушунда гана кабыл алуу сунуш кылышат. Андай болбогон учурда ачык экитаврдуу кесилиштеги өзөктөр үчүн белгиленген коэффициенттерди кабыл алуу сунушталат.

$2m_x < 1$  же  $m_x > 5$  маанилеринде тиешелүү түрдө  $m_x = 1$  же  $m_x = 5$  кабыл алуу сунушталат.

$$\lambda_y > \lambda_c = 3,8 \sqrt{\frac{E}{R}} \quad \text{ийилчээтигинде өзөктөр үчүн с коэффициенти:}$$

туюк кесилиштеги – бирден ашпоосу керек;

экитаврдуу симметриянын эки огу менен

$$c_{max} = \frac{2}{1 + \delta + \sqrt{(1 - \delta)^2 + \frac{16}{\mu} \left( \frac{M_x}{Nh} \right)^2}} \quad (36)$$

формуласы менен аныкталуучу маанилерден.

$$\text{бул жерде } \delta = \frac{4\rho}{\mu}; \rho = \frac{L_x + L_y}{Ah^2}$$

$h$ -курчоолордун окторунун ортосундагы аралык;

$$\mu = 2 + 0,156 \frac{I_t}{Ah^2} \lambda_y^2;$$

$$I_t = 0,433 \sum b_i t_i^3.$$

6.20  $\lambda_x > \lambda_y$ , деги ( $I_y < I_x$  жана  $e_y \neq 0$ ) эндээз катуулуктагы тегиздикте ийилүүчүү борбордон тышкary кысылган элементтерди (30) формуласы боюнча эсептеп чыгуу жана ошондой эле

$$\frac{N}{\varphi_x A} \leq R\gamma_c \quad (37)$$

формуласы боюнча борбордук кысылган өзөктөр катары моменттин аракетинин тегиздигинен туруктуулукка текшерүүгө сунуш кылышат.

$\lambda_x \leq \lambda_y$  болгондо моменттин аракетинин тегиздигинен туруктуулукту текшерүү талап кылышат.

6.21 Ийилүүн тегиздигине параллелдүү тегиздикте жайгашкан борбордон тышкary кысылган өтмө өзөктөрдө жалпысынан өзөктүн туруктуулугун (30) формула боюнча эсептөөдөн башка, (2) формула боюнча айрым бутактарды борбордук кысылган өзөктөр катары текшерүү сунуш кылышат.

Ар бир бутактагы узата күчтүү моменттен кошумча күчтүү эске алуу менен аныктоо сунушталат: параллелдүү бутактардын учурундагы бул күчтүн чоңдугун

$$N_{ad} = \frac{M}{b}$$

формуласы боюнча аныктоо зарыл, бул жерде  $b$ -бутактардын (курчоолордун) окторунун ортосундагы аралык.

Борбордон тышкary кысылган өтмө элементтердин планкалары бар айрым бутактарын моменттен болгон күчтөрдү жана фактылык же шарттуу туурасынан кеткен күчтөн бутактардын жергиликтүү ийилишинин эске алуу менен (жантык таянычсыз ферманын курчоолорундагыдай) туруктуулукка текшерүү сунуш кылышат.

6.22 Эки башкы тегиздиктерде кысылууга жана ийилүүгө дуушар болуучу туташ капиталдуу өзөктөрдү эндээз катуулуктун тегиздигинин ( $L_x > L_y$ ) симметриянын тегиздиги менен дал келүүсүндө туруктуулугун эсептөө

$$\frac{N}{\varphi_{exy} A} \leq R\gamma_c, \quad (38)$$

менен жүргүзүлөт, бул жерде  $\varphi_{exy} = \varphi_{ey} \sqrt{c}$ ,

$\varphi_{ey}$  – 6.16 п. талаптарына ылайык аныктоо сунушталат.;

$c$  – 6.19 п. талаптарына ылайык аныктоо зарыл.

Эгерде  $m_{ef,y} < 2m_x$ , анда (38) формула боюнча эсептөөдөн башка,  $e_y=0$  деп кабыл алуу менен (30) жана (34) формулалары боюнча кошумча текшерүүнү жүргүзүү сунуш кылынат.

Салыштырмалуу эксцентриситеттердин маанилерин

$$m_x = e_x \frac{A}{W_{cx}} \text{ жана } m_y = e_y \frac{A}{W_{cy}}, \quad (39)$$

формулалары менен аныктоо сунуш кылынат.

Бул жерде  $w_{cx}, w_{cy}$  – тиешелүү түрдө  $x-x$  жана  $y-y$  оқторуна карата абдан көп кысылган була үчүн кесилиштердин каршылыгынын моменттери.

Эгерде  $\lambda_x > \lambda_y$ , болсо, анда (38) формула боюнча эсептөөдөн башка,  $e_y=0$  барабар деп кабыл алуу менен (30) формула менен кошумча текшерүүнү жүргүзүү сунуш кылынат. Эндөң чоң катуулуктун тегиздигинин ( $L_x > L_y$ ) симметриянын тегиздигине дал келбөөсүндө  $m_x$  эсептик маанисин 25% көбөйтүүгө сунуш кылынат.

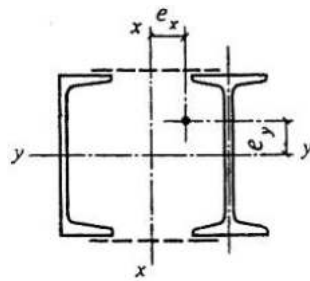
6.23 Эки параллелдүү тегиздиктердеги торчолору бар  $y-y$  (5-сүр.) огуна карата симметриялуу, эки башкы тегиздиктерде кысылууга жана ийилүүгө дуушар болуучу эки туташ дубалдуу бутактардан турган өтмө өзөктөрдүн туруктуулугун эсептөөнү төмөнкүдөй аткаруу сунушталат:

Жалпысынан өзөктөр үчүн 6.16 п. талаптарына ылайык,  $e_y=0$  (5-сүр. кара) кабыл алуу менен – торчолордун тегиздиктерине параллелдүү тегиздикте;

айрым бутактар үчүн – (30) жана (34) формулалары боюнча борбордон тышкary кысылган элементтердей, бул учурда ар бир бутактагы узата күчүн  $M_x$  моментинен келген аракетти эске алуу менен (6.21 п. кара) аныктоо, ал эми  $M_y$  – моментин бутактар ортосунда алардын катуулуктарына пропорционалдуу бөлүштүрүү сунуш кылынат;

Эгерде  $M_y$  – моменти бутактардын биригин тегиздигинде аракет кылса, анда аны толугу менен ушул бутакка өтүп кетүүчү катары эсептөө сунуш кылынат.

Айрым бутакты (34) формуласы боюнча текшерүүдө анын ийилчээстиги торчонун түйүндөрүнүн ортосундагы максималдуу аралыктар боюнча аныталат.



5-сүр. Эки параллелдүү тегиздиктеги торчолуу эки туташ -беттен турган курамдуу элементтин кесилиши

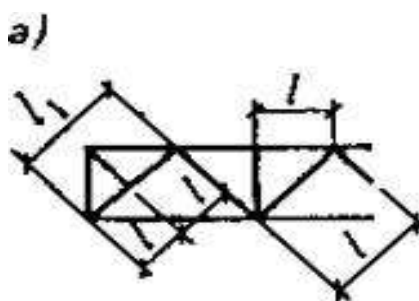
6.24 Өтмө борбордон тышкaryы кысылган өзөктөрдүн бириктируүчүү элементтерин эсептөөнү 6.7-6.9 п. эң чоң туурасынан күчкө – фактылык  $Q$  же шарттуу  $Q_{fic}$  талаптарына ылайык аткаруу сунушталат.

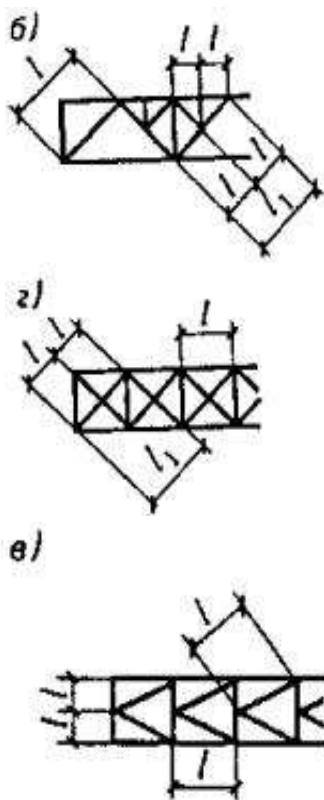
Эгерде фактылык туурасынан келген күч шарттуудан чоң болсо, өтмө борбордон тышкaryы кысылган элементтердин бутактарын планкалар менен бириктируү эреже катары, сунуш кылышынбайт.

## 7 Алюминий конструкцияларынын эсептик узундугу жана чектүү ийилчээктиги

### Эсептик узундугу

7.1 Фермалардын кайчылаш торчолорунун элементтерин эсептебегенде жалпак фермалардын жана байланыштардын элементтеринин  $l_{ef}$  эсептик узундугун (6,г сүрөт) 20 таблица боюнча кабыл алуу сунушталат.





6-сүр. Элементтердин эсептик узундук аныктоо үчүн фермалардын торчолорунун схемалары

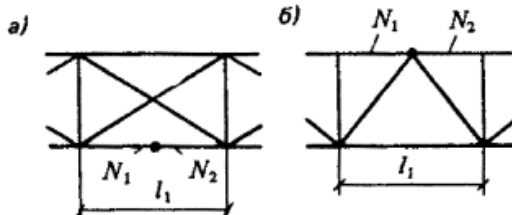
а – четки панелдеги жантык тирөөчү менен үч бурчтуу; б – үч бурчтуу, шпренгели менен; в – жарым жантык тирөөчтүү; г – кайчылаш

#### 20 – т а б л и ц а

Узата ийилүүнүн багыты	Эсептик узундук $l_{ef}$		
	курчоолордун	Жантык таяныч тирөөчтөр жана түркүктө	Торчонун башка элементтери
Ферманын тегиздигинде	$l$	$l$	$0,8l$
Ферманын тегиздигине перпендикулярдуу багытта (ферманын тегиздигинен)	$l_1$	$l_1$	$l_1$
20-табл. жана 6 -сүр. кабыл алынган белгилөөлөр:			
$L$ -ферманын тегиздигиндеги элементтин геометриялык узундугу (түйүндөрдүн борборлорунун ортосундагы аралык);			
$l_1$ -ферманын тегиздигинен жылышып кетүүсүнөн бекиткен түйүндөрдүн аралыгы (атайын байланыштар, каптоолордун катуу такталары менен, курчоого бекитилген ширетүү тигиштери жана буроолор менен ж.б.)			

7.2  $l_1$  узундугу боюнчаферманын тегиздигинен  $N_1$  жана  $N_2$  ( $N_1 > N_2$ ) кысуучу күчтөр аракет кылган  $l_{ef}$  элементтин эсептик узундугун төмөнкү формула боюнча эсептөп чыгуу сунуш кылынат

$$l_{ef} = l_1 \left( 0,75 + 0,25 \frac{N_2}{N_1} \right) \quad (40)$$



7-сүрөт Ар кандай  $N_1$  жана  $N_2$  аракеттери менен элементтин эсептик узундугун аныктоо үчүн схемалар (анын узундугу боюнча)

- a* – фермалардын ортосундагы байланыштардын схемасы (үстүнөн караганда);  
*б* – ферманын схемасы

Бул учурда туруктуулукка эсептөөнү  $N_1$  чоң күчүнө аткаруу сунуш кылынат.

7.3 Кайчылаш торчонун  $l_{ef}$  элементтеринин (6, г сүр. кара) эсептик узундугун төмөнкүдөй кабыл алуу сунушталат:

Ферманын тегиздигинде – ферманын түйүнүнүн борборунан алардын кесилишкен чекитине чейинки аралыкка барабар ( $l_{ef}=l$ );

Ферманын тегиздигинен: кысылган элементтер үчүн – 21 -табл. боюнча; чоюлган элементтер үчүн – элементтин толук геометриялык узундугуна барабар ( $l_{ef}=l$ ).

## 21 – т а б л и ц а

Торчонун элементтеринин кесилиш түйүндөрүнүн конструкциясы	Түртүп туруучу элементте ферманын тегиздигинен $l_{ef}$ эсептик узундугу		
	чиюлган	иштебеген	кысылган
Эки элемент төң үзүлбөйт	$l$	$0,7l$	$l_1$
Түртүп туруучу элемент үзгүлтүктүү болот жана фасонка менен жабылат	$0,7l_1$	$l_1$	$1,4l_1$
<i>21-табл. жана 6-сүр. кабыл алынган белгилөөлөр:</i>			
<i>l</i> – ферманын түйүнүнүн борборунан элементтердин кесилиштерине чейинки аралык;			
<i>l<sub>1</sub></i> – элементтин толук геометриялык узундугу.			

7.4 Бириндеген тик бурчуктардан кайчылаш торчонун элементтеринин  $i$ -кесилиштеринин инерциясынын радиустарын төмөнкүдөй кабыл алуу сунушталат:

1)е барабар элементтин эсептик узундугунда (бул жерде  $l$  эндикатордын түйүндөрдүн ортосундагы аралык) –минималдуу ( $i=i_{min}$ );

калган учурларда ферманын тегиздигине перпендикулярдуу же параллелдүү ( $i=i_x$  же  $i=i_y$  –узата ийилүүнүн багытына жараша).

7.5  $l_{ef}$  эсептик узундугун жана бириндеген тик бурчуктардан турган мейкиндиктиң торчолуу конструкциялардын элементтеринин  $i$  кесилиштеринин инерциясынын радиусун 22-таблица боюнча кабыл алуу сунушталат.

7.6  $l_{ef}$  колонналарынын (түркүктөрүүнүн) эсептик узундугун

$$l_{ef} = \mu l$$

формуласы менен аныктоо сунушталат, бул жерде  $l$  – колоннанын же анын өзүнчө участогунун узундугу.

Туруктуу кесилиштеги  $\mu$  колонналардын (түркүктөрдүн) эсептик узундугунун коэффициенттерин алардын учтарын бекитүүнүн шарттарына жана жүктөмдүн түрүнө карата 26-табл. боюнча кабыл алуу сунушталат. Колонналарда алюминийди колдонууга чогултулуучу-чачыратылуучу конструкцияларда же агрессивдүү чөйрөнүн болушунда жол берилет.

## 22 – т а б л и ц а

Конструкция	$l_{ef}$ эсептик узундугу жана $I$ кесилишинин инерциясынын радиусу				
	курчоолордун		торчолор		
	$l_{ef}$	$i$	$l_{ef}$	жантык тирөөчтүн	$i$
Чектеш кырларда айкалыштырылган С түйүндөрү менен (8 а, б сүр.)	$l_m$	$i_{min}$	$m_d l_d$	$0,8 l_c$	$i_{min}$
Чектеш кырларда айкалыштырылбаган С түйүндөрү менен (8, в, г сүр.)	$m_m l_m$	$i_x$ или $i_y$	$m_d l_d$	–	$i_{min}$

## 22 – таблицанын аяғы

Конструкция	$l_{ef}$ эсептік узундугу жана $i$ кесилишинин инерциясынын радиусу			
	курчоолордун		торчолор	
	$l_{ef}$	$i$	$l_{ef}$	$i$
	жантык тирөөчтүн	туркүктүн		

22-табл. кабыл алынган белгилөөлөр

$i_m$  – ферманын курчоосунун панелинин узундугу (айкалыштырылбаган түйүндөрдө бир кырдын түйүндөрүнүн ортосундагы аралық менен бирдей катары кабыл алынат; (8 в, г сүр. кара);

$\mu_m$  – курчоонун эсептік узундугунун коэффициентин жантык тирөөчкө жандата жайгашкан (жантык тирөөчтөрдү курчоого ширетүү тигиштери же эки буроо же андан көп кадоолор менен бекитүүдө) 23-табл. боюнча аныктоо сунушталат, жантык тирөөчтөрдү курчоого бир буроо менен бекитүүдө төмөнкүлөрдү кабыл алуу сунуш кылышат:

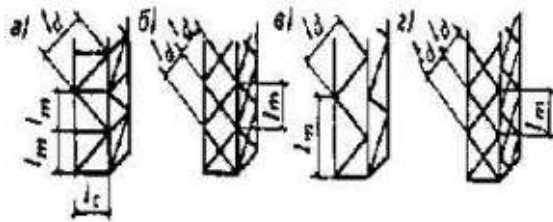
$$\mu_m = 1,14;$$

$i_{min}$  – кесилиштин инерциясынын минималдуу радиусу (курчоонун же торчонун);

$l_d, l_c$  – 8-сүр. кара;

$i_x, i_y$  –  $x$  жана  $y$  текчелерине параллелдүү окторуна карата тик бурчуктун туурасынан кесилишинин инерциясынын радиусу;

$\mu_d$  – курчоонун эсептік узундугунун коэффициентин жантык тирөөчкө жандата жайгашкан (жантык тирөөчтөрдү курчоого ширетүү тигиштери же эки буроо же андан көп кадоолор менен бекитүүдө) 24-табл. боюнча аныктоо сунушталат, жантык тирөөчтөрдү курчоого бир буроо же бир кадоо менен бекитүүдө 25-табл. боюнча аныктоо сунуш кылышат.



8-сүрөт Бириндеген тик бурчтуктардан мейкиндиктүү торчолуу конструкциялардын схемасы

*a* – чектеш кырлардагы айкалыштырган түйүндөрү менен схема (жантык тирөөчтөрү менен үч бурчтуу торчо); *b* – ошол эле (кайчылаш торчо); *c* – чектеш кырларда айкалышпаган түйүндөрү менен схема (үч бурчтуу торчо); *d* – ошол эле (кайчылаш торчо)

#### 23-таблица

<i>n</i>	10	5	2.5	1,25	1
$\mu_m$	1,13	1,08	1,03	1,00	0,98

23-табл. кабыл алынган белгилөө:

$n = \frac{L_{m,min} L_d}{L_{d,min} L_m}$ , мында  $L_{m,min}$   $L_{d,min}$  – курчоого жана ферманын жантык тирөөчүнө шайкеш кесилиштин инерциясынын минималдык моменттери.

Э скертуу – *n* орто аралык маанилер үчүн  $\mu_m$  коэффициентин түз сзыктуу интерполяция менен аныктоо сунушталат.

#### 24-таблица

<i>n</i>	$\frac{l_d}{i_{min}}$ деги $\mu_d$ маанилери							
	60	80	100	120	140	160	180	200
$\leq 2$	0,89	0,81	0,77	0,74	0,72	0,70	0,65	0,61
$\geq 6$	0,86	0,78	0,74	0,71	0,69	0,66	0,62	0,59

24-таблицада кабыл алынган белгилөөлөр:

*n* – 23-табл. кара;

*l<sub>d</sub>* – 8-сүр. кара;

*i<sub>min</sub>* – жантык тирөөчтөрдүн кесилишинин инерциясынын минималдуу радиусу.

Э скертуу – *n* орто аралык маанилери жана  $\frac{l_d}{i_{min}}$  катышы үчүн  $\mu_d$  коэффициентин түз сзыктуу интерполяция менен аныктоо сунушталат

## 25 – т а б л и ц а

$\frac{l_d}{l_{min}}$	60	80	100	$\geq 120$
$\mu_d$	0,89	0,81	0,77	0,74

Белгилөөлөр 24-таблицадагыдай.

Э с к е р т үү –  $n$  орто аралық маанилери  $\frac{l_d}{l_{min}}$  катышынын орто аралық маанилери үчүн

$\mu_d$  коэффициентин түз сзыктуу интерполяция менен аныктоо сунушталат.

## 26 – т а б л и ц а

Колонналарды бекитүүнү (түркүктөрдүн) схемасы жана жүктөм	$\mu$	Колонналарды бекитүүнү (түркүктөрдүн) схемасы жана жүктөм	$\mu$
	2		1
	1		2
	0,7		0,725
	0,5		1,12

7.7 Бир кабаттуу рамалардын туруктуу кесилиштеги  $m$  колонналарынын эсептик узундугунун коэффициенттери ригелдерди колонналарга бекем бекиткенден кийин жана жогорку түйүндөрүнө жүктөм бергенден кийин колонналарды фундаментке бекиткенде төмөнкү формулалар менен аныктоого сунуш кылышат

*шарнирдүү*

$$\mu = 2 \sqrt{1 + \frac{0,38}{n}}; \quad (41)$$

*бекем*

$$\mu = \sqrt{\frac{n+0,56}{n+0,14}} \quad (42)$$

(41) жана (42): формулаларында

$$n = \frac{l_c}{I_c} \left( \frac{I_{r1}}{l_{r1}} + \frac{I_{r2}}{l_{r2}} \right),$$

бул жерде тиешелүү түрдө  $I_c$ ,  $l_c$  – кесилиштин инерциясынын моменти жана текшерилүүчү колоннанын узундугу;

$I_{r1}$ ,  $I_{r2}$  – тиешелүү түрдө инерциянын моменттери;

$l_{r1}$ ,  $l_{r2}$  – ушул колоннага кошулуучу ригелдердин кесилиштери жана узундуктары.

Колоннага ригелдерди шарнирдүү бекитүүдө (42) формулада  $n=0$  кабыл алуу сунушталат.

7.8 Имарата бойлото багытта рамалардын колонналарынын эсептик узундугун (раманын тегиздигинен) раманын тегиздигинен жылышып кетүүсүнөн бекитилген чекиттердин ортосундагы аралыкка барабар катары кабыл алуу сунушталат (колонналардын таянычтары, кран алдындагы устундардын жана стропила алдындагы фермалардын, байланыштардын жана ригелдердин бекитүү түйүндөрү менен). Эсептик узундукту колонналардын учтарын бекитилишинин фактылык шарттарын эске алуучу эсептик схеманын негизинде аныктоого жол берилет.

### **Элементтердин чектүү ийилчээстиги**

7.9 Кысылган элементтердин ийилчээстиги 27-таблицада келтирилген маанилерден ашпоосу керек.

## 27-таблица

Конструкциялардын элементтери	Кысылган элементтердин чектүү ийилчээктиги
Таяныч реакцияларын өткөрө турган курчоолор, жантык тирөөчтүү таянычтар жана фермалардын түркүктөрү	100
Фермалардын башка элементтери	120
Экинчи даражадагы колонналар (фахверктин, фонарлардын ж.б. түркүктөрү), колонналардын торчосунун элементтери	120
Байланыштар	150
Кысылган өзөктөрдүн эсептик узундуктарын азайтуу үчүн кызмат кылуучу өзөктөр жана башка жүктөлбөгөн элементтер	150
Симметриялуу жүктөлгөн тосмолоочу конструкциялардын элементтери:	
Симметриялуу жүктөлгөн	100
Симметриялуу эмес жүктөлгөн (витраждардын четки жана бурчтук түркүктөрү ж.б.)	70
Э скртүү – 27-табл. келтирилген маалыматтар күчтөрдүн аракетине карата симметриялуу кесилиштеги элементтерге тиешелүү. Күчтөрдүн аракетине карата симметриялуу эмес кесилиштерде чектүү ийилчээктити 30% азайтууга жатат.	

7.10 Чоюлган элементтердин ийилчээктиги 28-таблицада келтирилген маанилерден ашпоосу керек.

## 28—таблица

Конструкциялардын элементтери	Чоюлган элементтердин чектүү ийилчээктиги
Курчоолор жана фермалардын жантык тирөөчтүү таянычтары	300
Фермалардын башка элементтери	300
Байланыштар (алдын ала чоюлууга дуушар болуучу элементтерден башка )	300
Э с к е р т үү лөр 1 Чоюлган элементтердин ийилчээктиги вертикалдуу гана тегиздикте текшерилет.	
Э с к е р т үү лөр 2 Бириндеген тик бурчуктардан турган кайчылаш торчонун чоюлган өзөктөрүнүн ийилчээктигин текшерүүдө инерциянын радиусу тик бурчуктун текчесине параллелдүү окко карата кабыл алынат. 3 Кайчылаш торчонун өзөктөрүнүн кесилишкен жерде өз ара бекитилиши керек. 4 Жүктөмдүн жагымсыз жайгашуусунда күчтөн белгиси көбөйүшү мүмкүн болгон анча чоң эмес күчтөгү стропилалык фермалардын керилген жантык тирөөчтөрү үчүн чектүү ийилчээктик кысылган элементтер үчүн катары кабыл алынат, бул учурда бириктүүчү прокладкалар $40i$ кем эмес аралыкта орнотулушу керек	

## 8 Ийилүүчү жана кысылган элементтердин капиталдарынын жана курчоочутакталарынын туруктуулугун текшерүү

### Устундардын капиталдары

8.1 Устундардын капиталдарын алардын туруктуулугун камсыз кылуу үчүн эки жактуу кырлар менен бекемдөө сунушталат:

капталдын баардык бийиктигине коюлган негизги туура;

негизги туура жана узата;

негизги туура жана орто аралык, капиталдын кысылган чөлкөмүнө коюлган, кыска –кадоолонгон гана устундарда.

8.2 Устундардын туруктуулугуна эсептөөнү  $\sigma, \tau, \sigma_{loc}$  баардык компоненттердин чыңалган абалын эске алуу менен аткаруу сунушталат. Чыңалуусунун  $\sigma, \tau, \sigma_{loc}$  коэффициенти эске албастан брутто кесилиш боюнча материалдын серпилгичтүү ишин болжолдоо эсептеп чыгаруу сунуш кылышат.

Капталдын эсептик чек арасынын  $\sigma$  кысуучу (четки) чыналуусу (“плюс” белгиси менен жана орточо жанып өтүүчү  $\tau$  чыналуу төмөнкү формулалар менен эсептеп чыгуу сунушталат:

$$\sigma = \frac{M}{L_x} y; \quad (43)$$

$$\tau = \frac{Q}{th}, \quad (44)$$

Бул жерде  $h$  – капталдын толук бийиктиги;

$M$ ,  $Q$  – тиешелүү түрдө бөлүмдүн чектериндеги моменттин жана каптал күчтүн орточо маанилери; эгерде бөлүмдүн узундугу анын эсептик бийиктигинен тоң болсо, анда  $M$  ди жана  $Q$  ну бөлүмдүн бийиктигине барабар болгон узундуктагы көбүрөөк чыналган участок үчүн эсептеп чыгуу сунушталат; эгерде бөлүмдүн чектеринде момент же каптал күч белгинин алмаштырса, анда алардын орто маанилериин бир белгиси бар бөлүмдүн участкасында эсептеп чыгуу сунуш кылышат.

Капталдагы топтолгон жүктөмдөгү жергиликтүү чыналуу  $\sigma_{loc}$  Д тиркемесинин талаптарына ылайык аныктоого сунуш кылышат.

Курчоолордун жана жанындагы катуулуктун негизги туура кырларынын ортосунда жаткан дубалдын тик бурчтуу бөлүмдөрүнүн түрүктуулугун текшерүүдө пластиканын эсептик өлчөмдөрү болуп төмөнкүлөр эсептелет:

$A$  – туура кырларынын окторунун ортосундагы аралык;

$h_{ef}$  – жогорку бекемдиктеги буроолордогу курчоолуу биригүүлөрү менен устундарда – курчоолук тик бурчуктардын четтери менен устундун огуунун ортосундагы эң жакын аралыкка барабар болгон капталчанын эсептик бийиктиги; кадоолонгон устундарда – курчоолордун тик бурчуктарынын белгилери менен устундун огуунун ортосундагы эң жакын аралыкка; ширетилген устундарда – капталчанын толук бийиктигине; прессстелген профилдерде – текчелеринин ортосундагы жарыктагы бийиктигине;

$t$  – капталдын калындыгы.

$$8.3 \text{ Эгерде капталдын шарттуу ийилчээктиги } \bar{\lambda}_w = \frac{h_{ef}}{t} \sqrt{\frac{R}{E}}$$

чектүү маанилерден ашпай турган болсо, устундардын капталдарынын түрүктуулугун текшерүү талап кылышынбайт:

$$75(1-95\frac{R}{E})\sqrt{\frac{R}{E}} \text{ – ширетилген же прессстелген устундар үчүн;}$$

$115(1-123\frac{R}{E})\sqrt{\frac{R}{E}}$  – кадоолонгон, буроолор жана жогорку бекемдиктеги буроолор менен бекитилген устундар үчүн.

Устундардын капиталдарында жергиликтүү чыңалуулар орун алган учурда  $\bar{\lambda}_w$  көрсөтүлгөн чектүү маанилерин 0,7 коэффициентине көбөйтүү сунушталат.

Устундардын капиталдарын катуулатуунун туура кырлары менен бекемдөө сунуш кылынат  $\bar{\lambda}_w > 2,5$  де, 8.6-п. кара).

8.4 Жогорку курчоосу боюнча жергиликтүү жүктөмдөгү устундарда капиталдык туруктуулугун  $\Delta$  тиркемесиндеги көрсөтмөлөргө ылайык текшерүү сунуш кылынат.

8.5 Катуулатуунун туурасынан негизги кырлары менен гана бекемделген устундардын капиталдарынын туруктуулугун эсептөө жергиликтүү чыңалуунун ( $\sigma_{loc} = 0$ ) жоктугунда төмөнкү формула менен аткаруу сунушталат:

$$\sqrt{\left(\frac{\sigma}{\sigma_{cr}}\right)^2 + \left(\frac{\tau}{\tau_{cr}}\right)^2} \leq 9\gamma_c, \quad (45)$$

$$\text{булжерде } \sigma_{cr} = 30 \frac{R}{\lambda_w^2}; \quad (46)$$

$$\tau_{cr} = 10,3 \left(1 + \frac{0,76}{\mu^2}\right) \frac{R_s}{\lambda_d}; \quad (47)$$

$$\vartheta = 1 - \frac{11 \left(\frac{\sigma_i}{R} - 0,7\right)^2}{1 + 507 \frac{R}{E}} \quad (48)$$

( $\frac{\sigma_i}{R} \leq 0,7$  болгондо  $\vartheta = 1$  кабыл алуу сунуш кылынат.  $\frac{\sigma_i}{R} > 1$  маанилерине жол берилбейт); 15-таблица боюнча кабыл алуу сунушталат.

45) – (48) формулаларында:

$m$  – пластинканын чоң жагынын кичине жагына болгон катышы;

$\bar{\lambda}_d = \frac{d}{t} \sqrt{\frac{R}{E}}$  –  $d$  бийиктигиндеи пластинканын шарттуу ийилчээктиги (бул жерде  $d$ -кичинекей тараф  $h_{ef}$  жактарынын же  $a$  пластинканын кичинеси);

$$\sigma_i = \sqrt{\frac{4}{9} \sigma^2} \quad (49)$$

Бөлүмдүн эсептик (кысылган) чек арасынан  $h_1$  аралыкта жайгашкан негизги туура кырлардан башка бир узата кыр менен бекемделген симметриялуу

кесилиштеги устундун капиталындағы бөлүмгөушул кыр бөлүп турган эки пластинканы өзүнчө эсептөөнү сунуш кылат:

а) кысылган курчоо жана узата кырдын ортосунда жайгашкан пластинканы төмөнкү формулада:

$$\frac{\sigma}{\sigma_{crl}} + \left( \frac{\tau}{\tau_{crl}} \right)^2 \leq \vartheta \gamma_c, \quad (50)$$

булжерде

$$\sigma_{crl} = \frac{4,76}{1 - \frac{h_l}{h_{ef}} \lambda_1^2} \frac{R}{\lambda_1^2}$$

(51)

(мында  $\bar{\lambda}_1 = \frac{h_l}{t} \sqrt{\frac{R}{E}} - h_1$  бийиктиктеги пластинканын шарттуу ийилчээтиги);

$\tau_{crl}$  –(47) формуласы боюнча текшерилип жаткан пластинканын өлчөмдөрүн кошуу мененаныктоо сунушталат;

$\vartheta$  – ушуну менен кошо

$$\sigma_i = \sqrt{\left(1 - \frac{h_l}{h_{ef}}\right)^2 \sigma^2 + 3(0,9\tau)^2};$$

кабыл алуу менен (48) формула боюнча аныктоо

сунушталат

$\gamma_c$  – 15-таблица боюнча кабыл алуу сунушталат;

б) чоюлган курчоо менен узата кырдын ортосунда жайгашкан пластинканы, –төмөнкү формула менен

$$\sqrt{\frac{\sigma^2 \left(1 - 2 \frac{h_l}{h_{ef}}\right)^2}{\sigma_{cr2}^2} + \left(\frac{\tau}{\tau_{cr2}}\right)^2} \leq \gamma_c \quad (52)$$

бул жерде

$$\sigma_{cr2} = \frac{5,43}{\left(0,5 - \frac{h_l}{h_{ef}}\right)^2} \frac{R}{\lambda_w} \quad (53)$$

$\tau_{cr2}$  – текшерилип жаткан пластинканын өлчөмдөрүн кошо (47) формула менен аныктоо сунушталат;

$\tau_c$  – 15-таблица боюнча кабыл алуу сунушталат

8.6 Катуулатуунун туура кырлары менен гана бекемделген капиталда алардын чыгып турган  $b_h$  бөлүгүнүн жазылыгы симметриялуу жуп кыр үчүн  $\frac{h_{ef}}{30} + 40$  ММ дөн

кем эмес;  $t_s$  кырынын калындыгы  $\frac{b_h}{12}$  кем эмес, ал эми кырларынын ортосундагы аралык  $2h_{ef}$  ашпоосу керек.

8.7 Капталды туура кырлар жана бир узата кыр менен бекемдөөдө катуулатуунун кырларынын  $I_s$  кесилиштеринин инерциясынын зарыл моменттерин төмөнкүдөй аныктоо сунушталат:

$$\text{туура кырлар үчүн } I_s = 3h_{ef}t^3 \quad (54)$$

формуласы боюнча

узата кыр үчүн 29-таблицасынын формулалары боюнча алардын чектүү маанилерин эске алуу менен.

Узата жана туура кырларынын капталдын бир жагында жайгашуусунда ар биригин кесилиштеринин инерциясынын моменттери кырга эң жакын турган капталдын кыры менен дал келишкен окко карата эсептелип чыгат.

## 29 – т а б л и ц а

$\frac{h_1}{h_{ef}}$	$I_{sl}$ узата кырынын кесилишинин инерциясынын зарыл болгон моменти	Чектүү маанилери	
		минималдуу $I_{sl,min}$	максималдуу $I_{sl,max}$
0,20	$(2,5 - 0,5 \frac{a}{h_{ef}}) \frac{a^2 t^3}{h_{ef}}$	$1,5h_{ef}t^3$	$7h_{ef}t^3$
0,25	$(1,5 - 0,4 \frac{a}{h_{ef}}) \frac{a^2 t^3}{h_{ef}}$	$1,5h_{ef}t^3$	$3,5h_{ef}t^3$
0,30	$1,5h_{ef}t^3$	–	–
Э ск е р т үү – $\frac{h_1}{h_{ef}}$ орто аралык маанилер үчүн $I_{sl}$ эсептөөдө түз сыйыктуу интерполяцияга жол берилет			

8.8 Таянычтын үстүндөгү курамдуу кесилиштеги устундун капталынын участогун катуулатуунун кырлары менен бекемдөөдө таяныч реакциясы менен жүктөлгөн түркүк катары төгиздиктен узата ийилүсүнө эсептөө сунушталат. Бул түркүктүн эсептик кесилишине катуулантуучу кырдын кесилишин жана ар бир кырдын капталынан  $0,5t\sqrt{\frac{E}{R}}$  жазылыктагы капталдын тилкесинин кесилишин дагы кошуу сунуш кылышат.

Катуулантуунун таяныч кырларынын төмөнкү учтары устундун төмөнкү курчоосуна тыгыз шыкалып же ширетилип жана таяныч реакциянын таасирине эсептeliши керек.

**Борбордук, - борбордон тышкары кысылган жана кысылып-иийилүүчүэлементтердин капталдары**

8.9 Борбордук – кысылган элементтер үчүн  $\bar{\lambda}_w = \frac{h_{ef}}{t} \sqrt{\frac{R}{E}}$  капталынын шарттуу ийилчээктигин 30 таблицанын формулалары боюнча аныктала турган маанилерден чоң эмес кабыл алуу сунушталат.

Элементтин кесилишин чектүү ийилчээктиги боюнча дайындоодо, жана ошондой эле эсептөө менен тиешелүү түрдө негиздөөдө  $\bar{\lambda}_w \sqrt{\frac{R\phi}{\sigma}}$  (где  $\sigma = \frac{N}{A}$ ) кофициентине, бирок 1,5 эседен көп эмес көбөйтүү сунуш кылышат. Бул жерде  $\bar{\lambda}_w$  маанисин 5,3 төн ашык эмес кабыл алуу сунуш кылышат.

**30 – т а б л и ц а**

Элементтин кесилиши	Өзөктүн шарттуу ийилчээктигинин маанилеридеги $\bar{\lambda}_w$ эң чоң маанилери	
	$\bar{\lambda} \leq 1$	$\bar{\lambda} \geq 5$
Экитаврдуу	$\frac{52}{\sqrt{\frac{E}{R}} + 507}$	3,1
H-түрүндөгү	$\frac{46}{\sqrt{\frac{E}{R}} + 507}$	3,5
Швеллердик, тик бурчтуу түтүктүү ( $h_{ef}$ – чоң дубалча үчүн)	$\frac{42}{\sqrt{\frac{E}{R}} + 507}$	2,5
Квадраттуу түтүктүү	$\frac{37}{\sqrt{\frac{E}{R}} + 507}$	2,25
<p><b>Э с к е р т үү л ө р</b>            130-табл. келтирилген маалыматтар ширетилген жана пресстелген профилдерге тиешелүү. 31-табл. кадоолонгон элементтеринин <math>\bar{\lambda}_w</math> маанилерин 5% көбөйтүү сунуш кылышат.</p> <p>2 Орто аралык маанилер үчүн <math>\bar{\lambda}_w</math> эсептөөдө <math>\bar{\lambda}=1</math> жана <math>\bar{\lambda}=5</math> маанилеринин ортосунда түз сыйыктуу интерполяцияга жол берилет</p>		

8.10 Борбордон тышкary кысылган жана кысылып-ийилүүчүү элементтер үчүн  $\bar{\lambda}_w$  капиталынын шарттуу ийилчээтигин  $a = \frac{\sigma - \sigma_1}{\sigma}$  маанисине карата аныкто сунуш кылышат (бул жерде  $\sigma$  – “плюс” белгиси менен кабыл алынуучу жана коэффициенттерин эске албастан эсептеп чыгарылган капиталдын эсептик чек арасынын жанындагы эңчоң кысуучу чыналуу  $\Phi_e$ ,  $\Phi_{exy}$  же ср  $\sigma_1$  – карама-каршы турган капиталдын эсептик чек арасындагы тиешелүү чыналуусу) жана  $a \leq 0,5$  – 6.9 п. боюнча;

$\alpha \geq 1$  – формуласы менен

$$\bar{\lambda}_w \leq 3,1 \sqrt{\frac{R}{\sigma} (2\alpha - 1)}; \quad (55)$$

$\alpha = 0,5$  жана  $\alpha = 1$  де эсептелип чыккан  $0,5 < \alpha < 1$  – маанилеринин ортосундагы түз сзыктуу интерполяция менен аныкталада турган маанилерден чоң эмес кабыл алуу сунушталат.

8.11 Борбордон тышкary кысылган же кысылып-ийилүүчүү элементтин капиталын капиталдын ортосунда жайгашкан инерциясынын моменти  $I_{s1} \geq 6h_{ef}t^3$ , катуулантуучу кыр менен узатасынан бекемдөөдө, курчоо менен капиталдын огуунун ортосундагы өтө жүктөлгөн бөлүгүн өз бетинче пластинка катары карап, 8.10 п. талаптарына ылайык текшерүү талап кылышат.

Катуулантуунун узата кырларын элементтердин эсептик кесилиштерине кошуу сунушталат.

Эгерде капиталдын туруктуулугу камсыздалбаган болсо, анда эсепке жазылыгы  $0,6 \sqrt{\frac{E}{R}}$ , болгон капиталчанын эки четки участогун киргизүү сунуш кылышат.

8.12 Туташ колонналардын жана түркүктөрдүн капиталдарын  $\bar{\lambda}_w \geq 2,5$  учурунда бир-биринен  $2h_{ef}$  аралыкта жайгашкан катуулантуунун туура кырлары менен бекемдөө сунуш кылышат; ар бир жөнөтүлүүчүү элементте экиден кем эмес кыр болушу керек. Узата кыры бар болгон учурда туура кырларынын ортосундагы аралыкты 1,5 эсеге көбөйтүүгө жол берилет.

Катуулантуунун чыгып турган туура кырларынын минималдуу өлчөмдөрүн 8.6 п. талаптарына ылайык кабыл алуу сунушталат.

### **Борбордук-, борбордон тышкary кысылган, кысылган ийилүүчүү жана ийилүүчүү элементтердин курчоо такталары жана текчелери**

8.13 Курчоо такталарынын (текчелердин)  $b_{ef}$  саландоосунун эсептик жазылыгын төмөнкү аралыкка барабар катары алуу сунуш кылышат: пресстелген,

прокаттык ширетилген жана кадоолонгон курчоочу тактасы жок элементтерде – капиталынын кырынан курчоочу тактанын (текченин) четине чейин; курчоочу такталуу кадоолонгон элементтерде – кадоолордун эң жакын чийининен тактанын баш четине чейин.  $30^\circ$ кем эмес саландоосу менен бурчту түзгөн вутболгон учурда, саландоонун эсептик жазылышын вут башталганга чейин өлчөө сунушталат (выкружка болгон учурда – ичиндеги вутту кабыл алуу).

8.14 Борбордук-, борбордон тышкaryы кысылган жана кысылып ийилүүчүү элементтерде  $\bar{\lambda}_f = \frac{b_{ef}}{t} \sqrt{\frac{R}{E}}$  курчоочу тактанын (текченин) саландоосунун ийилчээктигинин маанисин  $\bar{\lambda}$  шарттуу ийилчээктигинен жана кесилиштин түрүнөн көз карандылыкта 31 -таблицада көрсөтүлгөн маанилерден чоң эмес кабыл алуу сунуш кылышат (бул жерде  $b_{ef}$  8.13 п. ылайык кабыл алынат;  $t$  – саландоонун калыңдыгы). Элементтин жетишерлик эмес чыналуусунда 31-табл.  $\bar{\lambda}_f$  эң чоң маанисин  $\sqrt{\frac{R\Phi_m}{\sigma}}$  эссе, бирок 1,5 эседен көп эмес көбөйтүү сунуш кылышат, бул учурда  $\bar{\lambda}_f$  маанилерин 1,3 ашык эмес кабыл алуу керек (бул жерде  $\Phi_m$  –өзөктүн туруктуулугун текшерүүдө колдонулган  $\Phi, \Phi_e, \Phi_{ex}, C, \Phi$ , маанилеринен аз;  $\sigma = \frac{N}{A}$  ).

31 – т а б л и ц а

Текченин (курчоо тактасынын жана элементтин кесилишинин мүнөздөмөлөрү)	Өзөктүн шарттуу ийилчээктигиндеги маанилериндеги $\bar{\lambda}_f$ эң чоң маанилерি	
	$\bar{\lambda} \leq 1$	$\bar{\lambda} \geq 5$
Четтери кьюуланбаган экитавр жана тавра	$\frac{14}{\sqrt{\frac{E}{R}} + 507}$	0,8
Четтери кьюуланбаган чоң бирдей эмес такталуу тик бурчуктун, таврдын капиталы жана швеллердин капиталы	$\frac{15}{\sqrt{\frac{E}{R}} + 507}$	0,8
Четтери кьюуланбаган бирдей текчелүү тик бурчуктардын	$\frac{14}{\sqrt{\frac{E}{R}} + 507}$	0,7
Э с к е р т үү – Орто аралык маанилер үчүн $\bar{\lambda}_f$ эсептеп чыгарууда $\bar{\lambda}_{\text{ны}} = 1$ жана $\bar{\lambda} = 5$ деги маанилердин ортосундагы түз сыйыктуу интерполяция менен аныктоо сунушталат.		

8.15 Ийилүүчүү элементтерде курчоо тактасынын (текченин) прессстелген, ширетилген жана кадоолонгон устундардын саландоосунун эң чоң ийилчээктигин

31 -таблицада  $\bar{\lambda} < 1$  үчүн келтирилген саландоолордун чектүү өлчөмдөрүн эске алуу менен дайындоо сунушталат.

Горизонталдуу такталары жок кадоолонгон устундардын кысылган курчоолорунда тик бурчуктардын кыюуланбаган текчелеринин эң чоң ийилчээктигин

$$\bar{\lambda}_f = 0,6 + \sqrt{\frac{R}{E}} \quad (56)$$

формуласы боюнча кабыл алуу сунушталат.

Элементтин чала чыңалуусунда курчоочу тактанын (тактачанын) эң чоң ийилчээктигин  $\sqrt{\frac{R}{\sigma}}$  эсеге, бирок 1,5 эседен ашык эмес көбөйтүү сунуш кылышат.

бул жерде  $\sigma$  – эки маанинин чоңу:

$$\sigma = \frac{M}{\varphi_b W} \text{ же } \sigma = \left| \frac{M_x y}{L_{xn}} + \frac{M_y x}{L_{yn}} \right|$$

8.16 Эркин саландоолорду жооноюулар (бульбалар) менен күчтөндүрүүдө саландоонун эң чоң мааниси  $\bar{\lambda}_f = \frac{b_{ef1}}{t} \sqrt{\frac{R}{E}}$  [бул жерде  $b_{ef1}$  – жооноюунун борборунан бириге турган капиталдын (текченин) кырына же вуттун башталышына чейин өлчөнө турган курчоонун такталарынын же текчелеринин саландоосунун эсептик жазылыгы; 8.13 п. кара]

$$\bar{\lambda}_{f1} = k \bar{\lambda}_f, \quad (57)$$

формуласы мененаныктоо сунушталат, анда  $k \bar{\lambda}_f, \gamma_1, \bar{\lambda}$ ; жараша 32-табл. боюнча аныкталып турган коэффициент.

$\bar{\lambda}_f$  – 31-табл. боюнча кабыл алына турган жооноюунун жогундады шарттуу ийилчээктигинин эң чоң мааниси.

$\gamma_1$  чондугу барабар:

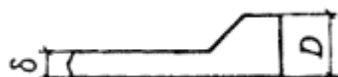
$$\gamma_1 = \frac{D}{t}$$

бул жерде  $D$  – жумуру бульбанын диаметрине барабар болгон жооноюунун өлчөмү; нормалдуу профилдеги квадраттык жана трапеция сымал жооноюуларда  $D$  – бульбанын жазылыгы 1,5  $D$  дан кем эмсете жооноюунун бийиктиги трапеция сымал (9-сүр.) жана  $D$  дан аз тик бурчтуу жооноюуларда.

## 32 – т а б л и ц а

Кесилиш	$\bar{\lambda}_f$	$r_1$	Мааниси $k$ коэффициентинин (57) формуласында $\bar{\lambda}$ барабар иийлчээктикте	
			1	5
Швеллер, эkitавр	$0,35 \leq \bar{\lambda}_f \leq 0,60$	2,5	1,06	1,35
		3,0	1,24	1,69
		3,5	1,46	2,05
	$0,75 \leq \bar{\lambda}_f \leq 0,90$	2,5	1,04	1,28
		3,0	1,20	1,59
		3,5	1,40	1,94
Тик бурчтук, тавр, кресттик	$0,35 \leq \bar{\lambda}_f \leq 0,60$	2,5	1,06	1,17
		3,0	1,24	1,47
		3,5	1,46	1,67
	$0,75 \leq \bar{\lambda}_f \leq 0,90$	2,5	1,04	1,13
		3,0	1,20	1,35
		3,5	1,40	1,67

Э скертуу – аралык баалуулуктар үчүн  $\bar{\lambda}_f$  дөн 0,6 га 0,75 чейинки орто аралык маанилер үчүн жана  $\bar{\lambda}$  1 дөн 5 ке иийлчээктигинин  $k$  коэффициенти түз сзыктуу интерполяция менен аныкталат.



9-сүр. Жооноюунун схемасы (бульбанын)

8.17 Параллелдик түзүүчү менен бир калыпта кысылган айлануунун тегерете туук цилиндрлик каптоолорунун туруктуулугун эсептөөнүү

$$\sigma_i \leq \gamma_c \sigma_{cr1} \quad (58)$$

формуласы боюнча аткаруу сунушталат,  
бул жерде  $\sigma_i$  – каптоодогу болжолдуу чыналуу;

$\sigma_{cr1}$  – маанилеринин кичинесине барабар опуртал чыналуу  $\psi R$  же  $\frac{cET}{r}$  (бул жерде  $r$  – каптоонун ортоңку бетинин радиусу;  $t$  – каптоонун калыңдыгы).

$\psi$  жана  $c$  коэффициенттеринин маанилерин тиешелүү түрдө 33- жана 34- табл. боюнча аныктоо сунушталат.

Түзүүчүгө параллелдүү борбордон тышкary кысуу болгондо же  $0,07E\left(\frac{t}{r}\right)^{\frac{3}{2}}$  маанилеринен аштаган моменттин ордунда жанып өтүүчү чыналууларда диаметралдык тегиздиктеги таза ийилүүдө  $\sigma_{cr1}$  чыналуусун  $\left(1,1 - 0,1 \frac{\sigma'}{\sigma_1}\right)$  эсө көбөйтүү сунуш кылынат, бул жерде  $\sigma'$  – эң аз чыналуу (чиоучу чыналуунун терс катары эсептөө керек).

8.18  $\bar{\lambda} = \lambda \sqrt{\frac{R}{E}} \geq 0,65$  шарттуу ийилчээтикте 4 – бөлүк боюнча кысылган же кысылып – ийилиүүчү өзөктөр катары эсепелүүчү жумуру түтүктөрдө шарты аткарылыши керек

$$\frac{r}{t} \leq \frac{280}{1 + 1400 \frac{R}{E}}$$

Мындан башка, мындай түтүктөрдүн капиталдарынын туруктуулугу 8.17 п. боюнча текшерилиши керек.

Эгерде  $\frac{r}{t} > 35$  ти же  $1,7 \sqrt{\frac{R}{E}}$  маанилеринен ашпаса, тигишиз түтүктөрдүн капиталдарынын туруктуулугун эсептөө талап кылынбайт.

### 33-таблица

$R$ , Мпа мааниси	Төмөнкүлөргө $\frac{r}{t}$ барабар $\psi$ коэффициенттери								
	0	25	50	75	100	125	150	200	250
$R \leq 140$	1,00	0,98	0,88	0,79	0,72	0,65	0,59	0,45	0,39
$R \geq 280$	1,00	0,94	0,78	0,67	0,57	0,49	0,42	0,29	–
$\psi = f(R)$ – $R$ – капиталдарынын мааниси, Мпа $\psi = f(r/t)$ – $r/t$ – түтүктөрдөн көбөйтүү сунуш кылынбайт									

## 34 – т а б л и ц а

$\frac{r}{t}$ мааниси	$\leq 50$	100	150	200	250	500
$c$ коэффициенти	0,30	0,22	0,20	0,18	0,16	0,12
Э с к е р т Y Y – $\frac{r}{t}$ орто аралык маанилери үчүн түз сыйктуу интерполяция менен эсептөө сунушталат.						

## 9 Жука такталуу алюминийди колдонуу менен конструкциялардын элементтерин эсептөө

9.1 Жука такталуу алюминий (калыңдыгы 22 мм ге чейин) тосмолоочу жана көтөрүүчү конструкциялардын элементтери катары колдонуу сунуш кылышат:

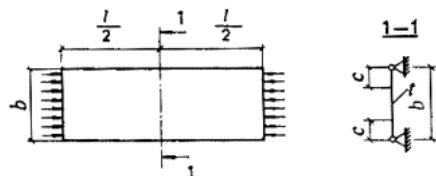
- а) кырлары же атайын штамповкалоо менен бекемделген жалпак такталар;
- б) алдын ала бир багытта кандай болсо, ошондой эле эки багытта дагы чыналган жалпак такталар жана тасмалар;
- в) бекемдөөсү жок же атайын бекемдөөлөрү бар гофранган такталар.

### Кысылууга жана ийилүүгө иштеген элементтер

9.2 Контуру боюнча шарнирдүү-таянган бир багытта кысылган жалпак тактаны бекемдикке эсептөөдө (10-сүр.) жумушчу аянтка формуласы менен аныкталуучу  $2c$  өлчөмүндөгү тактанын бир бөлүгү кошулат

$$c = 1,16t \sqrt{\frac{E}{R}}, \quad (59)$$

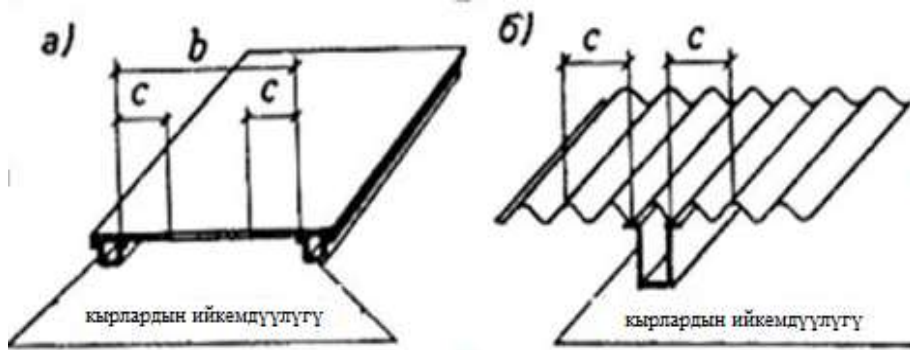
бул жерде  $t$  – тактанын калыңдыгы.



10-сүр. Кысылган жука такталуу элементтин эсептик схемасы  
b – кесилиштин толук жазылыгы; c – кесилиштин жумушчу жазылыгы

9.3 Узата жана туурасынан болгон жүктөмдөрдүн аракетинде жука такта кысылуучу чыналууга ээ болгон узата кырлар менен күчтөндүрүлгөн жука такталуу конструкцияларды бекемдикке жана деформативдүүлүккө эсептөөдө

kyrlarynyн жумушчу аянына тектанын (59) формуласы боюнча аныкталуучу  $c$  өлчөмдөгү бир бөлүгүн (11 а-сүр.) кошуу сунуш кылынат.



11-сүр. Узата кырлар менен күчтөндүрүлгөн жука текталуу конструкциялардын эсептик схемасы  $a$  – жалпак такта;  $b$  – гофранган такта

9.4 Контуру боюнча шарнирдүү таянган жана гофрлар тарабына кысылуучу толкундуу жана трапеция сымал гофрлары менен текталарды бекемдикке эсептөөдө  $\frac{a}{b} \geq 3$  (12-сүр., а) жумушчу аяңтка тектанын  $2c$  өлчөмүндөгү тектанын бир бөлүгүн кошуу сунуш кылынат:

$$c = 1,04 \sqrt{\frac{K}{tdR} \left( \sqrt{D_x D_y} + D_{xy} \right)} \quad (60)$$

бул жерде

$$D_x = E L_x; D_y = \frac{K}{d} \frac{E t^3}{12(1-\mu^2)};$$

$$D_{xy} = \mu D_y + \frac{d}{K} \frac{c t^3}{6}; I_x = \frac{I_{x1}}{2K},$$

мындагы  $K, d$  – тиешелүү түрдө периметри боюнча бир жарым толкундуун кадамы жана узундугу (13-сүр.);

$I_{x1}$  – бир толкундуун инерциясынын моменти.

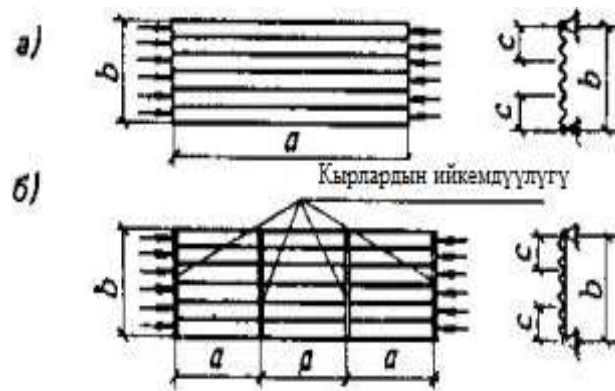
Качан  $\frac{a}{b} < 3$  мамилеси же гофранган такта тараптардын  $\frac{a}{b} < 3$  ( 12,б-сүр. кара) байланышы бар бир катар ячейкаларына инерциянын  $I_s$  моментине ээ болгон (п. 9.5 сүр. кара) туура кырлар менен бөлүнсө,  $c$  нын маанисин

$$c = 0,74 \sqrt{\frac{K}{tdR} \left( D_x \frac{b^2}{a^2} + 2D_{xy} + D_y \frac{b^2}{a^2} \right)}. \quad (61)$$

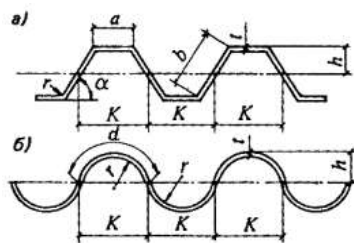
формуласы менен аныктоо сунушталат.

(61) формуласындагы белгилөөлөр (60) формуладагыдай эле;

$a$  менен  $b$  нын маанилерин 12 -сүр. боюнча кабыл алуу сунуш кылынат

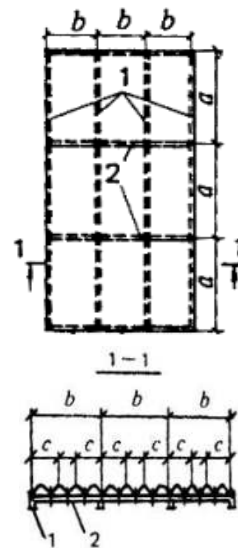


12-сүр. Кысылган гофранган тактадын эсептик схемасы  
 $a$  – катуулантуунун туура кырлары жок;  $b$  – катуулантуунун туура кырлары менен



13-сүр. Гофр үчүн геометриялык параметрлер

Узата кырлары болгон учурда (14-сүр.) жумушчу аянтка ушул кырлардын аятын жана кырдан ар бир тарабын көздөй  $c$  өлчөмүндөгү тактадын бир бөлүгүн кошуу сунуш кылышат.



14-сүр. Узата жана туура кырлары бар гофранган тактадан плитадын схемасы  
 1-узата кырлар; 2-туура кырлар

9.5 (43) формуласы боюнча эсептөөдө катуулантуунун туура кырларынын инерциясынын моменти чоңдугунан аз болбоосу керек

$$I_s \geq \frac{I_x b^4}{4\alpha^3}, \quad (62)$$

Эгерде гофранган такта жана туура кырлар серпилгичтиктин ар кандай модулдарына ээ болсо, анда

$$I_s \geq \frac{I_x b^4}{4\alpha^3}, \quad (63)$$

бул жерде  $-E_2$  кырдын материалынын серпилгичтигинин модулу.

(62) жана (63) формулалардагы белгилөөлөр (60) формуладагыдай эле.

Эгерде,  $I_s$  маанилери көрсөтүлгөн (62) жана (63) формулалардагы чондуктардан аз болсо, анда  $c$  нын мааниси (60) формула боюнча эсептелет. Бул учурда  $D_y$  маанисин кабыл алуу керек.

$$D_y = \frac{K}{d} \frac{Et^3}{12(1-\mu^2)} + \frac{EI_s}{\alpha}$$

9.6 Күчтөндүрүүчү кырлары жок гофранган тактаны туурасынан жүктөм аракет кылганда ийилүүгө эсептөөнү (20) жана (21) формулалар боюнча устун катары эсептөө сунушталат.

Эсептик кесилишке кошула турган трапеция түрүндөгү гофруу такталар үчүн кысылган такталардын өлчөмүн (59) формула боюнча аныктоо сунушталат. Бул учурда (20) жана (21) формулаларда  $W_x$  менен  $I_x$  кесилиштин жумушчу аяны үчүн эсептеп чыгуу сунушталат.

9.7 Ийилүүдө эркин таянган гофранган такталардын  $f$  ийилүүсүн формуласы менен аныктоо сунуш кылышат.

$$f = cf_0, \quad (64)$$

Бул жерде  $a$  –жүктөм алдындагы гофранган тактанын туура кесилишинин деформациясынын аркасында ийилүүсүнүн көбөйүшүн эске алуучу жана төмөнкүлөрдөй кабыл алуучу: толкундуу такталар үчүн – 1ге барабар, трапеция сымалдар үчүн 35-табл. боюнча, трапеция түрүндөгү гофруу чапталган катуу жылуулагычы менен (пенопласт тибиндеги) такта үчүн  $a=1$ ;

$f_0$  –эсептеп чыгарууда  $I_x$  9.6 п. ылайык кабыл алынуучу устун катары иштөөчү гофлонгон тактанын ийилүүсү.

## 35 – т а б л и ц а

$\frac{b}{a}$ катышы	Гофрдун капитал кырларынын жантаюусунун бурчундагыа маанилери, град			
	45	60	75	90
$\geq 2,0$	1,10	1,14	1,20	1,30
1,5	1,15	1,20	1,30	1,40
1,0	1,20	1,25	1,35	1,45
0,5	1,25	1,30	1,40	1,50

35-табл. кабыл алынган белгилөөлөр:

$b$ —жантык кырдын өлчөмү;

$a$ —кысылган горизонталдуу кырдын өлчөмү (13-сүр. кара).

Э с к е р т үү – Орто аралык катыштар үчүн  $a$  маанисин – түз сзыктуу интерполяция менен аныктоо сунуш кылынат.

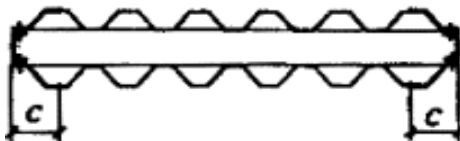
9.8 Ийилтилүүчү гофрланган такталуу узата кырлары менен күчтөндүргүлгөн жука такта конструкцияларын бекемдикке жана ийилүүгө эсептөөнү кырлардын жана тактанын кырдын ар бир тарабынын с өлчөмүндөгү бөлүгүнүн ишкекиришүүсүн (11-б сүр. кара) (60) формула менен туура кырларынын болуусуна карабастан аныктала тургандыгынэске алуу менен эсептөө сунуш кылынат.

9.9 Трапеция түрүндөгү гофрлуу кысылып -ийилүүчү жана чоюлуп - ийилүүчү гофрланган такталарды (салынган жылуулагычы бар үч катмарлуу панелдердин каптоолорун) гофрланган такталардын алардын нейтралдуу окторуна карата инерциясынын моменттеринен башка каптоолорунун жана узата кырларынын биргелешип иштөөсүнкамсыз кылууда бекемдигин эсептөөдө узата кырлары жана с өлчөмүндөгү каптоолордун бөлүгү кирген кесилиштин инерциясынын моментин эске алуу сунушталат (15-сүр):

$$c = 47 + 30 \frac{b}{a} - 3,3 \frac{EI_x}{10^5}, \text{мм}, \quad (65)$$

Бул жерде  $\frac{b}{a}$  –туура кырлардын кадамына болгон панелдин жазылышынын катышы;

$EI_x$  – гофрдун узундуктун бирдигине анын нейтралдуу огуна карата катуулугу,  $\text{kN}\cdot\text{м}$ .



15-сүр. Үч катмарлуу панелдин кесилиши

9.10 Трапеция түрүндөгү гофрлую ийилүүчү текталардын (13.а сүр. кара) кысылган горизонталдуу кырларынын жергиликтүү туруктуулугун узата жээктеринин серпилгичтүү кыпчылууларын эске алуу менен формуласы менен текшерүү сунуш кылышат

$$\sigma \leq k_{loc} \xi E \left( \frac{t}{a} \right)^2, \quad (66)$$

бул жерде  $\sigma$  – тышкы жүктөмдөн кырдагы кысуучу чыңалуулар;

$k_{loc}$  – 36 -табл. боюнча кабыл алынуучу коэффициент;

$\xi$  – 37-табл. боюнча кабыл алынуучу коэффициент

## 36 – т а б л и ц а

$\frac{b}{a}$ Катышы	0,4	0,5	0,6	0,7	0,8	0,9	1,0	1,1	1,2	1,4
Коэффициент $k_{loc}$	5,22	5,15	5,10	5,05	5,00	4,95	4,88	4,84	4,80	4,72

36-табл. кабыл алынган белгилөөлөр

$b$  – жантык кырдын өлчөмү;

$a$  – кысылган горизонталдуу кырдын өлчөмү (13-сүр. кара).

## 37 – т а б л и ц а

$\frac{\sigma}{R}$ катышы	0,7	0,8	1,0	1,2	1,4	1,6	1,8	2,0	2,5	3,0
Коэффициент $\xi$	1,00	0,86	0,76	0,67	0,61	0,56	0,52	0,48	0,41	0,35

Э с к е р т үү – счыналуу  $\xi = 1$ де (66)-(69) формулалар боюнча чыңалган абалга жараша аныктоо сунушталат

9.11 Трапеция түрүндөгү гофрлую текталардын жантык кырларынын жергиликтүү туруктуулугун прогондорго же ригелдерге таянган жерлеринде Е тиркемеси боюнча текшерүү сунушталат.

9.12 Ийилүүдөгү толкундуу такталардын жергиликтүү туруктуулугун (13,б сүр. кара)

$$\sigma \leq 0,22 \sqrt{E} \frac{t}{r}. \quad (67)$$

формуласы боюнча текшерүү сунуш кылышат.

9.13 Борбордук -кысылган гофрланган тактанын жалпы туруктуулугун 4.2 п. көрсөтмөлөрүнө жана 2-табл. Б тиркемесине ылайык текшерүү керек. Эсептик узундук үчүн туура кырларынын болгондугуна карабастан гофрланган тактанынанын тегиздигинен жылышып кетүүсүнө тоскоолдук жаратуучу бекитүүлөрдүн ортосундагы аралыкты кабыл алуу сунушталат.

9.14 Борбордук кысылуудагы трапеция формасындагы тектанын элементтеринин туруктуулугун формуласы менен текшерүү сунушталат, бул жерде  $b$ -чоң кырынын жазылыгы

$$\sigma \leq 3,6 \sqrt{E} \left( \frac{t}{b} \right)^2, \quad (68)$$

Борбордук кысылуудагы гофрланган тектанын жергиликтүү туруктуулугун формуласы менен текшеруү сунуш кылышат

$$\sigma \leq 0,12 \sqrt{E} \left( \frac{t}{r} \right). \quad (69)$$

## Мембраналык конструкциялардын элементтери

9.15 Мембраналык конструкциялардын элементтерин эсептөөнү мембрана менен контурдун биргелешип иштөөсүнүн негизинде алардын деформацияланган абалын жана мембрананын геометриялык түз эместигин эске алуу менен жүргүзүү сунуш кылышат.

9.16 Мембраналык конструкциялардын элементтерин (мембрананы жана контурду) эсептөөдө төмөнкүлөрдү эске алуу сунушталат:

октук кысылууну;

мембрананын контурдун элементтери менен контакттысынын сыйыгы боюнча жылышуунун күчү менен пайды болуучу кысылууну;

тангенциалдык жана вертикальдуу тегиздиктердеги ийилүүнү;

мембрананын баштапкы (жүктөмгө чейинки болгон) ийилүүсү.

9.17 Мембрананы эксцентриситет менен контурдун элементтеринин кесилишинин оордугунун борборуна карата бекитүүдө 9.16 п. көрсөтүлгөн факторлордун башка, контурлардын эсептөөлөрүндө толгонууну эске алуу сунушталат.

9.18 Алдын ала чыңалган каптоосу бар мейкиндиктик блокторду эсептөөдө жана катуулуктун учтагы элементтеринин болушунда каркастын элементтеринен күчтөрдү каптоого ишенимдүү өткөрүп берүүнүн шартында ишке блоктун каркасын киргизүү сунуш кылышат.

Кысылган зонада жайгашкан каптоонун алдын ала тартылуусунун чоңдугун эсептик жүктөмдүн аракетинин учурунда андагы суммалык чыңалуулардын нөлгө барабардык шартында аныктоо сунуш кылышат.

Күч параметрлери боюнча чоюу процесстерин жана чоё турган күчтөрдү жөнгө салуу мүмкүнчүлүгүн контролдоо каптоолорду эсептөөдө тактанын алдын ала чоюлуусунун чоңдугун жумуштун шарттарынын  $\gamma_c = 1$  коэффициентин эске алуу менен аныктоо сунуш кылышат. Каптоодо геометриялык параметрлери боюнча контролдоодо чыңалуу төмөнкү шарттарды канаттандырыши керек:

$$\left. \begin{array}{l} \sigma_p + \sigma_F \cdot 1,1 \leq R; \\ -\sigma_p + \sigma_F \cdot 0,9 \geq 0, \end{array} \right\} \quad (70)$$

Бул жерде  $\sigma_p, \sigma_F$  – тактадагы чыңалуу тиешелүү түрдө алдын ала чоюудан жана тышкы жүктөмдөн.

9.19 Каптоолорунда бир октуу чыңалуусу бар мембраналык конструкциялардын элементтерин эсептөөдө каркастын узата элементтери тарабынан кабыл алынуучу каптоодогу чынжырлуу күчтөрдүн кошумча таасирин эске алуу керек.

9.20 Алюминий эритмелеринен мембраналарды бириктируүнү жана ошондой эле аларды таяныч контуруна бекитүүнү температуралык өйдө-төмөн болуунун таасирине эсептөө сунушталат (мембраннын жана контурдун материалдарынын түз сызыктуу көнөйишинин коэффициенттеринин айырмачылыгын эске алуу менен).

## **10 Алюминий эритмелеринен конструкцияларды бириктируулөрдү эсептөө**

### **Ширетилген бириктируулөр**

10.1 Ширетүү тигиштерин 38-табл. формулалары боюнча эсептөө сунуш кылышат.

Эгерде мандайлаш тигиштер ширетилүүчү элементтердин бүткүл калыңдыгы боюнча салынып жана алардын учтары бириктируүнүн чектеринен чыгарылган болсо, анда бир-бирине жаткыруу менен эки мандайлаш тигиштүү ширетилген бириктируулөр беттештирип ширетилген бириктируүнүн эсептик каршылыгына барабар эсептик каршылыкка ээ болот.

10.2 Ийилүүгө иштеген беттештирилип ширетилген бириктируүлөрдү 9-жана 10-таблицалар боюнча кабыл алынган эсептик каршылыктары бар бүтүндөй кесилишти эсептөө үчүн формулалар боюнча эсептөө сунуш кылышат.

10.3 Бир эле убакта ийилүүгө жана кесилүүгө иштеп жаткан ширетилген беттештирилген бириктируүлөрдү

$$\frac{\sigma_w}{2} + \sqrt{\frac{\sigma_w^2}{4} + \tau_w^2} \leq R_w Y_c, \quad (71)$$

Бул жерде  $\sigma_w$  – ширетилген бириктируүдөгү ийилүүдөн чыналуу;

$\tau_w$  – ширетилген бириктируүдөгү кесилүүдөн чыналуу.

### 38 – т а б л и ц а

Ширетилген тигиштер	Чыналган абалы	Эсептик формула
Беттештирилген, аракет кылуучу күчкө перпендикулярдуу жайгашкан	Кысылуу, чоюлуу	$\frac{N}{l_w t} \leq R_w Y_c$
Бурчтук	кесилүү	$\frac{N}{l_w \beta k_f} \leq R_w Y_c$

38-табл кабыл алынган белгилөөлөр:

$N$  – эсептик узата күч;

$l_w$  –  $3t$  же  $3k_f$  алып салуу менен анын толук узундугуна барабар болгон тигиштин эсептик узундугу; тигишти бириктируүнүн чектеринен чыгарууда (ичмектерге ж.б.) тигиштин эсептик узундугуна анын толук узундугу алышат;

$t$  – бириктирилүүчү элементтердин эң аз калыңдыгы;

$\beta_f$  – төмөнкүлөргө барабар катары алышуучу коэффициент: 0,9 – автоматтык бир- эки өткөөлдүү ширетүүдө; 0,7 – көп өткөөлдүү автоматтык ширетүүдө, өткөөлдөрдүн кандай саны болсо дагы, кол менен жана жарым автоматтык ширетүүдө;

$k_f$  – киргизилген бирдей капиталдуу үч бурчтуктун катетине барабар катары кабыл алышуучу бурчтук тигиштин катети.

10.4 Бурчтук тигиштин бир эле кесилишиндеги эки багыттагы кесүүчү чыналууларынын бир мезгилдеги аракетинде эсептөөнү ушул чыналуулардын бирдей аракет кылуусуна жүргүзүү сунушталат.

10.5 Ага бир эле учурда октук күч жана ийилгүүчү момент аракет кылган элементти бекитүүчү бурчтук тигиштерди (29) формула менен эсептөө сунушталат, анда:

$A_n = A_{wf}$  – тигиштердин эсептик аяны;

$I_{xn}, I_{yn}$  – тигиштердин эсептик аянынын инерциясынын тиешелүү түрдө  $x-x$  жана  $y-y$  окторуна карата инерциясынын моменти;

$R = R_{wf}$  – бурчтук тигиштин эсептик каршылыгы.

## Қадоолор жана буроолор менен бириктируүлөр

10.6 Қадоолор жана буроолор менен бириктируүлөрдө бириктируүнүн оордук борбору аркылуу өтүүчү *Лузатакүчүнүн аракетинде*, бул күчтү қадоолор менен буроолордун ортосунда бөлүштүрүүнү бир калыпта деп кабыл алуу сунушталат.

Узата күчтөрдү кабыл алуучу қадо жана буро бириктируүлөрүн кесилүгө жана қадоолордун жышылуусуна эсептөөнү 39-табл. формулалары боюнча жүргүзүү сунушталат.

### 39 – т а б л и ц а

Бириктируү	Чыңалган абал	Эсептөөнүн формуласы
Қадоолор (же буроолор)	Кесилүү	$\frac{N}{\frac{\pi d^2}{4} n s} \leq R_{rs}(R_{bp}) \quad (73)$
	Жышылуу	$\frac{N}{nd \sum t} \leq R_{rp}(R_{bp}) \quad (74)$
Буроолор	Чоюлуу	$\frac{N}{\frac{\pi d^2}{4} n} \leq R_{bp} \quad (75)$
Қадоолор	Қадоонун бөркүнүн үзүлүүсү	$\frac{N}{n \pi d h} \leq R_{rs} \quad (76)$

39-таблицада кабыл алынган белгилөөлөр:

$N$  – бириктируүгө аракет кылууучу эсептик узата күч;

$n$  – бириктируүдөгү қадоолордун жана буроолордун саны;

$ns$  – бир қадоонун же буроонун жумушчу кесилүүсүнүн саны;

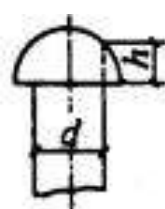
$d$  – қадоо үчүн көзөнөктүн диаметри же буроонун өзөгүнүн тышкы диаметри;

$\sum t$  – бир багытта жышылууучу элементтердин эң аз суммардык жоондугу;

$d_o$  – буроонун сайынын ички диаметри;

$h=0,4d$  – бөркүнүн жулунуп кетүү бетинин бийиктиги ([16-сүр.](#)).

Э с к е р т үү – Буроолорду кесилүүгө жана жышылууга эсептөөнү  $R_{rs}$  и  $R_{rp}$  ны тиешелүү түрдө  $R_{bs}$  жана  $R_{bp}$  га алмаштыруу менен (73) жана (74) формулалары боюнча жүргүзүү сунушталат.



16-сүрөт. Жумуру бөркүү қадоо

10.7 Бир эле учурда кесилүүгө жана чоюлууга иштеген кадоолор менен буроолорду өз-өзүнчө кесилүүгө жана чоюлууга текшерүү сунушталат.

10.8 Бир элементтин экинчисине прокладкалар же башка орто аралык элементтер аркылуу бекитүүлөрдө, ошондой эле бир тарааптуу накладкалар менен бекитүүлөрдө кадоолордун (буроолордун) саны эсептик санынан 10% га көбөйтүлүшү керек.

Тик бурчтуктардын же швеллерлердин чыгып турган текчелерин бакенелердин жардамы менен бекитүүдө, бакененин текчелеринин бирине бекитүүчү кадоолордун (буроолордун) саны эсептик санга караганда 10% га көбөйтүлүшү керек.

### **Жогорку бекемдиктеги болот буроолор менен монтаждык бириктирилүүлөр**

10.9 Жогорку бекемдиктеги болот буроолор менен монтаждык бекитүүлөрдү беттештерде жана бекитүүлөрдө жогорку бекемдиктеги буроолордун керүүсүнөн бириктирилүүчү элементтердин тийишип туруучу тегиздиктери боюнча пайда болуучу сүрүлүү аркылуу аракет кылуучу күчтөрдү эсепке алуу менен эсептөө сунушталат. Бул учурда буроолордун ортосундагы узата күчтүү бөлүштүрүү бирдей катары кабыл алуу сунуш кылынат.

10.10 Бир жогорку бекемдиктеги буроо менен тартылган бириктирилүүчү элементтин сүрүлүүсүнүн ар бир бети кабыл ала турган  $Q_{bh}$  эсептик күчүн формуласы менен аныктоо сунушталат

$$Q_{bh} = \frac{R_{bh}\gamma_b A_{bn}\mu}{\gamma_h}, \quad (72)$$

$R_{bh}$  – КР КЧ 53-01 ылайык аныктала турган жогорку бекемдиктеги буроонун эсептик каршылыгы;

$\gamma_b$  – 0,8 барабар катары кабыл алынуучу бириктирилүүнүн иштөөсүнүн шартынын коэффициенти;

$A_{bn}$  – КР КЧ 53-01 ылайык аныктала турган нетто буроонун кесилишинин аяны;

$\mu$  – 40 табл. боюнча кабыл алынуучу сүрүлүүнүн коэффициенти;

$\gamma_h$  – КР КЧ 53-01 ылайык кабыл алынуучу бекемдиктин коэффициенти.

#### 40 – т а б л и ц а

Бириктирилүүчү беттерди иштетүүнүн ыкмасы	Кум агымдуу тазалоо	Бетти оюу кылуу	Иштеппестен (майсыздандыруудан кийин)
Сүрүлүү коэффициент $\mu$	0,45	0,4	0,15

Бириктирилүүдөгү  $n$  жогорку бекемдиктеги буроолордун санын узата күчтүн аракетинде төмөнкү формула боюнча аныктоо сунуш кылынат:

$$n \geq \frac{N}{k_1 \gamma_c Q_{bh}}, \quad (77)$$

Бул жерде  $k_1$ -бириктирилүүчүү элементтердин сүрүлүү бетинин саны.

Жогорку бекемдиктеги буроонун тартылышын  $P=R_{bh}A_{bn}$  октук күч менен жүргүзүү сунушталат.

10.11 Жогорку буроолор үчүн көзөнөктөр менен алсызданган бириктирилүүчүү элементтердин бекемдигин эсептөөнү каралып жаткан кесилиштеги ар бир буроого келе турган күчтүн жарымы сүрүлүүнүн күч менен мурда эле берилгендигин эске алуу менен аткаруу сунушталат. Бул учурда начарлаган кесилиштерди текшерүүнү кесилиштин аяны боюнча брутто  $A_{n \geq 0,85A}$  болгондо же  $A_n < 0,85A$  болгондогу  $A_c = 1,18A_n$  шарттуу аяны боюнча жүргүзүү сунуш кылышат.

### **Фрезерленген учтары менен бириктируү**

10.12 Фрезерленген учтары менен бириктируүлөрдө (кысылган элементтердин тийишкен беттеринде ж.б.) кысуучу күчтү толугу менен учтары аркылуу берилет деп эсептөө керек.

Борбордон тышкary кысылган жана кысылган-ийилүүчүү элементтерде ширетүү тигиштери жана буроолор, жогорку бекемдиктегилерди кошо, көрсөтүлгөн бириктируүлөрдө моменттин аракетинен жана узата күчтүн алардын эң жагымсыз айкалышындагы максималдуу чоюучу күчүнө эсептөө сунуш кылышат.

### **Курамдуу устундардагы курчоолуу бириктируүлөр**

10.13 Эки таврдуу устундардын капиталдарын жана курчоолорун бириктируүчүү ширетүү тигиштерин, кадоолорун жана жогорку бекемдиктеги буроолорун 41-табл. боюнча эсептөө сунуш кылышат.

## 41 – та б ли ц а

Жүктөм	Бириктируүнүн түрү	Курамдуу устундарда курчоолуу бириктируулөрдү эсептөөнүн формулалары
Кыймылсыз (бөлүштүрүлгөн жана топтолгон)	Бурчук тигиштер	$\frac{T}{2\beta_f k_f} \leq R_{wf} Y_c$ (78)
	Кадоолор	$aT \leq Q_{rs} Y_c n_s$ (79)
Жергиликтүү топтолгон	Жогорку бекемдиктеги буроолор	$aT \leq Q_{bh} Y_c k_1$ (80)
	Бурчук тигиштер	$\sqrt{\frac{T^2 + V^2}{2\beta_f k_f}} \leq R_{wf} Y_c$ (81)
	Кадоолор	$a\sqrt{T^2 + \alpha V^2} \leq Q_{rs} Y_c n_s$ (82)
	Жогорку бекемдиктеги буроолор	$a\sqrt{T^2 + \alpha V^2} \leq Q_{bh} Y_c k_1$ (83)

41-табл. кабыл алынган белгилөөлөр:

$T = \frac{QS}{L}$  – туура күч  $Q$  пайда кылуучу узундуктун бирдигине курчоону жылдыруучу күч (бул жерде  $S$ -нейтралдуу окко карата устундун брутто курчоосунун статикалык моменти);

$a$  – курчоонун кадоолорунун же жогорку бекемдиктеги буроолордун кадамы;

$Q_{rs} = R_{rs} n_s \frac{\pi d^2}{4}$  – (73) формуласы менен аныкталуучу бир кадоонун кесилүүгө эсептик күчү;

$n_s$  – бир кадоонун эсептик кесилиштеринин саны;

$Q_{bh}$  – (72) формула менен аныкталуучу бир жогорку бекемдиктеги буроонун эсептик күчү;

$k_1$  – бириктирилүүчүү элементтердин сүрүлүү беттеринин саны;

$V = \frac{\gamma_f F}{l_{ef}}$  –  $F$  жүгүнүн басымы (бул жерде  $\gamma_f$  – КЧжЭ 2.01.07 ылайык кабыл алынуучу коэффициент);

$l_{ef}$  – Д тиркемеси боюнча кабыл алынуучу топтолгон жүктөмдүн бөлүштүрүлүшүнүн шарттуу узундугу;

$\alpha$  – устундун жогорку курчоосу боюнча жүктөмдөгү кабыл алынуучу коэффициент, анда капиталы жогорку курчоого кыналган, а 0,4; капиталга кыналуу болбогондо же төмөнкү курчоосу боюнча жүктөм болгондо  $a=1$ .

10.14 Көп такталуу курчоо пакеттери менен кадоолор жана жогорку бекемдиктеги буроолор менен бекитилген устундарда такталардын ар бириң өзүнүн теориялык үзүлүүсүнүн ордунда бекитүүнү тактанын кесилиши кабыл ала турган күчтүн жарымына эсептөө сунуш кылышат. Ар бир тактаны анын үзүлүүсүнүн анык ордуна жана мурдагы тактанын үзүлүүсүнүн ордундагы участокто бекитүүнү тактанын кесилиши кабыл ала турган толук күчкө эсептөө сунуш кылышат.

### **Анкердик буроолор**

10.15 Алюминий эритмелериндеги конструкцияларда анкердик буроолорду болоттон аткаруу сунушталат. Болот анкердик буроолорун эсептөөенү КР КЧ 53-01 боюнча жүргүзүү сунуш кылышат.

## **11 Алюминий конструкцияларын долбоорлоо**

### **Жалпы көрсөтмөлөр**

11.1 Алюминий конструкцияларын долбоорлоодо төмөнкүлөр зарыл:

а) монтаждоо жана эксплуатациялоо процессинде курулманын жана жалпысынан анын элементтерин, аларды курулманын эксплуатациясынын негизги параметрлерине жана режимине карата дайындоо менен туруктуулукту жана мейкиндиктик өзгөрүлбөстүгүн камсыз кылуучу байланыштарын алдын ала кароо (пролеттордун конструктивдик схемасын, температуралык таасирлерди ж.б.);

б) металл конструкцияларын жасап чыгаруучу ишканалардын өндүрүштүк мүмкүнчүлүктөрүн жана монтаждоочу уюмдардын көтөрүүчү-транспорттук жабдуусунун кубаттуулугун эске алуу;

в) конструкциянын элементтерин деталдардын эң аз санынан чогултуу;

г) конструкцияда беттешүүлөрдү (улама) тиешелүү түрдө жайгаштыруу жолу менен металлды эң аз калдыктар жана жоготуулар менен пайдалануу;

д) конструктивдик чечүүлөрдү алдын ала кароо курулушка аларды рационалдуу жана экономикалуу ташып жеткирүүнү эске алуу менен конструкцияларды жөнөтүлүүчү элементтерге бөлүштүрүү;

е) курулуш участогунда ири блоктор менен монтаждоо жана монтаждоо процессинде курулманын айрым элементтери менен блокторунун туруктуулугун камсыз кылуу боюнча конструкциялардын жөнөтүлүүчү элементтерин ирилетүү мүмкүнчүлүгүн алдын ала кароо;

ж) жецил чогултуу жана монтажда бириктируүлөрдү ынгайлуу аткаруу мүмкүндүгүн камсыз кылуучу элементтердин монтаждык бекитүүлөрүн (монтаждык столчолорду куруу ж.б.) жана ошондой эле конструкцияларды текшерүүнүн тездетүүнү алдын ала кароо;

з) элементтердин монтаждык буроолук бириктируүлөрүн алдын ала кароо; ширетилген жана кадоолор менен монтаждык бириктируүлөргө буроолорду колдонуу рационалдуу эмес же ченемдик документтер менен руксат берилбegen учурда гана жол берүү.

**11.2 Элементтердин ийилүүлөрү жана орун которуулары КЧжЭ 2.01.07 менен белгиленген чектерди ашпосу керек**

Элементтердин салыштырма ийилүүлөрү 42-таблицада келтирилген маанилерден ашпосу керек.

**11.3 Бир кабаттуу имараттардын жана курулмалардын алюминий конструкцияларына температуралык жана климаттык таасирлерди 43-табл. ылайык температуралык тигиштеринин ортосундагы эң чоң аралыктарды сактоо жолу менен, жана ошондой эле тосмолоочу конструкцияларды, алардын беттештерин жана жылчык жапкычтарын долбоорлоодо конструктивдүү чараларды колдонуу менен эске алуу сунушталат.**

**11.4 Имараттардын тосмолоочу конструкцияларын (дубалдары жана каптоолору, айрым панелдер, настилдери жана алардын беттештери) ошондой эле имараттын каркасына тосмолоолорду бекитүүнүн деталдарын жыл бою температуранын өзгөрүүлөрүн эске алуу менен, ошону менен бирге тосмолоолордун жылуулук техникалыккасietтерин жана герметикалуулугун сактап, ушул эле учурда температуралык деформациялардын эркиндигин камсыз кылуу менен долбоорлоо сунуш кылышат.**

**11.5 Тосмолоочу конструкцияларды эсептөөдө тышкы беттердин температурасынын өзгөрүүлөрүнүн маанилерин КР КЧжЭ 23-02 ылайык тышкы абанын жылдын жай мезгилиндеги жана кыш мезгилиндеги температурасынын эсептикмаанилеринен алыш аныктоо сунуш кылышат. Мында жай мезгилиnde күн радиациясынын таасири эске алыныши керек.**

**11.6 Тосмолоочу конструкциялардын тышкы жана ички беттеринин ортосундагы температуранын эсептик өзгөрүүлөрүн имаратты эксплуатациялоонун ички температуралык режимин эске алуу менен кабыл алуу сунуш кылышат.**

## 42 – т а б л и ц а

Конструкциялардын элементтери	Элементтердин салыштырмалуу ийилүүлөрү ( $l$ пролетуна карата)
1. Жабуулардын жана чатырдын жабууларынын устундары: башкы устундар прогондор обрешеткалар	1/250 (1/200) 1/200 (1/150) 1/150 (1/125)
2. Жабуулар, анын ичинде чоң пролеттуу, асма транспортсуз	1/300 (1/250)
3. Фахверктин элементтери: түркүктөр, ригелдер	1/300 (1/200)
Айнек прогондору (вертикалдуу жана горизонталдуу тегшиздиктерде)	1/200
4. Дубал панелдери:	
Айнектелген	1/200
Айнектелген эмес	1/125 (1/100)
5. Чатырды жабуу панелдери, асма шыптар	1/150 (1/125)
6. Тосмолоочу конструкциялардын вертикалдуу жана горизонталдуу элементтери (импосттор) айнектөөдө:	
бирден	1/200
Айнекпакеттер менен	1/300
<b>Э с к е р т үүлөр</b>	
1 Кашаалардын ичинде келтирилген ийилүүлөрдүн чондуктары негиздемелер болгон учурда гана жол берилет (тажыйба түрүндөгү курулуш, курулуштук бийиктөө болгондо ж.б.).	
2 Ийилүүлөрдүн чектүү маанилерин беттештердин тыгыздыгын сактоо шарттарынан тиешелүү негиздемелердин болушунда аныктоого жол берилет.	
3 Асма транспортту колдонууда конструкциялардын ийилүүлөрүн көтөргүч-транспорттук механизмди ченемдүү пайдалануунун шарттарында ар бир конкреттүү учурда аныктоо сунушталат.	

## 43 – т а б л и ц а

Имараттардын жана курулмалардын мұнөздемелөрү	Эң чоң аралыктар, м		
	Температуралык тигиштердин ортосунда		Температуралык тигиштен же имараттын учунан эң жакын вертикальдуу байланыштын огuna чейин
	Блоктун узундугу боюнча (имаратты узата)	Блоктун жазылыгы боюнча	
Жылтылуучу имараттар	144	120	72
Жылтылбай турган имараттар жана ысык цехтер	96	90	48
Ачык эстакадалар	72	–	36

Э с к е р т Ү Ү – Эң чоң аралыктар жабууларынын же (жана) дубалдарынын конструкциялары алюминийден, ал эми колонналары болоттон же алюминийден жасалған имараттар жана курулмалар үчүн көрсөтүлгөн.

11.7 Тосмолоочу конструкцияларды долбоорлоо учурунда жылуулаткыч, клей жана герметиктер үчүн материалдарды тандоону тосмолоочу конструкциялардын тышкы жана ички беттеринин ортосундагы температуралын эсептик өзгөрүүсүнүн чоңдуктарын эске алуу менен жүргүзүү сунуш кылышат.

11.8 Конструкцияларда техникалык-экономикалык негиздөөлөрдө алюминийди башка курулуш материалдары менен айкалыштырууда (алюминий жана жыгач терезе жана эшик конструкцияларында, алюминий жана полимерлер дубалдык жана чатыр конструкцияларында ж.б.) Мында серпилгичтик модулдарынын чоңдуктарындагы жана материалдардын түз сзыяктуу кеңейүүсүнүн коэффициенттеринин айырмачылыктарын эске алуу зарыл жана ошондой эле алюминийди контакттык коррозиядан коргоо боюнча иш чарапарды алдын ала кароо керек.

11.9 Жыйналуучу-чачылуучу имараттардын конструкцияларында алюминийди төмөнкүдөй түрдө колдонуу сунуш кылышат:

дубалдар, чатырлар, бөлмөлөр, эшиктин жана терезелердин проемдору үчүн тосмолоочу толук жыйналуучу элементтер ж.б.;

толук заводдук даярдыктагы буроолору менен монтаждык бирикмелери бар алыш жүрүүчү элементтер ж.б.

11.10 Жыйналуучу-чачылтылуучу имараттардын тосмолоочу жана алыш жүрүүчү конструкцияларынын элементтерин долбоорлоодо алардын өз ара алмаштырылуучулугун алдын ала кароо сунушталат. Монтаждык түйүндөрү менен беттешүүлерүн кирдин, чандын, нымдын ж.б. топтолушун болтурбай турган орундарда жайгаштыруу зарыл.

11.11 Ташуу учурунда жыйналуучу-чачылтылуучу имараттардын жана курулмалардын элементтеринин сакталышын аларды пакеттөө жана контейнерлерде ташуу жолу менен алдын ала кароо сунушталат.

11.12 Алюминий конструкцияларын жана архитектуралык багыттагы буюмдарды коргоочу -декоративдик жасалгалоо үчүн мамлекеттик стандарттар менен каралган материалдарды жана тиешелүү түрдөгү конструкциялардын типтүү чиймелерин колдонууга жатат.

11.13 Тосмолоочу конструкцияларды ачуунун, фиксирулөөнүн зарыл болгон приборлорун жана башка буюмдар менен материалдарыништеп чыгуу менен бирдикте долбоорлоо сунуш кылынат.

11.14 Тосмолоочу алюминий конструкцияларын долбоорлоодо тездетилген эскирүүгө, жыртылууга же ремонтко жакын элементтерди жецил алмаштыруу мүмкүнчүлүгүн камсыз кылуу зарыл (мисалы, тыгыздоочу прокладкаларды, айнектерди ж.б.).

11.15 Имараттардын жана курулмалардын тосмолоочу жана көтөрүүчү конструкцияларында ТЭ 101-81\* көрсөтмөлөрүнүн негизинде атайын негиздемеде жол берилет.

11.16 Агрессивдүү чөйрөлөрдүн өндүрүштүк жана айыл чарба имараттарынын жана курулмаларынын коррозиялык түрүктуулугун КЧжЭ 2.03.11 га ылайык алюминийдин маркасын жана абалын, рационалдуу конструктивдик формаларын жана минималдуу калыңдыктарын тандоо жолу менен камсыз кылуу сунуш кылынат.

## 12 Конструктивдик талаптар

### Жалпы көрсөтмөлөр

12.1 Бириктируүнүн түрүн (ширетүү, буроолор, кадоолор ж.б.) бириктируү жумушунун мүнөзүнө жараша жана бириктируүнүн түрү менен аныкталуучу алюминийдин начарлоосунун даражасын эске алуу менен жүргүзүү сунушталат.

Көтөрүүчү конструкциялардын элементтеринин ширетилген бириктируүлөрүн эреже катары заводдук шарттарда аткаруу сунушталат. Ширетилген конструкцияларды долбоорлоодо кондукторлорду колдонуунун алдын ала кароо зарыл.

12.2 Жука такталуу тосмолоочу конструкциялар жана алардын бириктируүлөрүн ширетилген жана кадоолонгон кылып долбоорлоо сунуш кылынат (каптоолорду каркастарга заводдук жана монтаждык бекитүүлөр, жука такталуу

элементтерди ирилетүү үчүн беттештиker, чатырдык жабууларындагы беттештиker), ошондой эле фалецтердеги жана кыпчыткычтардагы бириктируүлөрдү ж.б. колдонуу менен.

12.3 Ширетилүүчү жука такталуу конструкцияларды долбоорлоодо конструкциялардын тышкы көрүнүшүн төмөнкүдөй жол менен камсыз кылуу зарыл: ширетилген бириктируүлөрдүн талап кылынган тышкы көрүнүшүн камсыз кылуучу ширетүүнү ыкмасын тандоо менен; ширетилген бириктируүлөрдө жылчык толтургучтарды жана башка конструктивдик элементтерди орнотуу менен; катуу кондукторлорду колдонуу менен; ширетүүдөгү деформацияларды азайтуу үчүн ширетүү тигиштерин чыңкоо жолу менен ж.б.

12.4 Аноддоо менен коррозияга каршы коргоого арналган конструкцияларда ширетүү бириктируүлөрүн колдонуу атайын негиздеме болгондо жол берилет.

12.5 Алюминий конструкцияларынын жарымфабрикаттарынын минималдуу калыңдыгын эсептөө менен жана аларды ташуунун жана монтажынын шарттарына жараша дайындоо сунуш кылынат.

Тосмолоочу конструкциялардын элементтеринин калыңдыгы аларды эксплуатациялоонун нормалдуу шарттарында 0,8 мм ден кем эмес жол берилет.

12.6. Алюминийден курулуш конструкцияларын долбоорлоодо мамлекеттик стандарттардын талаптарын эске алып, алюминий профилдеринин каталогдору менен пайдалануу зарыл.

12.7 Күчтөрдүн бир бөлүгүн кадоолор ал эми бир бөлүгүн ширетүү тигиштери көтөрө турган комбинацияланган бириктируүлөрдү колдонууга тыюу салынат.

12.8 Алюминийди болот менен айкалышта колдонууну төмөнкү курамда жол берилет:

Конструкциялардын алюминий же болоттон ар кандай элементтерин аткарууда бир конструкцияны;

Болот бириктируулөрү менен алюминийден жасалган конструкциянын бир элементтин (буроолор).

12.9 Тосмолоочу конструкциялардын элементтеринин ичмектүү жасалышындагы бириктируулөр (витриналар, витраждар, терезелер, эшиктер ж.б.) сынамдык конструкцияларда текшерилиши керек.

Айнектен толтуруунун алюминий каркастын элементтери менен түздөн-түз тийишүүсүнө жол берилбейт.

### **Ширетилген бириктируулөрдү конструкциялоо**

12.10 Ширетилген бириктируулөрү менен конструкцияларды долбоорлоодо төмөнкүлөр сунуш кылынат:

Ширетүүнүн жогорку өндүрүмдүү механизациялаشتырган ыкмаларын колдонуу;

Даярдап чыгарууда конструкцияларды кантовкалоосуз ширетүүнүн мүмкүндүгүн алдын ала кароо;

Ширетүүнүн тандалып алынган ыкмасын жана технологиясын эске алуу менен тигиштерди салуунун орундарына эркин жеткиликтүүлүктү камсыз кылуу;

Ширетүүдө эң аз ички чыңалууларменен деформацияларды камсыз кылуу боюнча талаптарды аткаруу үчүн тигиштердин өлчөмдерүүн жана өз ара жайгашууларын белгилөө жана ширетүүнүн ыкмасын тандоо;

Бир жерде тигиштердин көп санынын топтолушун болтурбоо;

Ширетүү тигиштеринин санын жана өлчөмдерүүн минималдуу зарыл деп кабыл алуу.

12.11 Четтерин ширетүүгө даярдоону ширетүүнүн ыкмасы жана технологиясын, мейкиндиктеги тигиштин жайгашуусун жана ширетилип жаткан элементтердин калындыгын МАСТ 14806 жана заводдук нормалдар боюнча эске алуу менен дайындоо сунуш кылынат.

12.12 Ширетилген бириктируулөрдү жана түйүндөрдү көтерүүчү конструкцияларда долбоорлоодо чыңалуулардын концентрациясын төмөндөтүүнү алдын ала кароо сунуш кылынат, бул үчүн тиешелүү конструктивдик чечимдерди жана технологиялык иш чараларды колдонуу керек. Көбүнчө милдеттүү түрдө түбүн ширетүү менен же формалоочу ичмектерди пайдалануу менен беттештирип ширетүүнү алдын ала кароо сунушталат. Беттештирип ширетүүнүн учтарын

беттештируүнүн чектеринен ашыруу (мисалы, чыгып турган планкалардын жардамы менен) сунушталат.

Ар кандай калыңдыктагы эки тактаны ширетүүдө МАСТ 14806 боюнча скосту түзүү менен калың тактадан жука тактага өтүү сунуш кылынат.

12.13 Эсептик элементтердеги беттештируүлөрдүн саны минималдуу болушу керек.

12.14 Ширетүү менен бириктирилүүлөр эреже катары конструкциянын элементтеринин азыраак чыналган орундарында жайгаштыруу сунушталат.

12.15 Пресстелген профилдерден алып жүрүүчү конструкциялардын түйүндөрүндө беттештирип жана таврга ширетилген бириктирилүүлөрдү алдын ала кароо керек.

12.16 Ширетилген бурчтук тигиштердин өлчөмдөрү жана формасы төмөнкү талаптарга жооп бериши керек:

$k_f$  тигиштеринин катети (калыңдыгы 4мм жана андан көп элементтерди ширетүүдө) 4 мм ден кем эмес кабыл алуу сунушталат. Учтарын улап бириктирилүүлөрдө вертикалдуу өлчөм боюнча катет үстүнкү деталдын бетинен 1 мм ден ашык чыгып турбоосу керек. Эгерде бириктирилүүдө жукаараак элементтин бульбасы болсо, анда тигиштин катетинин чектүү  $k_f$  чондугу 1,5  $t$  га чейин чоңойтулушу мүмкүн (бул жерде  $t$  – бириктирилүүчү элементтердин эң аз калыңдыгы);

флангдык жана маңдайлаш тигиштердин эсептик узундугу 40 ммден жана  $k_f$ ден аз болбоосу керек;

флангдык тигиш кабыл ала турган күч тигиштин бардык узундугунда пайда боло турган бириктирилүүлөрдү кошпогондо, флангдык тигиштин эсептик узундугу  $50k_f$ , ашпоосу керек, бул учурда флангдык тигиштин узундугу чектелбейт.

Бурчтук тигиштер менен кабатташтыруу бириктирилүүлөрдө кабатташтыруунун чондугу эң жука элементтин беш калыңдыгынан аз эмес болушу керек.

12.17 Жука такталуу конструкциялардын ширетилген бириктирилүүлөрүн ширетүүнүн колдонулуп жаткан ыкмаларынын технологиялык өзгөчөлүктөрүн эске алуу менен долбоорлоо сунушталат:

Каркастын жоонураак элементтерине каптоолордун жука такталарын ширетүү аргондук жаа же контакттуу чекиттүү ширетүү менен аткарууга жол берилет; контакттык чекиттүү ширетүүдө ширетилүүчү элементтердин калыңдыктарынын катышы 1:3 төн ашпосу керек;

Заводдук шарттарда жука такталуу элементтерди ирилетүү үчүн эреже катары, бекем. Суу өтпөгөн бириктируулөрдү алууну камсыз кылуучу контакттык роликтүү ширетүүнү колдонуу сунуш кылышат. Контакттык роликтүү ширетүүдөгү бириктируулөрдүн өлчөмдөрү 44 -таблицада берилген.

## 44 – т а б л и ц а

Эң жука детал-дын калың-дыгы, мм	Контакттык чекиттүү ширетүү				Роликтүү ширетүү			
	Ядронун диаметри, мм	Минималдык өлчөмдөрү, мм			Чекитте рдин ортосун-дагы кадам	Күйду-рулган зона-нын жазылыгы, мм	Минималдык өлчөмдөрү, мм	
		Тигиштеги кабатташтыруунун <sup>1</sup> жазылыгы	Бир катарлуу	Эки катарлуу (шахмат тартибинде)			Тигиштеги кабатташтыруунун <sup>1</sup> жазылыгы	Бир катарлуу
0,5	3–4	10	18	10	3–4	10	12	5
0,8	3,5–4,5	12	25	13	3,5–4,5	10	14	5
1	4–5	14	28	15	4–5	12	16	6
1,2	5–6	16	30	15	5–6	14	20	7
1,5	6–7	18	35	20	6–7	16	24	8
2	7–8	20	42	25	7–8	20	28	10
3	9–10	26	56	35	8–9	24	34	12

<sup>1</sup> Алюминийдин үч тактасын ширетүүдө аны 15-20% чоңойтуу сунуш кылышат.

<sup>2</sup> 30–50 % га ашыра жабуу менен аткарылат.

Жука такталуу элементтерди заводдук шарттарда контакттык чекиттүү, аргондук жаа чекиттүү жана аргондук жаа үзгүлтүксүз тигиш менен ширетүү менен ирилеттүүгө жол берилет (бириктируулөрдүн өлчөмдөрү 44 -таблицада берилген).

Чатыр жабууларынын беттештерин монтаждык шарттарда ширетүүдө эреже катары, вольфрамдык же эрип кетүүчү электрод менен жаанын импульстук азыктануусу менен аргондук жаа ширетүүсүн колдонуу сунуш кылышат. Бул

учурдагы бириктириүүлөрдүн негизги түрлөрү болуп кабатташтырылган жана борттук болуп эсептелет.

Аргондук жаа чекиттүү ширетүүнү монтаждык шарттарда колдонууда жука такталуу элементтерди бириктириүү үчүн бириктириүүнүн негизги түрү болуп кабатташтыруу болуп эсептелет; кабатташтыруунун чоңдугу 30 мм ден кем болбошу керек.

Аргондук жаа чекиттүү ширетүү менен үч элементтен турган пакетти ширетүүгө жол берилет (пакеттеги эки үстүнкү текталардын калыңдыгы 3 мм ден ашпашы керек).

### **Кадоолуу жана буроолуу бириктириүүлөрдү конструкциялоо**

12.18 Конструкциялардын жумушчу элементтеринде бириктириүүнүн бир тарабында жайгашкан, элементти түйүндө бекитүүчү кадоолордун саны экиден кем болбошу керек.

12.19 Заводдук муздак кадоодо кадоолонуп жаткан скобадагы пакеттин калыңдыгы кадоолордун төрт диаметринен ашпашы керек.

12.20 Кадоолор менен буроолорду, анын ичинде жогорку бекемдиктеги, жайгаштыруунун 45-таблицага ылайык жүргүзүү керек. Түйүндөрдөн жана бирикмелерден тышкары жайгаштырылуучу бириктириүүчү кадоолорду жана буроолорду максималдуу аралыктарда жайгаштыруу керек.

12.21 Болот буроолорду колдонуу менен бириктириүүлөр үчүн аларды контакттык коррозиядан коргоо боюнча иш чарапарды кароо зарыл.

12.22 Кадоонун диаметри эң жука элементтин беш калыңдыгынан ашык эмес болушу керек. Кадоонун эсептик диаметри үчүн көзөнөктүн диаметрин кабыл алуу сунушталат.

12.23 Кадоонун formasы жана муздак кадоолоо үчүн анын өлчөмдөрү алюминийден курулуш конструкцияларын жасоого техникалык шарттар менен белгиленет.

12.24 Чатырдын жабуусунун профилденген текталарын кабатташтырып бириктириүүдө (гофрду бойлото) бекитүүнүн элементтерин (буроолор, кадоолор) гофрдун ар бир кырына жайгаштыруу сунуш кылышат.

Калыңдыгы 2 мм ге чейинки мембраналык же алдын ала чыңалган каптоонун бирикмелерин кабатташтырып аткаруу сунушталат, мындастык экиден кем эмес ширетүү чекиттери же кадоолор менен бириктирилиши керек.

12.25 Катуланткычтын профилденген текталарынын кырларынан же диафрагмалардан конструкцияларда конструкцияны күчтөндүрүүчү гофр жана элемент менен тийишкен ар бир чекитте бириктириүү сунуш кылышат.

12.26 Жука алюминий тасмаларын контур менен бириктируүнүн конструкциясы алдын ала жөнгө салынуучу тартылууга ээ болушу зарыл жана алюминий, болот же бетон менен контактка жол бербөө керек.

## 45 – т а б л и ц а

Аралыктын мұнәздемесү	Буроолорду жана кадоолорду жайгаштыруудагы аралыктар
Кадоолор менен буроолордун борборлорунун ортосунда бардык багыттарда: минималдуу	3d кадоолору үчүн; 3,5d
Четки катарларда кьюулантуучу тик бурчуктар болбогондо максималдуу чоюлууда жана кысылууда, максималдуу кьюулантуучу тик бурчуктар бар болгондо: чоюлууда кысылууда	5d же 10t буроолор үчүн 12d же 20t 10d же 14t
Кадоонун борборунан элементтин четине чейин: Күчтүй бойлото жана диагональ боюнча минималдуу Кесилген четтеринде күчкө туурасынан минималдуу Ошол эле прокаттык же пресстелген четтеринде максималдуу	2,5d 2,5d 2d 6d
<i>45 -табл. кабыл алынган белгилөөлөр–кадоо же буроо үчүн көзөнөктуң диаметри;</i>	
<i>t–пакеттин эң жука тышкы элементинин калындығы.</i>	

## А тиркемеси

### Алюминий конструкциялары үчүн материалдар жана алардын физикалык мұнөздөмөлөрү

**1 – т а б л и ц а – Имараттардын жана курулмалардын конструкциялары үчүн алюминийдин маркалары жана абалдары**

Алюминийдин маркасы жана абалы	Алюминиди жөнөтүү үчүн мамлекеттик стандарттар же техникалык шарттар				
	Химиялык курамы боюнча	Механикалык касиеттери боюнча			
		такталар	профилдер	түтүктөр	тасмалар
<b>1 -группа Тосмолоочу конструкциялар –терезе жана эшик толтуруулары, асма шыптар, тосмолор, витраждар</b>					
АД1М	МАСТ 4784	МАСТ21631	–	–	МАСТ 13726
АМцМ	МАСТ 4784	МАСТ21631	–	–	МАСТ 13726
АМг2М	МАСТ 4784	МАСТ21631	–	МАСТ 18475	МАСТ 13726
АМг2Н2	МАСТ 4784	МАСТ 21631	–	–	МАСТ 13726
АД31Т	МАСТ 4784	–	МАСТ 8617; МАСТ 22233	МАСТ 18482	–
АД31Т1	МАСТ 4784	–	МАСТ 8617; МАСТ 22233	–	–
АД31Т4	МАСТ 4784	–	МАСТ 8617; МАСТ 22233	–	–
АД31Т5	МАСТ 4784	–	МАСТ 8617; МАСТ 22233	–	–
<b>II-группа. Тосмолоочу конструкциялар – чатыр жабуучу жана дубал панелдери ж.б.</b>					
АМг2М	МАСТ 4784	МАСТ 21631	–	МАСТ 18475	МАСТ 13726
АМг2Н2	МАСТ 4784	МАСТ 21631	–	–	МАСТ 13726
АД31Т	МАСТ 4784	–	МАСТ 8617; МАСТ 22233	МАСТ 18482	–
АД31Т1	МАСТ 4784	–	МАСТ 8617; МАСТ 22233	–	–

## 1 – табицанын аяғы

Алюминийдин маркасы жана абалы	Алюминийди жөнөтүү үчүн мамлекеттик стандарттар же техникалык шарттар				
	Химиялык курамы боюнча	Механикалык касиеттери боюнча			
		такталар	профилдер	тұтқытөр	тасмалар
АД31Т4  1915  1915Т	МАСТ 4784	–	МАСТ 8617; МАСТ 22233	–	–
	МАСТ 4784	–	МАСТ 8617; МАСТ 22233	МАСТ 18482	–
	МАСТ 4784	–	МАСТ 8617;	МАСТ 18482	–
<i>IV-группа. III группага кире турган кадоолонгон конструкциялар, жсана ошондой эле ширетилген бириктіруүлөрү жсок конструкциялардын элементтери</i>					
АМг2Н2	МАСТ 4784	МАСТ 21631	–	–	МАСТ 13726
АД31Т	МАСТ 4784	–	МАСТ 8617; МАСТ 22233	МАСТ 18482	–
АД31Т1	МАСТ 4784	–	МАСТ 8617; МАСТ 22233	–	–
АД31Т4	МАСТ 4784	–	МАСТ 8617; МАСТ 22233	–	–
1925	МАСТ 4784	–	МАСТ 8617; МАСТ 22233	МАСТ 18482	–
1915	МАСТ 4784	–	МАСТ 8617; МАСТ 22233	МАСТ 18482	–
1915Т	МАСТ 4784	–	МАСТ 8617; МАСТ 22233	МАСТ 18482	–
<b>Э ск е р т үү лөр</b>					
1 I-IV группалардагы конструкциялар үчүн алардын болжолдуу тизмеси келтирилген.					
2 АМцМ маркасындагы алюминийди көбүнчө кара түскө аноддоого жаткан декоративдик багыттагы такталуу конструкциялар үчүн колдонуу сунушталат.					

## 2 – та б л и ц а – Алюминийдин физикалык мұнәздемелөрү

Физикалык мұнәздемесү	Маанилери
Серпилгичтигинин модулу $E$ , МПа ( $\text{кгс}/\text{см}^2$ ), төмөнкү температурада, $^{\circ}\text{C}$ :	
минус 70	$0,735 \cdot 10^5 (0,75 \cdot 10^6)$
минус 40 тан плюс 50 ге чейин	$0,7 \cdot 10^5 (0,71 \cdot 10^6)$
100	$0,64 \cdot 10^5 (0,65 \cdot 10^6)$
Жылышуунун модулу $G$ , МПа ( $\text{кгс}/\text{см}^2$ ), төмөнкү температурада, $^{\circ}\text{C}$ :	
минус 70	$0,274 \cdot 10^5 (0,28 \cdot 10^6)$
минус 40 тан плюс 50 чейин	$0,265 \cdot 10^5 (0,27 \cdot 10^6)$
100	$0,255 \cdot 10^5 (0,26 \cdot 10^6)$
Туурасынан деформациянын	0,3
Коэффициенти (Пуассондун) $v$	
Түз сзықтуу кенәйүүнүн коэффициенти $a$ , $^{\circ}\text{C}-1$ , минус 70 тен плюс 100 $^{\circ}\text{C}$ чейинки температурада	$0,23 \cdot 10^{-4}$
Тыгыздыктын орточо мааниси $p$ , кг/м	2700
Э с к е р т үү – Температуралын орто аралык маанилери үчүн $E$ жана $G$ маанилерин түз сзықтуу интерполяция менен аныктоо сунушталат.	

## 3 – та б л и ц а – Алюминийдин тыгыздыгы

Алюминийдин маркасы	АД1	АМц	АМг	АД31	1935	1925	1915	АЛ8
Тыгыздык, $\text{кг}/\text{м}^3$	2710	2730	2680	2710	2760	2770	2770	2550

4- таблица – Курулуш конструкциялары үчүн колдонулуучу алюминий полуфабрикаттары

Алюминийдин маркасы	Жарымфабрикаттар					
	такталар	тасмалар	плиталар	таякчалар	профилдер	тұтұктөр
АД1	+	+	–	–	–	–
АМц	+	+	–	–	–	–
АМг2	+	+	+	–	–	+
АД31	–	–	–	+	+	+
1935	–	–	–	+	+	–
1925	–	–	–	+	+	+
1915	–	–	–	+	+	+
Э скертуу – «+»белгиси бул жарымфабрикат курулуш конструкциялары үчүн колдонула турғандыгын билдирет; «–» белгиси – бул жарымфабрикат колдонулбайт.						

## Б тиркемеси

### Борбордук-кысылган элементтердин узата ийилүүсүнүн φ коэффициенти

1-таблицада ушул тиркеменин 2-жана 3- таблицаларында алар үчүн φ коэффициентинин маанилери келтирилген кесилиштин схемалары көрсөтүлгөн.

**1 – т а б л и ц а – φ коэффициентин аныктоо үчүн кесилиштердин схемалары**

Кесилиштин тиби	Кесилиштин схемасы	Таблицанын номуру
1		2
2		3

**2 – т а б л и ц а – Борбордук-кысылган элементтердин узата ийилүүсүнүн φ коэффициенти 1-типтеги кесилиштер үчүн**

Элементтердин ийилчээтиги λ	Төмөнкү маркалардагы алюминий элементтери үчүн φ коэффициенттери								
	АД1М	АМцМ	АД31Т; АД31Т4	АМг2М	АД31Т5	АД31Т1; АМг2Н2	1935Т	1925; 1915	1915Т
0	1000	1000	1000	1000	1000	1000	1000	1000	1000
10	1,000	1,000	1,000	1,000	1,000	1,000	1,000	1,000	1,000
20	1,000	1,000	0,995	0,982	0,946	0,936	0,930	0,915	0,910
30	0,985	0,955	0,930	0,915	0,880	0,865	0,852	0,838	0,830
40	0,935	0,900	0,880	0,860	0,818	0,802	0,790	0,770	0,758
50	0,887	0,860	0,835	0,812	0,763	0,740	0,772	0,696	0,676
60	0,858	0,820	0,793	0,766	0,705	0,675	0,650	0,615	0,590
70	0,825	0,782	0,750	0,717	0,644	0,605	0,572	0,530	0,500
80	0,792	0,745	0,706	0,665	0,590	0,542	0,500	0,440	0,385
90	0,760	0,710	0,656	0,608	0,510	0,450	0,403	0,348	0,305
100	0,726	0,665	0,610	0,555	0,432	0,367	0,326	0,282	0,246
100	0,726	0,665	0,610	0,555	0,432	0,367	0,326	0,282	0,246
110	0,693	0,625	0,562	0,506	0,382	0,313	0,270	0,233	0,204
120	0,660	0,530	0,518	0,458	0,330	0,262	0,228	0,196	0,171
130	0,630	0,545	0,475	0,415	0,290	0,227	0,192	0,167	0,146
140	0,595	0,505	0,435	0,362	0,255	0,197	0,168	0,144	0,126
150	0,562	0,470	0,400	0,313	0,212	0,168	0,146	0,125	0,110

3 – т а б л и ц а – Борбордук-кысылган элементтердин узата ийилүүсүнүн ф коэффициенти 2-типтеги кесилиштер үчүн

Элементтер- дин ийил- чээктеги $\lambda$	Төмөнкү маркалардагы алюминий элементтери үчүн ф коэффициенттери								
	АД1М	АМцМ	АД31Т АД31Т4	АМг2М	АД31Т5	АД31Т1; АМг2Н2	1935Т	1925; 1915	1915Т
0	1,000	1,000	1,000	1,000	1,000	1,000	1,000	1,000	1,000
10	1,000	1,000	1,000	1,000	0,990	0,983	0,980	0,967	0,960
20	0,975	0,950	0,940	0,920	0,885	0,880	0,880	0,867	0,860
30	0,922	0,895	0,878	0,862	0,820	0,808	0,802	0,790	0,775
40	0,877	0,842	0,822	0,807	0,760	0,742	0,730	0,715	0,695
50	0,832	0,796	0,773	0,750	0,700	0,678	0,662	0,638	0,613
60	0,795	0,752	0,725	0,698	0,635	0,607	0,590	0,560	0,530
70	0,757	0,713	0,680	0,647	0,574	0,538	0,516	0,482	0,450
80	0,720	0,670	0,635	0,597	0,520	0,480	0,450	0,413	0,380
90	0,690	0,632	0,588	0,545	0,466	0,422	0,392	0,348	0,305
100	0,657	0,593	0,543	0,498	0,410	0,360	0,328	0,282	0,246
110	0,625	0,553	0,500	0,450	0,362	0,310	0,272	0,233	0,204
120	0,590	0,515	0,460	0,408	0,316	0,263	0,230	0,196	0,171
130	0,560	0,480	0,420	0,370	0,280	0,228	0,195	0,1677	0,146
140	0,527	0,445	0,385	0,333	0,237	0,194	0,170	0,144	0,126
150	0,497	0,412	0,352	0,300	0,205	0,166	0,146	0,125	0,110

## В тиркемеси

### Үстүндардын жалпы туруктуулугун текшерүү үчүн φ<sub>b</sub> коэффициентин аныктоо

1 Симметриясы эки окутуу экитаврдуу кесилиштеги устүндар үчүн φ<sub>b</sub> коэффициентин аныктоо үчүн

$$\varphi_1 = 1,41 \psi \frac{I_y}{I_x} \left( \frac{h}{l_{ef}} \right)^2 \frac{E}{R}, \quad (1)$$

формуласы боюнча φ<sub>1</sub> коэффициентин эсептеп табуу керек, бул жерде ψ – ушул тиркеменин 1-жана 2 -таблицасы боюнча α жүктөмүнүн жана параметринин мұнөзүнө жараша аныкталуучу коэффициент.

Пресстелген экитаврлар үчүн α параметрин

$$\alpha = 1,54 \frac{I_t}{I_y} \left( \frac{l_{ef}}{h} \right)^2, \quad (2)$$

формуласы боюнча эсептеп чыгуу сунушталат. Бул жерде  $L_t = 0,42 \sum b_i t_i^3$  – толгонуудагы инерциянын моменти (мында  $b_i$  жана  $t_i$  –тиешелүү түрдө кесилишти түзүүчү тик бурчтуктардын жазылыгы жана калыңдығы);

$l_{ef}$  – 4.13 п.ылайык аныктала турган устүндүн эсептик узундугу.

Тегерек кесилиштеги жооноюулардын (бульбалардын) болушунда

$$I_t = 0,42 \sum b_i t_i^3 + n \frac{\pi D^4}{32},$$

мында  $D$  – бульбалардын диаметри

$n$  – кесилиштеги бульбалардын саны.

Ширетилген жана кадоолонгон экитаврдуу устүндар үчүн отбортовкалары, четтериндеги жооноюулары жана бурдарындагы олуттуу жооноюулары болбогондо α параметрин төмөнкү формула боюнча аныктоо сунушталат:

$$\alpha = 8 \left( \frac{l_{t1}}{b_f h} \right)^2 + 1 + \left( \frac{at^3}{b_f t_1^3} \right), \quad (3)$$

бул жерде

ширетилген жана пресстелген эки таврдуу устүндар үчүн

тиешелүү түрдө  $t_1, b_f$  –устүндүн курчоосунун жоондугу жана жазылыгы;

$a = 0,5h$ ;

кадоолонгон экитаврдуу устүндар үчүн

$t_1$  – курчоонун такталарынын калыңдыгынын жана курчоонун угологунун горизонталдуу текчесинин суммасы;

$b_f$  – курчоонун такталарынын жазыллыгы;

$h$  – курчоонун такталарынын пакетинин ортосундагы аралык;

$a$  – горизонталдык такталардын пакетинин калыңдыгы менен курчоонун угологунун вертикалдуу тактасынын бийиктигинин суммасы;

$f$  – капиталдарынын жана вертикалдуу курчоо тик бурчуктарынын калыңдыгынын суммасы.

1 – т а б л и ц а – Симметриянын эки огу менен эки таврдуу кесилиштеги устундар учун  $\Psi$  коэффициенттери

$\alpha$ коэффициенти	$\Psi$ коэффициенттери					
	Пролетте бекитилбegen устундар үчүн					
	Курчоого коюлган топтолгон жүктөмдө		Курчоого коюлган бирдей бөлүштүрүлгөн жүктөмдө		Жүктөмдү коюу ордуна карабастан, пролетту эки бирдей бөлүккө бөлө турган экиден кем эмес орто аралык бекитүүлөрдүн болуусунда	
1	2	3	4	5	6	
0,1	0,98	2,80	0,91	2,14	1,20	
0,4	0,98	2,84	0,91	2,14	1,23	
1,0	1,05	2,87	0,95	2,17	1,26	
4,0	1,26	3,05	1,12	2,35	1,44	
8,0	1,47	3,29	1,30	2,56	1,65	
16,0	1,89	3,75	1,68	2,94	1,96	
24,0	2,24	4,10	2,00	3,22	2,24	
32,0	2,56	4,45	2,28	3,50	2,49	
48,0	3,15	4,97	2,73	3,99	2,91	
64,0	3,64	5,50	3,15	4,45	3,33	
80,0	4,10	5,95	3,50	4,80	3,64	

## 1-таблицанын аяғы

$\alpha$ коэффициенти	$\psi$ коэффициенттери					Жүктөмдү коюу ордуна карабастан, пролетту эки бирдей бөлүккө бөлө турган экиден кем эмес ортосунда аралык бекитүүлөрдүн булуусунда	
	Пролетте бекитилбеген устундар үчүн						
	Курчоого коюлган топтолгон жүктөмдө		Курчоого коюлган бирдей бөлүштүрүлгөн жүктөмдө				
	жогоркуга	төмөнкүгө	жогоркуга	төмөнкүгө			
1	2	3	4	5	6		
96,0	4,48	6,30	3,89	5,15	3,96		
128,0	5,25	7,04	4,48	5,78	4,50		
160,0	5,92	7,77	5,04	6,30	5,01		
240,0	7,35	9,17	6,30	7,56	6,09		
320,0	8,54	10,40	7,32	8,40	7,00		
400,0	9,63	11,48	8,16	9,38	7,77		
<b>Э с к е р т ү ў:</b> Устунду пролеттун ортосунда бир бекитүүдө төмөнкү учурларды эске алуу зарыл: Пролеттун ортосундагы топтолгон күчтө (коюунун деңгээлине карабастан) $\psi = 1,75\psi_1$ ; Пролеттун төрттөн бир бөлүгүндө топтолгон күчтө же жогорку курчоого коюлган бир калыпта бөлүштүрүлгөн жүктөмдө, $\psi = 1,14\psi_1$ ; Төмөнкү курчоого коюлган пролеттун төрттөн бир бөлүгүндөгү топтолгон күчтө, $\psi = 1,6\psi_1$ ; Төмөнкү курчоосу боюнча бир калыпта бөлүштүрүлгөн жүктөмдө $\psi = 1,3\psi_1$ ; Бул жерде $\psi_1$ маанисин 6 – гр. боюнча кабыл алуу сунушталат (экиден кем эмес орто аралык бекитүүлөр бар болсо							

2 – т а б л и ц а – Симметриясынын эки огу бар эки таврдуу кесилиштеги консолдор үчүнψ коэффициенттери

<i>a</i> коэффициенти	Курчоого коюлган ψ жуктөмдөгү коэффициенттери	
	жогоркуга	төмөнкүгө
4	0,875	3,640
6	1,120	3,745
8	1,295	3,850
10	1,505	3,920
12	1,680	4,025
14	1,855	4,130
16	2,030	4,200
24	2,520	4,550
32	2,975	4,830
40	3,290	5,040
100	5,040	6,720

(24) норм формулада  $\varphi_b$  коэффициентинин маанисин төмөнкүдөй кабыл алуу зарыл:

$$\varphi_1 \leq 0,667 \quad \varphi = \varphi_1; \text{ де}$$

Ушул эрежелердин 1-табл. көрсөтүлгөн бардык маркалардагы алюминий үчүн

$\Phi_1 > 0,667 \varphi_b = 0,5 + 0,25\varphi_1$  де АМг2Н2, АД31Т1 жана АД31Т5, жана  $\varphi_b = \varphi_1$ , бирок андан көп эмес 1,0 – АМг2Н2, АД31Т1 жана АД31Т5 маркаларындагы алюминий үчүн.

2 Эки таврдуу кесилиштеги симметриясынын бир огу менен устундарга (өнүккөн жогорку курчоосу бар, чиймени кара)  $\varphi_b$  коэффициентин аныктоо үчүн

$$\varphi_1 = 1,41 \psi \frac{I_y}{I_x} \frac{2Gh h_1}{l_{ef}^2} \frac{E}{R}; \quad (4)$$

$$\varphi_2 = 1,41 \psi \frac{I_y}{I_x} \frac{2Gh h_2}{l_{ef}^2} \frac{E}{R}; \quad (5)$$

$$\psi = 2,6 \left[ \sqrt{(0,5y_p + \beta_y)^2 + c^2} + (0,5y_p + \beta_y) \right]. \quad (6)$$

формулалары боюнча  $\varphi_1$  жана  $\varphi_2$  коэффициенттерин эсептеп чыгуу керек.

(4)-(6) формулаларда:

$\zeta$  – жүктөмдүн түрүнө көз каранды болгон жана ушул тиркеменин 3-табл. боюнча кабыл алынган коэффициент;

$h_1, h_2$  – өлчөмдөрү (чиймени кара);

$\bar{y}_p = \frac{y_p}{h}$  – өз белгиси менен жүктөмдүн коюу чекитине жараша координатасы (чиймени кара);

$$\beta_y = \left[ 0,43 - 0,065 \left( \frac{b_1}{h} \right)^2 \right] (2n - 1);$$

бул жерде

$$n = \frac{I_1}{I_1 + I_2}$$

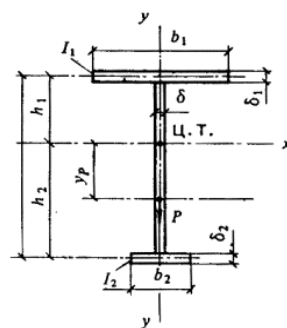
( $I_1, I_2$  – кесилиштин симметриясынын огуна карата тиешелүү түрдө кысылган жана чоюлган курчоолордун инерциясынын моменттери);

$$c^2 = \frac{1}{I_y} \left( \frac{I_1 I_2}{I_y} + 0,04 I_t \frac{l^2}{h^2} \right);$$

$I_t$  – толгонуудагы инерциянын моменти [ушул тиркеменин (2) формуласына белгилөөлөрдүү кара].

3-таблица – Ушул тиркеменин (4) формуласына  $\zeta$  коэффициенти

Жүктөмдүн түрү	Таза ийилүү	Бир калыпта бөлүштүрүлгөн жүктөм	Пролеттун ортосундагы топтолгон күч	Устундун бир учундагы момент
Коэффициент $\xi$	1,00	1,12	1,35	1,75



Өнүккөн жогорку курчоолуу устундун туурасынан кесилиши

(24) норм формуласында  $\varphi_b$  коэффициентинин маанисин төмөнкүдөй кабыл алуу зарыл:

$$\varphi_2 \leq 0,667 \quad \varphi_b = \varphi_1 \text{ де};$$

$$\varphi_2 > 0,667 \quad \varphi_b = \varphi_1 \left[ 0,5 + 0,25 \left( \frac{n}{\varphi_1} + \frac{1-n}{\varphi_2} \right) \right] \text{ де булар үчүн } \varphi_2 \text{ ушул тиркеменин (5)}$$

формуласы боюнча эсептeliп чыга турган жана 1,0 ашык эмес кабыл алына турган АМг2Н2, АД31Т1 жана АД31Т5, маркаларын кошпогондо ушул эрежелердин 1-таблицасында көрсөтүлгөн бардык маркалардагы алюминий үчүн.

3 Швельдердик кесилиштеги устундардын түрүктуулугун эки таврдуу устундарды текшергендей эле текшерүү керек, бул учурда  $a$  ушул тиркеменин (2) формуласы боюнча эсептелет; табылган маанилери 0,7 коэффициентке көбөйтүлөт.

Ушул тиркемедеги (1) жана (2) формулалардын  $I_x, I_y$  жана  $I_t$  маанилерин швельлер үчүн кабыл алуу сунушталат.

## Г тиркемеси

### Борбордон тышкары кысылган жана кысылып-ийилүүчү элементтерди эсептөө

1 – т а б л и ц а – Симметриянын тегиздигине дал келүүчү моменттин аракетинин тегиздигиндеги борбордон тышкары кысылган (кысылып-ийилүүчү) туташ капиталдуу өзөктөрдүн туруктуулугун текшерүү үчүн  $\phi_e$  коэффициенттери

$\lambda$ шарттуу ийил- чээктүү	Төмөнкүлөргө барабар болгон келтирилген салыштырмалуу $t_{ef}$ , эксцентриситетиндеги $\phi_e$ коэффициенттери																				
	0,1	0,2	0,3	0,4	0,5	0,6	0,7	0,8	1,0	1,2	1,5	2,0	2,5	3,0	4,0	5,0	6,0	7,0	8,0	9,0	10,0
0,5	990	980	973	937	905	880	850	920	767	725	657	567	500	445	360	302	257	225	203	182	165
1,0	947	907	872	837	807	778	752	725	680	637	583	505	445	394	323	272	235	205	186	167	151
1,5	880	832	793	758	726	700	670	647	607	570	518	452	398	355	292	247	215	188	171	153	140
2,0	817	765	723	787	656	627	602	580	540	507	463	405	358	320	265	227	197	175	158	142	130
2,5	750	695	652	617	587	560	536	515	482	452	413	362	322	290	242	208	182	162	146	132	121
3,0	677	618	578	545	517	495	472	455	425	400	367	323	290	262	220	192	167	150	135	123	114
3,5	593	542	505	475	453	434	415	398	374	355	325	288	260	236	202	175	155	140	126	116	108
4,0	505	436	435	412	393	378	362	350	327	312	288	257	233	214	184	159	144	130	117	109	101
4,5	425	395	374	356	342	328	315	306	288	275	255	230	210	193	167	146	132	121	110	102	95

## 1-таблицанын аягы

$\lambda$ шарттуу ийил- чээктиги	Төмөнкүлөргө барабар болгон келтирилген салыштырмалуу $t_{ef}$ , эксцентриситетиндеги $\phi_e$ коэффициенттери																				
	0,1	0,2	0,3	0,4	0,5	0,6	0,7	0,8	1,0	1,2	1,5	2,0	2,5	3,0	4,0	5,0	6,0	7,0	8,0	9,0	10,0
5,0	358	338	320	307	295	285	275	268	253	242	227	205	190	175	152	135	123	113	103	096	090
5,5	303	287	276	265	257	248	242	235	225	215	202	185	172	160	140	125	145	105	097	090	085
6,0	257	246	238	230	223	218	213	208	198	192	180	166	155	145	128	115	106	097	090	085	080
6,5	222	212	207	202	197	191	187	183	175	170	161	148	141	132	117	107	097	090	085	080	075
7,0	192	187	181	177	172	168	165	161	155	150	145	135	128	120	108	098	090	085	080	075	070
8,0	148	145	142	139	137	134	132	129	126	123	120	112	107	100	091	085	080	077	072	067	062
9,0	120	117	115	113	111	110	108	107	105	102	100	094	090	086	080	076	072	067	063	059	055
10,0	097	095	093	092	091	090	088	087	085	084	082	080	077	075	070	067	062	060	056	052	048

Эс кер түүлөр

1 Таблицадагы  $\phi_e$  коэффициенттеринин маанилери 1000 эсэ чонойтулган.2  $\phi_e$  маанилериин  $\phi$  маанилериинен жогору эмес кабыл алууларды сунуш кылынат.

2 – т а б л и ц а – Симметриянын тегиздигине дал келүүчү моменттин аракетиндеги тегиздиктеги борбордон тышкary  
кысылган (кысылып -ийилүүчү) өтмө өзөктөрдүн туруктуулугун текшерүү үчүн  $\phi_e$  коэффициенты

Шарттуу ийилчээктүк $\lambda_{ef}$	Төмөнкүлөргө барабар болгон келтирилген салыштырмалуу $t_{ef}$ , эксцентриситетиндеги $\phi_e$ коэффициенттери																				
	0,1	0,2	0,3	0,4	0,5	0,6	0,7	0,8	1,0	1,2	1,5	2,0	2,5	3,0	4,0	5,0	6,0	7,0	8,0	9,0	10,0
0,5	950	888	825	755	718	660	635	605	540	495	436	370	320	282	232	196	170	157	143	122	110
1,0	882	810	756	693	660	609	582	548	496	453	405	342	296	262	213	182	155	145	130	113	096
1,5	872	753	694	643	607	568	534	507	458	420	375	318	275	243	198	170	144	134	130	105	090
2,0	773	700	640	593	558	523	492	468	423	390	347	294	257	227	185	159	135	125	112	100	084
2,5	712	637	585	543	508	477	450	427	390	358	320	273	240	213	173	150	127	117	105	095	079
3,0	640	575	530	488	458	430	408	387	355	327	294	253	222	197	197	142	121	111	100	092	075
3,5	565	507	467	432	410	385	365	350	321	297	270	232	206	185	155	133	115	106	095	087	072
4,0	490	442	410	382	363	343	327	313	290	269	247	213	190	172	145	125	110	100	090	083	070
4,5	418	382	357	335	320	304	290	280	260	243	223	195	177	160	135	117	105	094	086	080	067
5,0	353	328	309	293	280	268	257	249	233	219	202	178	162	148	127	110	098	089	082	076	064
5,5	300	282	267	255	245	237	228	222	208	197	183	163	150	137	120	105	094	084	077	072	062
6,0	256	242	233	223	216	210	202	197	187	178	166	150	138	128	112	098	090	080	073	068	060
6,5	220	210	205	197	190	185	182	175	167	160	150	136	127	118	103	094	085	076	070	065	058
7,0	192	186	180	173	169	165	162	157	150	145	136	125	117	108	096	090	081	072	067	062	056
8,0	150	145	142	139	135	133	130	127	122	120	112	105	100	092	086	082	072	065	060	056	052
9,0	120	117	115	112	110	108	107	105	101	098	095	090	087	081	077	072	065	058	055	050	048
10,0	097	096	095	093	092	091	090	087	085	083	082	080	076	071	068	064	057	052	048	044	044

Э ск ер түүлөр:

1 Таблицадагы  $\phi_e$  коэффициенттеринин маанилери 1000 эссе чоңойтулган.

2  $\phi_e$  маанилериин  $\phi$  маанилериинен жогору эмес кабыл алууларды сунуш кылышат.

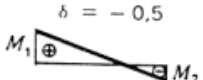
3 – т а б л и ц а –  $\eta$  кесилишинин формасынын таасириинин коэффициенттери

Кесилишин тиби	Кесилишин схемасы	$\frac{A_f}{A_w}$ катышы	Төмөнкүдө $\eta$ коэффициенттери			
			$0 \leq \bar{\lambda} \leq 5$		$\bar{\lambda} > 5$	
			$0,1 \leq m \leq 5$	$5 < m \leq 20$	$0,1 \leq m \leq 5$	$5 < m \leq 20$
1		–	1,0	1,0	1,0	1,0
2		–	0,85	0,85	0,85	0,85
3		–	$0,75 + 0,02\bar{\lambda}$	$0,75 + 0,02$	0,85	0,85
4		–	$(1,35 - 0,05m) - 0,01(5-m)\bar{\lambda}$	1,1	1,1	1,1
5		0,25 0,5 1,0	$(1,45 - 0,05m) - 0,01(5-m)\bar{\lambda}$ $(1,75 - 0,1m) - 0,02(5-m)\bar{\lambda}$ $(1,90 - 0,1m) - 0,02(6-m)\bar{\lambda}$	1,2 1,25 1,4–0,02	1,2 1,25 1,3	1,2 1,25 1,3
6		–	$\eta_s \left[ 1 - 0,3(5-m) \frac{a_1}{h} \right]$	$\eta_s$	$\eta_s$	$\eta_s$
7		–	$\eta_s \left[ 1 - 0,8 \frac{a_1}{h} \right]$	$\eta_s \left[ 1 - 0,8 \frac{a_1}{h} \right]$	$\eta_s \left[ 1 - 0,8 \frac{a_1}{h} \right]$	$\eta_s \left[ 1 - 0,8 \frac{a_1}{h} \right]$
8		0,25 0,5 1,0	$(1,75 + 0,05m) + 0,01(5-m)\bar{\lambda}$ $(0,5 + 0,1m) + 0,02(5-m)\bar{\lambda}$ $(1,25 + 0,15m) + 0,03(5-m)\bar{\lambda}$	1,0 1,0 1,0	1,0 1,0 1,0	1,0 1,0 1,0

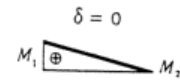
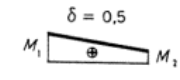
## 3-таблицанын уландысы

Кесилиштин тиби	Кесилиштин схемасы	$\frac{A_f}{A_w}$ катышы	Төмөнкүдө $\eta$ коэффициенттери			
			$0 \leq \bar{\lambda} \leq 5$		$\bar{\lambda} > 5$	
			$0,1 \leq m \leq 5$	$5 < m \leq 20$	$0,1 \leq m \leq 5$	$5 < m \leq 20$
9		0,5	$(1,25 - 0,05m) - 0,01(5-m)\bar{\lambda}$	1,0	1,0	
		1,0	$(1,5 - 0,1m) - 0,02(5-m)\bar{\lambda}$	1,0	1,0	
10		0,5	1,4	1,4	1,4	1,4
		1,0	$1,6 - 0,01(5-m)\bar{\lambda}$	1,6	$1,35 + 0,05m$	1,6
		2,0	$1,8 - 0,02(5-m)\bar{\lambda}$	1,8	$1,3 + 0,1m$	1,8
11		0,5	$1,45 + 0,04m$	1,65	$1,45 + 0,04m$	1,65
		1,0	$1,8 + 0,12m$	2,4	$1,8 + 0,12m$	2,4
		1,5	$2,0 + 0,25m + 0,1\bar{\lambda}$	—	—	—
		2,0	$3,0 + 0,25m + 0,1\bar{\lambda}$	—	—	—
<b>Э ск е р т Y Y</b> 15 – 7 тибиндеги кесилиштер үчүн $\frac{A_f}{A_w}$ катышын эсептөөдө текчелердин вертикалдуу элементтеринин аятын эске алуу сунуш кылыштайт 26 -жана 7- типтердеги кесилиштер үчүн $\eta_s$ маанилерин 6 жана 7 типтердеги кесилиштер үчүн $\frac{A_f}{A_w}$ катыштарында 5 тибиндеги кесилиштер үчүн $\eta$ маанилерине барабар катары кабыл алуу сунушталат.						

4 – т а б л и ц а – Шарнирдүү-таянган учтары менен өзөктөр үчүн келтирилген салыштырмалуу  $m_{ef}$  эксцентриситеттери

$\delta = \frac{M_2}{M_1}$ катышы	$\bar{\lambda}$	$m_{ef1} = \eta \frac{M_1}{N} \frac{A}{W_c}$ деги келтирилген салыштырмалуу $m_{ef}$ эксцентриситеттери										
		0,1	0,5	1,0	1,5	2,0	3,0	4,0	5,0	7,0	20,0	
	1	0,10	0,30	0,68	1,12	1,60	2,62	3,55	4,55	6,50	9,40	19,40
	2	0,10	0,17	0,39	0,68	1,03	1,80	2,75	3,72	5,65	8,60	18,50
	3	0,10	0,10	0,22	0,36	0,55	1,17	1,95	2,77	4,60	7,40	17,20
	4	0,10	0,10	0,10	0,18	0,30	0,57	1,03	1,78	3,35	5,90	15,40
	5	0,10	0,10	0,10	0,10	0,15	0,23	0,48	0,95	2,18	4,40	13,40
	6	0,10	0,10	0,10	0,10	0,10	0,15	0,18	0,40	1,25	3,00	11,40
	7	0,10	0,10	0,10	0,10	0,10	0,10	0,10	0,10	0,50	1,70	9,50
	1	0,10	0,31	0,68	1,12	1,60	2,62	3,55	4,55	6,50	9,40	19,40
	2	0,10	0,22	0,46	0,73	1,05	1,88	2,75	3,72	5,65	8,60	18,50
	3	0,10	0,17	0,38	0,58	0,80	1,33	2,00	2,77	4,60	7,40	17,20
	4	0,10	0,14	0,32	0,49	0,66	1,05	1,52	2,22	3,50	5,90	15,40
	5	0,10	0,10	0,26	0,41	0,57	0,95	1,38	1,80	2,95	4,70	13,40
	6	0,10	0,16	0,28	0,40	0,52	0,95	1,25	1,60	2,50	4,00	11,50
	7	0,10	0,22	0,32	0,42	0,55	0,95	1,10	1,35	2,20	3,50	10,80

## 4- таблицанын аяғы

$\delta = \frac{M_2}{M_1}$ катьышы	$\bar{\lambda}$	$m_{ef1} = \eta \frac{M_1}{N} \frac{A}{W_c}$ деги келтирилген салыштырмалуу $m_{ef}$ эксцентриситеттери										
		0,1	0,5	1,0	1,5	2,0	3,0	4,0	5,0	7,0	20,0	
 $\delta = 0$	1	0,10	0,32	0,70	1,12	1,60	2,62	3,55	4,65	6,50	9,40	19,40
	2	0,10	0,28	0,60	0,90	1,28	1,96	2,75	3,72	5,65	8,40	18,50
	3	0,10	0,27	0,55	0,84	1,15	1,75	2,43	3,17	4,80	7,40	17,20
	4	0,10	0,26	0,52	0,78	1,10	1,60	2,20	2,83	4,00	6,30	15,40
	5	0,10	0,25	0,52	0,78	1,10	1,55	2,10	2,78	3,85	5,90	14,50
	6	0,10	0,28	0,52	0,78	1,10	1,55	2,00	2,70	3,80	5,60	13,80
	7	0,10	0,32	0,52	0,78	1,10	1,55	1,90	2,60	3,75	5,50	13,00
 $\delta = 0,5$	1	0,10	0,40	0,80	1,23	1,68	2,62	3,55	4,55	6,50	9,40	19,40
	2	0,10	0,40	0,78	1,20	1,60	2,30	3,15	4,10	5,85	8,60	18,50
	3	0,10	0,40	0,77	1,17	1,55	2,30	3,10	3,90	5,55	8,13	18,00
	4	0,10	0,40	0,75	1,13	1,55	2,30	3,05	3,80	5,30	7,60	17,50
	5	0,10	0,40	0,75	1,10	1,55	2,30	3,00	3,80	5,30	7,60	17,00
	6	0,10	0,40	0,75	1,10	1,50	2,30	3,00	3,80	5,30	7,60	16,50
	7	0,10	0,40	0,75	1,10	1,40	2,30	3,00	3,20	5,30	7,60	16,00

## Д тиркемеси

### **Жогорку курчоодогу жергиликтүү жүктөмдө устундардын капиталдарынын туруктуулукка эсептөө**

1 Кырлар менен күчтөндүрүлбөгөн устундун жогорку курчоосундагы жерлердеги топтолгон жүктөм учурунда  $\sigma_{loc}$  жүгү менен капиталдагы жергиликтүү чыналууну

$$\sigma_{loc} = \frac{F}{tl_{ef}} < R\gamma_c , \quad (1)$$

формуласы менен аныктоо сунуш кылышат, бул жерде  $F$  – топтолгон жүктөмдүн (күчтүн) эсептик мааниси;

$t$  – капиталдын калыңдыгы;

$l_{ef} = c_3^3 \sqrt{\frac{L_f}{t}}$  – топтолгон жүктөмдүн бөлүштүрүлүшүнүн шарттуу узундугу;

$c$  – ширетилген устундар үчүн 3,25 ке жана кадоолонгон жана жогорку бекемдиктеги буроолор үчүн 3,75 ке барабар катары кабыл алышуучу коэффициент;

$I_f$  – устундун курчоосунун огуна карата инерциясынын моменти.

2 Жергиликтүү жүктөм чоюлган курчоого коюлган бөлүмдөрдө, бирмезгилде эки гана компонент –би т же  $\sigma_{loc}$  жанат эске алышат.

3 Катуулантуюнун негизги туурасынан кырлары менен гана бекемделген симметриялык кесилиштеги устундардын капиталдарынын туруктуулугун эсептөө жергиликтүү ( $\sigma_{loc} \neq 0$ ) чыналуусунун болушунда төмөнкүдөй аткаруу сунуш кылышат: а)  $\frac{a}{h_{ef}} \leq 0,8$  – болгондо

$$\sqrt{\left(\frac{\sigma}{\sigma_{cr}} + \frac{\sigma_{loc}}{\sigma_{loc,cr}}\right)^2 + \left(\frac{\tau}{\tau_{cr}}\right)^2} \leq 0,9v , \quad (2)$$

формуласы менен, бул жерде  $\sigma$ ,  $\sigma_{loc}$ ,  $\tau$  – 6.2. п. көрсөтмөлөрүнө ылайык аныктала турган маанилер;

$\sigma_{cr}$ ,  $\tau_{cr}$  – (46) жана (47) формулалары менен аныктала турган маанилер;

$\sigma_{loc,cr}$  –

$$\sigma_{loc,cr} = c_1 \frac{R}{\lambda_a^2} \quad (3)$$

формуласы менен аныктала турган капиталдын жүктөм алдында майтарылуусунун опуртал чыналуусу

(бул жерде  $c_1$  – ушул тиркеменин 1-табл. боюнча кабыл алышуучу коэффициент;

$$\lambda_a = \frac{a}{t} \sqrt{\frac{R}{E}};$$

9–6.5 п. көрсөтмөлөрүнө ылайык аныктала турган маанилер;

б) ушул тиркеменин (2) формуласы боюнча  $\frac{a}{h} > 0,8$ –болгондо эки жолу:  $\sigma_{cr}$

бириңчи жолку текшерүүдө

$$\sigma_{cr} = c_2 \frac{R}{\lambda_w^2}, \quad (4)$$

формуласы менен аныктоо сунушталат, бул жерде  $c_2$  – ушул тиркеменин 2-таблицасы боюнча кабыл алынуучу коэффициент;

екинчи жолку текшерүүдө  $\sigma_{cr}$  (46) формула боюнча аныктоо сунуш кылышат, ал

эми  $\sigma_{loc,cr}$  – ушул тиркеменин (3) формуласы боюнча, бирок (3) формулага жана 1-табл.  $a$  нын ордуна  $\frac{a}{2}$  чондуктарын коюу менен аныктоо сунуш кылышат

4 Бөлүмдүн кысылган четинен  $h_1$  аралыкта жайгашкан катуулантуунун узата кыры менен бекемделгенкапталда кыр бөлүмдү бөлүп турган эки пластинканы өз-өзүнчө текшерүү сунушталат:

кысылган курчоо менен кырдын ортосундагы бириңчи пластинканы

$$\frac{\sigma}{\sigma_{cr1}} + \frac{\sigma_{loc}}{\sigma_{loc,cr1}} + \left( \frac{\tau}{\tau_{cr1}} \right)^2 \leq 0,99, \quad (5)$$

формуласы менен, бул жерде

$$\sigma_{cr1} = \frac{1,19}{1 - \frac{h_1}{h_{ef}}} \frac{(1 + \mu_1^2)^2}{\mu_1^2} \frac{R}{\lambda_h^2}, \quad (6)$$

$$\sigma_{loc,cr1} = 1,72 \frac{(1 + \mu_1^2)^2}{\mu_1^2} \frac{R}{\lambda_h^2}, \quad (7)$$

мында  $\lambda_{h1} = \frac{h_1}{t} \sqrt{\frac{R}{E}}$ ;

$\mu_1 = \frac{a}{h_1} \leq 2$  де  $\frac{a}{h_1}$  барабар болгон параметр;

$$2 \frac{a}{h_1} > 2 \text{ де};$$

$\tau_{cr1}$  – (47) формула менен аныкталуучу маанилер;

6.5 п. көрсөтмөлөрүнө ылайык аныктала турган 9–маанилер;

Чоюлган курчоо менен кырдын ортосунда жайгашкан экинчи пластинканы төмөнкү формула боюнча

$$\sqrt{\left(\frac{\sigma(1 - \frac{2h_1}{h_{ef}})}{\sigma_{cr2}} - \frac{\sigma_{loc2}}{\sigma_{loc,cr2}}\right)^2 + \left(\frac{\tau}{\tau_{cr2}}\right)^2} \leq 1$$

Бул жерде  $\sigma_{cr2}$ ,  $\tau_{cr2}$  – тиешелүү түрдө (53) жана (47) формулалары боюнча аныктала турган маанилер;

$$\sigma_{loc2} = 0,4\sigma_{loc}$$

$\sigma_{loc,cr2}$  – (3) формула жана ушул тиркеменин 1-табл.  $\frac{a}{h_{ef}}$  ордуна  $\frac{a}{h_{ef} - h_1}$  кабыл

алуу менен аныктала турган маанилер.

Эгерде биринчи пластинка кошумча түрдө кыска туура кырлар менен бекемделген болсо, аларды узата кырга чейин жеткирүү сунушталат. Бул учурда биринчи пластинканы текшерүү үчүн ушул тиркемедеги  $a$  ны  $a_1$  чондугу менен алмаштырган (5) жана (7) формулаларын (бул жерде  $a_1$  – кошуна кыска кырлардын окторунун ортосундагы аралык).

Бул учурда экинчи пластинканы текшерүү өзгөрүүсүз калтырылат.

### 1 – т а б л и ц а – $c_1$ коэффициенти

$\frac{a}{h_{ef}}$ катышы	0,5	0,8	1,0	1,2	1,4	1,6	1,8	2,0
$c_1$ коэффициенти	11,28	14,52	17,77	21,86	26,80	32,30	38,35	45,00
<i>1-табл. кабыл алынган белгилөөлөрдү 6.2 п. кара</i>								

### 2 – т а б л и ц а – $c_2$ коэффициенти

$\frac{a}{h_{ef}}$ катышы	1,0	1,2	1,4	1,6	1,8	2,0	2,2	2,4	2,6
$c_2$ коэффициенти	33,70	38,77	45,26	53,16	62,18	72,20	83,75	96,16	109,56
<i>2-табл. кабыл алынган белгилөөлөрдү 6.2 п. кара</i>									

## Е тиркемеси

### Трапеция түрүндөгү гофрлуутакталардын жантык кырларынын туруктуулугун эсептөө

Трапеция түрүндөгү гофрлуу такталардын жантык кырларын (13-сүр.кара) прогондорго же ригелдерге таянган жерлеринде Д тиркемесинин (2) формуласы боюнча  $\gamma_c = 0,9$  коэффициентин  $\gamma_c = 0,7$  ге алмаштыруу менен жергиликтүү туруктуулукка текшерүү сунуш кылышат. Мында тчыңалуусун жана  $\sigma_{loc,cr}$ ,  $\tau_{cr}$ ,  $\sigma_{cr}$  опуртал чыңалууларынын маанилерин формуулалары менен аныктоо сунушталат

$$\tau = \frac{Q}{2bt}; \quad (1)$$

$$\sigma_{loc,cr} = \frac{7,25R}{\lambda_b^2}; \quad (2)$$

$$\tau_{cr} = \frac{8,25R_s}{\lambda_b^2}; \quad (3)$$

$$\sigma_{cr} = \frac{3,6R}{\lambda_b^2} \left[ 1 + 1,41 \left( 1 - \frac{\sigma_1 - \sigma_2}{\sigma_1} \right)^2 \right]; \quad (4)$$

$$\bar{\lambda}_b = \frac{b}{t} \sqrt{\frac{R}{E}}, \quad (5)$$

бул жерде  $\sigma_1$ ,  $\sigma_2$ —тиешелүү түрдө өз белгилери менен алынган тактанын жантык кырларынын жогорку жана төмөнкү чектеринин нормалдуу чыңалуулары;

$b$ —13 -сүр. боюнча қабыл алынуучу жантык кырдын өлчөмү;

$Q$ —тактанын толкунунун текшерилип жаткан кесилишиндеги туурасынан кеткен күч.

Жантык кырларынан башка профилденген тактанын горизонталдуу кысылган кырларын туруктуулукка текшерүү керек, мында  $\sigma_{loc}$  жергиликтүү чыңалууларын формуласы боюнча, кесилиштин начарлоосун эске алуу менен аныктоо сунушталат

$$\sigma_{loc} = \frac{F}{2t(b_f + 2r) \sin \alpha}, \quad (6)$$

бул жерде  $F$ —тактанын бир толкунуна келүүчү таяныч реакциясы;

$b_f$ —прогондун же ригелдин текчесинин жазылыгы;

$r$ —тактанын жантык жана горизонталдуу кырларынын биргишкен радиусу;

$\alpha$ —кырдын жантаюусунун бурчу (13-сүр. кара).

**Ж тиркемеси****Ширетүү чекиттеринин кесилишине эсептик көтөрүүчү жөндөмдүүлүк**

Элементтердин калыңдыгы, мм	Чекиттин кесилишке эсептик көтөрүүчү жөндөмдүүлүгү, Н (кгс)	Элементтердин калыңдыгы, мм	Чекиттин кесилишке эсептик көтөрүүчү жөндөмдүүлүгү, Н (кгс)
1	2	1	2
Контакттык ширетүү (АМг2Н2 жана АМг2М маркаларындагы алюминий)			Эрип кетүүчү электрод менен аргондук жаа чекиттүү ширетүү точечная сварка плавящимся электродом (АМг2Н2 маркасындагы алюминий; СвАМг3 же 1557 маркасындагы ширетүү зымы)
1	800(80)	1+1	1950(200)
1,5	1250(130)	1+2	2350 (240)
2	1950 (200)	1,5+1,5	2950 (300)
		2+2	3350(340)
<b>Э ск е р т үү л ө р</b> 1 Контакттык ширетүү үчүн эң жука элементтин калыңдыгы көрсөтүлгөн; чекиттүү жаа ширетүүсү үчүн 1гр. биринчи цифра – жогорку элементтин калыңдыгы. 2 Ширетүү чекиттерин «Алюминий курулуш конструкцияларынын элементтеринин бириктируулөрүн аргондук жаа ширетүү боюнча жетектемеге» ылайык жүргүзүү сунушталат. Курулуш басылмасы, 1984.			

## И тиркемеси

### **Чондуктардын негизги тамгалык белгилөөлөрү**

$A$  – кесилиштин аяны брутто;

$A_n$  – кесилиштин аяны нетто;

$E$  – серпилгичтиктин модулу;

$F$  – күч;

$G$  – жылышуу модулу;

$I_m, I_d$  – курчоонун кесилиштеринин жана ферманын жантык тирөөчтөрүнүн инерциясынын моменттери;

$I_s$  – кырлардын кесилиштеринин инерциясынын моменти;

$I_t$  – устундун толгонуусунун инерциясынын моменти;

$I_x, I_y$  – тиешелүү түрдө  $x - x$  жана  $y - y$  окторуна карата кесилиштин инерциясынын моменти;

$I_{xn}, I_{yn}$  – тиешелүү түрдө  $x - x$  жана  $y - y$  окторуна карата кесилиштин инерциясынын моменти;

$M$  – момент, ийилтүүчү момент;

$M_x, M_y$  – тиешелүү түрдө  $x - x$  жана  $y - y$  окторуна карата моменттери;

$N$  – узата күч;

$Q$  – туурасынын келүүчү күч;

$Q_{fic}$  – бириктире турган элементтер үчүн шарттуу туурасынан келүүчү күч;

$R$  – алюминийдин чоюлууга, кысылууга, ийилүүгө эсептик каршылыгы;

$R_{bp}$  – буроолордук бириктируулөрдүн майтарылууга болгон эсептик каршылыгы;

$R_{bs}$  – буроолордун кесилүүгө эсептик каршылыгы;

$R_{bt}$  – буроолордун чоюлууга эсептик каршылыгы;

$R_p$  – алюминийдин уч бетинин майтарылуусунун эсептик каршылыгы (эптешириүүнүн болушунда);

$R_s$  – алюминийдин жылышууга эсептик каршылыгы;

$R_{th}$  – алюминийдин пресстелген жарымфабрикаттын калындыгынын багытындагы эсептик каршылыгы;

$R_w$  – беттештирилген ширетилген бириктируулөрдүн чоюлууга, кысылууга жана ийилүүгө эсептик каршылыгы;

$R_{ws}$  – беттештирилген ширетилген бириктируулөрдүн жылышууга эсептик каршылыгы;

$R_{wf}$  – тигиштин металлы боюнча бурчтук тигиштердин эсептик каршылыгы;

$R_{wsm}$ —контакттык роликтүү ширетүү менен аткарылган бириктүүлөрдүн эсептик каршылыгы;

$R_{wz}$ —алюминийдин тигишке жакын зонадагы эсептик каршылыгы;

$S$ —нейтралдуу окко карата кесилиштин брутто жылышуучу бөлүгүнүн статикалык моменти;

$W_x, W_y$ —тиешелүү түрдө  $x-x$  жана  $y-y$  окторуна карата брутто кесилиштин каршылыгынын моменттери;

$W_{xn}$ —нетто кесилиштин каршылыгынын моменттери;

$W_{yn}$ —тиешелүү түрдө  $x$ -хиу—окторуна карата;

$B$ —жазылык;

$e$ —күчтүн эксцентриситети;

$h$ —бийиктик;

$h_{ef}$ —капталдын эсептик бийиктиги;

$i$ —кесилиштин инерциясынын радиусу;

$i_{min}$ —кесилиштин инерциясынын эң кичине радиусу;

$i_x, i_y$ —тиешелүү түрдө  $x-x$  жана  $y-y$  окторуна карата кесилиштин инерциясынын радиустары;

$k_f$ —бурчтук тигиштин катети;

$l$ —узундук, пролет, аралык;

$l_c$ —түркүктүн узундугу;

$l_{ef}$ —эсептик, шарттуу узундук;

$l_d$ —жантык тирөөчтүн узундугу;

$l_w$ —ширетүү тигишинин узундугу;

$l_m$ —ферманын же колоннанын курчоосунун панелинин узундугу;

$l_x, l_y$ —тиешелүү түрдө  $x-x$  жана  $y-y$  окторуна перпендикулярдуу тегиздиктердеги элементтин эсептик узундуктары;

$m = \left( m = \frac{eA}{W_c} \right)$  салыштырмалуу эксцентриситеттер;

$m_{ef}$ —келтирилген салыштырмалуу эксцентриситет ( $m_{ef}=m\eta$ );

$\eta$ —кесилиштин формасынын таасиригин коэффициенти;

$r$ —радиус;

$t$ —калыңдык;

$t_w$ —капталдын калыңдыгы;

$\gamma_c$ —жумуштун шарттарынын коэффициенти;

$\gamma_b$ —багытталышы боюнча бекемдиктин коэффициенти;

$\gamma_m$ —материал боюнча бекемдиктин коэффициенти;

$\gamma_u$  – убактылуу каршылык боюнча эсептөөлөрдөгү бекемдиктин коэффициенти;

$$\lambda - \text{ийилчээкттик} \left( \lambda = \frac{l_{ef}}{i} \right);$$

$$\bar{\lambda} - \text{шарттуу ийилчээкттик} (\bar{\lambda} = \lambda \sqrt{\frac{R}{E}});$$

$\lambda_{ef}$  – өтмө кесилиштеги өзөктөрдүн келтирилген ийилчээктиги;

$\bar{\lambda}_{ef}$  – өтмө кесилиштеги өзөктүн келтирилген шарттуу ийилчээктиги

$$\left( \bar{\lambda}_{ef} = \lambda_{ef} \sqrt{\frac{R}{E}} \right);$$

$$\bar{\lambda}_w - \text{капталдын шарттуу ийилчээктиги} (\bar{\lambda}_w = \frac{h_{ef}}{t} \sqrt{\frac{R}{E}});$$

$\lambda_x, \lambda_y$  – тиешелүү түрдө  $x-x$  жана  $y-y$  окторуна перпендикулярдуу тегиздиктердеги элементтин ийилчээктиги;

V-алюминийдин туурасынын келген деформациясынын коэффициенти (Пуассона);

$\sigma_{loc}$  – жергиликтүү чыналуу;

$\sigma_x, \sigma_y$  – тиешелүү түрдө  $x-x$  жана  $y-y$  окторуна параллелдүү нормалдуу чыңалуулар;

$\tau_x, \tau_y$  –  $x-x$  же  $y-y$  окторунун жантайышына жараша чыңалуулар;

$\Phi_x, \Phi_y$  – тиешелүү түрдө  $x-x$  же  $y-y$  окторуна карата узата ийилүүнүн коэффициенттери;

$\varphi_e$  – борбордон тышкary кысуудагы түркүтүлүктүн коэффициенти;

$\varphi_b$  – устундардын ийилүүсүндөгү түркүтүлүктүн коэффициенти.



Курулуштагы ченемдик документтер тутуму  
**КЫРГЫЗ РЕСПУБЛИКАСЫНЫН КУРУЛУШ ЭРЕЖЕЛЕРИ**

Система нормативных документов в строительстве  
**СТРОИТЕЛЬНЫЕ ПРАВИЛА КЫРГЫЗСКОЙ РЕСПУБЛИКИ**

**АЛЮМИНИЙ КОНСТРУКЦИЯЛАРЫ**  
**КР КЭ 53-102:2023**

**АЛЮМИНИЕВЫЕ КОНСТРУКЦИИ**  
**СП КР 53-102:2023**

Актуализированная редакция СНиП 2.03.06-85  
КЧжЭ 2.03.06-85тин жаңыртылган редакциясы

Расмий басылма  
Издание официальное

КЫРГЫЗ РЕСПУБЛИКАСЫНЫН МИНИСТРЛЕР КАБИНЕТИНЕ КАРАШТУУ  
АРХИТЕКТУРА, КУРУЛУШ ЖАНА ТУРАК ЖАЙ-КОММУНАЛДЫК ЧАРБА  
МАМЛЕКЕТТИК АГЕНТТИГИ  
ГОСУДАРСТВЕННОЕ АГЕНТСТВО  
АРХИТЕКТУРЫ, СТРОИТЕЛЬСТВА И ЖИЛИЩНО-КОММУНАЛЬНОГО ХОЗЯЙСТВА  
ПРИ КАБИНЕТЕ МИНИСТРОВ КЫРГЫЗСКОЙ РЕСПУБЛИКИ  
БИШКЕК 2023

## **Предисловие**

1 АКТУАЛИЗИРОВАНЫ Государственным институтом сейсмостойкого строительства и инженерного проектирования (ГИССИП) Государственного агентства архитектуры, строительства и жилищно-коммунального хозяйства при Кабинете Министров Кыргызской Республики (Госстрой)

2 ВНЕСЕНЫ Управлением архитектуры и технического нормирования Госстроя

3 УТВЕРЖДЕНЫ приказом Госстроя от 16 октября 2023 года № 177 и ВВЕДЕНЫ В ДЕЙСТВИЕ 10 января 2024 года на основе Положения о Госстрое, утвержденного постановлением Кабинета Министров Кыргызской Республики от 25 июня 2021 года №44

4 ВЗАМЕН СНиП 2.03.06-85 «Алюминиевые конструкции»

*Настоящие Строительные правила не могут быть полностью или частично воспроизведены, тиражированы и распространены в качестве официального издания без разрешения Госстроя.*

© Госстрой, 2023

В случае пересмотра (замены) или отмены настоящих строительных правил соответствующее уведомление будет опубликовано в установленном порядке. Соответствующая информация, уведомление и тексты размещаются также в информационной системе общего пользования – на официальном сайте разработчика

## Содержание

1	Область применения .....	1
2	Нормативные ссылки .....	1
3	Общие положения .....	3
4	Материалы для конструкций и соединений .....	4
5	Расчетные характеристики материалов и соединений .....	7
6	Расчет элементов алюминиевых конструкций на осевые силы и изгиб .....	20
7	Расчетная длина и предельная гибкость элементов алюминиевых конструкций.....	34
8	Проверка устойчивости стенок и поясных листов изгибаемых и сжатых элементов .....	42
9	Расчет элементов конструкций с применением тонколистового алюминия .	52
10	Расчет соединений конструкций из алюминиевых сплавов .....	59
11	Проектирование алюминиевых конструкций.....	65
12	Конструктивные требования .....	69
	Приложение А Материалы и их физические характеристики для алюмини- вых конструкций .....	75
	Приложение Б Коэффициенты $\phi$ продольного изгиба центрально-сжатых элементов .....	79
	Приложение В Определение коэффициента $\phi_b$ для проверки общей устойчи- вости балок .....	81
	Приложение Г Расчет внецентренно сжатых и сжато–изгибаемых элементов..	87
	Приложение Д Расчет на устойчивость стенок балок при местной нагрузке на верхнем поясе .....	94
	Приложение Е Расчет на устойчивость наклонных граней листов с трапециевидным гофром .....	97
	Приложение Ж Расчетная несущая способность на срез сварных точек .....	98
	Приложение И Основные буквенные обозначения величин .....	99

## Введение

Настоящие строительные правила Кыргызской Республики СП КР «Алюминиевые конструкции» содержат основные положения по проектированию алюминиевых конструкций зданий и сооружений на территории Кыргызской Республики. Правила не распространяются на проектирование алюминиевых конструкций мостов и конструкций зданий и сооружений, подвергающихся многократному воздействию нагрузок (усталостная прочность), а также непосредственному воздействию подвижных или динамических нагрузок или воздействию температуры выше 100°С.

Актуализация СНиП 2.03.06-85 «Алюминиевые конструкции» выполнена с целью обеспечения общих критерий и методов проектирования, отвечающие необходимым требованиям надежности, долговечности и экономии, а также использования материалов и сопутствующей продукции, характеристики которых реализуются в расчетах алюминиевых конструкций.

Настоящие строительные правила подготовлены Государственным институтом сейсмостойкого строительства и инженерного проектирования (ГИССИП) Государственного агентства архитектуры, строительства и жилищно-коммунального хозяйства при Кабинете Министров Кыргызской Республики.

В актуализации строительных правил СП КР 53-102:2023 «Алюминиевые конструкции», принимали участие: Кенжетаев К.И. – к.т.н., Шаимбетов Дж.А. – к.т.н., Мудунова К.К. – инж., Жолбулакова А.Т. – инж.

Перевод на государственный язык осуществлен ОсОО «РК Глобал Групп».

СТРОИТЕЛЬНЫЕ ПРАВИЛА КЫРГЫЗСКОЙ РЕСПУБЛИКИ

---

Система нормативных документов в строительстве

**АЛЮМИНИЕВЫЕ КОНСТРУКЦИИ**

**Алюминий конструкциялары**

Aluminum structures

Актуализированная редакция  
СНиП 2.03.06-85

---

**Дата введения – 2024.01.10**

**1 Область применения**

1.1 Настоящие строительные правила устанавливают правила проектирования алюминиевых конструкций (далее – конструкции из алюминия и алюминиевых сплавов) зданий и сооружений.

Правила не распространяются на проектирование алюминиевых конструкций мостов и конструкций зданий и сооружений, подвергающихся многократному воздействию нагрузок (усталостная прочность), а также непосредственному воздействию подвижных или динамических нагрузок или воздействию температуры выше 100°C.

1.2 При проектировании конструкций, находящихся в особых условиях эксплуатации, конструкций уникальных зданий и сооружений, а также специальных видов конструкций необходимо соблюдать требования, предусмотренные соответствующими нормативными документами, в которых отражены особенности работы этих конструкций.

**2 Нормативные ссылки**

В настоящих строительных правилах использованы нормативные ссылки на следующие документы:

СН КР 53-01:2022 Стальные конструкции. Нормы проектирования;

- СНиП КР 23-02-00 Строительная климатология;
- СНиП 2.01.07-85 Нагрузки и воздействия;
- СНиП 2.03.11-85 Защита строительных конструкций от коррозии;
- ГОСТ 1759-87 Болты, винты, шпильки и гайки;
- ГОСТ 2685-75 Сплавы алюминиевые литьевые. Марки, технические требования и методы испытаний;
- ГОСТ 4784-2019 Алюминий и сплавы алюминиевые деформируемые. Марки;
- ГОСТ 7796-70 Болты с шестигранной уменьшенной головкой класса точности В. Конструкция и размеры;
- ГОСТ 7798-70\* Болты с шестигранной головкой класса точности В. Конструкция и размеры;
- ГОСТ 7871-2019 Проволока сварочная из алюминия и алюминиевых сплавов. Технические условия;
- ГОСТ 8617-2018 Профили прессованные из алюминия и алюминиевых сплавов. Технические условия;
- ГОСТ 10157-2016 Аргон газообразный и жидкий. Технические условия;
- ГОСТ 10299-80 Заклепки с полукруглой головкой классов точности В и С. Технические условия;
- ГОСТ 10300-80 Заклепки с потайной головкой классов точности В и С. Технические условия;
- ГОСТ 10301-80 Заклепки с полупотайной головкой классов точности В и С. Технические условия;
- ГОСТ 10619-80 Винты самонарезающие с потайной головкой для металла и пластмассы. Конструкция и размеры;
- ГОСТ 10621-80 Винты самонарезающие с полукруглой головкой для металла и пластмассы. Конструкция и размеры;
- ГОСТ 13726-97 Ленты из алюминия и алюминиевых сплавов. Технические условия;
- ГОСТ 14776-79 Дуговая сварка. Соединения сварные точечные. Основные типы, конструктивные элементы и размеры;
- ГОСТ 14806-80 Дуговая сварка алюминия и алюминиевых сплавов в инертных газах. Соединения сварные. Основные типы, конструктивные элементы и размеры;
- ГОСТ 14838-78\* Проволока из алюминия и алюминиевых сплавов для холодной высадки. Технические условия;
- ГОСТ 15589-70\* Болты с шестигранной головкой класса точности С. Конструкция и размеры;

ГОСТ 15591-70 Болты с шестигранной уменьшенной головкой класса точности С. Конструкция и размеры;

ГОСТ 17473-80\* Винты с полукруглой головкой классов точности А и В. Конструкция и размеры;

ГОСТ 17475-80\* Винты с потайной головкой классов точности А и В. Конструкция и размеры;

ГОСТ 18475-82\* Трубы холоднодеформированные из алюминия и алюминиевых сплавов. Технические условия;

ГОСТ 18482-2018 Трубы прессованные из алюминия и алюминиевых сплавов. Технические условия;

ГОСТ 21488-97 Прутки прессованные из алюминия и алюминиевых сплавов. Технические условия;

ГОСТ 21631-76 Листы из алюминия и алюминиевых сплавов. Технические условия;

ГОСТ 22233-2018 Профили прессованные из алюминиевых сплавов для ограждающих строительных конструкций. Общие технические условия.

П р и м е ч а н и е – При пользовании настоящими СП целесообразно проверить действие ссылочных документов:

- в информационной системе общего пользования – на официальном сайте Кыргызстандарта, ежеквартальном, ежегодном Каталоге документов по стандартизации на соответствующий год;

- в указателе нормативных документов по строительству, действующих на территории Кыргызской Республики «Строительный каталог СК» на соответствующий год.

Если ссылочный документ заменен (изменен), то при пользовании настоящими нормативами следует руководствоваться замененным (измененным) документом. Если ссылочный документ отменен без замены, то положение, в котором дана ссылка на него, применяется в части, не затрагивающей.

### 3 Общие положения

3.1 Алюминиевые конструкции рекомендуются применять при строительстве и реконструкции зданий и сооружений для ограждающих и несущих конструкций при надлежащем технико-экономическом обосновании в следующих случаях:

- при необходимости значительного снижения массы ограждающих и несущих конструкций зданий или сооружений;

- с целью обеспечения повышенных архитектурных требований к конструкциям зданий или сооружений;

- при необходимости для обеспечения повышенной коррозионной стойкости, сохранения прочностных характеристик при низких температурах, отсутствия искрообразования и магнитных свойств.

3.2 При проектировании алюминиевых конструкций рекомендуется:

- выбирать оптимальные в технико-экономическом отношении схемы конструкций, сечения элементов и марки деформируемых алюминиевых сплавов, технического алюминия и литейных сплавов<sup>1</sup>;
- применять экономичные профили;
- применять прогрессивные конструкции (типовые или стандартные); конструкции, совмещающие ограждающие и несущие функции, тонколистовые и комбинированные; пространственные системы из стандартных элементов и др.;
- предусматривать высокую технологичность изготовления и монтажа;
- применять конструкции, обеспечивающие наименьшую трудоемкость их изготовления, транспортирования и монтажа;
- применять, как правило, поточное их изготовление;
- предусматривать применение заводских и монтажных соединений прогрессивных типов (автоматической и полуавтоматической сварки, фланцевых, на болтах, в том числе высокопрочных, на вкладышах).

3.3 При проектировании зданий и сооружений необходимо принимать конструктивные схемы, обеспечивающие прочность, устойчивость и пространственную неизменяемость зданий и сооружений в целом, а также их отдельных элементов при транспортировании, монтаже и эксплуатации.

3.4 Элементы алюминиевых конструкций рекомендуется проектировать минимального сечения и с учетом возможности их изготовления из прессованных профилей, удовлетворяющих требованиям настоящих правил, государственных стандартов и технических условий на прессованные профили и трубы.

## 4 Материалы для конструкций и соединений

4.1 Выбор марки и состояния (вида обработки) алюминия для конструкций рекомендуется производить в зависимости от:

- характера и интенсивности нагрузки, напряженного состояния элементов конструкций, расчетных температур и требуемых механических свойств алюминия;
- химического состава алюминия и стойкости его к коррозии;
- технологичности изготовления полуфабрикатов;

---

<sup>1</sup> Деформируемые алюминиевые сплавы и технический алюминий условно названы «алюминий», литейные сплавы – «литейный алюминий».

- технологии изготовления и монтажа конструкций;
- архитектурных требований.

4.2 Для алюминиевых конструкций рекомендуется применять алюминий марок и состояний, указанных соответственно в табл. 1 и 2.

Т а б л и ц а 1

Термически не упрочняемый алюминий	
Марка и состояние алюминия	ГОСТ, ТУ
АД1М	ГОСТ 21631; ГОСТ 13726
АМцМ	ГОСТ 21631; ГОСТ 13726
АМг2М	ГОСТ 21631; ГОСТ 13726;
АМг2М	ГОСТ 18475
АМг2Н2	ГОСТ 21631; ГОСТ 13726
АД31Т	ГОСТ 8617; ГОСТ 18482; ГОСТ 22233
АД31Т1	ГОСТ 8617; ГОСТ 22233
АД31Т4	ГОСТ 8617; ГОСТ 22233
АД31Т5	ГОСТ 8617; ГОСТ 22233
1915	ГОСТ 8617; ГОСТ 18482; ГОСТ 22233
1915Т	ГОСТ 8617; ГОСТ 18482; ГОСТ 22233
1925	ГОСТ 8617; ГОСТ 18482;
1925	ГОСТ 22233 ГОСТ 8617; ГОСТ 18482; ГОСТ 22233
П р и м е ч а н и е – Допускается применять алюминий других марок и состояний (не указанных в табл. 1) при технико–экономическом обосновании и после проверки его в опытных конструкциях. Расчетные сопротивления в этом случае рекомендуется определять по табл. 4	

4.3 В зависимости от назначения конструкции зданий и сооружений разделяются на четыре группы. Группы, перечень входящих в них конструкций, применяемые марки и состояния алюминия приведены в приложении А.

4.4 Виды алюминиевых полуфабрикатов для строительных конструкций рекомендуется, как правило, принимать по табл. 4 приложения А. Допускается применять другие виды алюминиевых полуфабрикатов при условии согласования их с заводами-поставщиками.

## Таблица 2

Обозначение состояния	Состояние алюминия
M	Отожженный (мягкий)
H2	Полунагартованный
H	Нагартованный
T	Закаленный и естественно состаренный
T1	Закаленный и искусственно состаренный
T4	Не полностью закаленный и естественно состаренный
T5	Не полностью закаленный и искусственно состаренный
<b>П р и м е ч а н и я</b>	
1 Полунагартовка и нагартовка применяются преимущественно для термически не упрочняемого алюминия.	
2 Закалка и старение применяются для термически упрочняемого алюминия.	

4.5 Отливки из алюминиевых литьевых сплавов рекомендуется проектировать из литьевого алюминия марки АЛ8 по ГОСТ 2685. В алюминиевых конструкциях допускается применять отливки из материалов, указанных в СН КР 53-01.

4.6 При дуговых способах сварки алюминиевых конструкций в качестве электродного и присадочного металлов рекомендуется применять сварочную проволоку по ГОСТ 7871 из алюминия марок СвА1, СвАМг3 и 1557, а также по соответствующим техническим условиям. Условия применения электродной или присадочной проволоки приведены в табл. 8-10.

В качестве защитного инертного газа рекомендуется применять аргон марки А по ГОСТ 10157.

При соответствующем технико-экономическом обосновании для сварки конструкций допускается применять прогрессивные сварочные материалы (проводку, защитные газы). При этом расчетные сопротивления металла сварных соединений должны быть не ниже приведенных в табл. 9 и 10.

4.7 Марки алюминия для заклепок, устанавливаемых в холодном состоянии, и для болтов рекомендуется принимать по табл. 3.

Стальные болты рекомендуется применять согласно требованиям СН КР 53-01.

Т а б л и ц а 3

Марка и состояние алюминия	ГОСТ
Для заклепок: АД1Н; АМг2Н; АМг5пМ; АВТ	ГОСТ 10299
Для болтов: АМг5п АВТ1	ГОСТ 14838 ГОСТ 21488

4.8 В алюминиевых конструкциях рекомендуется применять:

- болты из алюминия (см. табл. 3) и стали (технические требования по ГОСТ 1759) повышенной, нормальной и грубой точности по ГОСТ 7796, ГОСТ 7798, ГОСТ 15589 и ГОСТ 15591;
- винты нормальной точности по ГОСТ 17473, ГОСТ 17475, ГОСТ 10619 и ГОСТ 10621.
- заклепки из алюминия по ГОСТ 10299, ГОСТ 10300, ГОСТ 10301 и ГОСТ 10304.

4.9 Физические характеристики алюминия для строительных конструкций рекомендуется принимать по табл. 2 и 3 приложения А.

## 5 Расчетные характеристики материалов и соединений

5.1 Расчетные значения сопротивления (расчетные сопротивления) алюминия и литейного алюминия для расчетных температур наружного воздуха от плюс 50 до минус 65 °С приведены в табл. 5 и 6, при этом расчетные сопротивления сдвигу и смятию установлены в соответствии с табл. 4 с округлением значений расчетных сопротивлений до 5 МПа (50 кгс/см<sup>2</sup>).

При расчете конструкций рекомендуется учитывать коэффициенты влияния изменения температуры  $\gamma_t$  и коэффициенты условий работы элементов алюминиевых конструкций  $\gamma_c$ , приведенные соответственно в табл. 15 и 16, а также коэффициенты надежности по назначению  $\gamma_n$ , принимаемые согласно

Правилам учета степени ответственности зданий и сооружений при проектировании конструкций.

Т а б л и ц а 4

Напряженное состояние	Обозначение	Расчетное сопротивление
Растяжение, сжатие и изгиб	$R$	$R$
Сдвиг	$R_s$	$R_s=0,6R$
Смятие торцевой поверхности (при наличии пригонки)	$R_p$	$R_p=1,6R$
Смятие местное при плотном касании	$R_{lp}$	$R_{lp}=0,75R$

\* Значение расчетного сопротивления алюминия  $R$  рекомендуется принимать равным меньшему из значений расчетного сопротивления алюминия  $R$  растяжению, сжатию, изгибу по условному пределу текучести  $R_y$  и расчетного сопротивления алюминия растяжению, сжатию, изгибу по временному сопротивлению  $R_u$ . При этом

$$R_y = R_{yn} / \gamma_m$$

$$R_u = R_{un} / \gamma_m \gamma_u,$$

где  $R_{yn}$  – нормативное сопротивление алюминия, принимаемое равным значению условного предела текучести  $\sigma_{0,2}$  по государственным стандартам и техническим условиям на алюминий;

$R_{un}$  – нормативное сопротивление алюминия разрыву, принимаемое равным минимальному значению временного сопротивления  $\sigma_b$  по государственным стандартам и техническим условиям на алюминий;

$$\gamma_m = 1,1$$

$$\gamma_u = 1,45$$

Т а б л и ц а 5

Напряженное состояние	Обозна чение	Расчетное сопротивление $R$ , МПа ( $\text{кгс}/\text{см}^2$ ), термически не упрочняемого алюминия марок						литейно го марки АЛ8	
		АД1М	АМц М	АМг2М	АМг2Н2				
					листы	ленты			
Растяжение, сжатие и изгиб	$R$	25 (250)	40 (400)	70 (700)	125 (1250)	145 (1500)	135 (1400)		
Сдвиг	$R_s$	15 (150)	25 (250)	40 (400)	75 (750)	90 (900)	80 (800)		
Смятие торцевой поверхности (при наличии пригонки)	$R_p$	40 (400)	65 (650)	110 (1100)	200 (2000)	230 (2400)	215 (2250)		
Смятие местное при плотном касании	$R_{lp}$	20 (200)	30 (300)	50 (500)	90 (900)	110 (1100)	105 (1050)		
Растяжение в направлении толщины прессованных полуфабрикатов	$R_{th}$	25 (250)	40 (400)	70 (700)	125 (1250)	-	-		

Т а б л и ц а 6

Напряженное состояние	Обозна чение	Расчетное сопротивление $R$ , МПа ( $\text{кгс}/\text{см}^2$ ), термически упрочняемого алюминия марок					
		АД31Т; АД31Т 4	АД31Т 5	АД31Т 1	1935Т	1925; 1915	1915Т
Растяжение, сжатие и изгиб	$R$	55 (550)	100 (1000)	120 (1250)	140 (1450)	175 (1800)	195 (2000)
Сдвиг	$R_s$	35 (350)	60 (600)	75 (750)	85 (850)	105 (1050)	120 (1200)
Смятие торцевой поверхности (при наличии пригонки)	$R_p$	90 (900)	160 (1600)	190 (2000)	225 (2300)	280 (2900)	310 (3200)

*Окончание таблицы 6*

Напряженное состояние	Обозначение	Расчетное сопротивление $R$ , МПа ( $\text{кгс}/\text{см}^2$ ), термически упрочняемого алюминия марок					
		АД31Т; АД31Т 4	АД31Т 5	АД31Т 1	1935Т	1925; 1915	1915Т
Смятие местное при плотном касании	$R_{lp}$	40 (400)	75 (750)	90 (900)	105 (1050)	130 (1350)	145 (1500)
Растяжение в направлении толщины прессованных полуфабрикатов	$R_{th}$	55 (550)	100 (1000)	120 (1200)	50 (500)	50 (500)	50 (500)

За расчетную температуру наружного воздуха принимается средняя температура наиболее холодной пятидневки согласно требованиям СНиП КР 23-02.

5.2 Расчетные сопротивления растяжению алюминия  $R_{pl}$  из листов для элементов конструкций, эксплуатация которых возможна и после достижения алюминием предела текучести, рекомендуется принимать по табл. 7.

Таблица 7

Марка и состояние алюминия	АД1М	АМцМ	AMr2М
Расчетное сопротивление $R_{pl}$ , МПа ( $\text{кгс}/\text{см}^2$ )	35 (350)	55 (550)	85 (850)

5.3 Расчетные сопротивления сварных, заклепочных и болтовых соединений для расчетных температур наружного воздуха от плюс 50 до минус 65°C приведены в табл. 9-14.

Для соединений на заклепках и болтах (см. табл. 12-14) расчетные сопротивления растяжению и срезу рекомендуется принимать по материалу заклепок или болтов, смятию – по марке алюминия соединяемых элементов конструкций.

5.4 Расчетное сопротивление  $R_{wz}$  алюминия в околосшовной зоне (рис. 1, сечение 1–1) при аргонодуговой сварке рекомендуется принимать по табл. 8.

5.5 Расчетное сопротивление  $R_w$  сварных соединений, выполненных аргонодуговой сваркой с физическим контролем качества швов (рентгено-или гамма-графированием, ультразвуковой дефектоскопией и др.) рекомендуется принимать по табл. 9 и 10.

Для сварныхстыковыхрастянутыхшвов,качество которых не контролируется физическими методами, значения расчетных сопротивлений по табл. 9 и 10 рекомендуется умножать на коэффициент 0,8.

5.6 При расчете на прочность сварных конструкций (см. рис. 1) с элементами безстыка, к которым прикрепляются сваркой поперечные элементы (рис. 1, г), рекомендуется учитывать местное ослабление этих элементов (в зоне термического влияния) путем снижения значения расчетного сопротивления  $R$  алюминия дозначения  $R_w$ , принимаемого по табл. 9 и 10.

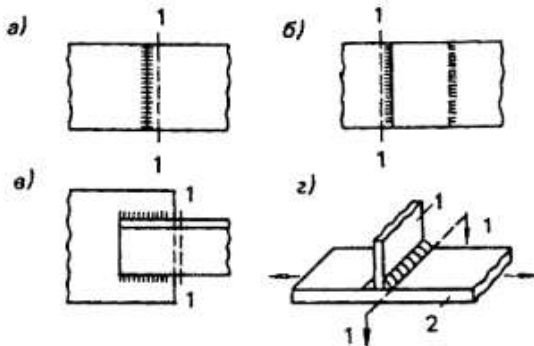


Рис. 1. Схемы сварных соединений конструкций

а – встык; б – внахлестку лобовыми швами; в – внахлестку фланговыми швами; г – схема прикрепления поперечного элемента к элементу, не имеющему стыка;

1 – поперечный элемент; 2 – элемент без стыка; 1-1 – расчетное сечение

5.7 В алюминиевых тонколистовых конструкциях допускается применять контактную и аргонодуговую точечную сварку плавящимся электродом. Расчетная несущая способность на срез сварных точек, выполненных контактной и аргонодуговой точечной сваркой плавящимся электродом по ГОСТ 14776, указана в приложении Ж.

5.8 Расчетные сопротивления срезу сварных соединений внахлестку  $R_{wsm}$ , выполненных контактной роликовой сваркой, для алюминия марок АД1М, АМцМ, АМг2М рекомендуется принимать равными расчетным сопротивлениям  $R$  (см. табл. 5 и 7).

Для алюминия марки АМг2Н2  $R_{wsm} = (0,9-0,1t) R$  (где  $t$  – толщина более тонкого из свариваемых элементов, мм).

5.9 Расчетные сопротивления срезу  $R_{rs}$  соединений на заклепках, поставленных в холодном состоянии в сверленые и рассверленные отверстия, приведены в табл. 11.

5.10 Расчетные сопротивления растяжению  $R_{bt}$  и срезу  $R_{bs}$  соединений на болтах, поставленных в сверленые или рассверленные отверстия, приведены в табл. 12.

Т а б л и ц а 8

Вид сварного соединения	Напряженное состояние	Обозначение	Расчетное сопротивление, МПа ( $\text{кгс}/\text{см}^2$ ), алюминия в окколошовной зоне								
			термически не упрочняемого марок			термически упрочняемого марок					
			АД1М	АМцМ	АМг2М; АМг2Н2	АД31Т; АД31Т4	АД31Т5	АД31Т1	1935Т	1915	1915Т
			при сварке с применением электродной или присадочной проволоки марок								
			CвА1	CвАМг3	CвАМг3; 1557			1557			
Встык и внахлестку лобовыми швами (рис.1, <i>a,b</i> , сечение 1-1)	Растяжение, сжатие и изгиб Сдвиг	$R_{wz}$ $R_{wzs}$	25 (250)	40 (400)	65 (650)	55 (550)	65 (650)	80 (800)	115(1150) 120(1250)	140 (1450)	511 (1600)
			15 (150)	25 (250)	40 (400)	35 (350)	40 (400)	50 (500)	80 (800)	90 (900)	105 (1050)
Внахлестку фланговыми швами (рис. 1, в, сечение 1-1)	Растяжение, сжатие и изгиб	$R_Z$	25 (250)	40 (400)	65 (650)	50 (500)	60 (600)* 75 (750)*	80 (800)* 105(1050)*	100 (1000)* 105(1050)*	130 (1300)* 140 (1450)*	140 (1450)* 155 (1450)*

## Окончание таблицы 8

Вид сварного соединения	Напряженное состояние	Обозначение	Расчетное сопротивление, МПа ( $\text{кгс}/\text{см}^2$ ), алюминия в околошовной зоне																	
			термически не упрочняемого марок			термически упрочняемого марок														
			АД1 М	АМц М	АМг2М; АМг2Н2	АД31Т; АД31Т4	АД31Т5	АД31Т1	1935Т	1915	1915Т									
			при сварке с применением электродной или присадочной проволоки марок																	
			СвА1	СвАМг3	СвАМг3; 1557			1557												
* Для соединений внахлестку из профильных элементов.																				
П р и м е ч а н и я																				
1 Расчетное сопротивление $R_{wz}$ алюминия марки 1915Т указано для профилей толщиной 5-12 мм. Для профилей толщиной 4 мм при сварке вольфрамовым электродом $R_{wz}=165$ МПа ( $1700 \text{ кгс}/\text{см}^2$ ).																				
2 Влияние продольных сварных швов элементов конструкций (в обшивках, кровельных полотнищах и т. п.) на разупрочнение алюминия в околошовной зоне не учитывается.																				
3 Над чертой указаны расчетные сопротивления при сварке алюминия вольфрамовым электродом, под чертой – плавящимся электродом.																				

Т а б л и ц а 9

Сварные соединения и швы	Напряженное состояние	Обозначение	Расчетное сопротивление сварных швов, МПа (кгс/см <sup>2</sup> ), алюминия марок		
			АД1М	АМцМ	АМг2М; АМг2Н2
			при сварке с применением электродной или присадочной проволоки марок		
			СвА1	СвАМг3	СвАМг3
Встык	Сжатие, растяжение, изгиб	$R_w$	25 (250); 30 (300) *	40 (400); 45 (450) *	65 (650)
	Сдвиг	$R_{ws}$	15(150)	25 (250)	40 (400)
Угловые швы	Срез	$R_{wf}$	20 (200)	30 (300)	45 (450)

\* Для конструкций, эксплуатация которых возможна после достижения алюминием предела текучести.

Таблица 10

Сварные соединения и швы	Напряженное состояние	Обозначение	Расчетное сопротивление сварных швов, МПа ( $\text{кгс}/\text{см}^2$ ), алюминия марок											
			АД31Т; АД31Т4	АД31Т5	АД31Т1	1935Т	1915	1915Т при толщине металла, мм						
								4	5-12					
			при сварке с применением электродной или присадочной проволоки марок											
			СвАМг3; 1557				1557							
Встык	Сжатие, растяжение, изгиб при сварке электродом:  а) плавящимся (автоматическая и полуавтоматическая сварка)  б) вольфрамовым (ручная и механизированная сварка)	$R_w$	55 (550)	65 (650)	80 (800)	120 (1250)	140 (1450)	—	155 (1600)					
			55 (550)	65 (650)	80 (800)	115 (1150)	140 (1450)	155 (1600)	155 (1600)					

## Окончание таблицы 10

Сварные соединения и швы	Напряженное состояние	Обозначение	Расчетное сопротивление сварных швов, МПа ( $\text{кгс}/\text{см}^2$ ), алюминия марок							
			АД31Т; АД31Т4	АД31Т5	АД31Т1	1935Т	1915	1915Т при толщине металла, мм		
								4      5-12		
при сварке с применением электродной или присадочной проволоки марок										
СвАМг3; 1557				1557						
Встык	Сдвиг	$R_{ws}$	35 (350)	40 (400)	50 (500)	80 (800)	90 (900)	110 (1100)	105 (1050)	
Угловые (швы фланговые и лобовые)	Срез	$R_{wf}$	45 (450)	45 (450)	45 (450)	80 (800)	110 (1100)	110 (1100)	110 (1100)	
<b>П р и м е ч а н и я</b>										
1 Расчетные сопротивления сварных соединений алюминия марки 1915Т указаны для прессованных профилей.										
2 Расчетные сопротивления сварных соединений термически упрочняемого алюминия могут быть повышенены повторной термической обработкой (после сварки соединения), при этом для алюминия системы Al-Zn-Mg $R_w=R$ (где $R$ – расчетное сопротивление, определяемое по табл. 6).										
В сварных нахлосточных соединениях из алюминия марок АД31Т, АД31Т1, АД31Т4 и АД31Т5 применять лобовые швы не допускается.										

Т а б л и ц а 11

Марка алюминия для заклепок	АД1Н	АМг2Н	АМг5пМ	АВТ1
Расчетное сопротивление срезу соединений на заклепках $R_{rs}$ , МПа (кгс/см <sup>2</sup> )	35 (350)	70 (700)	100 (1000)	100 (1000)
<b>П р и м е ч а н и я</b>				
1 В продавленные отверстия ставить заклепки не допускается.				
2 Расчетные сопротивления соединений на заклепках с потайными или полупотайными головками рекомендуется снижать на 20 %. Указанные заклепки растягивающие усилия не воспринимают.				

Т а б л и ц а 12

Соединение на болтах	Напряженное состояние	Обозначение	Расчетное сопротивление соединений на болтах $R_b$ , МПа (кгс/см <sup>2</sup> ), из алюминия марок	
			АМг5п	АВТ1
Повышенной точности	Растяжение	$R_{bt}$	125 (1250)	155 (1600)
	Срез	$R_{bs}$	90 (900)	95 (950)
Нормальной и грубой точности	Растяжение	$R_{bt}$	125 (1250)	155 (1600)
	Срез	$R_{bs}$	80 (800)	85 (850)

5.11 Расчетные сопротивления смятию элементов конструкций для соединений на заклепках  $R_{rp}$  и болтах  $R_{bp}$ , поставленных в сверленые или рассверленные отверстия, рекомендуется принимать по табл. 13.

Т а б л и ц а 13

Марка алюминия элементов	Расчетное сопротивление смятию элементов конструкций, МПа (кгс/см <sup>2</sup> ) для соединений	
	на заклепках, $R_{rp}$	на болтах, $R_{bp}$
АД1М	40 (400)	35 (350)
АМцМ	65 (650)	60 (600)
АМг2М	110 (1100)	100 (1000)
АМг2Н2	195 (2000)	175 (1800)

*Окончание таблицы 13*

Марка алюминия элементов	Расчетное сопротивление смятию элементов конструкций, МПа ( $\text{кг}/\text{см}^2$ ) для соединений	
	на заклепках, $R_{rp}$	на болтах, $R_{bp}$
АД31Т	90 (900)	80 (800)
АД31Т4	90 (900)	80 (800)
АД31Т5	155 (1600)	140 (1450)
АД31Т1	195 (2000)	175 (1800)
1925	275 (2800)	245 (2500)
1915	275 (2800)	245 (2500)
1915Т	315 (3200)	285 (2900)

П р и м е ч а н и е – Расчетные сопротивления приведены для соединений на болтах, поставленных на расстоянии  $2d$  от их оси до края элемента. При сокращении этого расстояния до  $1,5d$  приведенные расчетные сопротивления рекомендуется понижать на 40 %.

5.12 Расчетные сопротивления алюминия и литьевого алюминия, соединений сварных, на заклепках и болтах для конструкций, эксплуатируемых при расчетных температурах выше  $50^\circ\text{C}$ , необходимо умножать на коэффициент  $\gamma_t$ , указанный в табл. 14.

5.13 При расчете элементов и соединений алюминиевых конструкций рекомендуется учитывать коэффициенты условий работы  $\gamma_c$ , принимаемые по табл. 15.

Т а б л и ц а 14

Марка алюминия конструкций	АД1, АМц	АМг2, АД31, 1915, 1925, 1935, АЛ8
Коэффициент $\gamma_t$ (при температуре от 51 до $100^\circ\text{C}$ )	0,85	0,90
П р и м е ч а н и я		
1 Приведенные значения коэффициентов $\gamma_t$ не зависят от состояния алюминия (см табл. 2).		
2 Для конструкций, эксплуатируемых при расчетных температурах выше $50^\circ\text{C}$ , коэффициенты $\gamma_t$ рекомендуется уменьшать на 10% при непрерывном действии нормативной нагрузки свыше одного года, а также при непрерывном действии свыше двух лет нормативной нагрузки, составляющей свыше 0,9 расчетной.		

Таблица 15

Элементы конструкций	Коэффициент $\gamma_c$
1 Корпуса и днища резервуаров	0,8
2 Колонны жилых и общественных зданий и опор водонапорных башен	0,9
3 Сжатые элементы решетки плоских ферм при гибкости: $\lambda \leq 50$	0,9
$\lambda > 50$	0,75
4 Сжатые раскосы пространственных решетчатых конструкций из одиночных уголков, прикрепляемых к поясам одной полкой: а) сварными швами или двумя заклепками (болтами) и более, поставленными вдоль уголка	0,75
б) одним болтом	0,6
5 Сжатые элементы из одиночных уголков, прикрепляемые одной полкой (для неравнополочных уголков – только узкой полкой), за исключением элементов конструкций, указанных в поз. 4 настоящей таблицы, и плоских ферм из одиночных уголков	0,6
<b>Примечания</b>	
1 Коэффициенты условий работы поз. 3 и 5 одновременно не учитываются.	
2 Коэффициенты условий работы поз. 3 и 4 не распространяются на крепления соответствующих элементов в узлах.	
3 Для сжатых раскосов пространственных решетчатых конструкций из одиночных уголков при треугольной решетке с распорками (см. рис. 8, а) коэффициент условий работы поз. 4 не учитывается.	
4 Для случаев, не оговоренных настоящей таблицей, в формулах рекомендуется принимать $\gamma_c = 1,0$ .	

## 6 Расчет элементов алюминиевых конструкций на осевые силы и изгиб

### Центрально-растянутые и центрально-сжатые элементы

6.1 Расчет на прочность элементов, подверженных центральному растяжению или сжатию силой  $N$ , рекомендуется выполнять по формуле

$$\frac{N}{A_n} \leq R\gamma_c \quad (1)$$

6.2 Расчет на устойчивость сплошностенчатых элементов, подверженных центральному сжатию силой  $N$ , рекомендуется выполнять по формуле

$$\frac{N}{\varphi A} \leq R\gamma_c \quad (2)$$

Численные значения коэффициента  $\varphi$  приведены в табл. 2 и 3 приложения Б.

6.3 При расчете стержней из одиночных уголков на центральное сжатие радиус инерции сечения  $i$  рекомендуется принимать:

а) минимальным, если стержни прикреплены только по концам;

б) относительно оси, параллельной одной из полок уголка при наличии промежуточного закрепления (распорок, шпренгелей, связей и т. п.), предопределяющего направление выпучивания уголка в плоскости, параллельной второй полке.

6.4 Сжатые элементы со сплошными стенками открытого П-образного сечения (рис. 2), не усиленные и усиленные отбортовками или утолщениями (бульбами), при  $\lambda_x < 3\lambda_y$  (где  $\lambda_x$  и  $\lambda_y$  – расчетные гибкости элемента в плоскостях, перпендикулярных осям  $x-x$  и  $y-y$ ) рекомендуется укреплять планками или решеткой, при этом должны быть выполнены требования п.п. 6.5 и 6.7.

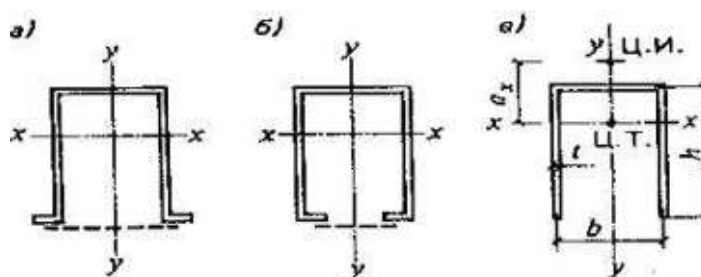


Рис. 2. П-образные сечения элементов  
а, б – укрепленные планками или решеткой; в – открытое

При отсутствии планок или решеток такие элементы помимо расчета по формуле (2) рекомендуется проверять на устойчивость при изгибно-крутильной форме потери устойчивости по формуле

$$\frac{N}{c\varphi_y A} \leq R\gamma_c, \quad (3)$$

где  $c$  – коэффициент, определяемый по формуле

$$c = \frac{2}{1 + \delta + \sqrt{(1 - \delta)^2 + \frac{16\alpha^2}{\mu}}}, \quad (4)$$

где  $\delta = \frac{4\rho}{\mu}$ ;

$$\rho = \frac{L_x + L_y}{Ah^2} + \alpha^2;$$

$\alpha = \frac{a_x}{h}$  – относительное расстояние между центром тяжести и центром изгиба;

$$\mu = \frac{8I_\omega}{I_y h^2} + 0,156 \frac{I_t}{Ah^2} \lambda^2 y;$$

$I_\omega$  – секториальный момент инерции сечения;

$$I_t = \frac{1}{3} \sum b_i t_i^3$$

$b_i$ ,  $t_i$  – соответственно ширина и толщина прямоугольных элементов, составляющих сечение.

Для сечения, приведенного на рис. 2, в, значения  $\frac{I_\omega}{I_y h^2}$ ,  $\frac{I_t}{Ah^2}$  и  $\alpha$

рекомендуется определять по формулам:

$$\left. \begin{aligned} \frac{I_\omega}{I_y h^2} &= \frac{39 + 2\beta}{(6 + \beta)^2}; \\ \frac{I_t}{Ah^2} &= \frac{1}{3} \left( \frac{t}{h} \right)^2; \\ \alpha &= \frac{4(3 + \beta)}{(2 + \beta)(6 + \beta)}, \end{aligned} \right\} \quad (5)$$

где  $\beta = \frac{b}{h}$ .

При наличии утолщений круглого сечения (бульб) момент инерции при кручении  $I_t$  рекомендуется увеличить на  $\frac{n\pi D^4}{32}$ , где  $n$  – число бульб в сечении;  $D$  – диаметр бульб.

6.5 Для составных сжатых стержней, ветви которых соединены планками или решетками, коэффициент  $\varphi$  относительно свободной оси (перпендикулярной плоскости планок или решеток) рекомендуется определять по табл.2 приложения Б с заменой  $\lambda$  на  $\lambda_{ef}$ . Значения  $\lambda_{ef}$  необходимо определять по формулам табл. 16.

В составных стержнях с решетками помимо расчета на устойчивость стержня в целом рекомендуется производить расчет на устойчивость отдельных ветвей на участках между узлами.

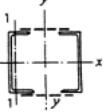
Гибкость отдельных ветвей  $\lambda_1$  и  $\lambda_1$  на участке между планками должна быть не более 30.

В составных стержнях с решетками гибкость отдельных ветвей между узлами не должна превышать приведенную гибкость  $\lambda_{ef}$  стержня в целом.

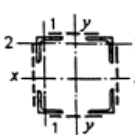
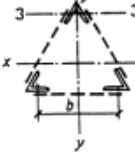
6.6 Расчет составных элементов из уголков, швеллеров и т. п., соединенных вплотную или через прокладки, рекомендуется выполнять как сплошностенчатых при условии, что наибольшие расстояния между их соединениями (прокладками, шайбами и т. п.) не превышают:  $30i$  – для сжатых элементов;  $80i$  – для растянутых элементов.

Здесь радиус инерции  $i$  уголка или швеллера рекомендуется принимать для тавровых или двутавровых сечений относительно оси, параллельной плоскости расположения прокладок, а для крестовых сечений – минимальным. При этом в пределах длины сжатого элемента рекомендуется ставить не менее двух прокладок.

Таблица 16

Тип сечения	Схема сечения	Приведенные гибкости $\lambda_{ef}$ составных стержней сквозного сечения		
		с планками при		с решетками
		$I_s l / (I_b b) < 5$	$I_s l / (I_b b) > 5$	
1		$\lambda_{ef} = \sqrt{\lambda_s^2 + 0,82\lambda_1^2(1+n)}$ (6)	$\lambda_{ef} = \sqrt{\lambda_1^2 + \lambda_{11}^2}$ (9)	$\lambda_{ef} = \sqrt{\lambda_s^2 + \sqrt{\alpha_1 \frac{A}{A_{st}}}}$ (12)

## Продолжение таблицы 16

Тип сечения	Схема сечения	Приведенные гибкости $\lambda_{ef}$ составных стержней сквозного сечения		
		с планками при		с решетками
		$I_s l / (I_b b) < 5$	$I_s l / (I_b b) > 5$	
2		$\lambda_{ef} = \sqrt{\lambda^2 + 0,82[\lambda_1^2(1+n_1) + \lambda_2^2(1+n_2)]} \quad (7)$	$\lambda_{ef} = \sqrt{\lambda^2 + \lambda_1^2 + \lambda_2^2} \quad (10)$	$\lambda_{ef} = \sqrt{\lambda_y^2} + \sqrt{A \left( \frac{\alpha_1}{A_{d1}} + \frac{\alpha_2}{A_{d2}} \right)} \quad (13)$
3		$\lambda_{ef} = \sqrt{\lambda^2 + 0,82\lambda_3^2(1+3n_3)} \quad (8)$	$\lambda_{ef} = \sqrt{\lambda^2 + 1,3\lambda_3^2} \quad (11)$	$\lambda_{ef} = \sqrt{\lambda^2 + \sqrt{\alpha \frac{2A}{3A_g}}} \quad (14)$

Обозначения, принятые в табл. 16:

$\lambda$  – наибольшая гибкость всего стержня;

$\lambda_1, \lambda_2, \lambda_3$  – гибкости отдельных ветвей при изгибе их в плоскостях, перпендикулярных осям соответственно 1–1, 2–2 и 3–3, на участках между приваренными планками (в свету) или между центрами крайних болтов или заклепок;

$A$  – площадь сечения стержня;

$A_{d1}, A_{d2}$  – площади сечения раскосов решеток (при крестовой решетке – двух раскосов), лежащих в плоскостях, перпендикулярных осям соответственно 1–1 и 2–2;

$A_d$  – площадь сечения раскоса решетки (при крестовой решетке – двух раскосов), лежащей в плоскости одной грани (для трехгранного равностороннего стержня);

$a_1, a_2$  – коэффициенты, определяемые по формуле

$$\alpha = 10 \frac{a^3}{b^2 l},$$

$a, b, l$  – размеры, принимаемые по рис. 3,а и рис. 4;

$n, n_1$  – коэффициенты, определяемые соответственно по формулам:

$$n = \frac{I_{b1}b}{I_s l}; \quad n_1 = \frac{I_{b1}b}{I_{s1}l};$$

$$n_2 = \frac{I_{b2}b}{I_{s2}l}; \quad n_3 = \frac{I_{b3}b}{I_s l};$$

где  $I_{b1}, I_{b3}$  – моменты инерции сечения ветвей относительно осей соответственно 1–1 и 3–3 (для сечений типов 1 и 3);

$I_{b1}, I_{b2}$  – моменты инерции сечения двух уголков относительно осей соответственно 1–1 и 2–2 (для сечения типа 2);

$I_s$  – момент инерции сечения одной планки относительно собственной оси  $x-x$  (рис. 4);

$I_{s1}, I_{s2}$  – моменты инерции сечения одной из планок, лежащих в плоскостях, перпендикулярных осям соответственно 1–1 и 2–2 (для сечения типа 2).

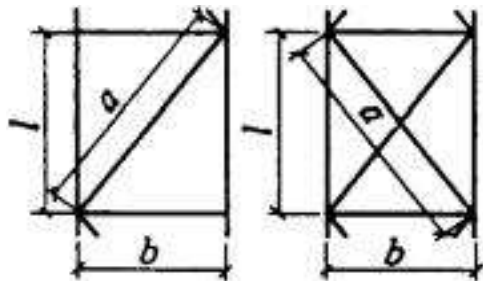


Рис. 3. Схема решетки  
а – раскосной; б – крестовой с распорками

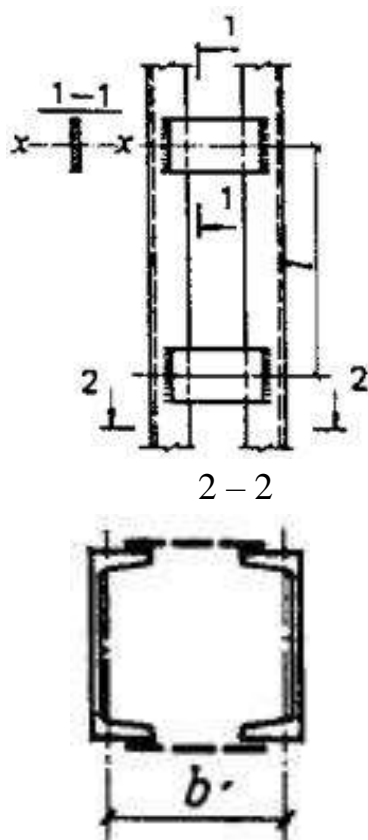


Рис. 4. Составной стержень на планках

6.7 Расчет соединительных элементов (планок, решеток) сжатых составных стержней сквозного сечения рекомендуется выполнять на условную поперечную силу  $Q_{fic}$ , принимаемую постоянной по всей длине стержня и определяемую по формуле

$$Q_{fic} = 4,2 \cdot 10^{-6} \left( 4000 - \frac{E}{R} \right) \frac{N}{\varphi} \quad (15)$$

где  $N$  – продольное усилие в составном стержне;

$\varphi$  – коэффициент продольного изгиба, принимаемый для составного сквозного стержня в плоскости соединительных элементов.

Условную поперечную силу  $Q_{fic}$  рекомендуется распределять при наличии:

только соединительных планок (решеток) – поровну между планками (решетками), лежащими в плоскостях, перпендикулярных оси, относительно которой производится проверка устойчивости;

сплошного листа и соединительных планок (решеток) – пополам между листом и планками (решетками), лежащими в плоскостях, параллельных листу.

При расчете равносторонних трехгранных составных стержней условную поперечную силу  $Q_{fic}$ , приходящуюся на систему соединительных элементов, расположенных в одной плоскости, рекомендуется принимать равной 0,8  $Q_{fic}$ .

6.8 Расчет соединительных планок и их прикреплений (см. рис.4) рекомендуется выполнять как расчет элементов безраскосных ферм по формулам:  
на силу  $F$ , срезающую планку:

$$F = \frac{Q_s l}{b}; \quad (16)$$

на момент  $M_1$ , изгибающий планку в ее плоскости:

$$M_1 = \frac{Q_s l}{2} \quad (17)$$

где  $Q_s$  – условная поперечная сила, приходящаяся на планку одной грани;

$l$  – расстояние между центрами планок;

$b$  – расстояние между осями ветвей.

6.9 Расчет соединительных решеток рекомендуется выполнять как расчет решеток ферм. При расчете перекрестных раскосов крестовой решетки с распорками (см. рис.3, б) необходимо учитывать дополнительное усилие  $N_{ad}$ , возникающее в каждом раскосе от обжатия поясов и определяемое по формуле

$$N_{ad} = \alpha N \frac{A_d}{A_1} \quad (18)$$

где  $N$  – усилие в одной ветви стержня;

$A_d$  – площадь сечения одного раскоса;

$A_1$  – площадь сечения одной ветви;

$\alpha$  – коэффициент, определяемый по формуле

$$\alpha = \frac{al^2}{a^3 + 2b^3} \quad (19)$$

$a, l, b$  – размеры, приведенные на рис. 3, б.

6.10 Расчет стержней, предназначенных для уменьшения расчетной длины сжатых элементов, рекомендуется выполнять на усилия, равные условной поперечной силе в основном сжатом элементе, определяемой по формуле (15).

## Изгибаемые элементы

6.11 Расчет на прочность элементов, изгибаемых в одной из главных плоскостей, рекомендуется выполнять по формулам:

$$\frac{M}{W_{n,min}} \leq R\gamma_c \quad (20)$$

$$\tau = \frac{QS}{L_t} \leq R_s\gamma_c \quad (21)$$

При наличии ослабления отверстиями для заклепок или болтов значения касательных напряжений  $\tau$  в формуле (21) рекомендуется умножать на величину отношения

$$\frac{a}{a-d}, \quad (22)$$

где  $a$  – шаг отверстий;

$d$  – диаметр отверстия.

6.12 Для стенок балок, рассчитываемых по формуле (20), должны быть выполнены условия:

$$\sqrt{\sigma_x^2 - \sigma_x\sigma_y + \sigma_y^2 + 3\tau_{xy}} \leq R\gamma_c; \quad (23)$$

где  $\sigma_x = \frac{M_x}{I_n}$  – нормальные напряжения в срединной плоскости стенки, параллельные оси балки;

$\sigma_y$  – нормальные напряжения в срединной плоскости стенки, перпендикулярные оси балки, в том числе  $\sigma_{loc}$ , определяемое по формуле (1) приложения Д;

$\tau_{xy} = \frac{Q}{th}$  – среднее касательное напряжение, вычисляемое с учетом формулы (22);

$t, h$  – соответственно толщина и высота стенки.

Напряжения  $\sigma_x$  и  $\sigma_y$  рекомендуется определять в одной и той же точке стенки балки и принимать в формуле (23) каждое со своим знаком.

6.13 Расчет на устойчивость балок двутаврового сечения, изгибаемых в плоскости стенки, рекомендуется выполнять по формуле

$$\frac{M}{\Phi_b W_c} \leq R\gamma_c \quad (24)$$

где  $W_c$  – для сжатого пояса;

$\Phi_b$  – коэффициент, определяемый по обязательному приложению В.

При определении значения  $\varphi_b$  за расчетную длину балки  $l_{ef}$  рекомендуется принимать расстояния между точками закреплений сжатого пояса от поперечных смещений; при отсутствии связей  $l_{ef} = l$  (где  $l$  – пролет балки). За расчетную длину консоли рекомендуется принимать:  $l_{ef} = l$  при отсутствии закрепления сжатого пояса на конце консоли в горизонтальной плоскости (здесь  $l$  – длина консоли); расстояние между точками закреплений сжатого пояса в горизонтальной плоскости при закреплении пояса на конце и по длине консоли.

Устойчивость балок не требуется проверять:

а) при передаче нагрузки через сплошной жесткий настил, непрерывно опирающийся на сжатый пояс балки и надежно с ним связанный (плоский и профилированный металлический настил, волнистая сталь и т. п.);

б) при отношении расчетной длины балки  $l_{ef}$  к ширине сжатого пояса  $b$ , не превышающем значений, определяемых по формулам табл. 17 для балок симметричного двутаврового сечения и с более развитым сжатым поясом, для которых ширина растянутого пояса составляет не менее 0,75 ширины сжатого пояса.

Т а б л и ц а 17

Место приложения нагрузки	Наибольшие значения $\frac{l_{ef}}{b}$ , при которых не требуется расчет на устойчивость прокатных и сварных балок (при $1 \leq \frac{h}{b} < 6$ и $15 \leq \frac{b}{t} \leq 35$ )
К верхнему поясу	$0,45 \left[ 0,35 + 0,0032 \frac{b}{t} + (0,76 - 0,02 \frac{b}{t}) \frac{b}{h} \right] \sqrt{\frac{E}{R}} \quad (25)$
К нижнему поясу	$0,45 \left[ 0,57 + 0,0032 \frac{b}{t} + (0,92 - 0,02 \frac{b}{t}) \frac{b}{h} \right] \sqrt{\frac{E}{R}} \quad (26)$
Независимо от уровня приложения нагрузки при расчете участка балки между связями или при чистом изгибе	$0,45 \left[ 0,41 + 0,0032 \frac{b}{t} + (0,73 - 0,016 \frac{b}{t}) \frac{b}{h} \right] \sqrt{\frac{E}{R}} \quad (27)$
<p><i>Обозначения, принятые в табл. 17:</i></p> <p><math>b, t</math> – соответственно ширина и толщина сжатого пояса;</p> <p><math>h</math> – расстояние (высота) между осями поясных листов.</p> <p><b>П р и м е ч а н и е</b> – Для балок с поясными соединениями на заклепках и высокопрочных болтах значения <math>\frac{l_{ef}}{b}</math>, получаемые при расчете по формулам табл. 17, рекомендуется умножать на коэффициент 1,2.</p>	

6.14 Расчет на прочность элементов, изгибаемых в двух главных плоскостях, рекомендуется выполнять по формуле

$$\frac{M_x}{L_{xn}} y \pm \frac{M_y}{L_{yn}} x \leq R\gamma_c \quad (28)$$

где  $x, y$  – координаты рассматриваемой точки сечения относительно его главных осей. В балках, рассчитываемых по формуле (28), значения напряжений в стенке балки рекомендуется проверять по формулам (21) и (23) в двух главных плоскостях изгиба.

При выполнении требований п.6.13 а балки, изгибающиеся в двух плоскостях, на устойчивость не проверяются.

### Элементы, подверженные действию осевой силы с изгибом

6.15 Расчет на прочность сплошностенчатых внецентренно сжатых, сжато–изгибаемых, внецентренно растянутых и растянуто-изгибаемых элементов рекомендуется выполнять по формуле

$$\frac{N}{A_n} \pm \frac{M_x}{L_{xn}} y \pm \frac{M_y}{L_{yn}} x \leq R\gamma_c \quad (29)$$

где  $x, y$  – координаты рассматриваемой точки сечения относительно его главных осей.

В составных сквозных стержнях каждую ветвь необходимо проверять по формуле (29) при соответствующих значениях  $N, M_x, M_y$ , вычисленных для данной ветви.

6.16 Расчет на устойчивость внецентренно сжатых и сжато–изгибаемых элементов рекомендуется выполнять как в плоскости действия момента (плоская форма потери устойчивости), так и из плоскости действия момента (изгибо–крутильная форма потери устойчивости).

Расчет на устойчивость внецентренно сжатых и сжато–изгибаемых элементов постоянного сечения в плоскости действия момента, совпадающей с плоскостью симметрии, рекомендуется выполнять по формуле

$$\frac{N}{\varphi_e A} \leq R\gamma_c \quad (30)$$

В формуле (30) коэффициент  $\varphi_e$  рекомендуется определять:

а) для сплошностенчатых стержней – по табл. 1 приложения Г в зависимости от условной гибкости  $\bar{\lambda} = \lambda \sqrt{\frac{R}{E}}$  и приведенного относительного эксцентризитета  $m_{ef}$  определяемого по формуле

$$m_{ef} = \eta m, \quad (31)$$

где  $\eta$  – коэффициент влияния формы сечения, определяемый по табл. 3 приложения Г;

$m = \frac{eA}{W_c}$  – относительный эксцентрикситет (здесь  $e$  – эксцентрикситет;  $W_c$  –

момент сопротивления сечения для наиболее сжатого волокна).

Расчет на устойчивость выполнять не требуется для сплошностенчатых стержней при  $m_{ef} > 10$ ;

б) для сквозных стержней с решетками или планками, расположенными в плоскостях, параллельных плоскости изгиба, – по табл. 2 приложения Г в зависимости от условной приведенной гибкости, определяемой по формуле

$$\bar{\lambda}_{ef} = \lambda_{ef} \sqrt{\frac{r}{e}} \quad (32)$$

и относительного эксцентрикса  $m$ , определяемого по формулам

$$\left. \begin{array}{l} m_x = e_x \frac{Ay_1}{L_x} \\ m_y = e_y \frac{Ax_y}{L_y} \end{array} \right\} \quad (33)$$

где  $x_1, y_1$  – расстояния соответственно от оси  $y-y$  или  $x-x$  до оси наиболее сжатой ветви, но не менее расстояния до оси стенки ветви.

6.17 Расчетные значения изгибающих моментов  $M$  необходимые для вычисления эксцентрикса  $e = \frac{M}{N}$ , рекомендуется принимать равными:

- а) для стержней постоянного сечения рамных систем – наибольшему моменту в пределах длины стержней;
- б) для ступенчатых стержней – наибольшему моменту на длине участка постоянного сечения;
- в) для консолей – моменту в заделке, но не менее момента в сечении, отстоящем на треть длины стержня от заделки;
- г) для сжатых стержней с шарнирно-опертыми концами и сечениями, имеющими одну ось симметрии, совпадающую с плоскостью изгиба, – моменту, определяемому по формулам табл. 18.

Для сжатых стержней с шарнирно-опертыми концами и сечениями, имеющими две оси симметрии, приведенные относительные эксцентриксы  $m_{ef}$  рекомендуется определять по табл. 4 приложения Г.

Таблица 18

Относительный эксцентризитет, соответствующий $M_{max}$	Расчетные значения $M$ при условной гибкости стержня	
	$\bar{\lambda} < 4$	$\bar{\lambda} > 4$
$m \leq 3$	$M = M_2 = M_{max} - \frac{\bar{\lambda}}{4}(M_{max} - M_1)$	$M = M_1$
$3 < m \leq 10$	$M = M_2 + \frac{m-3}{7}(M_{max} - M_2)$	$M = M_1 + \frac{m-3}{7}(M_{max} - M_1)$

*Обозначения, принятые в табл. 18:*

$M_{max}$  – наибольший изгибающий момент в пределах длины стержня;

$M_1$  – наибольший изгибающий момент в пределах средней трети длины стержня, но не менее  $0,5 M_{max}$ ;

$M$  – относительный эксцентризитет, определяемый по формуле

$$m = \frac{M_{max} A}{N W_c}$$

*Примечание* – Во всех случаях рекомендуется принимать  $M > 0,5 M_{max}$

6.18 Расчет на устойчивость внецентренно сжатых элементов постоянного сечения из плоскости действия момента при их изгибе в плоскости наибольшей жесткости ( $I_x > I_y$ ), совпадающей с плоскостью симметрии, рекомендуется выполнять по формуле

$$\frac{N}{c \varphi_y A} \leq R \gamma_c \quad (34)$$

где  $c$  – коэффициент, вычисляемый по формуле (35).

6.19 Коэффициент  $c$  рекомендуется определять по формуле

$$c = \frac{\beta}{1 + \alpha m_x}, \quad (35)$$

где  $\alpha, \beta$  – коэффициенты, принимаемые по табл. 19.

При определении  $m_x$ , за расчетный момент  $M_x$  рекомендуется принимать:

а) для стержней с шарнирно–опертыми концами, закрепленными от смещения перпендикулярно плоскости действия момента, – максимальный момент в пределах средней трети длины (но не менее половины момента, наибольшего на длине стержня);

б) для консолей – момент в заделке (но не менее момента в сечении, отстоящем от заделки на треть длины стержня).

Таблица 19

Тип сечения	Значения коэффициентов		
	$\alpha$ при $1 \leq m_x \leq 5$	$\beta$ при	
		$\lambda_y \leq \lambda_c$	$\lambda_y > \lambda_c$
Открытое	$0,75 + 0,05m_x$	1	$\sqrt{\frac{\varphi_c}{\varphi_y}}$
	$1 - (0,25 - 0,05m_x) \frac{I_2}{I_1}$	1	$1 - (1 - \sqrt{\frac{\varphi_c}{\varphi_y}})(2 \frac{I_2}{I_1} - 1)$
Замкнутое или сквозное с решетками (или планками)	$0,55 + 0,05m_x$	1	$\sqrt{\frac{\varphi_c}{\varphi_y}}$

*Обозначения, принятые в табл. 19:*

$I_1, I_2$  – моменты инерции соответственно большей и меньшей полок относительно оси симметрии сечения  $y-y$ ;

$\varphi_c$  – значение  $\varphi_y$  при  $\lambda_y = \lambda_c = 3,8\sqrt{\frac{E}{R}}$

**П р и м е ч а н и я**

1 Значения коэффициентов  $a$  и  $b$  для сквозных стержней с решетками (или планками) рекомендуется принимать только при наличии не менее двух промежуточных диафрагм по длине стержня. В противном случае рекомендуется принимать коэффициенты, установленные для стержней открытого двутаврового сечения.

2 При значениях  $m_x < 1$  или  $m_x > 5$  рекомендуется принимать соответственно  $m_x = 1$  или  $m_x = 5$ .

При гибкости  $\lambda_y > \lambda_c = 3,8\sqrt{\frac{E}{R}}$  коэффициент  $c$  не должен превышать для

стержней:

замкнутого сечения – единицы;

двутаврового сечения с двумя осями симметрии – значений, определяемых по формуле

$$c_{max} = \frac{2}{1 + \delta + \sqrt{(1 - \delta)^2 + \frac{16}{\mu} \left( \frac{M_x}{Nh} \right)^2}} \quad (36)$$

где  $\delta = \frac{4\rho}{\mu}$ ;  $\rho = \frac{L_x + L_y}{Ah^2}$

$h$  – расстояние между осями поясов;

$$\mu = 2 + 0,156 \frac{I_t}{Ah^2} \lambda_y^2;$$

$$I_t = 0,433 \sum b_i t_i^3.$$

6.20 Внекентренно сжатые элементы, изгибающиеся в плоскости наименьшей жесткости ( $I_y < I_x$  и  $e_y \neq 0$ ) при  $\lambda_x > \lambda_y$ , рекомендуется рассчитывать по формуле (30), а также проверять на устойчивость из плоскости действия момента как центрально–сжатые стержни по формуле

$$\frac{N}{\varphi_x A} \leq R\gamma_c \quad (37)$$

При  $\lambda_x \leq \lambda_y$  проверка устойчивости из плоскости действия момента не требуется.

6.21 В сквозных внекентренно сжатых стержнях с решетками, расположенными в плоскостях, параллельных плоскости изгиба, кроме расчета на устойчивость стержня в целом по формуле (30) рекомендуется проверить отдельные ветви как центрально–сжатые стержни по формуле (2).

Продольную силу в каждой ветви рекомендуется определять с учетом дополнительного усилия от момента; величину этого усилия при параллельных ветвях (поясах) необходимо определять по формуле

$$N_{ad} = \frac{M}{b}$$

где  $b$  – расстояние между осями ветвей (поясов).

Отдельные ветви внекентренно сжатых сквозных элементов с планками рекомендуется проверять на устойчивость как внекентренно сжатые элементы с учетом усилий от момента и местного изгиба ветвей от фактической или условной поперечной силы (как в поясах безраскосной фермы).

6.22 Расчет на устойчивость сплошностенчатых стержней, подверженных сжатию и изгибу в двух главных плоскостях, при совпадении плоскости наибольшей жесткости ( $L_x > L_y$ ) с плоскостью симметрии рекомендуется выполнять по формуле

$$\frac{N}{\varphi_{exy} A} \leq R\gamma_c, \quad (38)$$

где  $\varphi_{exy} = \varphi_{ey} \sqrt{c}$ ,

здесь  $\varphi_{ey}$  – рекомендуется определять согласно требованиям п. 6.16;

$c$  – необходимо определять согласно требованиям п. 6.19.

Если  $m_{ef,y} < 2m_x$ , то кроме расчета по формуле (38) рекомендуется произвести дополнительную проверку по формулам (30) и (34), принимая  $e_y=0$ .

Значения относительных эксцентрикитетов рекомендуется определять по формулам

$$m_x = e_x \frac{A}{W_{cx}} \text{ И } m_y = e_y \frac{A}{W_{cy}}, \quad (39)$$

где  $w_{cx}$ ,  $w_{cy}$  – моменты сопротивления сечений для наиболее сжатого волокна относительно осей соответственно  $x-x$  и  $y-y$ .

Если  $\lambda_x > \lambda_y$ , то кроме расчета по формуле (38) рекомендуется произвести дополнительную проверку по формуле (30), принимая  $e_y=0$ . В случае несовпадения плоскости наибольшей жесткости ( $L_x > L_y$ ) с плоскостью симметрии расчетное значение  $m_x$  рекомендуется увеличить на 25 %.

6.23 Расчет на устойчивость сквозных стержней из двух сплошностенчатых ветвей, симметричных относительно оси  $y-y$  (рис. 5), с решетками в двух параллельных плоскостях, подверженных сжатию и изгибу в обеих главных плоскостях, рекомендуется выполнять:

для стержней в целом – в плоскости, параллельной плоскостям решеток, согласно требованиям п. 6.16, принимая  $e_y=0$  (см. рис. 5);

для отдельных ветвей – как внецентренно сжатых элементов по формулам (30) и (34), при этом продольную силу в каждой ветви рекомендуется определять с учетом усилия от момента  $M_x$  (см. п. 6.21), а момент  $M_y$  – распределять между ветвями пропорционально их жесткостям;

если момент  $M_y$  действует в плоскости одной из ветвей, то рекомендуется считать его полностью передающимся на эту ветвь.

При проверке отдельной ветви по формуле (34) гибкость ее определяется по максимальному расстоянию между узлами решетки.

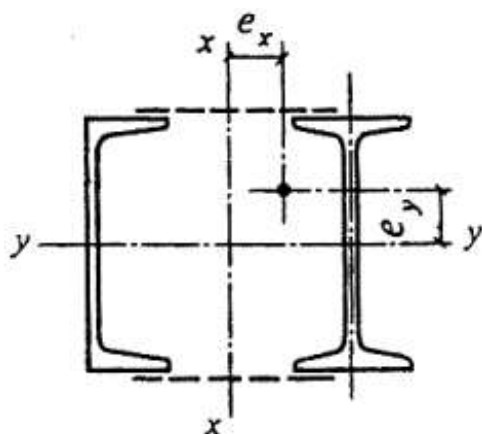


Рис. 5. Сечение составного элемента из двух сплошноСтенчатых ветвей с решетками в двух параллельных плоскостях

6.24 Расчет соединительных элементов (планок или решеток) сквозных внецентренно сжатых стержней рекомендуется выполнять согласно требованиям пп. 6.7–6.9 на наибольшую поперечную силу – фактическую  $Q$  или условную  $Q_{fic}$ .

В случае, когда фактическая поперечная сила больше условной, соединять планками ветви сквозных внецентренно сжатых элементов, как правило, не рекомендуется.

## 7 Расчетная длина и предельная гибкость элементов алюминиевых конструкций

### Расчетная длина

7.1 Расчетную длину  $l_{ef}$  элементов плоских ферм и связей, за исключением элементов перекрестной решетки ферм (рис. 6,г), рекомендуется принимать по табл. 20.

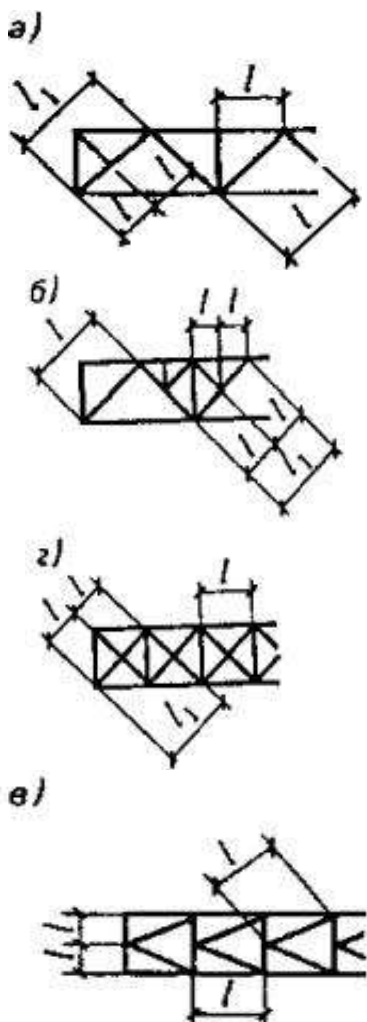


Рис. 6. Схемы решеток ферм для определения расчетной длины элементов  
а – треугольной с раскосом в крайней панели; б – треугольной со

шпренгелем;

в – полураскосной; г – перекрестной

Направление продольного изгиба	Расчетная длина $l_{ef}$		
	поясов	опорных раскосов и стоек	прочих элементов решетки
В плоскости фермы	$l$	$l$	$0,8l$
В направлении, перпендикулярном плоскости фермы (из плоскости фермы)	$l_1$	$l_1$	$l_1$

*Обозначения, принятые в табл. 20 и на рис. 6:*

*L – геометрическая длина элемента (расстояние между центрами узлов) в плоскости фермы;*

*$l_1$  – расстояние между узлами, закрепленными от смещения из плоскости фермы (специальными связями, жесткими плитами покрытий, прикрепленными к поясу сварными швами или болтами, и т. п.).*

7.2 Расчетную длину  $l_{ef}$  элемента, по длине  $l_1$  которого действуют сжимающие усилия  $N_1$  и  $N_2$  ( $N_1 > N_2$ ), из плоскости фермы (рис. 7) рекомендуется вычислять по формуле

$$l_{ef} = l_1 \left( 0,75 + 0,25 \frac{N_2}{N_1} \right) \quad (40)$$

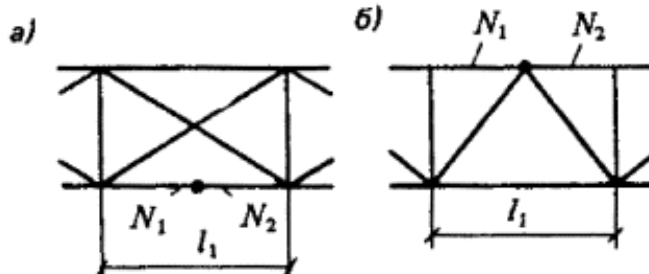


Рис. 7 Схемы для определения расчетной длины элемента с различными усилиями  $N_1$  и  $N_2$  (по его длине)

*a – схема связей между фермами (вид сверху); б – схема фермы*

Расчет на устойчивость в этом случае рекомендуется выполнять на большую силу  $N_1$ .

7.3 Расчетную длину  $l_{ef}$  элементов перекрестной решетки (см. рис. 6, г) рекомендуется принимать:

в плоскости фермы – равной расстоянию от центра узла фермы до точки их пересечения ( $l_{ef} = l$ );

из плоскости фермы: для сжатых элементов – по табл. 21; для растянутых элементов – равной полной геометрической длине элемента ( $l_{ef}=l$ ).

Т а б л и ц а 21

Конструкция узла пересечения элементов решетки	Расчетная длина $l_{ef}$ из плоскости фермы при поддерживающем элементе		
	растянутом	неработающем	сжатом
Оба элемента не прерываются	$l$	$0,7l$	$l_1$
Поддерживающий элемент прерывается и перекрывается фасонкой	$0,7l_1$	$l_1$	$1,4l_1$
<i>Обозначения, принятые в табл. 21 и на рис. 6 г:</i>			
$L$ – расстояние от центра узла фермы до пересечения элементов;			
$l_1$ – полная геометрическая длина элемента.			

7.4 Радиусы инерции  $i$  сечений элементов перекрестной решетки из одиночных уголков рекомендуется принимать:

при расчетной длине элемента, равной  $l$  (где  $l$  – расстояние между ближайшими узлами), – минимальными ( $i=i_{min}$ );

в остальных случаях – относительно оси уголка, перпендикулярной или параллельной плоскости фермы ( $i = i_x$  или  $i = i_y$  – в зависимости от направления продольного изгиба).

7.5 Расчетную длину  $l_{ef}$  и радиусы инерции сечений  $i$  элементов пространственных решетчатых конструкций из одиночных уголков рекомендуется принимать по табл. 22.

7.6 Расчетную длину  $l_{ef}$  колонн (стоец) рекомендуется определять по формуле

$$l_{ef} = \mu l$$

где  $l$  – длина колонны или ее отдельного участка.

Коэффициенты расчетной длины  $\mu$  колонн (стоец) постоянного сечения в зависимости от условий закрепления их концов и вида нагрузки рекомендуется принимать по табл. 26. Применение алюминия в колоннах допускается в сборно–разборных конструкциях или при наличии агрессивной среды.

Т а б л и ц а 22

Конструкция	Расчетная длина $l_{ef}$ и радиус инерции сечения $i$				
	поясов		решетки		
	$l_{ef}$	$i$	$l_{ef}$		$i$
			раскоса	стойки	
С узлами, совмещенными в смежных гранях (рис. 8, а, б)	$l_m$	$i_{min}$	$m_d l_d$	$0,8l_c$	$i_{min}$
С узлами, не совмещенными в смежных гранях (рис. 8, в, г)	$m_m l_m$	$i_x$ или $i_y$	$m_d l_d$	—	$i_{min}$

*Обозначения, принятые в табл. 22:*

$i_m$  – длина панели пояса фермы (при несовмещенных узлах принимается равной расстоянию между узлами одной грани; см. рис. 8, в, г);

$\mu_m$  – коэффициент расчетной длины пояса (при прикреплении раскосов к поясу сварными швами или двумя болтами или заклепками и более, расположенными вдоль раскоса) рекомендуется определять по табл. 23; при прикреплении раскосов к поясу одним болтом рекомендуется принимать

$$\mu_m = 1,14;$$

$i_{min}$  – минимальный радиус инерции сечения (пояса или решетки);

$l_d, l_c$  – см. рис. 8;

$i_x, i_y$  – радиусы инерции поперечного сечения уголка относительно осей  $x$  и  $y$ , параллельных полкам;

$\mu_d$  – коэффициент расчетной длины раскоса при прикреплении его к поясу сварными швами или двумя болтами или заклепками и более, расположенными вдоль раскоса, рекомендуется определять по табл. 24, при прикреплении раскосов к поясу одним болтом или одной заклепкой – по табл. 25.

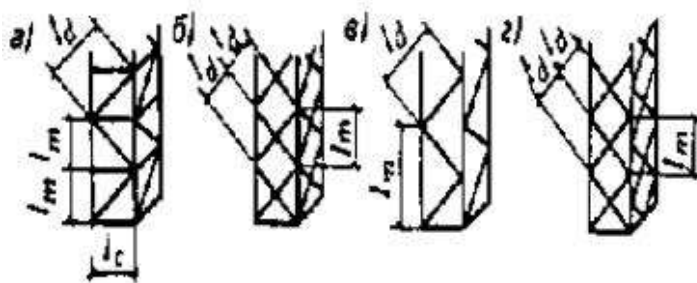


Рис. 8 Схемы пространственных решетчатых конструкций из одиночных уголков  
 а – схема с совмещенными в смежных гранях узлами (треугольная решетка с распорками); б – то же (перекрестная решетка); в – схема с не совмещенными в смежных гранях узлами (треугольная решетка); г – то же (перекрестная решетка)

Таблица 23

$n$	10	5	2.5	1,25	1
$\mu_m$	1,13	1,08	1,03	1,00	0,98

Обозначение, принятное в табл. 23:

$n = \frac{L_{m,min} L_d}{L_{d,min} L_m}$ , где  $I_{m,min}$ ,  $I_{d,min}$  – минимальные моменты инерции сечения

соответственно пояса и раскоса фермы.

Примечание – Для промежуточных значений  $n$  коэффициент  $\mu_m$  рекомендуется определять линейной интерполяцией.

Таблица 24

$n$	Значения $\mu_d$ при $\frac{l_d}{i_{min}}$							
	60	80	100	120	140	160	180	200
$\leq 2$	0,89	0,81	0,77	0,74	0,72	0,70	0,65	0,61
$\geq 6$	0,86	0,78	0,74	0,71	0,69	0,66	0,62	0,59

Обозначения, принятые в табл. 24:

$n$  – см. табл 23;

$l_d$  – см. рис. 8;

$i_{min}$  – минимальный радиус инерции сечения раскосов.

Примечание – Для промежуточных значений  $n$  и отношения  $\frac{l_d}{i_{min}}$  коэффициент  $\mu_d$

рекомендуется определять линейной интерполяцией

Таблица 25

$\frac{l_d}{i_{min}}$	60	80	100	$\geq 120$
$\mu_d$	0,89	0,81	0,77	0,74

Обозначения те же, что в табл. 24.

П р и м е ч а н и е – Для промежуточных значений отношения  $\frac{l_d}{i_{min}}$  коэффициент  $\mu_d$

рекомендуется определять линейной интерполяцией.

Таблица 26

Схема закрепления колонн (стоец) и нагрузка	$\mu$	Схема закрепления колонн (стоец) и нагрузка	$\mu$
	2		1
	1		2
	0,7		0,725
	0,5		1,12

7.7 Коэффициенты расчетной длины  $m$  колонн постоянного сечения одноэтажных рам (в плоскости рамы) при жестком креплении ригелей к колоннам и при нагружении верхних узлов рекомендуется определять по формулам при закреплении колонн в фундаментах:

*шарнирном*

$$\mu = 2 \sqrt{1 + \frac{0,38}{n}}; \quad (41)$$

*жестком*

$$\mu = \sqrt{\frac{n+0,56}{n+0,14}} \quad (42)$$

В формулах (41) и (42):

$$n = \frac{l_c}{I_c} \left( \frac{I_{r1}}{l_{r1}} + \frac{I_{r2}}{l_{r2}} \right),$$

где  $I_c$ ,  $l_c$  – соответственно момент инерции сечения и длина проверяемой колонны;

$I_{r1}$ ,  $I_{r2}$  – соответственно моменты инерции;

$l_{r1}$ ,  $l_{r2}$  – сечения и длина ригелей, примыкающих к этой колонне.

При шарнирном креплении ригелей к колонне в формуле (42) рекомендуется принимать  $n=0$ .

7.8 Расчетную длину колонн рам в направлении вдоль здания (из плоскости рамы) рекомендуется принимать равной расстоянию между точками, закрепленными от смещения из плоскости рамы (опорами колонн, подкрановых балок и подстропильных ферм, узлами крепления связей и ригелей и т.п.). Расчетную длину допускается определять на основе расчетной схемы, учитывающей фактические условия закрепления концов колонн.

### Пределная гибкость элементов

7.9 Гибкость сжатых элементов не должна превышать значений, приведенных в табл. 27.

Т а б л и ц а 27

Элементы конструкций	Предельная гибкость сжатых элементов
Пояса, опорные раскосы и стойки ферм, передающие опорные реакции	100
Прочие элементы ферм	120
Колонны второстепенные (стойки фахверка, фонарей и т. п.), элементы решетки колонн	120
Связи	150
Стержни, служащие для уменьшения расчетной длины сжатых стержней, и другие ненагруженные элементы	150
Элементы ограждающих конструкций: симметрично нагруженные	100
несимметрично нагруженные (крайние и угловые стойки витражей и т.д.)	70
П р и м е ч а н и е – Приведенные в табл. 27 данные относятся к элементам с сечением, симметричным относительно действия сил. При сечениях, несимметричных относительно действия сил, предельную гибкость надлежит уменьшать на 30 %.	

7.10 Гибкость растянутых элементов не должна превышать значений, приведенных в табл. 28.

Т а б л и ц а 28

Элементы конструкций	Предельная гибкость растянутых элементов
Пояса и опорные раскосы ферм	300
Прочие элементы ферм	300
Связи (кроме элементов, подвергающихся предварительному натяжению)	300
<p>П р и м е ч а н и я</p> <p>1 Гибкость растянутых элементов проверяется только в вертикальной плоскости.</p> <p>2 При проверке гибкости растянутых стержней перекрестной решетки из одиночных уголков радиус инерции принимается относительно оси, параллельной полке уголка.</p> <p>3 Стержни перекрестной решетки в месте пересечения должны быть скреплены между собой.</p> <p>4 Для растянутых раскосов стропильных ферм с незначительными усилиями, в которых при неблагоприятном расположении нагрузки может изменяться знак усилия, предельная гибкость принимается как для сжатых элементов, при этом соединительные прокладки должны устанавливаться не реже чем через <math>40i</math>.</p>	

## 8 Проверка устойчивости стенок и поясных листов изгибаемых и сжатых элементов

### Стенки балок

8.1 Стенки балок для обеспечения их устойчивости рекомендуется укреплять двусторонними ребрами:

поперечными основными, поставленными на всю высоту стенки;

поперечными основными и продольными;

поперечными основными и промежуточными, расположенными в сжатой зоне стенки, короткими – только в клепаных балках.

8.2 Расчет на устойчивость стенок балок рекомендуется выполнять с учетом всех компонентов напряженного состояния:  $\sigma, \tau, \sigma_{loc}$ . Напряжения  $\sigma, \tau, \sigma_{loc}$  рекомендуется вычислять в предположении упругой работы материала по сечению брута без учета коэффициента.

Сжимающее (краевое) напряжение  $\sigma$  на расчетной границы стенки (со знаком «плюс») и среднее касательное напряжение  $\tau$  рекомендуется вычислять по формулам:

$$\sigma = \frac{M}{L_x} y; \quad (43)$$

$$\tau = \frac{Q}{th}, \quad (44)$$

где  $h$  – полная высота стенки;

$M, Q$  – средние значения соответственно момента и поперечной силы в пределах отсека; если длина отсека больше его расчетной высоты, то  $M$  и  $Q$  рекомендуется вычислять для более напряженного участка длиной, равной высоте отсека; если в пределах отсека момент или поперечная сила меняют знак, то их средние значения рекомендуется вычислять на участке отсека с одним знаком.

Местное напряжение  $\sigma_{loc}$  в стенке под сосредоточенной нагрузкой рекомендуется определять согласно требованиям приложения Д.

При проверке устойчивости прямоугольных отсеков стенки, заключенных между поясами и соседними поперечными основными ребрами жесткости, расчетными размерами пластинки являются:

$a$  – расстояние между осями поперечных ребер;

$h_{ef}$  – расчетная высота стенки, равная: в балках с поясными соединениями на высокопрочных болтах – расстоянию между ближайшими к оси балки краями

поясных уголков; в клепаных балках – расстоянию между ближайшими к оси балки рисками поясных уголков; в сварных балках – полной высоте стенки; в прессованных профилях – высоте в свету между полками;

$t$  – толщина стенки.

8.3 Устойчивость стенок балок не требуется проверять, если условная гибкость стенки  $\bar{\lambda}_w = \frac{h_{ef}}{t} \sqrt{\frac{R}{E}}$  не превышает предельных значений:

$$75(1 - 95\frac{R}{E})\sqrt{\frac{R}{E}} \text{ – для сварных или прессованных балок;}$$

$$115(1 - 123\frac{R}{E})\sqrt{\frac{R}{E}} \text{ – для балок клепаных, на болтах и высокопрочных}$$

болтах.

При наличии местных напряжений в стенках балок указанные предельные значения  $\bar{\lambda}_w$  рекомендуется умножать на коэффициент 0,7.

Стенки балок рекомендуется укреплять поперечными ребрами жесткости (см. п. 8.6) при  $\bar{\lambda}_w > 2,5$ .

8.4 В балках с местной нагрузкой по верхнему поясу устойчивость стенки рекомендуется проверять в соответствии с указаниями приложения Д.

8.5 Расчет на устойчивость стенок балок симметричного сечения, укрепленных только поперечными основными ребрами жесткости, при отсутствии местного напряжения ( $\sigma_{loc} = 0$ ) рекомендуется выполнять по формуле

$$\sqrt{\left(\frac{\sigma}{\sigma_{cr}}\right)^2 + \left(\frac{\tau}{\tau_{cr}}\right)^2} \leq \vartheta \gamma_c, \quad (45)$$

$$\text{где } \sigma_{cr} = 30 \frac{R}{\lambda_w^2}; \quad (46)$$

$$\tau_{cr} = 10,3 \left(1 + \frac{0,76}{\mu^2}\right) \frac{R_s}{\lambda_d}; \quad (47)$$

$$\vartheta = 1 - \frac{11 \left(\frac{\sigma_i}{R} - 0,7\right)^2}{1 + 507 \frac{R}{E}} \quad (48)$$

(при  $\frac{\sigma_i}{R} \leq 0,7$  рекомендуется принимать  $\vartheta = 1$ . Значения  $\frac{\sigma_i}{R} > 1$  не допускаются);  $\gamma_c$  рекомендуется принимать по табл. 15.

В формулах (45) – (48):

$m$  – отношение большей стороны пластиинки к меньшей;

$\bar{\lambda}_d = \frac{d}{t} \sqrt{\frac{R}{E}}$  – условная гибкость пластиинки высотой  $d$  (здесь  $d$  – меньшая из сторон  $h_{ef}$  или  $a$  пластиинки);

$$\sigma_i = \sqrt{\frac{4}{9}\sigma^2} \quad (49)$$

В стенке балки симметричного сечения (при отсутствии местного напряжения), укрепленной кроме поперечных основных ребер одним продольным ребром, расположенным на расстоянии  $h_1$  от расчетной (сжатой) границы отсека, обе пластиинки, на которые это ребро разделяет отсек, рекомендуется рассчитывать отдельно:

а) пластиинку, расположенную между сжатым поясом и продольным ребром, – по формуле

$$\frac{\sigma}{\sigma_{crl}} + \left( \frac{\tau}{\tau_{crl}} \right)^2 \leq 9\gamma_c, \quad (50)$$

где

$$\sigma_{crl} = \frac{4,76}{1 - \frac{h_1}{h_{ef}}} \frac{R}{\lambda_1^2} \quad (51)$$

(здесь  $\bar{\lambda}_1 = \frac{h_1}{t} \sqrt{\frac{R}{E}}$  – условная гибкость пластиинки высотой  $h_1$ );

$\tau_{crl}$  – рекомендуется определять по формуле (47) с подстановкой размеров проверяемой пластиинки;

$\gamma_c$  – рекомендуется определять по формуле (48), принимая при этом

$$\sigma_i = \sqrt{\left( 1 - \frac{h_1}{h_{ef}} \right)^2 \sigma^2 + 3(0,9\tau)^2};$$

$\gamma_c$  – рекомендуется принимать по табл. 15;

б) пластиинку, расположенную между растянутым поясом и продольным ребром, – по формуле

$$\sqrt{\frac{\sigma^2 \left( 1 - 2 \frac{h_1}{h_{ef}} \right)^2}{\sigma_{cr2}^2} + \left( \frac{\tau}{\tau_{cr2}} \right)^2} \leq \gamma_c \quad (52)$$

где  $\sigma_{cr2} = \frac{5,43}{\left( 0,5 - \frac{h_1}{h_{ef}} \right)^2} \frac{R}{\lambda_w^2}$

3)

$\tau_{cr2}$  – рекомендуется определять по формуле (47) с подстановкой размеров проверяемой пластиинки;

$\tau_c$  – рекомендуется принимать по табл. 15.

8.6 В стенке, укрепленной только поперечными ребрами жесткости, ширина их выступающей части  $b_h$  должна быть для парного симметричного ребра не менее  $\frac{h_{ef}}{30} + 40$  мм; толщина ребра  $t_s$  должна быть не менее  $\frac{b_h}{12}$  расстояние между ребрами не должно превышать  $2h_{ef}$ .

8.7 При укреплении стенки поперечными ребрами и одним продольным ребром необходимые моменты инерции  $I_s$  сечений ребер жесткости рекомендуется определять:

для поперечных ребер – по формуле  $I_s = 3h_{ef}t^3$  (54)

для продольного ребра – по формулам табл. 29 с учетом их предельных значений.

При расположении продольного и поперечных ребер с одной стороны стенки моменты инерции сечений каждого из них вычисляются относительно оси, совпадающей с гранью стенки, ближайшей к ребру.

Т а б л и ц а 29

$\frac{h_1}{h_{ef}}$	Необходимый момент инерции сечения продольного ребра $I_{sl}$	Пределевые значения	
		минимальные $I_{sl,min}$	максимальные $I_{sl,max}$
0,20	$(2,5 - 0,5 \frac{a}{h_{ef}}) \frac{a^2 t^3}{h_{ef}}$	$1,5 h_{ef} t^3$	$7 h_{ef} t^3$
0,25	$(1,5 - 0,4 \frac{a}{h_{ef}}) \frac{a^2 t^3}{h_{ef}}$	$1,5 h_{ef} t^3$	$3,5 h_{ef} t^3$
0,30	$1,5 h_{ef} t^3$	–	–
П р и м е ч а н и е – При вычислении $I_{sl}$ для промежуточных значений $\frac{h_1}{h_{ef}}$ допускается линейная интерполяция.			

8.8 Участок стенки балки составного сечения над опорой при укреплении его ребрами жесткости рекомендуется рассчитывать на продольный изгиб из плоскости как стойку, нагруженную опорной реакцией. В расчетное сечение этой стойки рекомендуется включать сечение ребра жесткости и полосы стенки шириной  $0,5t\sqrt{\frac{E}{R}}$  с каждой стороны ребра. Расчетную длину стойки рекомендуется принимать равной высоте стенки.

Нижние торцы опорных ребер жесткости должны быть плотно пригнаны или приварены к нижнему поясу балки и рассчитаны на воздействие опорной реакции.

### **Стенки центрально-, внецентренно сжатых и сжато-изгибаемых элементов**

8.9 Для центрально-сжатых элементов условную гибкость стенки  $\bar{\lambda}_w = \frac{h_{ef}}{t} \sqrt{\frac{R}{E}}$  рекомендуется принимать не более значений, определяемых по формулам табл. 30.

При назначении сечения элемента по предельной гибкости, а также при соответствующем обосновании расчетом наибольшие значения  $\bar{\lambda}_w$  рекомендуется умножать на коэффициент  $\sqrt{\frac{R\phi}{\sigma}}$  (где  $\sigma = \frac{N}{A}$ ), но не более чем в 1,5 раза. При этом значения  $\bar{\lambda}_w$  рекомендуется принимать не более 5,3.

Т а б л и ц а 30

Сечение элемента	Наибольшие значения $\bar{\lambda}_w$ при значениях условной гибкости стержня	
	$\bar{\lambda} \leq 1$	$\bar{\lambda} \geq 5$
Двутавровое	$\frac{52}{\sqrt{\frac{E}{R} + 507}}$	3,1
Н–образное	$\frac{46}{\sqrt{\frac{E}{R} + 507}}$	3,5
Швеллерное, трубчатое прямоугольное ( $h_{ef}$ – для большей стенки)	$\frac{42}{\sqrt{\frac{E}{R} + 507}}$	2,5
Трубчатое квадратное	$\frac{37}{\sqrt{\frac{E}{R} + 507}}$	2,25
<b>П р и м е ч а н и я</b>		
1 Приведенные в табл. 30 данные относятся к сварным и прессованным профилям. В клепанных элементах значения $\bar{\lambda}_w$ табл. 31 рекомендуется увеличивать на 5%.		
2 При вычислении $\bar{\lambda}_w$ для промежуточных значений $\bar{\lambda}$ допускается линейная интерполяция между значениями при $\bar{\lambda}=1$ и $\bar{\lambda}=5$ .		

8.10 Для внецентренно сжатых и сжато-изгибаемых элементов условную гибкость стенки  $\bar{\lambda}_w$  рекомендуется определять в зависимости от значения  $\alpha = \frac{\sigma - \sigma_1}{\sigma}$  (где  $\sigma$  – наибольшее сжимающее напряжение у расчетной границы стенки, принимаемое со знаком «плюс» и вычисленное без учета коэффициентов  $\Phi_e$ ,  $\Phi_{exy}$  или ср  $\sigma_1$  – соответствующее напряжение у противоположной расчетной границы стенки) и принимать не более значений, определяемых при:

$\alpha \leq 0,5$  – по п. 6.9;

$\alpha \geq 1$  – по формуле

$$\bar{\lambda}_w \leq 3,1 \sqrt{\frac{R}{\sigma} (2\alpha - 1)}; \quad (55)$$

$0,5 < \alpha < 1$  – линейной интерполяцией между значениями, вычисленными при  $\alpha=0,5$  и  $\alpha=1$ .

8.11 При укреплении стенки внецентренно сжатого или сжато–изгибающегося элемента продольным ребром жесткости с моментом инерции  $I_{s1} \geq 6h_{ef}t^3$ , расположенным посередине стенки, наиболее нагруженную часть стенки между поясом и осью ребра рекомендуется рассматривать как самостоятельную пластинку и проверять согласно требованиям п. 8.10.

Продольные ребра жесткости рекомендуется включать в расчетные сечения элементов.

Если устойчивость стенки не обеспечена, то в расчет рекомендуется вводить два крайних участка стенки шириной по  $0,6\sqrt{\frac{E}{R}}$ , считая от границ расчетной высоты.

8.12 Стенки сплошных колонн и стоек при  $\bar{\lambda}_w \geq 2,5$  рекомендуется укреплять поперечными ребрами жесткости, расположенными на расстоянии  $2h_{ef}$  одно от другого; на каждом отправочном элементе должно быть не менее двух ребер. При наличии продольного ребра расстояние между поперечными ребрами допускается увеличивать в 1,5 раза.

Минимальные размеры выступающей части поперечных ребер жесткости рекомендуется принимать согласно требованиям п. 8.6.

### **Поясные листы и полки центрально-, внецентренно сжатых, сжато-изгибаемых и изгибаемых элементов**

8.13 Расчетную ширину свеса поясных листов (полок)  $b_{ef}$  рекомендуется принимать равной расстоянию: в прессованных, прокатных сварных и клепанных

элементах без поясных листов – от грани стенки до края поясного листа (полки); в клепанных элементах с поясными листами – от ближайшей риски заклепок до свободного края листа. При наличии вута, образующего со свесом угол не менее  $30^\circ$ , расчетную ширину свеса рекомендуется измерять до начала вута (в случае выкружки – принимать вписанный вут).

8.14 В центрально-, внецентренно сжатых и сжато-изгибаемых элементах значение гибкости свеса поясного листа (полки)  $\bar{\lambda}_f = \frac{b_{ef}}{t} \sqrt{\frac{R}{E}}$  рекомендуется принимать не более значений, указанных в табл. 31 в зависимости от условной гибкости  $\bar{\lambda}$  и типа сечений (где  $b_{ef}$  принимается в соответствии с п. 8.13;  $t$  – толщина свеса). В случае недонапряжения элемента наибольшие значения  $\bar{\lambda}_f$  табл. 31 рекомендуется увеличивать в  $\sqrt{\frac{R\varphi_m}{\sigma}}$  раз, но не более чем в 1,5 раза, при этом значения  $\bar{\lambda}_f$  необходимо принимать не более 1,3 (здесь  $\varphi_m$  – меньшее из значений  $\varphi, \varphi_e, \varphi_{exy}, c, \varphi$ , использованное при проверке устойчивости стержня;  $\sigma = \frac{N}{A}$ ).

Т а б л и ц а 31

Характеристика полки (поясного листа) и сечения элемента	Наибольшие значения $\bar{\lambda}_f$ при значениях условной гибкости стержня	
	$\bar{\lambda} \leq 1$	$\bar{\lambda} \geq 5$
Неокаймленная двутавра и тавра	$\frac{14}{\sqrt{\frac{E}{R} + 507}}$	0,8
Неокаймленная большая неравнополочного уголка, стенка тавра и полка швеллера	$\frac{15}{\sqrt{\frac{E}{R} + 507}}$	0,8
Неокаймленная равнополочных уголков	$\frac{14}{\sqrt{\frac{E}{R} + 507}}$	0,7
П р и м е ч а н и е – При вычислении $\bar{\lambda}_f$ для промежуточных значений $\bar{\lambda}$ рекомендуется определять линейной интерполяцией между значениями при $\bar{\lambda}=1$ и $\bar{\lambda}=5$ .		

8.15 В изгибающихся элементах наибольшую гибкость свеса поясного листа (полки) прессованных, сварных и клепаных балок рекомендуется назначать с учетом предельных размеров свесов, приведенных в табл. 31 для  $\bar{\lambda} < 1$ .

Наибольшую гибкость свеса неокаймленных полок уголков в сжатых поясах клепаных балок без горизонтальных листов рекомендуется принимать по формуле

$$\bar{\lambda}_f = 0,6 + \sqrt{\frac{R}{E}} \quad (56)$$

В случае недонапряжения элемента наибольшую гибкость свеса поясного листа (полки) рекомендуется увеличить в  $\sqrt{\frac{R}{\sigma}}$  раз, но не более чем в 1,5 раза; здесь  $\sigma$  – большее из двух значений:

$$\sigma = \frac{M}{\phi_b W} \text{ или } \sigma = \left| \frac{M_x y}{L_{xn}} + \frac{M_y x}{L_{yn}} \right|$$

8.16 При усилении свободных свесов утолщениями (бульбами) наибольшее значение гибкости свеса  $\bar{\lambda}_{f1} = \frac{b_{ef1}}{t} \sqrt{\frac{R}{E}}$  [здесь  $b_{ef1}$  – расчетная ширина свеса поясных листов или полок, измеряемая от центра утолщения до грани примыкающей стенки (полки) или до начала вута; см. п. 8.13] рекомендуется определять по формуле

$$\bar{\lambda}_{f1} = k \bar{\lambda}_f, \quad (57)$$

где  $k$  – коэффициент, определяемый по табл. 32 в зависимости от  $\bar{\lambda}_f, \gamma_1, \bar{\lambda}$ ;

$\bar{\lambda}_f$  – наибольшее значение условной гибкости свеса при отсутствии утолщения, принимаемое по табл. 31.

Величина  $\gamma_1$  равна:

$$\gamma_1 = \frac{D}{t}$$

где  $D$  – размер утолщения, принимаемый равным диаметру круглой бульбы; в квадратных и трапециевидных утолщениях нормального профиля  $D$  – высота утолщения при ширине бульбы не менее  $1,5D$  в трапециевидных (рис. 9) и не менее  $D$  – в прямоугольных утолщениях.

Таблица 32

Сечение	$\bar{\lambda}_f$	$r_1$	Значения коэффициента $k$ в формуле (57) при гибкости $\bar{\lambda}$ равной	
			1	5
Швеллер, двутавр	$0,35 \leq \bar{\lambda}_f \leq 0,60$	2,5	1,06	1,35
		3,0	1,24	1,69
		3,5	1,46	2,05
	$0,75 \leq \bar{\lambda}_f \leq 0,90$	2,5	1,04	1,28
		3,0	1,20	1,59
		3,5	1,40	1,94
Уголок, тавр, крестовое	$0,35 \leq \bar{\lambda}_f \leq 0,60$	2,5	1,06	1,17
		3,0	1,24	1,47
		3,5	1,46	1,67
	$0,75 \leq \bar{\lambda}_f \leq 0,90$	2,5	1,04	1,13
		3,0	1,20	1,35
		3,5	1,40	1,67

Причина – Коэффициент  $k$  для промежуточных значений  $\bar{\lambda}_f$  от 0,6 до 0,75 и гибкости  $\bar{\lambda}$  от 1 до 5 определяется линейной интерполяцией.



Рис. 9. Схема утолщения (бульбы)

8.17 Расчет на устойчивость замкнутых круговых цилиндрических оболочек вращения, равномерно сжатых параллельно образующим, рекомендуется выполнять по формуле

$$\sigma_1 \leq \gamma_c \sigma_{cr1} \quad (58)$$

где  $\sigma_1$  – расчетное напряжение в оболочке;

$\sigma_{cr1}$  – критическое напряжение, равное меньшему из значений  $\psi R$  или  $\frac{cEt}{r}$

(здесь  $r$  – радиус срединной поверхности оболочки;  $t$  – толщина оболочки).

Значения коэффициентов  $\psi$  и  $c$  рекомендуется определять соответственно по табл. 33 и 34.

В случае внецентренного сжатия параллельно образующим или чистого изгиба в диаметральной плоскости при касательных напряжениях в месте наибольшего момента, не превышающих значений  $0,07E\left(\frac{t}{r}\right)^{\frac{3}{2}}$ , напряжение  $\sigma_{cr1}$  рекомендуется увеличить в  $\left(1,1 - 0,1 \frac{\sigma_1'}{\sigma_1}\right)$  раз, где  $\sigma_1'$  – наименьшее напряжение (растягивающие напряжения считать отрицательными).

8.18 В круглых трубах, рассчитываемых как сжатые или сжато–изгибаемые стержни по разд. 4, при условной гибкости  $\bar{\lambda} = \lambda \sqrt{\frac{R}{E}} \geq 0,65$  должно быть выполнено условие

$$\frac{r}{t} \leq \frac{280}{1 + 1400 \frac{R}{E}}$$

Кроме этого, устойчивость стенок таких труб должна быть проверена по п. 8.17.

Расчет на устойчивость стенок бесшовных труб не требуется, если  $\frac{r}{t}$  не превышает значений  $1,7 \sqrt{\frac{R}{E}}$  или 35.

Т а б л и ц а 33

Значение $R$ , МПа	Коэффициенты $\psi$ при $\frac{r}{t}$ , равном								
	0	25	50	75	100	125	150	200	250
$R \leq 140$	1,00	0,98	0,88	0,79	0,72	0,65	0,59	0,45	0,39
$R \geq 280$	1,00	0,94	0,78	0,67	0,57	0,49	0,42	0,29	–
П р и м е ч а н и е – Значения коэффициентов $\psi$ при $140 \text{ МПа} < R < 280 \text{ МПа}$ и для промежуточных значений $\frac{r}{t}$ вычисляются линейной интерполяцией.									

## Таблица 34

Значение $\frac{r}{t}$	$\leq 50$	100	150	200	250	500
Коэффициент $c$	0,30	0,22	0,20	0,18	0,16	0,12
П р и м е ч а н и е – Для промежуточных значений $\frac{r}{t}$ коэффициенты $c$ рекомендуется определять линейной интерполяцией.						

## 9 Расчет элементов конструкций с применением тонколистового алюминия

9.1 Тонколистовой алюминий (толщиной до 2 мм) рекомендуется применять в качестве элементов ограждающих и несущих конструкций:

- а) плоских листов, укрепленных ребрами или специальной штамповкой;
- б) плоских листов и лент, предварительно напряженных как в одном, так и в двух направлениях;
- в) гофрированных листов без укреплений или со специальными укреплениями.

### Элементы, работающие на сжатие и изгиб

9.2 При расчете на прочность сжатого в одном направлении плоского листа, шарнирно–опертого по контуру (рис. 10), в рабочую площадь включается часть листа размером  $2c$ , определяемым по формуле

$$c = 1,16t \sqrt{\frac{E}{R}}, \quad (59)$$

где  $t$  – толщина листа.

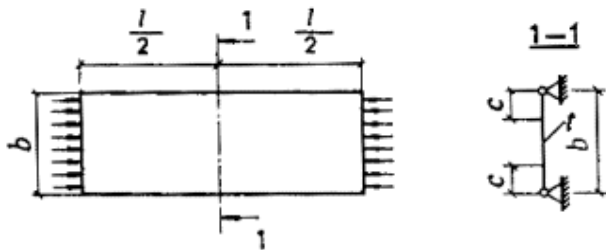


Рис. 10. Расчетная схема сжатого тонколистового элемента  
b – полная ширина сечения; c – рабочая ширина сечения

9.3 При расчете на прочность и деформативность тонколистовых конструкций, усиленных продольными ребрами, в которых плоский лист при действии продольной и поперечной нагрузок имеет сжимающие напряжения, в

рабочую площадь ребер рекомендуется включать часть листа размером  $c$  (рис. 11, а), определяемым по формуле (59).

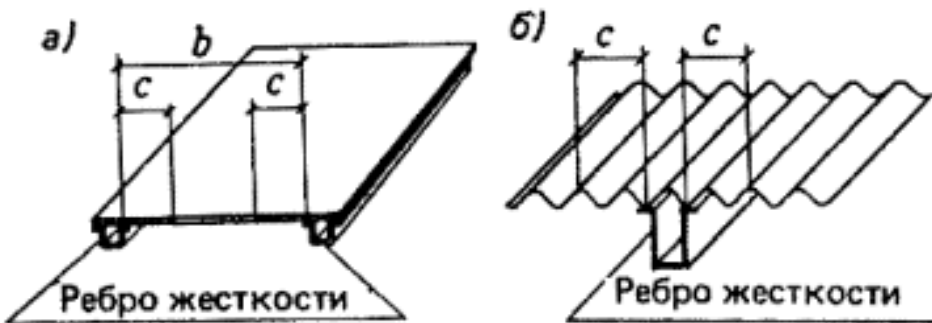


Рис. 11. Расчетная схема тонколистовых конструкций, усиленных продольными ребрами  $a$  – плоский лист;  $\delta$  – гофрированный лист

9.4 При расчете на прочность листов с волнистым и трапециевидным гофрами, шарнирно–опертых по контуру и сжимаемых в направлении гофров, при отношении  $\frac{a}{b} \geq 3$  (рис. 12, а) в рабочую площадь рекомендуется включать часть листа размером  $2c$ :

$$c = 1,04 \sqrt{\frac{K}{tdR} (\sqrt{D_x D_y} + D_{xy})} \quad (60)$$

где

$$D_x = EL_x; D_y = \frac{K}{d} \frac{Et^3}{12(1-\mu^2)};$$

$$D_{xy} = \mu D_y + \frac{d}{K} \frac{ct^3}{6}; I_x = \frac{I_{x1}}{2K},$$

Здесь  $K$ ,  $d$  – соответственно шаг и длина по периметру одной полуволны (рис. 13);  $I_{x1}$  – момент инерции одной волны.

Когда отношение  $\frac{a}{b} < 3$  или гофрированный лист разделяется поперечными ребрами, имеющими момент инерции  $I_s$  (см. п. 9.5), на ряд ячеек с соотношением сторон  $\frac{a}{b} < 3$  (см. рис. 12, б), значение  $c$  рекомендуется определять по формуле

$$c = 0,74 \sqrt{\frac{K}{tdR} (D_x \frac{b^2}{a^2} + 2D_{xy} + D_y \frac{b^2}{a^2})}. \quad (61)$$

В формуле (61) обозначения те же, что в формуле (60); значения  $a$  и  $b$  рекомендуется принимать по рис. 12.

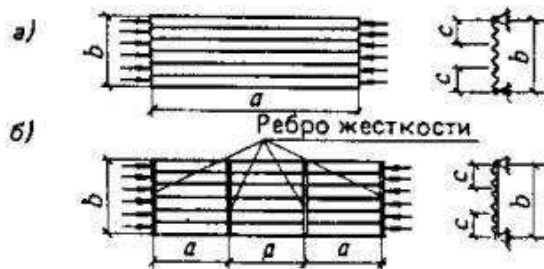


Рис. 12. Расчетная схема сжатого гофрированного листа  
а – без поперечных ребер жесткости; б – с поперечными ребрами жесткости

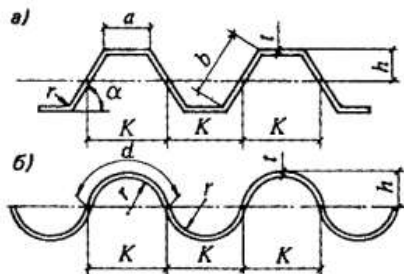


Рис. 13. Геометрические параметры для гофра  
а – трапециевидного; б – волнистого

При наличии продольных ребер (рис. 14) в рабочую площадь рекомендуется включать площадь этих ребер и часть листа размером  $c$  в каждую сторону от ребра.

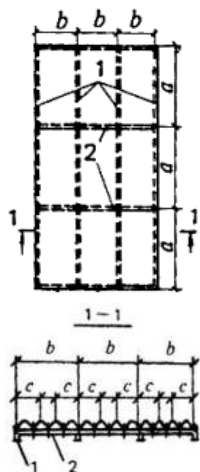


Рис. 14. Схема плиты из гофрированного листа с продольными и поперечными ребрами

1 – продольные ребра; 2 – поперечные ребра

9.5 При расчете по формуле (43) момент инерции поперечных ребер жесткости не должен быть меньше величины

$$I_s \geq \frac{I_x b^4}{4\alpha^3}, \quad (62)$$

Если гофрированный лист и поперечные ребра имеют различные модули упругости, то

$$I_s \geq \frac{D_x b^4}{4 E_s a^3}, \quad (63)$$

где  $E_s$  – модуль упругости материала ребра.

Обозначения в формулах (62) и (63) те же, что в формуле (60).

В случае, если значения  $I_s$  меньше указанных в формулах (62) и (63) величин, то значение  $c$  подсчитывается по формуле (60). При этом значение  $D_y$  рекомендуется принимать

$$D_y = \frac{K}{d} \frac{E t^3}{12(1-\mu^2)} + \frac{EI_s}{a}.$$

9.6 Гофрированный лист, не имеющий усиливающих ребер, при действии поперечной нагрузки рекомендуется рассчитывать на изгиб по формулам (20) и (21) как балку.

Для листов с трапециевидным гофром размер сжатых полоқ, включаемых в расчетное сечение, рекомендуется определять по формуле (59). При этом в формулах (20) и (21)  $W_x$  и  $I_x$  рекомендуется вычислять для рабочей площади сечения.

9.7 Прогиб  $f$  свободно опертых гофрированных листов при изгибе рекомендуется определять по формуле

$$f = af_0, \quad (64)$$

где  $a$  – коэффициент, учитывающий увеличение прогиба вследствие деформации поперечного сечения гофрированного листа под нагрузкой и принимаемый: для волнистых листов – равным 1, для трапециевидных – по табл. 35, для листа с трапециевидным гофром с приклеенным жестким утеплителем (типа пенопласта)  $a=1$ ;

$f_0$  – прогиб гофрированного листа, работающего как балка, при вычислении которого  $I_x$  принимается согласно п. 9.6.

Т а б л и ц а 35

Отношение $\frac{b}{a}$	Значения $a$ при угле наклона боковых граней гофра, град			
	45	60	75	90
$\geq 2,0$	1,10	1,14	1,20	1,30
1,5	1,15	1,20	1,30	1,40
1,0	1,20	1,25	1,35	1,45
0,5	1,25	1,30	1,40	1,50

*Обозначения, принятые в табл. 35:*

$b$  – размер наклонной грани;

$a$  – размер сжатой горизонтальной грани (см. рис. 13).

П р и м е ч а н и е – Значения  $a$  для промежуточных отношений – рекомендуется определять линейной интерполяцией.

9.8 Изгибающие тонколистовые конструкции с гофрированным листом, усиленным продольными ребрами, рекомендуется рассчитывать на прочность и прогиб с учетом включения в работу ребер и части листа размером  $c$  в каждую сторону от ребра (см. рис. 11, б), определяемым по формуле (60) независимо от наличия поперечных ребер.

9.9 При расчете сжато-изгибаемых и растянуто-изгибаемых гофрированных листов с трапециевидным гофром (обшивок трехслойных панелей с закладным утеплителем) на прочность при обеспечении совместной работы обшивок и продольных ребер кроме моментов инерции гофрированных листов относительно их нейтральных осей рекомендуется учитывать момент инерции сечения, в которое входят продольные ребра и часть обшивок размером  $c$  (рис.15):

$$c = 47 + 30 \frac{b}{a} - 3,3 \frac{EI_x}{10^5}, \text{мм}, \quad (65)$$

где  $\frac{b}{a}$  – отношение ширины панели к шагу поперечных ребер;

$EI_x$  – жесткость гофра на единицу длины относительно его нейтральной оси,  $\text{kH}\cdot\text{м}$ .



Рис. 15. Сечение трехслойной панели

9.10 Местную устойчивость сжатых горизонтальных граней изгибающих листов с трапециевидным горфом (см. рис. 13, а) рекомендуется проверять с учетом упругого защемления продольных кромок по формуле

$$\sigma \leq k_{loc} \zeta E \left( \frac{t}{a} \right)^2, \quad (66)$$

где  $\sigma$  – сжимающие напряжения в грани от внешней нагрузки;

$k_{loc}$  – коэффициент, принимаемый по табл. 36;

$\zeta$  – коэффициент, принимаемый по табл. 37.

Таблица 36

Отношение $\frac{b}{a}$	0,4	0,5	0,6	0,7	0,8	0,9	1,0	1,1	1,2	1,4
Коэффициент $k_{loc}$	5,22	5,15	5,10	5,05	5,00	4,95	4,88	4,84	4,80	4,72

*Обозначения, принятые в табл. 36:*  
*b – размер наклонной грани;*  
*a – размер сжатой горизонтальной грани (см. рис. 13).*

*П р и м е ч а н и е – Напряжение  $\sigma$  рекомендуется определять в зависимости от напряженного состояния по формулам (66) – (69) при  $\zeta = 1$ .*

Таблица 37

Отношение	0,7	0,8	1,0	1,2	1,4	1,6	1,8	2,0	2,5	3,0
Коэффициент	1,00	0,86	0,76	0,67	0,61	0,56	0,52	0,48	0,41	0,35

*П р и м е ч а н и е – Напряжение следует определять в зависимости от напряженного состояния по формулам (66) – (69) при  $\zeta = 1$ .*

9.11 Местную устойчивость наклонных граней листов с трапециевидным гофром в местах опирания на прогоны или ригели рекомендуется проверять по приложению Е.

9.12 Местную устойчивость волнистых листов при изгибе (см. рис. 13, б) рекомендуется проверять по формуле

$$\sigma \leq 0,22 \zeta E \frac{t}{r}. \quad (67)$$

9.13 Общую устойчивость центрально–сжатого гофрированного листа рекомендуется проверять в соответствии с указаниями п. 4.2 и табл. 2 приложения Б. За расчетную длину рекомендуется принимать расстояние между закреплениями, препятствующими смешению гофрированного листа из его плоскости, независимо от наличия поперечных ребер.

9.14 Местную устойчивость элементов листа трапециевидной формы при центральном сжатии рекомендуется проверять по формуле

$$\sigma \leq 3,6 \zeta E \left( \frac{t}{b} \right)^2, \quad (68)$$

где  $b$  – ширина большей грани.

Местную устойчивость волнистого гофрированного листа при центральном сжатии рекомендуется проверять по формуле

$$\sigma \leq 0,12 \zeta E \left( \frac{t}{r} \right). \quad (69)$$

## Элементы мембранных конструкций

9.15 Расчет элементов мембранных конструкций рекомендуется производить на основе совместной работы мембраны и контура с учетом их деформированного состояния и геометрической нелинейности мембраны.

9.16 При расчете элементов мембранных конструкций (мембранны и контура) рекомендуется учитывать:

осевое сжатие;

сжатие, вызываемое усилиями сдвига по линии контакта мембраны с элементами контура;

изгиб в тангенциальной и вертикальной плоскостях;

начальный (имеющийся до нагружения) прогиб мембраны.

9.17 При прикреплении мембраны с эксцентрикитетом относительно центра тяжести сечения элементов контура кроме факторов, указанных в п. 9.16, при расчете контуров рекомендуется учитывать кручение.

9.18 При расчете пространственных блоков с предварительно напряженной обшивкой и наличии торцевых элементов жесткости обшивку рекомендуется вводить в работу каркаса блока при условии обеспечения надежной передачи усилий от элементов каркаса к обшивке.

Величину предварительного натяжения обшивки, расположенной в сжатой зоне, рекомендуется определять из условия равенства в ней нулю суммарных напряжений (без учета мембранных) при действии расчетной нагрузки.

Величину предварительного натяжения листа в расчете обшивок при контроле процесса натяжения по силовым параметрам и возможности регулирования растягивающих усилий рекомендуется определять с учетом коэффициента условий работы  $\gamma_c = 1$ . При контроле по геометрическим параметрам напряжения в обшивке должны удовлетворять условиям:

$$\left. \begin{array}{l} \sigma_p + \sigma_F \cdot 1,1 \leq R; \\ -\sigma_p + \sigma_F \cdot 0,9 \geq 0, \end{array} \right\} \quad (70)$$

где  $\sigma_p, \sigma_F$  – напряжения в листе соответственно от предварительного натяжения и от внешней нагрузки.

9.19 При расчете элементов мембранных конструкций с одноосным напряжением обшивок рекомендуется учитывать дополнительное воздействие цепных усилий в обшивке, воспринимаемых продольными элементами каркаса.

9.20 Соединения мембран из алюминиевых сплавов, а также прикрепление их к опорному контуру рекомендуется рассчитывать на воздействие температурного перепада (с учетом разности коэффициентов линейного расширения материалов мембраны и контура).

## 10 Расчет соединений конструкций из алюминиевых сплавов

### Сварные соединения

10.1 Сварные швы рекомендуется рассчитывать по формулам табл. 38.

Сварные соединения внахлестку двумя лобовыми швами имеют расчетное сопротивление, равное расчетному сопротивлению сварного стыкового соединения при условии, что лобовые швы наложены по всей толщине свариваемых элементов и концы их выведены за пределы соединения.

10.2 Сварные стыковые соединения, работающие на изгиб, рекомендуется рассчитывать по формулам для расчета целого сечения с расчетными сопротивлениями, принятыми по табл. 9 и 10.

10.3 Сварные стыковые соединения, работающие одновременно на изгиб и срез, рекомендуется проверять по формуле

$$\frac{\sigma_w}{2} + \sqrt{\frac{\sigma_w^2}{4} + \tau_w^2} \leq R_w Y_c, \quad (71)$$

где  $\sigma_w$  – напряжение в сварном соединении от изгиба;

$\tau_w$  – напряжение в сварном соединении от среза.

Таблица 38

Сварные швы	Напряженное состояние	Расчетная формула
Стыковые, расположенные перпендикулярно действующей силе	Сжатие, растяжение	$\frac{N}{l_w t} \leq R_w Y_c$
Угловые	Срез	$\frac{N}{l_w \beta k_f} \leq R_w Y_c$

Обозначения, принятые в табл. 38:

$N$  – расчетная продольная сила;

$l_w$  – расчетная длина шва, равная его полной длине за вычетом  $3t$  или  $3k_f$ , при выводе шва за пределы соединения (на подкладки и т.п.) за расчетную длину шва принимается его полная длина;

$t$  – наименьшая толщина соединяемых элементов;

$\beta_f$  – коэффициент, принимаемый равным: 0,9 – при автоматической одно- и двухпроходной сварке; 0,7 – при автоматической многопроходной сварке, при ручной и полуавтоматической сварке с любым числом проходов;

$k_f$  – катет углового шва, принимаемый равным катету вписанного равнобедренного треугольника.

10.4 При одновременном действии срезывающих напряжений в двух направлениях в одном и том же сечении углового шва расчет рекомендуется производить на равнодействующую этих напряжений.

10.5 Угловые швы, прикрепляющие элемент, на который действуют одновременно осевое усилие и изгибающий момент, рекомендуется рассчитывать по формуле (29), в которой:

$A_n = A_{wf}$  – расчетная площадь швов;

$I_{xn}$ ,  $I_{yn}$  – момент инерции расчетной площади швов соответственно относительно осей  $x-x$  и  $y-y$ ;

$R = R_{wf}$  – расчетное сопротивление углового шва.

### Заклепочные и болтовые соединения

10.6 В заклепочных и болтовых соединениях при действии продольной силы  $N$ , проходящей через центр тяжести соединения, распределение этой силы между заклепками или болтами рекомендуется принимать равномерным.

Заклепочные или болтовые соединения, воспринимающие продольные силы, рекомендуется рассчитывать на срез и смятие заклепок и болтов по формулам табл. 39.

Т а б л и ц а 39

Соединение	Напряженное состояние	Расчетная формула
Заклепки (или болты)	Срез	$\frac{N}{nn_i \frac{\pi d^2}{4}} \leq R_n(R_{bp})$ (73)
	Смятие	$\frac{N}{nd \sum t} \leq R_p(R_{bp})$ (74)
Болты	Растяжение	$\frac{N}{\frac{n \pi d^2}{4}} \leq R_{st}$ (75)
Заклепки	Отрыв головки заклепки	$\frac{N}{n \pi d h} \leq R_p$ (76)

*Окончание таблицы 39*

Соединение	Напряженное состояние	Расчетная формула
<i>Обозначения, принятые в табл. 39:</i>		
$N$ – расчетная продольная сила, действующая на соединение;		
$n$ – число заклепок или болтов в соединении;		
$ns$ – число рабочих срезов одной заклепки или болта;		
$d$ – диаметр отверстия для заклепки или наружный диаметр стержня болта;		
$\sum t$ – наименьшая суммарная толщина элементов, сминаемых в одном направлении;		
$d_o$ – внутренний диаметр резьбы болта;		
$h=0,4d$ – высота поверхности отрыва головки (рис. 16).		
П р и м е ч а н и е – Расчет болтов на срез и смятие рекомендуется производить по формулам (73) и (74) с заменой $R_{rs}$ и $R_{rp}$ соответственно на $R_{bs}$ и $R_{bp}$ .		

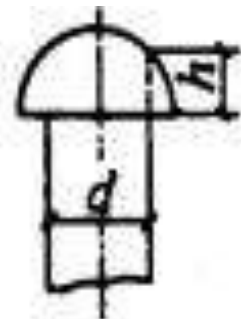


Рис. 16. Заклепка с полукруглой головкой

10.7 Заклепки и болты, работающие одновременно на срез и растяжение, рекомендуется проверять отдельно на срез и на растяжение.

10.8 В креплениях одного элемента к другому через прокладки или иные промежуточные элементы, а также в креплениях с односторонней накладкой число заклепок (болтов) должно быть увеличено против расчетного числа на 10%.

При прикреплении выступающих полок уголков или швеллеров с помощью коротышей число заклепок (болтов), прикрепляющих одну из полок коротыша, должно быть увеличено против расчетного числа на 10%.

## Монтажные соединения на высокопрочных стальных болтах

10.9 Монтажные соединения на высокопрочных стальных болтах рекомендуется рассчитывать в предположении передачи действующих в стыках и прикреплениях усилий через трение, возникающее по соприкасающимся плоскостям соединяемых элементов от натяжения высокопрочных болтов. При этом распределение продольной силы между болтами рекомендуется принимать равномерным.

10.10 Расчетное усилие  $Q_{bh}$ , которое может быть воспринято каждой поверхностью трения соединяемых элементов, стянутых одним высокопрочным болтом, рекомендуется определять по формуле

$$Q_{bh} = \frac{R_{bh}\gamma_b A_{bn}\mu}{\gamma_h}, \quad (72)$$

$R_{bh}$  – расчетное сопротивление растяжению высокопрочного болта, определяемое согласно СН КР 53-01;

$\gamma_b$  – коэффициент условий работы соединения, принимаемый равным 0,8;

$A_{bn}$  – площадь сечения болта нетто, определяемая согласно СН КР 53-01;

$\mu$  – коэффициент трения, принимаемый по табл. 40;

$\gamma_h$  – коэффициент надежности, принимаемый по СН КР 53-01.

Т а б л и ц а 40

Способ обработки соединяемых поверхностей	Пескоструйная очистка	Травление поверхности	Без обработки (после обезжиривания)
Коэффициент трения $\mu$	0,45	0,4	0,15

Количество  $n$  высокопрочных болтов в соединении при действии продольной силы рекомендуется определять по формуле

$$n \geq \frac{N}{k_1 \gamma_c Q_{bh}}, \quad (77)$$

где  $k_1$  – количество поверхностей трения соединяемых элементов.

Натяжение высокопрочного болта рекомендуется производить осевым усилием  $P = R_{bh}A_{bn}$ .

10.11 Расчет на прочность соединяемых элементов, ослабленных отверстиями под высокопрочные болты, рекомендуется выполнять с учетом того, что половина усилия, приходящегося на каждый болт, в рассматриваемом сечении уже передана силами трения. При этом проверку ослабленных сечений рекомендуется производить по площади сечения брутто  $A$  при  $A_n \geq 0,85A$  или по условной площади  $A_c = 1,18A_n$ , при  $A_n < 0,85A$ .

### Соединения с фрезерованными торцами

10.12 В соединениях с фрезерованными торцами (в стыках сжатых элементов и т.п.) сжимающую силу рекомендуется считать полностью передающейся через торцы.

Во внецентренно сжатых и сжато–изгибаемых элементах сварные швы и болты, включая высокопрочные, указанных соединений рекомендуется рассчитывать на максимальное растягивающее усилие от действия момента и продольной силы при наиболее неблагоприятном их сочетании, а также на сдвигающее усилие от действия поперечной силы.

### Поясные соединения в составных балках

10.13 Сварные швы, заклепки и высокопрочные болты, соединяющие стенки и пояса составных двутавровых балок, рекомендуется рассчитывать по табл. 41.

Т а б л и ц а 41

Нагрузка	Вид соединения	Формулы для расчета поясных соединений в составных балках
Неподвижная (распределенная и сосредоточенная)	Угловые швы	$\frac{T}{2\beta_f k_f} \leq R_w \gamma_c \quad (78)$
	Заклепки	$aT \leq Q_{rs} \gamma_c n_s \quad (79)$
	Высокопрочные болты	$aT \leq Q_{bh} \gamma_c k_1 \quad (80)$

## Окончание таблицы 41

Нагрузка	Вид соединения	Формулы для расчета поясных соединений в составных балках
Местная сосредоточенная	Угловые швы	$\sqrt{\frac{T^2 + V^2}{2\beta_f k_f}} \leq R_w \gamma_c \quad (81)$
	Заклепки	$a \sqrt{T^2 + \alpha V^2} \leq Q_{rs} \gamma_c n_s \quad (82)$
	Высокопрочные болты	$a \sqrt{T^2 + \alpha V^2} \leq Q_{bh} \gamma_c k_1 \quad (83)$

Обозначения, принятые в табл. 41:

$T = \frac{QS}{L}$  – сдвигающее пояс усилие на единицу длины, вызываемое поперечной силой

$Q$  (здесь  $S$  – статический момент брута пояса балки относительно нейтральной оси);  
а – шаг поясных заклепок или высокопрочных болтов;

$Q_{rs} = R_{rs} n_s \frac{\pi d^2}{4}$  – расчетное усилие одной заклепки на срез, определяемое по формуле (73);

$n_s$  – число расчетных срезов одной заклепки;

$Q_{bh}$  – расчетное усилие одного высокопрочного болта, определяемое по формуле (72);

$k_1$  – количество поверхностей трения соединяемых элементов;

$V = \frac{\gamma_f F}{l_{ef}}$  – давление от сосредоточенного груза  $F$  (здесь  $\gamma_f$  – коэффициент, принимаемый согласно СНиП 2.01.07);

$l_{ef}$  – условная длина распределения сосредоточенной нагрузки, принимаемая по приложению Д;

$\alpha$  – коэффициент, принимаемый при нагрузке по верхнему поясу балки, в которой стенка пристрогана к верхнему поясу, а 0,4; при отсутствии пристройки стенки или при нагрузке по нижнему поясу  $\alpha=1$ .

10.14 В балках с соединениями на заклепках и высокопрочных болтах с многолистовыми поясными пакетами прикрепление каждого из листов за местом своего теоретического обрыва рекомендуется рассчитывать на половину усилия, которое может быть воспринято сечением листа. Прикрепление каждого листа на участке между действительным местом его обрыва и местом обрыва предыдущего листа рекомендуется рассчитывать на полное усилие, которое может быть воспринято сечением листа.

## **Анкерные болты**

10.15 В конструкциях из алюминиевых сплавов анкерные болты рекомендуется выполнять из стали. Расчет стальных анкерных болтов рекомендуется производить по СН КР 53-01.

# **11 Проектирование алюминиевых конструкций**

## **Общие указания**

11.1 При проектировании алюминиевых конструкций необходимо:

а) предусматривать связи, обеспечивающие в процессе монтажа и эксплуатации устойчивость и пространственную неизменяемость сооружения в целом и его элементов, назначая их в зависимости от основных параметров и режима эксплуатации сооружения (конструктивной схемы пролетов, температурных воздействий и т. д.);

б) учитывать производственные возможности предприятий—изготовителей металлоконструкций и мощность подъемно–транспортного оборудования монтажных организаций;

в) компоновать элементы конструкций из наименьшего числа деталей;

г) использовать металл с наименьшими отходами и потерями путем соответствующего размещения стыков в конструкции;

д) предусматривать конструктивные решения и производить разбивку конструкций на отправочные элементы с учетом рационального и экономичного транспортирования их на строительство:

е) предусматривать возможность укрупнения отправочных элементов конструкций на строительной площадке для монтажа их крупными блоками и обеспечения устойчивости отдельных элементов и блоков сооружения в процессе монтажа;

ж) предусматривать монтажные крепления элементов, обеспечивающие возможность их легкой сборки и удобного выполнения соединений на монтаже (устройство монтажных столиков и т. п.), а также быстроту выверки конструкций;

з) предусматривать монтажные соединения элементов болтовыми; сварные и клепаные монтажные соединения допускать лишь в тех случаях, когда применение болтов нерационально или не разрешается нормативными документами.

11.2 Прогибы и перемещения элементов конструкций не должны превышать предельных, установленных СНиП 2.01.07.

Относительные прогибы элементов не должны превышать значений, приведенных в табл. 42.

11.3 Температурные климатические воздействия на алюминиевые конструкции одноэтажных зданий и сооружений рекомендуется учитывать путем соблюдения наибольших расстояний между температурными швами в соответствии с табл. 43, а также применением конструктивных мер при проектировании ограждающих конструкций, их стыков и нащельников.

11.4 Ограждающие конструкции зданий (стены и покрытия, отдельные панели, настилы и их стыки), а также детали крепления ограждений к каркасу здания рекомендуется проектировать с учетом изменения температуры в течение года, обеспечивая при этом свободу температурных деформаций при сохранении теплотехнических свойств и герметичности ограждений.

11.5 При расчете ограждающих конструкций значения изменений температуры наружных поверхностей рекомендуется определять исходя из расчетных значений температуры наружного воздуха в летнее и в зимнее время года в соответствии со СНиП КР 23-02. При этом в летнее время должно быть учтено воздействие солнечной радиации.

11.6 Расчетные перепады температуры между наружными и внутренними поверхностями ограждающих конструкций рекомендуется принимать с учетом внутреннего температурного режима эксплуатации здания.

Т а б л и ц а 42

Элементы конструкций	Относительные прогибы элементов (к пролету $l$ )
1. Балки покрытий и чердачных перекрытий: главные балки	1/250 (1/200)
прогоны	1/200 (1/150)
обрешетки	1/150 (1/125)
2. Покрытия, в том числе большепролетные без подвесного транспорта	1/300 (1/250)
3. Элементы фахверка: стойки, ригели	1/300 (1/200)
прогоны остекления (в вертикальной и горизонтальной плоскостях)	1/200
4. Стеновые панели: с остеклением	1/200
без остекления	1/125 (1/100)
5. Кровельные панели, подвесные потолки	1/150 (1/125)

## Окончание таблицы 42

Элементы конструкций	Относительные прогибы элементов (к пролету $l$ )
6. Вертикальные и горизонтальные элементы ограждающих конструкций (импосты) при остеклении:	
одинарном	1/200
стеклопакетами	1/300
<b>П р и м е ч а н и я</b>	
1 Величины прогибов, приведенные в скобках, допускаются лишь при наличии обоснования (опытное строительство, наличие строительного подъема и др.).	
2 Предельные значения прогибов допускается определять при соответствующем обосновании из условия сохранения плотности стыков.	
3 При применении подвесного транспорта прогибы конструкций рекомендуется определять в каждом конкретном случае из условия нормальной эксплуатации подъемно–транспортного механизма.	

Т а б л и ц а 43

Характеристика зданий и сооружений	Наибольшие расстояния, м		
	между температурными швами		от температурного шва или торца здания до оси ближайшей вертикальной связи
	по длине блока (вдоль здания)	по ширине блока	
Отапливаемые здания	144	120	72
Неотапливаемые здания и горячие цехи	96	90	48
Открытые эстакады	72	—	36

П р и м е ч а н и е – Наибольшие расстояния указаны для зданий и сооружений, в которых конструкции покрытий или (и) стен выполнены из алюминия, а колонны – из стали или алюминия.

11.7 Выбор материала для утеплителя, клея и герметиков при проектировании ограждающих конструкций рекомендуется производить с учетом величин расчетных перепадов температуры между наружными и внутренними поверхностями ограждающих конструкций.

11.8 При технико–экономическом обосновании в конструкциях допускается применять алюминий в сочетании с другими строительными материалами (алюминий и дерево в оконных и дверных конструкциях, алюминий и полимеры в стеновых и кровельных конструкциях и др.). При этом необходимо учитывать

различие в величинах модулей упругости и коэффициентов линейного расширения материалов, а также предусматривать мероприятия по защите алюминия от контактной коррозии.

11.9 В конструкциях сборно-разборных зданий алюминий рекомендуется применять в виде:

ограждающих полносборных элементов для стен, кровли, перегородок, дверных и оконных проемов и др.;

несущих элементов полной заводской готовности с монтажными соединениями на болтах и др.

11.10 При проектировании элементов ограждающих и несущих конструкций сборно-разборных зданий рекомендуется предусматривать их взаимозаменяемость. Монтажные узлы и стыки необходимо располагать в местах, исключающих скопление грязи, пыли, влаги и др.

11.11 При транспортировании рекомендуется предусматривать сохранность элементов сборно-разборных зданий и сооружений путем их пакетирования и перевозки в контейнерах.

11.12 Для защитно-декоративной отделки алюминиевых конструкций и изделий архитектурного назначения надлежит применять материалы, предусмотренные государственными стандартами и типовыми чертежами конструкций соответствующего вида.

11.13 Ограждающие конструкции рекомендуется проектировать совместно с разработкой необходимых приборов открывания, фиксации, а также других изделий и материалов.

11.14 При проектировании ограждающих алюминиевых конструкций необходимо обеспечить возможность легкой замены элементов, подверженных ускоренному старению, износу или ремонту (например, уплотнительных прокладок, стекла и др.).

11.15 Применение алюминия в ограждающих и несущих конструкциях зданий и сооружений допускается при специальном обосновании и на основании указаний ТП 101–81\*.

11.16 Коррозионную стойкость алюминиевых конструкций производственных и сельскохозяйственных зданий и сооружений, подвергающихся воздействию агрессивных сред, рекомендуется обеспечивать путем выбора марки и состояния алюминия, назначения рациональных конструктивных форм и минимальных толщин в соответствии со СНиП 2.03.11.

## 12 Конструктивные требования

### Общие указания

12.1 Выбор вида соединения (сварное, болтовое, заклепочное и др.) рекомендуется производить в зависимости от характера работы соединения и с учетом степени ослабления алюминия, определяемого видом соединения.

Сварные соединения элементов несущих конструкций рекомендуется выполнять, как правило, в заводских условиях. При проектировании сварных конструкций необходимо предусматривать применение кондукторов.

12.2 Тонколистовые ограждающие конструкции и их соединения рекомендуется проектировать сварными или клепанными (заводские и монтажные крепления обшивок к каркасам,стыки для укрупнения тонколистовых элементов,стыки в кровельных покрытиях), а также с применением соединений на фальцах, защелках и др.

12.3 При проектировании сварных тонколистовых конструкций необходимо обеспечить сохранение внешнего вида конструкций путем: выбора способа сварки, обеспечивающего требуемый внешний вид сварных соединений; устройства нашельников и других конструктивных элементов на сварных соединениях; применения жестких кондукторов; проковки сварных швов для уменьшения сварочных деформаций и др.

12.4 Применение сварных соединений в конструкциях, предназначенных для антакоррозионной защиты анодированием, допускается при специальном обосновании.

12.5 Минимальную толщину полуфабрикатов алюминиевых конструкций рекомендуется назначать по расчету и в зависимости от условий их перевозки и монтажа.

Толщина элементов ограждающих конструкций при нормальных условиях их эксплуатации допускается не менее 0,8 мм.

12.6 При проектировании строительных конструкций из алюминия необходимо учитывать требования государственных стандартов и пользоваться каталогами алюминиевых профилей.

12.7 Комбинированные соединения, в которых часть усилий воспринимается заклепками, а часть – сварными швами, применять запрещается.

12.8 Алюминий в сочетании со сталью допускается применять в составе: одной конструкции при выполнении различных элементов конструкций из алюминия или стали;

одного элемента конструкции, выполненного из алюминия при стальных соединениях (болты).

12.9 Соединения элементов ограждающих конструкций (витрин, витражей, окон, дверей и др.), выполняемые на вкладышах, должны быть проверены в опытных конструкциях.

Непосредственное соприкосновение заполнения из стекла с элементами алюминиевого каркаса не допускается.

## **Конструирование сварных соединений**

12.10 При проектировании конструкций со сварными соединениями рекомендуется:

применять высокопроизводительные механизированные способы сварки;

предусматривать возможность сварки без кантовки конструкций при изготовлении;

обеспечивать свободный доступ к местам наложения швов с учетом выбранного способа и технологии сварки;

назначать размеры и взаимное расположение швов и выбирать способ сварки исходя из требований обеспечения наименьших собственных напряжений и деформаций при сварке;

избегать сосредоточения большого числа швов в одном месте;

принимать число и размеры сварных швов минимально необходимыми.

12.11 Разделку кромок под сварку рекомендуется назначать с учетом способа и технологии сварки, положения шва в пространстве и толщины свариваемых элементов по ГОСТ 14806 и заводским нормалям.

12.12 При проектировании сварных соединений и узлов в несущих конструкциях рекомендуется предусматривать снижение концентрации напряжений, применяя для этого соответствующие конструктивные решения и технологические мероприятия. Рекомендуется предусматривать преимущественно сварные соединения встык с обязательной подваркой корня шва или с использованием формирующих подкладок. Концы швов встык рекомендуется выводить за пределы стыка (например, с помощью выводных планок).

При сварке встык двух листов разной толщины рекомендуется осуществлять переход от толстого листа к тонкому устройством скоса по ГОСТ 14806.

12.13 Число стыков в расчетных элементах должно быть минимальным.

12.14 Сварные соединения рекомендуется, как правило, располагать в менее напряженных местах элементов конструкций.

12.15 В узлах несущих конструкций из прессованных профилей рекомендуется предусматривать сварные соединения встык и в тавр.

12.16 Размеры и форма сварных угловых швов должны удовлетворять следующим требованиям:

катет швов  $k_f$  (при сварке элементов толщиной 4 мм и более) рекомендуется принимать не менее 4 мм. При сварке швов нахлесточных соединений катет по вертикальному размеру не должен выступать над поверхностью верхней детали более чем на 1 мм. Если в соединении более тонкий элемент имеет бульбу, то предельная величина катета шва  $k_f$  может быть увеличена до  $1,5t$  (где  $t$  – наименьшая толщина соединяемых элементов);

расчетная длина флангового и лобового швов должна быть не менее 40 мм и не менее  $k_f$ ;

расчетная длина флангового шва должна быть не более  $50k_f$ , за исключением соединений, где воспринимаемое фланговым швом усилие возникает на всем протяжении шва; в последнем случае длина флангового шва не ограничивается;

в соединениях внахлестку с угловыми швами величина нахлестки должна быть не менее пяти толщин наиболее тонкого элемента.

12.17 Сварные соединения тонколистовых конструкций рекомендуется проектировать с учетом технологических особенностей применяемых способов сварки:

приварку тонких листов обшивок к более толстым элементам каркаса допускается выполнять аргонодуговой точечной или контактной точечной сваркой; при контактной точечной сварке отношение толщин свариваемых элементов не должно превышать 1:3;

в заводских условиях для укрупнения тонколистовых элементов рекомендуется, как правило, применять контактную роликовую сварку, обеспечивающую получение прочных водонепроницаемых соединений. Размеры соединений при контактной роликовой сварке приведены в табл. 44.

Таблица 44

Толщина наиболее тонкой детали, мм	Контактная точечная сварка				Роликовая сварка			
	диаметр ядра, мм	минимальные размеры, мм		шаг между точками	ширина литой зоны, мм	минимальные размеры, мм		расстояние от оси шва до края листа
		ширина нахлестки <sup>1</sup> при шве	Одно- рядном (в шахматном порядке)			ширина нахлестки <sup>1</sup> при шве	однорядном	двуихрядном <sup>2</sup>
0,5	3–4	10	18	10	3–4	10	12	5
0,8	3,5–4,5	12	25	13	3,5–4,5	10	14	5
1	4–5	14	28	15	4–5	12	16	6
1,2	5–6	16	30	15	5–6	14	20	7
1,5	6–7	18	35	20	6–7	16	24	8
2	7–8	20	42	25	7–8	20	28	10
3	9–10	26	56	35	8–9	24	34	12

<sup>1</sup> При сварке трех листов алюминия ее рекомендуется увеличивать на 15–20 %.

<sup>2</sup> Выполняется с перекрытием на 30–50 %.

Допускается укрупнение тонколистовых элементов в заводских условиях выполнять сваркой контактной точечной (размеры соединений приведены в табл. 44), аргонодуговой точечной и аргонодуговой непрерывным швом.

При сварке стыков кровельных покрытий в монтажных условиях рекомендуется, как правило, применять аргонодуговую сварку вольфрамовым или плавящимся электродом с импульсным питанием дуги. Основными видами соединений при этом являются нахлесточное и бортовое.

При применении аргонодуговой точечной сварки в монтажных условиях для соединения тонколистовых элементов основным видом соединения является нахлесточное; величина нахлестки должна быть не менее 30 мм.

Аргонодуговой точечной сваркой допускается сваривать пакет из трех элементов (толщина двух верхних листов в пакете не должна превышать 3 мм).

## Конструирование заклепочных и болтовых соединений

12.18 В рабочих элементах конструкций число расположенных по одну сторону стыка заклепок, прикрепляющих элемент в узле, должно быть не менее двух.

12.19 При заводской холодной клепке толщина склеиваемого пакета на скобе не должна превышать четырех диаметров заклепок.

12.20 Разбивку заклепок и болтов, в том числе высокопрочных, рекомендуется производить согласно табл. 45. Соединительные заклепки и болты, располагаемые вне узлов и стыков, рекомендуется размещать на максимальных расстояниях.

12.21 Для соединений с использованием стальных болтов необходимо предусматривать мероприятия по защите их от контактной коррозии.

12.22 Диаметр заклепки должен быть не более пяти толщин наиболее тонкого элемента. За расчетный диаметр заклепки рекомендуется принимать диаметр отверстия.

12.23 Форма заклепки и ее размеры для холодной клепки устанавливаются техническими условиями на изготовление строительных конструкций из алюминия.

12.24 При соединении внахлестку профилированных листов кровли (вдоль гофра) элементы крепления (болты, заклепки) рекомендуется располагать в каждом гребне гофра.

Стыки мембранный или предварительно напряженной обшивки толщиной до 2 мм рекомендуется выполнять внахлестку, при этом стык должен быть соединен не менее чем двумя рядами сварных точек или заклепок.

12.25 В конструкциях из профилированных листов ребра жесткости или диафрагмы рекомендуется соединять в каждой точке касания с гофром и элементом, усиливающим конструкцию.

12.26 Конструкция соединения тонких алюминиевых лент с контуром должна иметь регулируемое предварительное натяжение и не допускать контакта между алюминием, сталью или бетоном.

## Т а б л и ц а 45

Характеристика расстояния	Расстояния при размещении заклепок и болтов
Между центрами заклепок и болтов в любом направлении:	
минимальное	Для заклепок $3d$ ; для болтов $3,5d$
максимальное в крайних рядах при отсутствии окаймляющих уголков при растяжении и сжатии	$5d$ или $10t$
максимальное в средних и крайних рядах при наличии окаймляющих уголков:	$12d$ или $20t$
при растяжении	
сжатии	$10d$ или $14t$
От центра заклепки или болта до края элемента:	
минимальное вдоль усилия и по диагонали	$2,5d$
минимальное поперек усилия при обрезных кромках	$2,5d$
то же, при прокатных или прессованных кромках	$2d$
максимальное	$6d$
<i>Обозначения, принятые в табл. 45:</i>	
$d$ – диаметр отверстия для заклепки или болта;	
$t$ – толщина наиболее тонкого наружного элемента пакета.	

## Приложение А

### **Материалы и их физические характеристики для алюминиевых конструкций**

**Т а б л и ц а 1 – Марки и состояния алюминия для конструкций зданий и сооружений**

Марка и состояние алюминия	Государственные стандарты или технические условия на поставку алюминия				
	по химическому составу	по механическим свойствам			
		листы	профили	трубы	ленты
<i>Группа I Ограждающие конструкции – оконные и дверные заполнения, подвесные потолки, перегородки, витражи</i>					
АД1М	ГОСТ 4784	ГОСТ 21631	–	–	ГОСТ 13726
АМцМ	ГОСТ 4784	ГОСТ 21631	–	–	ГОСТ 13726
АМг2М	ГОСТ 4784	ГОСТ 21631	–	ГОСТ 18475	ГОСТ 13726
АМг2Н2	ГОСТ 4784	ГОСТ 21631	–	–	ГОСТ 13726
АД31Т	ГОСТ 4784	–	ГОСТ 8617; ГОСТ 22233	ГОСТ 18482	–
АД31Т1	ГОСТ 4784	–	ГОСТ 8617; ГОСТ 22233	–	–
АД31Т4	ГОСТ 4784	–	ГОСТ 8617; ГОСТ 22233	–	–
АД31Т5	ГОСТ 4784	–	ГОСТ 8617; ГОСТ 22233	–	–
<i>Группа II. Ограждающие конструкции – кровельные и стеновые панели и др.</i>					
АМг2М	ГОСТ 4784	ГОСТ 21631	–	ГОСТ 18475	ГОСТ 13726
АМг2Н2	ГОСТ 4784	ГОСТ 21631	–	–	ГОСТ 13726
АД31Т	ГОСТ 4784	–	ГОСТ 8617; ГОСТ 22233	ГОСТ 18482	–
АД31Т1	ГОСТ 4784	–	ГОСТ 8617; ГОСТ 22233	–	–
АД31Т4	ГОСТ 4784	–	ГОСТ 8617;	–	–

*Продолжение таблицы 1*

Марка и состояние алюминия	Государственные стандарты или технические условия на поставку алюминия				
	по химическому составу	по механическим свойствам			
		листы	профили	трубы	ленты
<i>Группа II Ограждающие конструкции – кровельные и стеновые панели и др.</i>					
АД31Т5 1915	ГОСТ 4784 ГОСТ 4784	– –	ГОСТ 8617; ГОСТ 8617; ГОСТ 22233	– ГОСТ 18482	– –
1915Т	ГОСТ 4784	–	ГОСТ 8617; ГОСТ 22233	ГОСТ 18482	–
<i>Группа III Несущие сварные конструкции (фермы, колонны, прогоны покрытий, пространственные решетчатые покрытия, покрытия больших пролетов, сборно-разборные конструкции каркасов зданий, блоки покрытия и др.)</i>					
АМг2М АМг2Н2	ГОСТ 4784 ГОСТ 4784	ГОСТ 21631 ГОСТ 21631	– –	ГОСТ 18475 –	ГОСТ 13726 ГОСТ 13726
АД31Т	ГОСТ 4784	–	ГОСТ 8617; ГОСТ 22233	ГОСТ 19482	–
АД31Т1	ГОСТ 4784	–	ГОСТ 8617; ГОСТ 22233	–	–
АД31Т4 1915	ГОСТ 4784	–	ГОСТ 8617; ГОСТ 22233 ГОСТ 8617; ГОСТ 22233	–	–
1915Т	ГОСТ 4784	–	ГОСТ 8617; ГОСТ 22233 ГОСТ 8617;	ГОСТ 18482	–
<i>Группа IV Клепанные конструкции, относящиеся к группе III, а также элементы конструкций, не имеющие сварных соединений</i>					
АМг2Н2	ГОСТ 4784	ГОСТ 21631	–	–	ГОСТ 13726
АД31Т	ГОСТ 4784	–	ГОСТ 8617; ГОСТ 22233	ГОСТ 18482	–
АД31Т1	ГОСТ 4784	–	ГОСТ 8617; ГОСТ 22233	–	–
АД31Т4	ГОСТ 4784	–	ГОСТ 8617; ГОСТ 22233 ГОСТ 8617; ГОСТ 22233	–	–

*Окончание таблицы 1*

Марка и состояние алюминия	Государственные стандарты или технические условия на поставку алюминия				
	по химическому составу	по механическим свойствам			
		листы	профили	трубы	ленты
1925	ГОСТ 4784	–	ГОСТ 8617; ГОСТ 22233	ГОСТ 18482	–
1915	ГОСТ 4784	–	ГОСТ 8617; ГОСТ 22233	ГОСТ 18482	–
1915T	ГОСТ 4784	–	ГОСТ 8617; ГОСТ 22233	ГОСТ 18482	–
<b>П р и м е ч а н и я</b>					
1 Для конструкций I–IV групп приведен примерный их перечень.					
2 Алюминий марки АМцМ рекомендуется применять преимущественно для листовых конструкций декоративного назначения, подлежащих анодированию в черный цвет.					

Таблица 2 – Физические характеристики алюминия

Физическая характеристика	Значения
Модуль упругости $E$ , МПа ( $\text{кгс}/\text{см}^2$ ), при температуре, °С:	
минус 70	$0,735 \cdot 10^5 (0,75 \cdot 10^6)$
от минус 40 до плюс 50	$0,7 \cdot 10^5 (0,71 \cdot 10^6)$
100	$0,64 \cdot 10^5 (0,65 \cdot 10^6)$
Модуль сдвига $G$ , МПа ( $\text{кгс}/\text{см}^2$ ), при температуре, °С:	
минус 70	$0,274 \cdot 10^5 (0,28 \cdot 10^6)$
от минус 40 до плюс 50	$0,265 \cdot 10^5 (0,27 \cdot 10^6)$
100	$0,255 \cdot 10^5 (0,26 \cdot 10^6)$
Коэффициент поперечной деформации (Пуассона) $\nu$	0,3
Коэффициент линейного расширения $a$ , $^{\circ}\text{C}^{-1}$ , при температуре от минус 70 до плюс 100°С	$0,23 \cdot 10^{-4}$
Среднее значение плотности $p$ , кг/м <sup>3</sup>	2700
П р и м е ч а н и е – Для промежуточных значений температуры значения $E$ и $G$ рекомендуется определять линейной интерполяцией.	

## Т а б л и ц а 3 – Плотность алюминия

Марка алюминия	АД1	АМц	АМг	АД31	1935	1925	1915	АЛ8
Плотность, кг/м <sup>3</sup>	2710	2730	2680	2710	2760	2770	2770	2550

## Т а б л и ц а 4 – Алюминиевые полуфабрикаты, применяемые для строительных конструкций

Марка алюминия	Полуфабрикаты					
	листы	ленты	плиты	прутки	профили	трубы
АД1	+	+	–	–	–	–
АМц	+	+	–	–	–	–
АМг2	+	+	+	–	–	+
АД31	–	–	–	+	+	+
1935	–	–	–	+	+	–
1925	–	–	–	+	+	+
1915	–	–	–	+	+	+

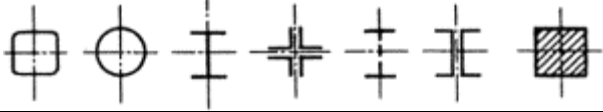
П р и м е ч а н и е – Знак «+» означает, что данный полуфабрикат применяется для строительных конструкций; знак «–» – данный полуфабрикат не применяется.

## Приложение Б

### Коэффициенты $\phi$ продольного изгиба центрально-сжатых элементов

В табл. 1 показаны схемы сечения, для которых в табл. 2 и 3 настоящего приложения приведены значения коэффициента  $\phi$ .

**Т а б л и ц а 1 – Схемы сечений для определения коэффициента  $\phi$**

Тип сечения	Схема сечения	Номер таблицы
1		2
2		3

**Т а б л и ц а 2 – Коэффициенты  $\phi$  продольного изгиба центрально–сжатых элементов для сечений типа 1**

Гибкость элементов $\lambda$	Коэффициенты $\phi$ для элементов из алюминия марок								
	АД1М	АМцМ	АД31Т; АД31Т4	АМг2М	АД31Т5	АД31Т1; АМг2Н2	1935Т	1925; 1915	1915Т
0	1000	1000	1000	1000	1000	1000	1000	1000	1000
10	1,000	1,000	1,000	1,000	1,000	1,000	1,000	1,000	1,000
20	1,000	1,000	0,995	0,982	0,946	0,936	0,930	0,915	0,910
30	0,985	0,955	0,930	0,915	0,880	0,865	0,852	0,838	0,830
40	0,935	0,900	0,880	0,860	0,818	0,802	0,790	0,770	0,758
50	0,887	0,860	0,835	0,812	0,763	0,740	0,772	0,696	0,676
60	0,858	0,820	0,793	0,766	0,705	0,675	0,650	0,615	0,590
70	0,825	0,782	0,750	0,717	0,644	0,605	0,572	0,530	0,500
80	0,792	0,745	0,706	0,665	0,590	0,542	0,500	0,440	0,385
90	0,760	0,710	0,656	0,608	0,510	0,450	0,403	0,348	0,305
100	0,726	0,665	0,610	0,555	0,432	0,367	0,326	0,282	0,246
110	0,693	0,625	0,562	0,506	0,382	0,313	0,270	0,233	0,204
120	0,660	0,530	0,518	0,458	0,330	0,262	0,228	0,196	0,171
130	0,630	0,545	0,475	0,415	0,290	0,227	0,192	0,167	0,146
140	0,595	0,505	0,435	0,362	0,255	0,197	0,168	0,144	0,126
150	0,562	0,470	0,400	0,313	0,212	0,168	0,146	0,125	0,110

Т а б л и ц а 3 – Коэффициенты  $\varphi$  продольного изгиба центрально–сжатых элементов для сечений типа 2

Гибкость элементов $\lambda$	Коэффициенты $\varphi$ для элементов из алюминия марок								
	АД1М	АМцМ	АД31Т; АД31Т4	АМг2М	АД31Т5	АД31Т1; АМг2Н2	1935Т	1925; 1915	1915Т
0	1,000	1,000	1,000	1,000	1,000	1,000	1,000	1,000	1,000
10	1,000	1,000	1,000	1,000	0,990	0,983	0,980	0,967	0,960
20	0,975	0,950	0,940	0,920	0,885	0,880	0,880	0,867	0,860
30	0,922	0,895	0,878	0,862	0,820	0,808	0,802	0,790	0,775
40	0,877	0,842	0,822	0,807	0,760	0,742	0,730	0,715	0,695
50	0,832	0,796	0,773	0,750	0,700	0,678	0,662	0,638	0,613
60	0,795	0,752	0,725	0,698	0,635	0,607	0,590	0,560	0,530
70	0,757	0,713	0,680	0,647	0,574	0,538	0,516	0,482	0,450
80	0,720	0,670	0,635	0,597	0,520	0,480	0,450	0,413	0,380
90	0,690	0,632	0,588	0,545	0,466	0,422	0,392	0,348	0,305
100	0,657	0,593	0,543	0,498	0,410	0,360	0,328	0,282	0,246
110	0,625	0,553	0,500	0,450	0,362	0,310	0,272	0,233	0,204
120	0,590	0,515	0,460	0,408	0,316	0,263	0,230	0,196	0,171
130	0,560	0,480	0,420	0,370	0,280	0,228	0,195	0,167	0,146
140	0,527	0,445	0,385	0,333	0,237	0,194	0,170	0,144	0,126
150	0,497	0,412	0,352	0,300	0,205	0,166	0,146	0,125	0,110

## Приложение В

### Определение коэффициента $\varphi_b$ для проверки общей устойчивости балок

1. Для балок двутаврового сечения с двумя осями симметрии для определения коэффициента  $\varphi_b$  необходимо вычислить коэффициент  $\varphi_1$  по формуле

$$\varphi_1 = 1,41\psi \frac{I_y}{I_x} \left(\frac{h}{l_{ef}}\right)^2 \frac{E}{R}, \quad (1)$$

где  $\psi$  – коэффициент, определяемый по табл. 1 и 2 настоящего приложения в зависимости от характера нагрузки и параметра  $\alpha$ .

Для прессованных двутавров параметр  $\alpha$  рекомендуется вычислять по формуле

$$\alpha = 1,54 \frac{I_t}{I_y} \left(\frac{l_{ef}}{h}\right)^2, \quad (2)$$

где  $I_t = 0,42 \sum b_i t_i^3$  – момент инерции при кручении (здесь  $b_i$  и  $t_i$  – соответственно ширина и толщина прямоугольников, образующих сечение);

$l_{ef}$  – расчетная длина балки, определяемая согласно п. 4.13.

При наличии утолщений круглого сечения (бульб)

$$I_t = 0,42 \sum b_i t_i^3 + n \frac{\pi D^4}{32},$$

где  $D$  – диаметр бульб;

$n$  – число бульб в сечении.

Для сварных и клепаных двутавровых балок при отсутствии отбортовок, утолщений по краям и значительных утолщений в углах параметр  $\alpha$  рекомендуется определять по формуле

$$\alpha = 8 \left( \frac{l_{t1}}{b_f h} \right)^2 + 1 + \left( \frac{at^3}{b_f t_1^3} \right), \quad (3)$$

где

для сварных и прессованных двутавровых балок

$t_1, b_f$  – соответственно толщина и ширина пояса балки;

$a = 0,5h$ ;

для клепаных двутавровых балок

$t_1$  – сумма толщин листов пояса и горизонтальной полки поясного уголка;

$b_f$  – ширина листов пояса;

$h$  – расстояние между осями пакета поясных листов;

$a$  – сумма высоты вертикальной полки поясного уголка с толщиной пакета горизонтальных листов;

$f$  – сумма толщин стенки и вертикальных поясных уголков.

Т а б л и ц а 1 – Коэффициенты  $\psi$  для балок двутаврового сечения с двумя осями симметрии

Коэффициент $\alpha$	Коэффициенты $\psi$					
	для балок без закрепления в пролете				при наличии не менее двух промежуточных закреплений верхнего пояса, делящих пролет на равные части, независимо от места приложения нагрузки	
	при сосредоточенной нагрузке, приложенной к поясу		равномерно распределенной нагрузке, приложенной к поясу			
	верхнему	нижнему	верхнему	нижнему		
1	2	3	4	5	6	
0,1	0,98	2,80	0,91	2,14	1,20	
0,4	0,98	2,84	0,91	2,14	1,23	
1,0	1,05	2,87	0,95	2,17	1,26	
4,0	1,26	3,05	1,12	2,35	1,44	
8,0	1,47	3,29	1,30	2,56	1,65	
16,0	1,89	3,75	1,68	2,94	1,96	
24,0	2,24	4,10	2,00	3,22	2,24	
32,0	2,56	4,45	2,28	3,50	2,49	
48,0	3,15	4,97	2,73	3,99	2,91	
64,0	3,64	5,50	3,15	4,45	3,33	
80,0	4,10	5,95	3,50	4,80	3,64	
96,0	4,48	6,30	3,89	5,15	3,96	
128,0	5,25	7,04	4,48	5,78	4,50	
160,0	5,92	7,77	5,04	6,30	5,01	
240,0	7,35	9,17	6,30	7,56	6,09	
320,0	8,54	10,40	7,32	8,40	7,00	
400,0	9,63	11,48	8,16	9,38	7,77	

*Окончание таблицы 1*

Коэффициент $\alpha$	Коэффициенты $\psi$					при наличии не менее двух промежуточных закреплений верх- него пояса, делящих пролет на равные части, независимо от места приложения нагрузки	
	для балок без закрепления в пролете						
	при сосредоточенной нагрузке, приложенной к поясу		при равномерно распределенной нагрузке, приложенной к поясу				
	верхнему	нижнему	верхнему	нижнему			
1	2	3	4	5	6		

**П р и м е ч а н и е**

При одном закреплении балки в середине пролета необходимо учитывать следующие случаи;

при сосредоточенной силе в середине пролета (независимо от уровня приложения)  $\psi = 1,75\psi_1$ ;

при сосредоточенной силе в четверти пролета или равномерно распределенной нагрузке, приложенной к верхнему поясу,  $\psi = 1,14\psi_1$ ;

при сосредоточенной силе в четверти пролета, приложенной к нижнему поясу,  $\psi = 1,6\psi_1$ ;

при равномерно распределенной нагрузке по нижнему поясу  $\psi = 1,3\psi_1$ ;

Здесь значение  $\psi_1$  рекомендуется принимать по гр. 6 (при наличии не менее двух промежуточных закреплений).

Т а б л и ц а 2 – Коэффициенты  $\psi$  для консолей двутаврового сечения с двумя осями симметрии

Коэффициент $a$	Коэффициенты $\psi$ при нагрузке, приложенной к поясу	
	верхнему	нижнему
4	0,875	3,640
6	1,120	3,745
8	1,295	3,850
10	1,505	3,920
12	1,680	4,025
14	1,855	4,130
16	2,030	4,200
24	2,520	4,550
32	2,975	4,830
40	3,290	5,040
100	5,040	6,720

Значение коэффициента  $\varphi_b$  в формуле (24) норм необходимо принимать:

при  $\varphi_1 \leq 0,667$   $\varphi = \varphi_1$ ;

при  $\varphi_1 > 0,667$   $\varphi_b = 0,5 + 0,25\varphi_1$  для алюминия всех марок, указанных в табл. 1 настоящих правил, за исключением АМг2Н2, АД31Т1 и АД31Т5, и  $\varphi_b = \varphi_1$ , но не более 1,0 – для алюминия марок АМг2Н2, АД31Т1 и АД31Т5.

2. Для балок двутаврового сечения с одной осью симметрии (с развитым верхним поясом; см. чертеж) для определения коэффициента  $\varphi_b$  необходимо вычислить коэффициенты  $\varphi_1$  и  $\varphi_2$  по формулам:

$$\varphi_1 = 1,41\psi \frac{I_y}{I_x} \frac{2\zeta h_1}{l_{ef}^2} \frac{E}{R}; \quad (4)$$

$$\varphi_2 = 1,41\psi \frac{I_y}{I_x} \frac{2\zeta h_2}{l_{ef}^2} \frac{E}{R}; \quad (5)$$

$$\psi = 2,6 \left[ \sqrt{(0,5y_p + \beta_y)^2 + c^2} + (0,5y_p + \beta_y) \right]. \quad (6)$$

В формулах (4)–(6):

$\zeta$  – коэффициент, зависящий от вида нагрузки и принимаемый по табл. 3 настоящего приложения;

$h_1, h_2$  – размеры (см. чертеж);

$\bar{y}_p = \frac{y_p}{h}$  – относительная координата точки приложения нагрузки со своим знаком (см. чертеж);

$$\beta_y = \left[ 0,43 - 0,065 \left( \frac{b_1}{h} \right)^2 \right] (2n - 1);$$

здесь

$$n = \frac{I_1}{I_1 + I_2}$$

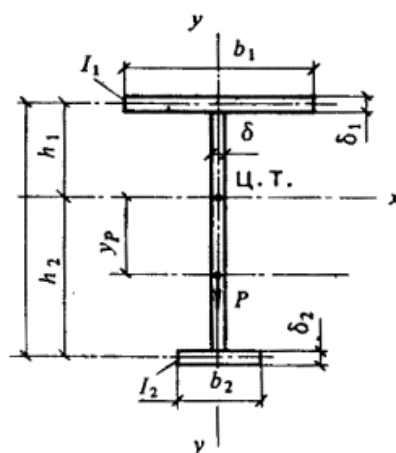
( $I_1$ ,  $I_2$  – моменты инерции соответственно сжатого и растянутого поясов относительно оси симметрии сечения);

$$c^2 = \frac{1}{I_y} \left( \frac{I_1 I_2}{I_y} + 0,04 I_t \frac{l^2}{h^2} \right);$$

$I_t$  – момент инерции при кручении [см. обозначения к формуле (2) настоящего приложения].

Т а б л и ц а 3 – Коэффициент  $\zeta$  в формуле (4) настоящего приложения

Вид нагрузки	Чистый изгиб	Равномерно распределенная нагрузка	Сосредоточенная сила в середине пролета	Момент на одном конце балки
Коэффициент $\xi$	1,00	1,12	1,35	1,75



Поперечное сечение балки с развитым верхним поясом

Значение коэффициента  $\phi_b$  в формуле (24) норм необходимо принимать:

при  $\varphi_2 \leq 0,667$   $\varphi_b = \varphi_1$ ;

при  $\varphi_2 > 0,667$   $\varphi_b = \varphi_1 \left[ 0,5 + 0,25 \left( \frac{n}{\varphi_1} + \frac{1-n}{\varphi_2} \right) \right]$  для алюминия всех марок,

указанных в табл. 1 настоящих правил, за исключением марок АМг2Н2, АД31Т1 и АД31Т5, для которых  $\varphi_2$  вычисляется по формуле (5) настоящего приложения и принимается не более 1,0.

3. Устойчивость балок швеллерного сечения рекомендуется проверять также, как балок двутаврового сечения, при этом  $a$  вычислять по формуле (2) настоящего приложения; найденные значения умножать на коэффициент 0,7.

Значения  $I_x$ ,  $I_y$  и  $I_t$  в формулах (1) и (2) настоящего приложения рекомендуется принимать для швеллера.

## Приложение Г

### Расчет внецентренно сжатых и сжато–изгибаемых элементов

Т а б л и ц а 1 – Коэффициенты  $\phi_e$  для проверки устойчивости внецентренно сжатых (сжато–изгибаемых) сплошностенчатых стержней в плоскости действия момента, совпадающей с плоскостью симметрии

Условная гибкость $\bar{\lambda}$	Коэффициенты $\phi_e$ при приведенном относительном эксцентриситете $m_{ef}$ , равном																				
	0,1	0,2	0,3	0,4	0,5	0,6	0,7	0,8	1,0	1,2	1,5	2,0	2,5	3,0	4,0	5,0	6,0	7,0	8,0	9,0	10,0
0,5	990	980	973	937	905	880	850	920	767	725	657	567	500	445	360	302	257	225	203	182	165
1,0	947	907	872	837	807	778	752	725	680	637	583	505	445	394	323	272	235	205	186	167	151
1,5	880	832	793	758	726	700	670	647	607	570	518	452	398	355	292	247	215	188	171	153	140
2,0	817	765	723	787	656	627	602	580	540	507	463	405	358	320	265	227	197	175	158	142	130
2,5	750	695	652	617	587	560	536	515	482	452	413	362	322	290	242	208	182	162	146	132	121
3,0	677	618	578	545	517	495	472	455	425	400	367	323	290	262	220	192	167	150	135	123	114
3,5	593	542	505	475	453	434	415	398	374	355	325	288	260	236	202	175	155	140	126	116	108
4,0	505	436	435	412	393	378	362	350	327	312	288	257	233	214	184	159	144	130	117	109	101
4,5	425	395	374	356	342	328	315	306	288	275	255	230	210	193	167	146	132	121	110	102	95

*Окончание таблицы I*

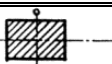
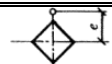
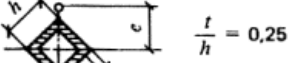
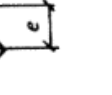
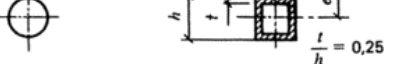
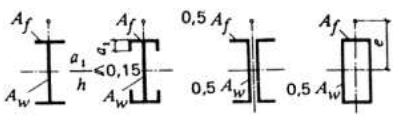
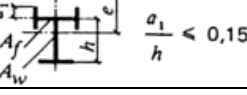
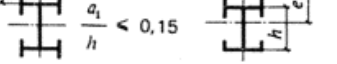
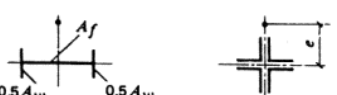
Условная гибкость $\lambda$	Коэффициенты $\varphi_e$ при приведенном относительном эксцентриките $m_{ef}$ , равном																				
	0,1	0,2	0,3	0,4	0,5	0,6	0,7	0,8	1,0	1,2	1,5	2,0	2,5	3,0	4,0	5,0	6,0	7,0	8,0	9,0	10,0
5,0	358	338	320	307	295	285	275	268	253	242	227	205	190	175	152	135	123	113	103	096	090
5,5	303	287	276	265	257	248	242	235	225	215	202	185	172	160	140	125	145	105	097	090	085
6,0	257	246	238	230	223	218	213	208	198	192	180	166	155	145	128	115	106	097	090	085	080
6,5	222	212	207	202	197	191	187	183	175	170	161	148	141	132	117	107	097	090	085	080	075
7,0	192	187	181	177	172	168	165	161	155	150	145	135	128	120	108	098	090	085	080	075	070
8,0	148	145	142	139	137	134	132	129	126	123	120	112	107	100	091	085	080	077	072	067	062
9,0	120	117	115	113	111	110	108	107	105	102	100	094	090	086	080	076	072	067	063	059	055
10,0	097	095	093	092	091	090	088	087	085	084	082	080	077	075	070	067	062	060	056	052	048

**П р и м е ч а н и я**1 Значения коэффициентов  $\varphi_e$  в таблице увеличены в 1000 раз.2 Значения  $\varphi_e$  рекомендуется принимать не выше значений  $\varphi$ .

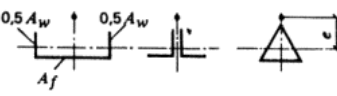
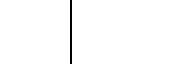
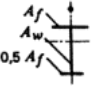
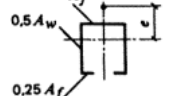
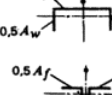
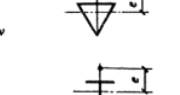
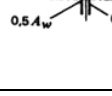
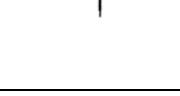
Т а б л и ц а 2 – Коэффициенты  $\phi_e$  для проверки устойчивости внецентренно сжатых (сжато–изгибаемых) сквозных стержней в плоскости действия момента, совпадающей с плоскостью симметрии

Условная гибкость $\lambda_{ef}$	Коэффициенты $\phi_e$ при приведенном относительном эксцентриките $m_{ef}$ , равном																				
	0,1	0,2	0,3	0,4	0,5	0,6	0,7	0,8	1,0	1,2	1,5	2,0	2,5	3,0	4,0	5,0	6,0	7,0	8,0	9,0	10,0
0,5	950	888	825	755	718	660	635	605	540	495	436	370	320	282	232	196	170	157	143	122	110
1,0	882	810	756	693	660	609	582	548	496	453	405	342	296	262	213	182	155	145	130	113	096
1,5	872	753	694	643	607	568	534	507	458	420	375	318	275	243	198	170	144	134	130	105	090
2,0	773	700	640	593	558	523	492	468	423	390	347	294	257	227	185	159	135	125	112	100	084
2,5	712	637	585	543	508	477	450	427	390	358	320	273	240	213	173	150	127	117	105	095	079
3,0	640	575	530	488	458	430	408	387	355	327	294	253	222	197	197	142	121	111	100	092	075
3,5	565	507	467	432	410	385	365	350	321	297	270	232	206	185	155	133	115	106	095	087	072
4,0	490	442	410	382	363	343	327	313	290	269	247	213	190	172	145	125	110	100	090	083	070
4,5	418	382	357	335	320	304	290	280	260	243	223	195	177	160	135	117	105	094	086	080	067
5,0	353	328	309	293	280	268	257	249	233	219	202	178	162	148	127	110	098	089	082	076	064
5,5	300	282	267	255	245	237	228	222	208	197	183	163	150	137	120	105	094	084	077	072	062
6,0	256	242	233	223	216	210	202	197	187	178	166	150	138	128	112	098	090	080	073	068	060
6,5	220	210	205	197	190	185	182	175	167	160	150	136	127	118	103	094	085	076	070	065	058
7,0	192	186	180	173	169	165	162	157	150	145	136	125	117	108	096	090	081	072	067	062	056
8,0	150	145	142	139	135	133	130	127	122	120	112	105	100	092	086	082	072	065	060	056	052
9,0	120	117	115	112	110	108	107	105	101	098	095	090	087	081	077	072	065	058	055	050	048
10,0	097	096	095	093	092	091	090	087	085	083	082	080	076	071	068	064	057	052	048	044	044
<b>П р и м е ч а н и я</b>																					
1 Значения коэффициентов $\phi_e$ в таблице увеличены в 1000 раз.																					
2 Значения $\phi_e$ рекомендуется принимать не выше значений $\phi$ .																					

Т а б л и ц а 3 – Коэффициенты влияния формы сечения  $\eta$ 

Тип сечения	Схема сечения	Отношение $\frac{A_f}{A_w}$	Коэффициенты $\eta$ при			
			$0 \leq \bar{\lambda} \leq 5$		$\bar{\lambda} > 5$	
			$0,1 \leq m \leq 5$	$5 < m \leq 20$	$0,1 \leq m \leq 5$	$5 < m \leq 20$
1	 	–	1,0	1,0	1,0	1,0
2		–	0,85	0,85	0,85	0,85
3		–	$0,75 + 0,02\bar{\lambda}$	$0,75 + 0,02$	0,85	0,85
4		–	$(1,35 - 0,05m) - 0,01(5 - m)\bar{\lambda}$	1,1	1,1	1,1
5		0,25 0,5 1,0	$(1,45 - 0,05m) - 0,01(5 - m)\bar{\lambda}$ $(1,75 - 0,1m) - 0,02(5 - m)\bar{\lambda}$ $(1,90 - 0,1m) - 0,02(6 - m)\bar{\lambda}$	1,2 1,25 1,4–0,02	1,2 1,25 1,3	1,2 1,25 1,3
6		–	$\eta_s \left[ 1 - 0,3(5 - m) \frac{a_1}{h} \right]$	$\eta_s$	$\eta_s$	$\eta_s$
7		–	$\eta_s \left[ 1 - 0,8 \frac{a_1}{h} \right]$	$\eta_s \left[ 1 - 0,8 \frac{a_1}{h} \right]$	$\eta_s \left[ 1 - 0,8 \frac{a_1}{h} \right]$	$\eta_s \left[ 1 - 0,8 \frac{a_1}{h} \right]$
8		0,25 0,5 1,0	$(1,75 + 0,05m) + 0,01(5 - m)\bar{\lambda}$ $(0,5 + 0,1m) + 0,02(5 - m)\bar{\lambda}$ $(1,25 + 0,15m) + 0,03(5 - m)\bar{\lambda}$	1,0 1,0 1,0	1,0 1,0 1,0	1,0 1,0 1,0

## Окончание таблицы 3

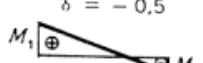
Тип сечения	Схема сечения	Отношение $\frac{A_f}{A_w}$	Коэффициенты $\eta$ при			
			$0 \leq \bar{\lambda} \leq 5$		$\bar{\lambda} > 5$	
			$0,1 \leq m \leq 5$	$5 < m \leq 20$	$0,1 \leq m \leq 5$	$5 < m \leq 20$
9	 	0,5	$(1,25 - 0,05m) - 0,01(5-m)\bar{\lambda}$	1,0	1,0	
		1,0	$(1,5 - 0,1m) - 0,02(5-m)\bar{\lambda}$	1,0	1,0	
10	 	0,5	1,4	1,4	1,4	
		1,0	$1,6 - 0,01(5-m)\bar{\lambda}$	1,6	$1,35 + 0,05m$	1,6
		2,0	$1,8 - 0,02(5-m)\bar{\lambda}$	1,8	$1,3 + 0,1m$	1,8
11	   	0,5	$1,45 + 0,04m$	1,65	$1,45 + 0,04m$	1,65
		1,0	$1,8 + 0,12m$	2,4	$1,8 + 0,12m$	2,4
		1,5	$2,0 + 0,25m + 0,1\bar{\lambda}$	—	—	—
		2,0	$3,0 + 0,25m + 0,1\bar{\lambda}$	—	—	—

## П р и м е ч а н и я

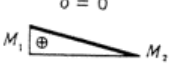
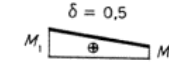
1 Для сечений типов 5–7 при подсчете отношения  $\frac{A_f}{A_w}$  площадь вертикальных элементов полок учитывать не рекомендуется.

2 Для сечений типов 6 и 7 значения  $\eta_s$  рекомендуется принимать равными значениям  $\eta$  для сечений типа 5 при отношениях  $\frac{A_f}{A_w}$  для сечений типов 6 и 7.

Т а б л и ц а 4 – Приведенные относительные эксцентрикитеты  $m_{ef}$  для стержней с шарнирно-опертыми концами

Отношение $\delta = \frac{M_2}{M_1}$	$\bar{\lambda}$	Приведенные относительные эксцентрикитеты $m_{ef}$ при $m_{ef1} = \eta \frac{M_1}{N} \frac{A}{W_c}$ равном										
		0,1	0,5	1,0	1,5	2,0	3,0	4,0	5,0	7,0	20,0	
 $\delta = -1,0$	1	0,10	0,30	0,68	1,12	1,60	2,62	3,55	4,55	6,50	9,40	19,40
	2	0,10	0,17	0,39	0,68	1,03	1,80	2,75	3,72	5,65	8,60	18,50
	3	0,10	0,10	0,22	0,36	0,55	1,17	1,95	2,77	4,60	7,40	17,20
	4	0,10	0,10	0,10	0,18	0,30	0,57	1,03	1,78	3,35	5,90	15,40
	5	0,10	0,10	0,10	0,10	0,15	0,23	0,48	0,95	2,18	4,40	13,40
	6	0,10	0,10	0,10	0,10	0,10	0,15	0,18	0,40	1,25	3,00	11,40
	7	0,10	0,10	0,10	0,10	0,10	0,10	0,10	0,10	0,50	1,70	9,50
 $\delta = -0,5$	1	0,10	0,31	0,68	1,12	1,60	2,62	3,55	4,55	6,50	9,40	19,40
	2	0,10	0,22	0,46	0,73	1,05	1,88	2,75	3,72	5,65	8,60	18,50
	3	0,10	0,17	0,38	0,58	0,80	1,33	2,00	2,77	4,60	7,40	17,20
	4	0,10	0,14	0,32	0,49	0,66	1,05	1,52	2,22	3,50	5,90	15,40
	5	0,10	0,10	0,26	0,41	0,57	0,95	1,38	1,80	2,95	4,70	13,40
	6	0,10	0,16	0,28	0,40	0,52	0,95	1,25	1,60	2,50	4,00	11,50
	7	0,10	0,22	0,32	0,42	0,55	0,95	1,10	1,35	2,20	3,50	10,80

## Окончание таблицы 4

Отношение $\delta = \frac{M_2}{M_1}$	$\bar{\lambda}$	Приведенные относительные эксцентрикитеты $m_{ef}$ при $m_{ef1} = \eta \frac{M_1}{N} \frac{A}{W_c}$ равном										
		0,1	0,5	1,0	1,5	2,0	3,0	4,0	5,0	7,0	20,0	
 $\delta = 0$	1	0,10	0,32	0,70	1,12	1,60	2,62	3,55	4,65	6,50	9,40	19,40
	2	0,10	0,28	0,60	0,90	1,28	1,96	2,75	3,72	5,65	8,40	18,50
	3	0,10	0,27	0,55	0,84	1,15	1,75	2,43	3,17	4,80	7,40	17,20
	4	0,10	0,26	0,52	0,78	1,10	1,60	2,20	2,83	4,00	6,30	15,40
	5	0,10	0,25	0,52	0,78	1,10	1,55	2,10	2,78	3,85	5,90	14,50
	6	0,10	0,28	0,52	0,78	1,10	1,55	2,00	2,70	3,80	5,60	13,80
	7	0,10	0,32	0,52	0,78	1,10	1,55	1,90	2,60	3,75	5,50	13,00
 $\delta = 0,5$	1	0,10	0,40	0,80	1,23	1,68	2,62	3,55	4,55	6,50	9,40	19,40
	2	0,10	0,40	0,78	1,20	1,60	2,30	3,15	4,10	5,85	8,60	18,50
	3	0,10	0,40	0,77	1,17	1,55	2,30	3,10	3,90	5,55	8,13	18,00
	4	0,10	0,40	0,75	1,13	1,55	2,30	3,05	3,80	5,30	7,60	17,50
	5	0,10	0,40	0,75	1,10	1,55	2,30	3,00	3,80	5,30	7,60	17,00
	6	0,10	0,40	0,75	1,10	1,50	2,30	3,00	3,80	5,30	7,60	16,50
	7	0,10	0,40	0,75	1,10	1,40	2,30	3,00	3,20	5,30	7,60	16,00

## Приложение Д

### Расчет на устойчивость стенок балок при местной нагрузке на верхнем поясе

1. При сосредоточенной нагрузке на верхнем поясе балки в местах, не укрепленных ребрами, местное напряжение в стенке под грузом  $\sigma_{loc}$  рекомендуется определять по формуле

$$\sigma_{loc} = \frac{F}{tl_{ef}} < R\gamma_c, \quad (1)$$

где  $F$  – расчетное значение сосредоточенной нагрузки (силы);

$t$  – толщина стенки;

$l_{ef} = c\sqrt{\frac{L_f}{t}}$  – условная длина распределения сосредоточенной нагрузки;

$c$  – коэффициент, принимаемый равным 3,25 для сварных балок и 3,75 для балок клепаных и на высокопрочных болтах;

$I_f$  – момент инерции пояса балки относительно собственной оси.

2 В отсеках, где местная нагрузка приложена к растянутому поясу, одновременно учитываются только два компонента –  $\sigma$  и  $\tau$  или  $\sigma_{loc}$  и  $\tau$ .

3 Расчет на устойчивость стенок балок симметричного сечения, укрепленных только поперечными основными ребрами жесткости, при наличии местного напряжения ( $\sigma_{loc} \neq 0$ ) рекомендуется выполнять:

а) при  $\frac{a}{h_{ef}} \leq 0,8$  – по формуле

$$\sqrt{\left(\frac{\sigma}{\sigma_{cr}} + \frac{\sigma_{loc}}{\sigma_{loc,cr}}\right)^2 + \left(\frac{\tau}{\tau_{cr}}\right)^2} \leq 0,9v, \quad (2)$$

где  $\sigma$ ,  $\sigma_{loc}$ ,  $\tau$  – значения, определяемые согласно указаниям п. 6.2;

$\sigma_{cr}$ ,  $\tau_{cr}$  – значения, определяемые по формулам (46) и (47);

$\sigma_{loc,cr}$  – критическое напряжение смятия стенки под нагрузкой, определяемое по формуле

$$\sigma_{loc,cr} = c_1 \frac{R}{\lambda_a^2} \quad (3)$$

(здесь  $c_1$  – коэффициент, принимаемый по табл. 1 настоящего приложения;

$$\lambda_a = \frac{a}{t} \sqrt{\frac{R}{E}} ;$$

$\vartheta$  – значения, определяемые согласно указаниям п. 6.5;

б) при  $\frac{a}{h} > 0,8$  – по формуле (2) настоящего приложения два раза: при первой проверке  $\sigma_{cr}$  рекомендуется определять по формуле

$$\sigma_{cr} = c_2 \frac{R}{\lambda_w^2}, \quad (4)$$

где  $c_2$  – коэффициент, принимаемый по табл. 2 настоящего приложения;

при второй проверке  $\sigma_{cr}$  рекомендуется определять по формуле (46), а  $\sigma_{loc,cr}$  – по формуле (3) настоящего приложения, но с подстановкой в формулу (3) и в табл. 1 величины  $\frac{a}{2}$  вместо  $a$ .

4. В стенке, укрепленной продольным ребром жесткости, расположенным на расстоянии  $h_1$  от сжатой кромки отсека, обе пластинки, на которые ребро разделяет отсек, рекомендуется проверять отдельно:

первую пластинку, расположенную между сжатым поясом и ребром, – по формуле

$$\frac{\sigma}{\sigma_{cr1}} + \frac{\sigma_{loc}}{\sigma_{loc,cr1}} + \left( \frac{\tau}{\tau_{cr1}} \right)^2 \leq 0,9\vartheta, \quad (5)$$

где

$$\sigma_{cr1} = \frac{1,19}{1 - \frac{h_1}{h_{ef}}} \frac{(1 + \mu_1^2)^2}{\mu_1^2} \frac{R}{\lambda_{h1}^2}, \quad (6)$$

$$\sigma_{loc,cr1} = 1,72 \frac{(1 + \mu_1^2)^2}{\mu_1^2} \frac{R}{\lambda_{h1}^2}, \quad (7)$$

здесь  $\lambda_{h1} = \frac{h_1}{t} \sqrt{\frac{R}{E}}$ ;

$\mu_1$  – параметр, равный:  $\frac{a}{h_1}$  при  $\frac{a}{h_1} \leq 2$ ;

$2$  при;  $\frac{a}{h_1} > 2$

$\tau_{cr1}$  – значения, определяемые по формуле (47);

$\vartheta$  – значения, определяемые согласно указаниям п. 6.5;

вторую пластинку, расположенную между растянутым поясом и ребром, – по формуле

$$\sqrt{\left(\frac{\sigma(1 - \frac{2h_1}{h_{ef}})}{\sigma_{cr2}} - \frac{\sigma_{loc2}}{\sigma_{loc,cr2}}\right)^2 + \left(\frac{\tau}{\tau_{cr2}}\right)^2} \leq 1,$$

где  $\sigma_{cr2}$ ,  $\tau_{cr2}$  – значения, определяемые соответственно по формулам (53) и (47);

$$\sigma_{loc2} = 0,4\sigma_{loc}$$

$\sigma_{loc,cr2}$  – значения, определяемые по формуле (3) и

табл. 1 настоящего приложения, принимая  $\frac{a}{h_{ef} - h_1}$  вместо  $\frac{a}{h_{ef}}$ .

Если первая пластинка укреплена дополнительно короткими поперечными ребрами, то их рекомендуется доводить до продольного ребра. При этом для проверки первой пластинки необходимо применять формулы (5) и (7) настоящего приложения, в которых  $a$  заменяется величиной  $a_1$ , (где  $a_1$  – расстояние между осями соседних коротких ребер).

Проверка второй пластинки в этом случае остается без изменения.

Т а б л и ц а 1 – Коэффициент  $c_1$

Отношение $\frac{a}{h_{ef}}$	0,5	0,8	1,0	1,2	1,4	1,6	1,8	2,0
Коэффициент $c_1$	11,28	14,52	17,77	21,86	26,80	32,30	38,35	45,00
<i>Обозначения, принятые в табл. 1. – см. п. 6.2.</i>								

Т а б л и ц а 2 – Коэффициент  $c_2$

Отношение $\frac{a}{h_{ef}}$	1,0	1,2	1,4	1,6	1,8	2,0	2,2	2,4	2,6
Коэффициент $c_2$	33,70	38,77	45,26	53,16	62,18	72,20	83,75	96,16	109,56
<i>Обозначения, принятые в табл. 2. – см. п. 6.2.</i>									

## Приложение Е

### Расчет на устойчивость наклонных граней листов с трапециевидным гофром

Наклонные грани листов с трапециевидным гофром (см. рис. 13) в местах опирания на прогоны или ригели рекомендуется проверять на местную устойчивость по формуле (2) приложения Д с заменой коэффициента  $\gamma_c = 0,9$  на  $\gamma_c = 0,7$ . При этом значения напряжения  $\tau$  и критических напряжений  $\sigma_{loc,cr}$ ,  $\tau_{cr}$ ,  $\sigma_{cr}$  рекомендуется определять по формулам:

$$\tau = \frac{Q}{2bt}; \quad (1)$$

$$\sigma_{loc,cr} = \frac{7,25R}{\lambda_b^2}; \quad (2)$$

$$\tau_{cr} = \frac{8,25R_s}{\lambda_b^2}; \quad (3)$$

$$\sigma_{cr} = \frac{3,6R}{\lambda_b^2} \left[ 1 + 1,41 \left( 1 - \frac{\sigma_1 - \sigma_2}{\sigma_1} \right)^2 \right]; \quad (4)$$

$$\lambda_b = \frac{b}{t} \sqrt{\frac{R}{E}}, \quad (5)$$

где  $\sigma_1$ ,  $\sigma_2$  – нормальные напряжения соответственно у верхней и нижней границ наклонной грани листа, взятые со своими знаками;

$b$  – размер наклонной грани, принимаемый по рис. 13;

$Q$  – поперечная сила в проверяемом сечении волны листа.

Кроме наклонных граней необходимо проверять на устойчивость горизонтальные сжатые грани профилированного листа, при этом местные напряжения  $\sigma_{loc}$  рекомендуется определять с учетом ослабления сечения по формуле

$$\sigma_{loc} = \frac{F}{2t(b_f + 2r) \sin \alpha}, \quad (6)$$

где  $F$  – опорная реакция, приходящаяся на одну волну листа;

$b_f$  – ширина полки прогона или ригеля;

$r$  – радиус сочленения наклонной и горизонтальной граней листа;

$\alpha$  – угол наклона грани (см. рис. 13).

**Приложение Ж****Расчетная несущая способность на срез сварных точек**

Толщина элементов, мм	Расчетная несущая способность точки на срез, Н (кгс)	Толщина элементов, мм	Расчетная несущая способность точки на срез, Н (кгс)
		1	2
Контактная сварка (алюминий марок АМг2Н2 и АМг2М)		Аргонодуговая точечная сварка плавящимся электродом (алюминий марки АМг2Н2; сварочная проволока марки СвАМг3 или 1557)	
1	800(80)	1+1	1950(200)
1,5	1250(130)	1+2	2350 (240)
2	1950 (200)	1,5+1,5	2950 (300)
		2+2	3350(340)
<b>П р и м е ч а н и я</b>			
1 Для контактной сварки указана толщина наиболее тонкого элемента; для дуговой точечной сварки в гр.1 первая цифра – толщина верхнего элемента.			
2 Сварные точки рекомендуется выполнять в соответствии с «Руководством по аргонодуговой сварке соединений элементов алюминиевых строительных конструкций». Стройиздат, 1984.			

## Приложение И

### Основные буквенные обозначения величин

- $A$  – площадь сечения брутто;  
 $A_n$  – площадь сечения нетто;  
 $E$  – модуль упругости;  
 $F$  – сила;  
 $G$  – модуль сдвига;  
 $I_m, I_d$  – моменты инерции сечений пояса и раскоса фермы;  
 $I_s$  – момент инерции сечения ребер;  
 $I_t$  – момент инерции кручения балки;  
 $I_x, I_y$  – моменты инерции сечения брутто относительно осей соответственно  $x - x$  и  $y - y$ ;  
 $I_{xn}, I_{yn}$  – моменты инерции сечения нетто относительно осей соответственно  $x - x$  и  $y - y$ ;  
 $M$  – момент, изгибающий момент;  
 $M_x, M_y$  – моменты относительно осей соответственно  $x - x$  и  $y - y$ ;  
 $N$  – продольная сила;  
 $Q$  – поперечная сила;  
 $Q_{fic}$  – условная поперечная сила для соединительных элементов;  
 $R$  – расчетное сопротивление алюминия растяжению, сжатию, изгибу;  
 $R_{bp}$  – расчетное сопротивление смятию болтовых соединений;  
 $R_{bs}$  – расчетное сопротивление срезу болтов;  
 $R_{bt}$  – расчетное сопротивление растяжению болтов;  
 $R_p$  – расчетное сопротивление алюминия смятию торцевой поверхности (при наличии пригонки);  
 $R_s$  – расчетное сопротивление алюминия сдвигу;  
 $R_{th}$  – расчетное сопротивление растяжению алюминия в направлении толщины прессованного полуфабриката;  
 $R_w$  – расчетное сопротивление стыковых сварных соединений растяжению, сжатию и изгибу;  
 $R_{ws}$  – расчетное сопротивление стыковых сварных соединений сдвигу;  
 $R_{wf}$  – расчетное сопротивление угловых швов срезу по металлу шва;  
 $R_{wsm}$  – расчетное сопротивление соединений, выполненных контактной роликовой сваркой;  
 $R_{wz}$  – расчетное сопротивление алюминия в окколошовной зоне;

$S$  – статический момент сдвигаемой части сечения брутто относительно нейтральной оси;

$W_x, W_y$  – моменты сопротивления сечения брутто относительно осей соответственно  $x-x$  и  $y-y$ ;

$W_{xn}$  – моменты сопротивления сечения нетто;

$W_{yn}$  – относительно осей соответственно  $x-x$  и  $y-y$ ;

$b$  – ширина;

$e$  – эксцентризитет силы;

$h$  – высота;

$h_{ef}$  – расчетная высота стенки;

$i$  – радиус инерции сечения;

$i_{min}$  – наименьший радиус инерции сечения;

$i_x, i_y$  – радиусы инерции сечения относительно осей соответственно  $x-x$  и  $y-y$ ;

$k_f$  – катет углового шва;

$l$  – длина, пролет, расстояние;

$l_c$  – длина стойки;

$l_{ef}$  – расчетная, условная длина;

$l_d$  – длина раскоса;

$l_w$  – длина сварного шва;

$l_m$  – длина панели пояса фермы или колонны;

$l_x, l_y$  – расчетные длины элемента в плоскостях, перпендикулярных осям соответственно  $x-x$  и  $y-y$ ;

$m$  – относительный эксцентризитеты  $\left( m = \frac{eA}{W_c} \right)$ ;

$m_{ef}$  – приведенный относительный эксцентризитет ( $m_{ef}=m\eta$ );

$\eta$  – коэффициент влияния формы сечения;

$r$  – радиус;

$t$  – толщина;

$t_w$  – толщина стенки;

$\gamma_c$  – коэффициент условий работы;

$\gamma_n$  – коэффициент надежности по назначению;

$\gamma_m$  – коэффициент надежности по материалу;

$\gamma_u$  – коэффициент надежности в расчетах по временному сопротивлению;

$\lambda$  – гибкость  $\left( \lambda = \frac{l_{ef}}{i} \right)$ ;

$\bar{\lambda}$  – условная гибкость ( $\bar{\lambda} = \lambda_{ef} \sqrt{\frac{R}{E}}$ );

$\lambda_{ef}$  – приведенная гибкость стержня сквозного сечения;

$\bar{\lambda}_{ef}$  – условная приведенная гибкость стержня сквозного сечения

$$\left( \bar{\lambda}_{ef} = \lambda_{ef} \sqrt{\frac{R}{E}} \right);$$

$\bar{\lambda}_w$  – условная гибкость стенки ( $\bar{\lambda}_w = \frac{h_{ef}}{t} \sqrt{\frac{R}{E}}$ );

$\lambda_x, \lambda_y$  – гибкости элемента в плоскостях, перпендикулярных осям соответственно  $x-x$  и  $y-y$ ;

$\nu$  – коэффициент поперечной деформации алюминия (Пуассона);

$\sigma_{loc}$  – местное напряжение;

$\sigma_x, \sigma_y$  – нормальные напряжения, параллельные осям соответственно  $x-x$  и  $y-y$ ;

$\tau_x, \tau_y$  – касательные напряжения по осям соответственно  $x-x$  или  $y-y$ ;

$\varphi_x, \varphi_y$  – коэффициенты продольного изгиба соответственно относительно осей  $x-x$  или  $y-y$ ;

$\varphi_e$  – коэффициент устойчивости при внецентренном сжатии;

$\varphi_b$  – коэффициент устойчивости при изгибе балок.